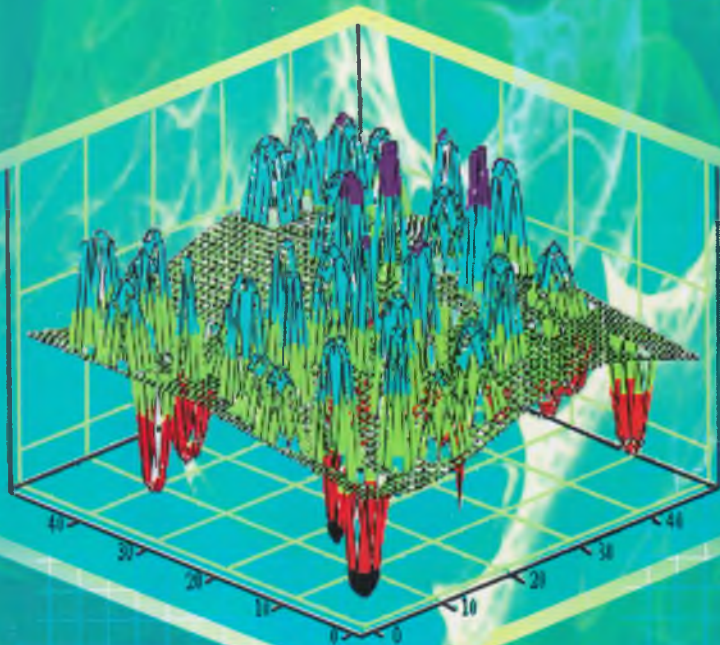


А. И. Грабченко, В. Л. Доброскок, В. А. Федорович

3D МОДЕЛИРОВАНИЕ АЛМАЗНО-АБРАЗИВНЫХ ИНСТРУМЕНТОВ И ПРОЦЕССОВ ШЛИФОВАНИЯ



«

»

• •

, • •

, • •

3D

-

-

2 02.06.04 .

« » 2006

	7
1.	3D -	
	11
1.1.	-	11
1.2.	-	15
1.3.	-	
	18
1.4.		
	-	20
1.5.	3D -	
	26
1.6.		31
2.		
	32
2.1.		
	32
2.2.		
	38
2.2.1.	,	
	-	39
2.2.2.		
	57
2.3.		
	61
2.4.		72
3.	3D -	
	74
3.1.	3D	74
3.2.	3D -	
	78
3.3.		83

3.3.1.				86
3.3.2.				89
3.3.3.				101
3.3.4.				103
3.4.	3D			109
3.5.		3D	-	120
3.6.	3D		-	126
3.7.				135
3.7.1.				137
3.7.2.				145
3.8.				152
4. 3D				154
4.1.	«	-	-	»..... 154
4.2.			-	158
4.3.				159
4.4.	3D			169

6.3.

..... 246

6.4.

..... 249

7.

3D

-

..... 250

7.1.

-

..... 250

7.1.1.

..... 251

7.1.2.

..... 256

7.1.3.

3D

..... 265

7.1.4.

-

..... 268

7.1.5.

..... 276

7.2. 3D

..... 279

7.3.

« - - » 286

7.4.

..... 296

7.5.

3D

.

..... 301

7.6.

..... 306

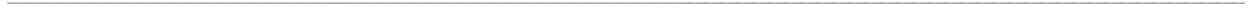
..... 308

..... 319

..... 342

..... 347

..... 360



, 3D .

, , -

, , -

3D , -

(-) , -

3D « - - », -

3D , 3D -

() -

. 3D

, - -

. , -

. , -

1. 3D - -

3D - . -

2. .

;

3. 3D

3D

4. 3D

3D « — — », 3D

5. 3D

6. 3D

7. 3D

3D

3D -

Visual FoxPro; MathCad

Maple; Statistica; -

Cosmos Third Wave

AdvandEdge.

1-3, 7.1 . . . ; 4-6,

7.2-7.5 -

: 61002, . . . , 21, « -

», « -

» (E-mail: grabchenko@kpi.kharkov.ua).

1.

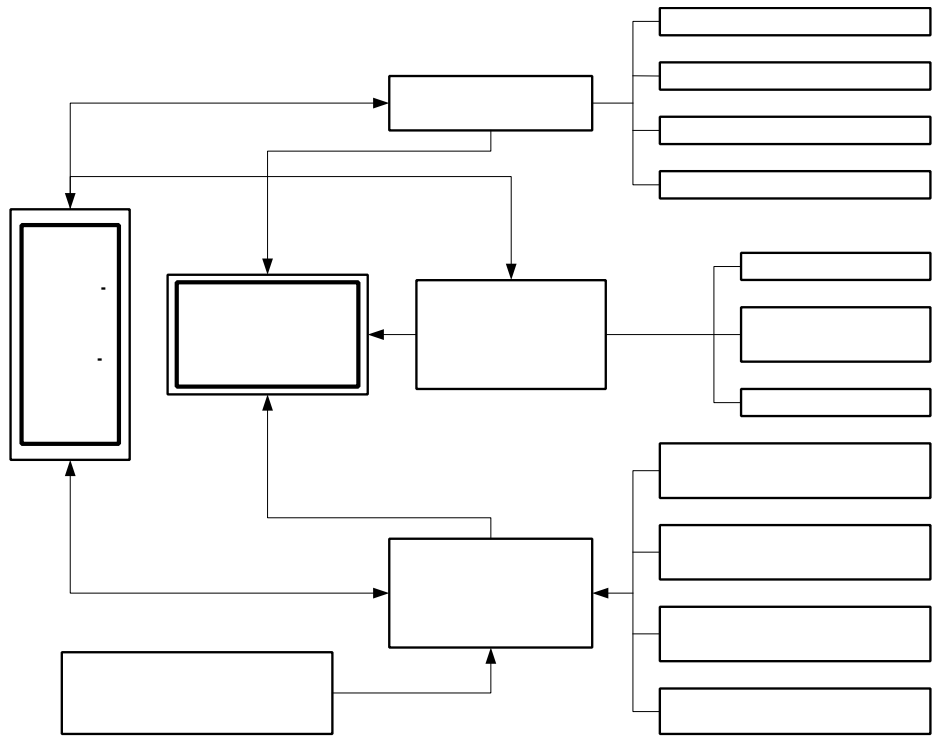
3D

Nulla aetas ad discendum sera –

3D

1.1.

10–15



1.1 –

1.2.

-

-

-

-

.

,

,

-

,

-

.

.

-

,

-

,

.

-

,

-

.

,

-

-

-

:

—

;

—

;

—

;

—

,

-

.

-

:

-

.

-

,

,

,

.

$$\Delta_{\max} \cong (\mu + 3\sigma)(1 - \varepsilon), \quad \mu, \sigma -$$

$\varepsilon -$

$$\mu \cong (0,45 \dots 0,30) \Delta_{\max}; \quad \sigma \cong \Delta_{\max} / 6.$$

...

-

()

[4].

-

,
,

·
· · ·

[35]

·

· ·

:

;

;

·

-

,

,

:

;

;

·

()

:

,

; ; ; ; ; - ; -
 ; ; ; ; , ; -
 :
 -
 - ; -
 - ; -
 , -
 - ; -
 () ; -
 - 3D -
 - .

1.3.

-

.
 , (-
).
 , -
 , -
 ; -
 , .
 (-

$y = f(x)$

—)

(t h),

,

.

h .

,

.

,

,

.

.

,

.

.

, . . .

.

-

,

.

(

),

.

.

.

-

.

,

-

, -

.

,

,

-

.

-

-

-

-

.

.

.

1.4.

-

-

-

-

,

.

(

,

. .),

,

,

-

.

-

,

-

,

-

-

.

.

,

-

,

,

,

.

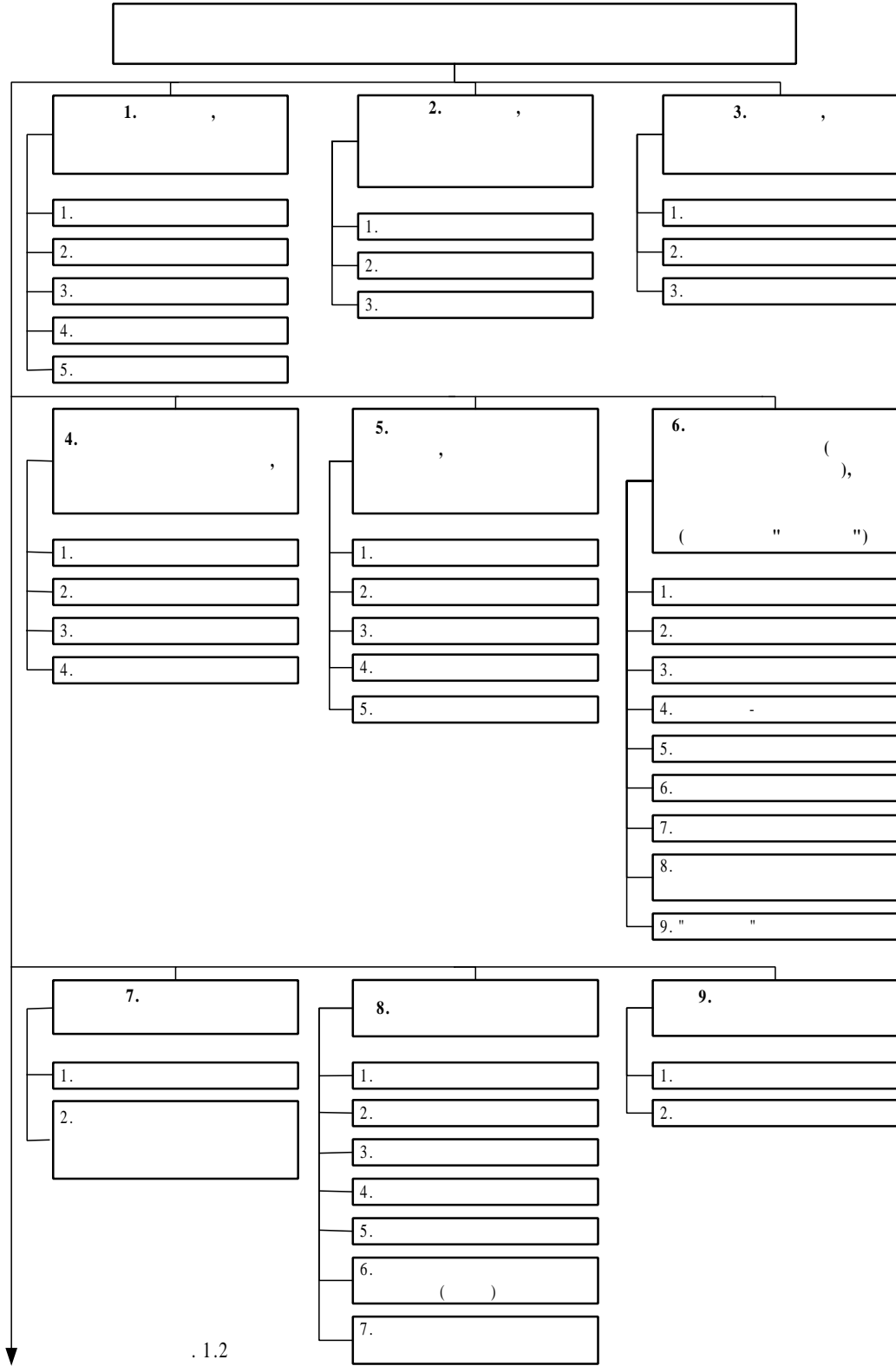
,

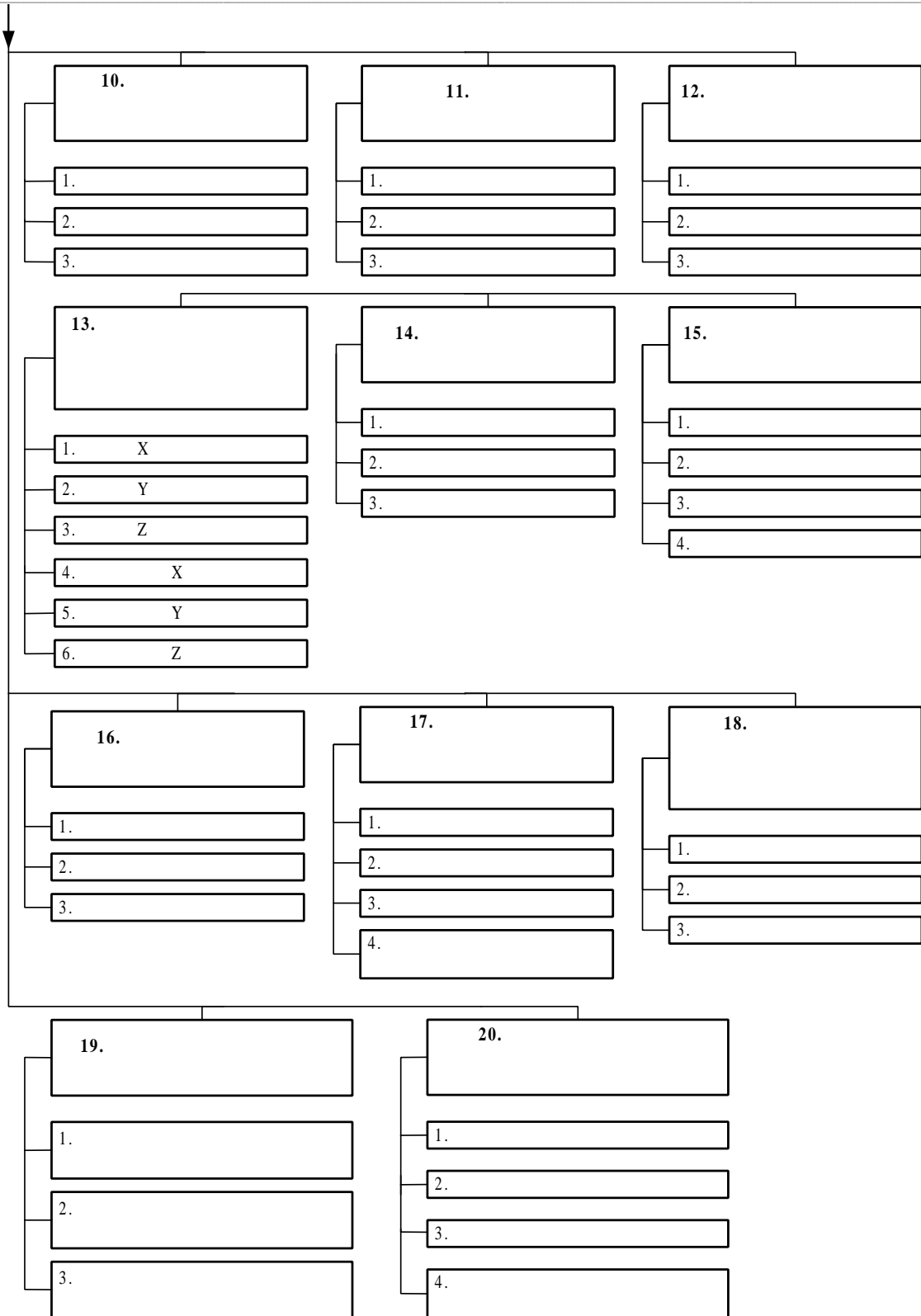
-

.

-

.





. (-)
 -
 .
 .
 .
 11 : -
 ,
 12 ... 14
 (, ,), -
 (X, Y,
 Z), (, ,). -
 (14)
 : $-10^{-9} \dots 10^{-3} \text{ }^{-1}$ -
 ; $-10^{-3} \dots 10^1 \text{ }^{-1}$ -
 ; $-10^1 \dots 10^2 \text{ }^{-1}$ -
 15
 : ; - 1 %; -
 2...20 %; - 20 %.
 16
 - $1 \text{ }^3 \text{ }^{-1}$; - $1 \dots 5 \text{ }^3 \text{ }^{-1}$ -
 5 $^3 \text{ }^{-1}$.
 17 , -
 : -
 , .
 16, 18 ... 20 -
 -

[33].

18

(, ,).

19

(-

, « »,

20

).

(- , -

(, 19, 1).

(. . 1.2) ,

1.5.

3D

-

3D

-

-

:

-

,

,

.

.

,



-

.

· ,

.

-

-

,

,

.

.

-

,

,

.

-

,

,

,

-

-

.

3D

-

.

-

-

,

-

.

,

,

-

,

-

,

-

3D

-

.

-

-

,

-

:

- ; -

- : -

- ; (-

-) , ; -

- ; -

- 3D -

- ; -

- 3D (2D -

-) ; -

- ; -

- () ; -

- , -

- : -

- ; ; -

- ; -

- . -

- - -

Microsoft Visual FoxPro. -

- . () -

- . (, -

1.6.

1.

-

.

2.

-

.

3.

-

?

4.

,

-

-

.

5.

3D

-

.

6.

,

-

-

.

7.

?

-

8.

?

,

9.

-

.

10.

.

11.

,

-

-

.

12.

.

13.

-

-

?

14.

?

15.

3D

-

-

-

?

16.

-

?

17.

-

.

18.

-

-

?

2.

Decipimur Specie recti –

2.1.

2.1-

			(c)	%
	$a = a_0\varphi^{2\cdot k}$	$a_0\varphi^{1\cdot k}$		$P \leq 0,1$
	$a = a_0\varphi^{1\cdot k}$	a_0		$P \leq 8 \dots 15$
	a_0	$a_0\varphi^{-1\cdot k}$		$P \geq 90 \dots 75$
-	$a = a_0\varphi^{-1\cdot k}$	$a_0\varphi^{-2\cdot k}$		$P = 100 - (P + P + P + P)$
	$a = a_0\varphi^{-2\cdot k}$	0		$P \leq 2$

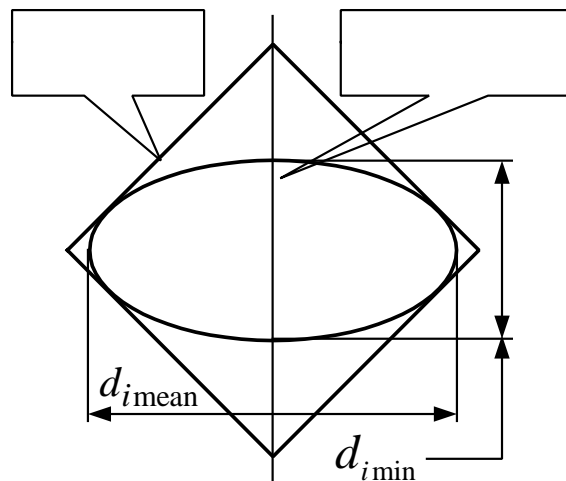
1. $k = 1, -k = 2.$

2.

- $a_0 = 2500 \dots 50$ (
 - $a_0 = 2500 \dots 63$ (
 - φ);
 - $\varphi^2 = 1,585$).

3. $a_0 = 50$ (
) $a_0 = 63$ (
)

. 2.1.



2.1 -

,
) ()
 ,
 :
 ;
 -
 -

9206-80

(18

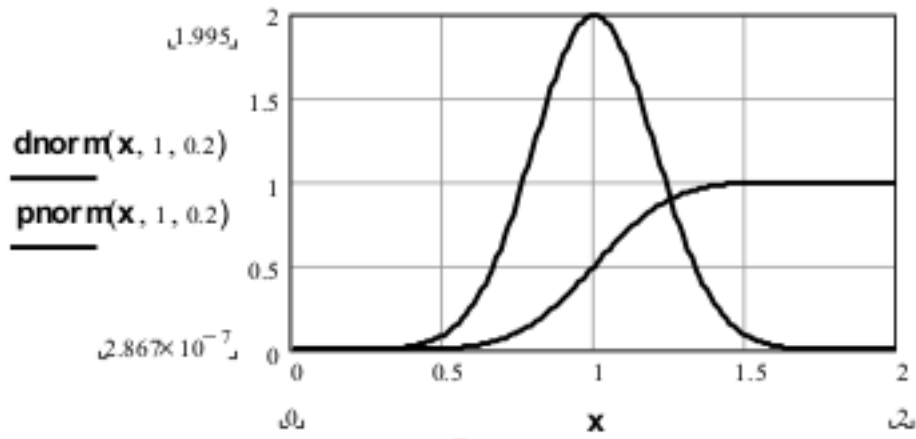
9

)

$$a_0 = 1,$$

MathCad.

(. 2.2) : $\text{dnorm}(x, \mu, \sigma)$, $\text{pnorm}(x, \mu, \sigma)$, μ -
 ; σ -



2.2 -

MathCad

$Vs(\mu, \sigma, c, b),$. 2.3.
 (μ, σ)
 c b (. . 2.1).
 (20×20)
 $(\mu = 0,7 - 1,175)$
 $(\sigma = 0,025 - 0,263).$

. 2.1.

. 2.4.

```

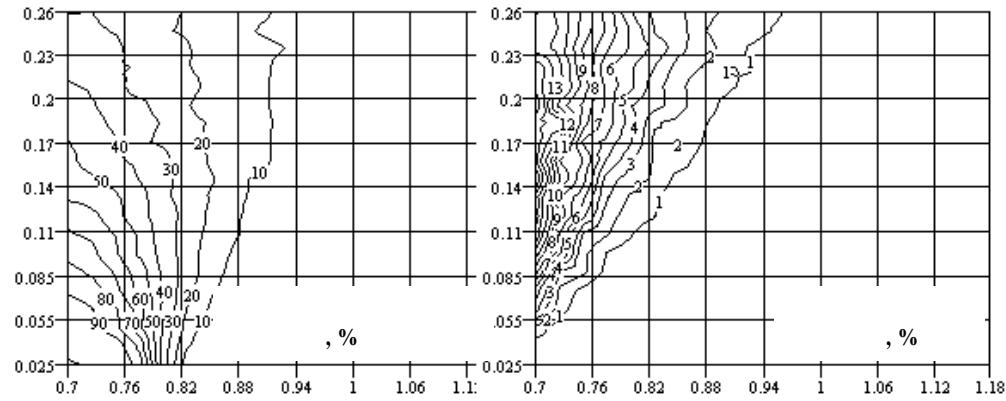
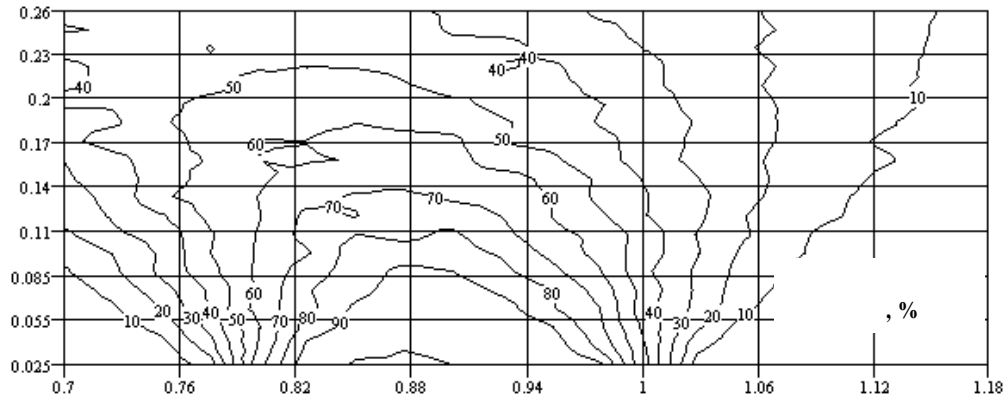
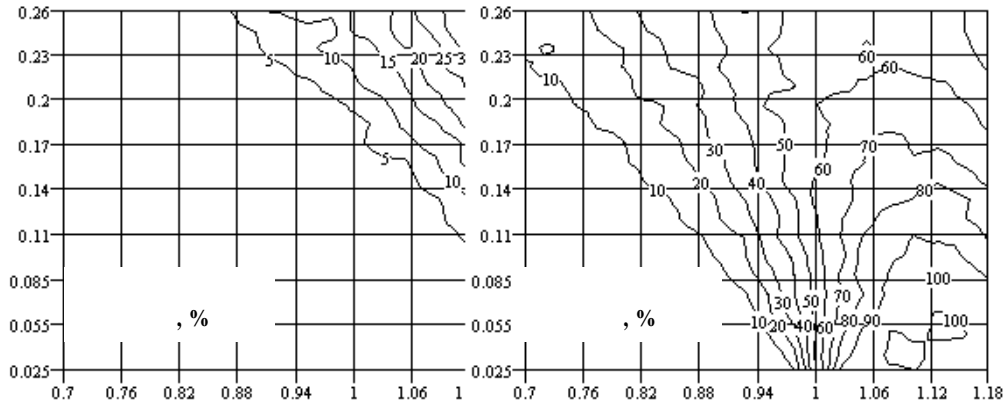
Vs( $\mu, \sigma, c, b$ )  $\equiv$ 
   $\mu \leftarrow \mu$  ( )
   $\sigma \leftarrow \sigma$  ( )
   $c \leftarrow c$  ( )
   $b \leftarrow b$  ( )
   $Vs \leftarrow 0$  ( )
  for  $i \in 1..N$  ( )
     $d_x \leftarrow \text{qnorm}(\text{rnd}(1), \mu, \sigma)$  ( _ _ _X)
     $d_y \leftarrow \text{qnorm}(\text{rnd}(1), \mu, \sigma)$  ( _ _ _Y)
     $d_z \leftarrow \text{qnorm}(\text{rnd}(1), \mu, \sigma)$  ( _ _ _Z)
     $D \leftarrow (d_x \ d_y \ d_z)$  ( _ _ )
     $Ds \leftarrow \text{sort}(D)$  ( _ _ _ )
     $d_{\min} \leftarrow Ds_{1,1}$  ( _ _ )
     $d_{\text{mean}} \leftarrow Ds_{1,2}$  ( _ _ )
     $a \leftarrow \sqrt{\frac{d_{\min}^2 + d_{\text{mean}}^2}{2}}$  ( _ _ _ )
    if  $(a \leq c) \cdot (a > b)$  ( _ _ _ )
       $v \leftarrow \frac{\pi}{6} \cdot d_x \cdot d_y \cdot d_z$  ( _ _ _ )
       $Vs \leftarrow Vs + v$  ( _ _ _ )
  Vs( _ _ _ )

```

(. . 2.4) ,

$$\mu \cong 0,88$$

σ , $0,88 a_0$



2.4 –



,

-

.

-

,

.

2.2.

,

-

-

-

.

-

.

,

-

-

,

-

.

-

,

,

-

.

-

,

,

.

, . .

-

-

,

-

:

;

,

.

,

:

;

,

»)

;

() ()

() ;

()

() () ()

()

,

.

,

.

—

,

.

2.2.1.

,

-

,

;

.

) , (-
 - , -
 .
 - , -
 :
 -
 ;
 -
 ;
 -
 , . . .
 F μ , $\mu + \Delta(F)$,
 $\Delta(F)$.

$$f_{\text{Norm}}(x; \mu, \sigma) = \frac{1}{\sigma\sqrt{2\pi}} \exp\left[-\frac{1}{2}\left(\frac{x-\mu}{\sigma}\right)^2\right], \quad (2.1)$$

μ σ^2 -

, (-
) , -
 .
 -
 ,
 ,
 ,
 ,
 .

(ln x)

$$f_{\ln\text{Norm}}(x; \mu, \sigma) = \begin{cases} \frac{1}{x\sigma\sqrt{2\pi}} \exp\left[-\frac{1}{2}\left(\frac{\ln x - \mu}{\sigma}\right)^2\right] & x > 0; \\ 0 & x \leq 0, \end{cases} \quad (2.2)$$

μ σ -

μ σ^2 . 2.2. -

($\mu = E -$

; $\sigma^2 = D -$

);

$$\hat{x} = \ln x;$$

$$x \rightarrow E, D = f(\mu, \sigma^2);$$

()

μ, σ^2 .

2.2 –

E	μ	$\exp\left(\mu + \frac{1}{2}\sigma^2\right)$
D	σ^2	$\exp(2\mu + \sigma^2) [\exp(\sigma^2) - 1]$
x_{mod}	μ	$\exp(\mu - \sigma^2)$
x_{med}	μ	$\exp(\mu)$
β	0	$[\exp(\sigma^2) - 1]^{\frac{1}{2}} \cdot [\exp(\sigma^2) + 2]$
γ	0	$[\exp(\sigma^2) - 1] \cdot [\exp(3\sigma^2) + 3\exp(2\sigma^2) + 6\exp(\sigma^2) + 6]$
		a_0
		$k_m = \frac{E}{a_0}$
		$k_v = \frac{\sqrt{D}}{E}$

. , (9206-80)
 .
 - a_0 ,
 (. 2.3).
 (%)
 .
 ()
).
 .
 :
 $a_0 -$ ()
 ; . . .
 ;
 $k_m = \frac{E}{a_0} -$ ()
 () ;
 $k_v = \frac{\sqrt{D}}{E} = \frac{\sigma}{E} = \frac{\sigma}{a_0 k_m} -$ ()
),
 $E -$;
 $D -$; $\sigma -$.
 μ, σ (. 2.3)
 a_0, k_m, k_v .

2.3 –

	(c)	, %
	$a = a_0 \varphi^k$	$P = 100 \int_{a_0 \varphi^k}^{\infty} f(x) dx < 0,1$
	$a = a_0$	$P = 100 \int_{a_0}^{a_0 \varphi^k} f(x) dx \leq 8 \dots 15$
	$a = a_0 \varphi^{-k}$	$P = 100 \int_{a_0 \varphi^{-k}}^{a_0} f(x) dx \leq 90 \dots 75$
-	$a = a_0 \varphi^{-2k}$	$P = 100 \int_{a_0 \varphi^{-2k}}^{a_0 \varphi^{-k}} f(x) dx = 100 - (P + P + P + P)$
	$a = 0$	$P = 100 \int_0^{a_0 \varphi^{-2k}} f(x) dx \leq 2$

$k = 1, \quad -k = 2.$

(2.1)

$\mu = E = a_0 k_m ; \quad (2.3)$

$\sigma = \sqrt{D} = s = a_0 k_m k_v ; \quad (2.4)$

$f_n(x; a_0, k_m, k_v) \equiv f_n(x; \mu, \sigma), \quad (2.5)$

$\mu, \sigma - ; E - ; D -$

$s - ; a_0 -$

() ; $k_m -$

); $k_v -$ () .

()

()

:

E, D

$$E = a_0 k_m, \quad \sqrt{D} = s = a_0 k_m k_v$$

$$f(x; a_0, k_m, k_v) \equiv f(x; p_1, p_2)$$

$$p_1, p_2 = f \left[E = a_0 k_m; D = (a_0 k_m k_v)^2 \right].$$

(2.2)

 μ, σ (

. 2.2)

 a_0, k_m, k_v :

$$\begin{cases} E = e^{\mu + \frac{1}{2}\sigma^2} \\ D = e^{2\mu + \sigma^2} (e^{\sigma^2} - 1) \end{cases}; \quad (2.6)$$

:

$$\mu = \ln \left(\frac{a_0 k_m}{\sqrt{k_v^2 + 1}} \right); \quad (2.7)$$

$$\sigma = \sqrt{\ln(k_v^2 + 1)}. \quad (2.8)$$

(2.1)

(2.2)

 (a_0, k_m, k_v)

$$\mu, \sigma = f \left[E = a_0 k_m; D = (a_0 k_m k_v)^2 \right].$$

MathCad.

(2.1)

(2.2)

(. 2.4, 2.5).

(9206-80).

(P)

(P)

:

$$\left\{ \begin{array}{l} 100 \int_{a_0 \varphi^{-k}}^{a_0} f(x; a_0, k_m, k_v) dx = P ; \\ 100 \int_{a_0}^{a_0 \varphi^k} f(x; a_0, k_m, k_v) dx = P , \end{array} \right. \quad (2.9)$$

$$f(x; a_0, k_m, k_v) - \quad (2.1)$$

$$(2.2)$$

,

. 2.3.

,

,

$$(a_0 = 1).$$

. 2.4, 2.5.

. 2.5, 2.6.

:

-

,

;

-

()

;

-

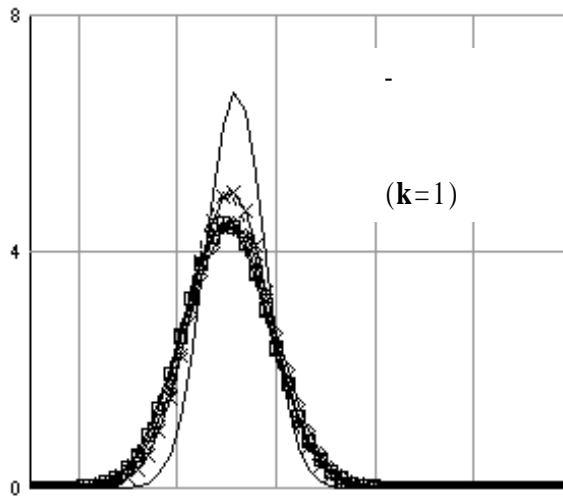
,

.

2.4 –

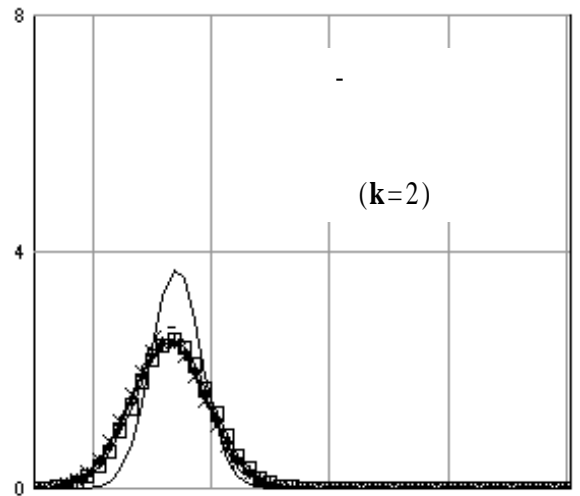
			, %				
	k_m	k_v	P	P	P	P	P
2000–1000	0,916	0,065	$8,511 \cdot 10^{-5}$	2,050	90,035	7,915	$6,280 \cdot 10^{-5}$
800...250	0,897	0,089	0,043	9,852	80,230	9,849	0,026
200...125	0,906	0,088	0,028	7,997	80,014	11,919	0,042
100	0,895	0,100	0,159	12,834	74,931	12,034	0,043
80...63	0,899	0,099	0,130	11,804	75,199	12,820	0,047
50	0,908	0,098	0,092	9,949	74,868	15,055	0,035
2000–1000	0,850	0,126	$1,225 \cdot 10^{-3}$	2,040	89,891	8,067	$5,284 \cdot 10^{-8}$
630...250	0,815	0,177	0,193	9,908	79,915	9,984	$4,291 \cdot 10^{-4}$
200...125	0,812	0,198	0,502	12,499	74,879	12,113	$5,654 \cdot 10^{-3}$
100	0,819	0,196	0,437	11,628	74,953	12,975	$6,731 \cdot 10^{-3}$
80...63	0,835	0,191	0,308	9,721	75,919	15,043	$9,404 \cdot 10^{-3}$

(Norm); 3 – (lnNorm); 4 – (logNorm); 5 – (Weibull); 6 – (Exp); 7 – (Gamma); 8. – (Beta); 9 – (Hi²); 10 – (F); 11 – (ArcSin); 12 – (Simpson); 13 – (Relay); 14 – (Maxwell); 15 – (Logistic); 16 – (Pareto); 17 – (Simpson2).



(k=1)

—	2000...1000	km=0.916	kv=0.065
----	800...250	km=0.897	kv=0.089
×××	200...125	km=0.906	kv=0.088
+++	100	km=0.895	kv=0.100
▣-▣-▣	80-63	km=0.899	kv=0.099
—◇—	50	km=0.908	kv=0.098

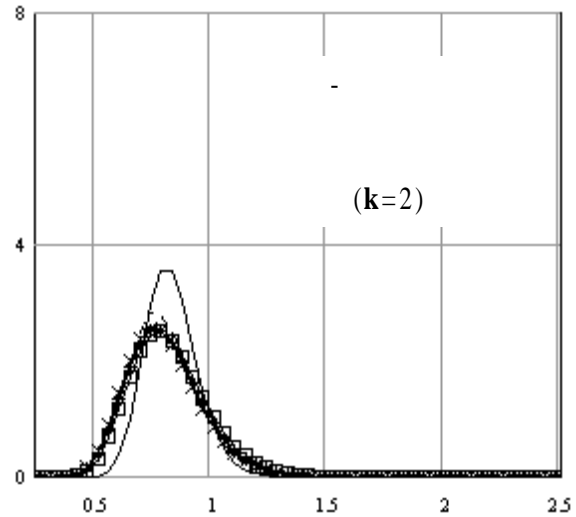
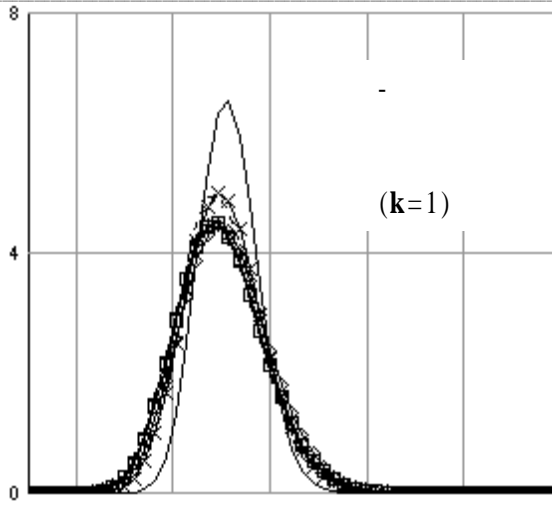


(k=2)

—	2000...1000	km=0.850	kv=0.126
----	630...250	km=0.815	kv=0.177
×××	200...125	km=0.812	kv=0.198
+++	100	km=0.819	kv=0.196
▣-▣-▣	80-63	km=0.835	kv=0.191

2.5 –

	, %						
	k_m	k_v	P	P	P	P	P
2000–1000	0,913	0,067	$2,184 \cdot 10^{-6}$	2,027	89,794	8,174	$5,974 \cdot 10^{-3}$
800...250	0,895	0,090	$5,980 \cdot 10^{-3}$	9,923	80,009	10,022	0,041
200...125	0,904	0,089	$3,121 \cdot 10^{-3}$	7,881	80,210	11,879	0,027
100	0,894	0,100	0,029	12,776	75,148	12,012	0,036
80...63	0,898	0,100	0,024	11,865	75,141	12,928	0,042
50	0,907	0,100	0,017	10,011	74,784	15,145	0,044
2000–1000	0,837	0,134	$1,863 \cdot 10^{-6}$	2,007	89,921	8,068	$3,456 \cdot 10^{-3}$
630...250	0,807	0,181	$6,008 \cdot 10^{-3}$	9,987	80,032	9,950	0,025
200...125	0,807	0,202	0,030	12,863	75,032	12,030	0,045
100	0,815	0,202	0,025	11,875	75,023	13,043	0,034
80...63	0,830	0,201	0,016	10,038	74,926	14,975	0,044



—	2000...1000	km=0.913	kv=0.067
----	800...250	km=0.895	kv=0.090
×××	200...125	km=0.904	kv=0.089
+++	100	km=0.894	kv=0.100
▣▣▣	80-63	km=0.898	kv=0.100
◇	50	km=0.907	kv=0.100

—	2000...1000	km=0.837	kv=0.134
----	630...250	km=0.807	kv=0.181
×××	200...125	km=0.807	kv=0.202
+++	100	km=0.815	kv=0.202
▣▣▣	80-63	km=0.830	kv=0.201

2.6 -

1.

:

$(-\infty < x < \infty)$.

:

$$f_{\text{Rand}} = \frac{1}{x_{\text{max}} - x_{\text{min}}} = \frac{1}{2\delta}, \quad x_{\text{min}} \leq x \leq x_{\text{max}}, \quad (2.10)$$

$x_{\text{max}}, x_{\text{min}}$ -

;

δ -

;

$$\delta = \frac{x_{\text{max}} - x_{\text{min}}}{2} = \sqrt{3D} = \sqrt{3}a_0k_mk_v. \quad (2.11)$$

2.

$(-\infty < x < \infty)$:

(2.1);

(2.3), (2.4).

3. - $(0 < x < \infty)$:
(2.2); (2.7), (2.8)

4. -
 $(0 < x < \infty)$.

- (e). :

$$f_{\log\text{Norm}} = \frac{1}{x\sigma\sqrt{2\pi}} \exp\left\{-\frac{1}{2}\left[\frac{1}{\sigma}\left(\frac{\ln(x)}{\ln(b)} - \mu\right)\right]^2\right\}, \quad x > \quad , \quad (2.12)$$

$b -$; $\mu, \sigma -$:

$$\sigma = \frac{1}{\ln(b)} \sqrt{\ln(k_v^2 + 1)} \quad (\sigma > 0); \quad (2.13)$$

$$\mu = \frac{1}{\ln(b)} \ln\left(\frac{a_0 k_m}{\sqrt{k_v^2 + 1}}\right). \quad (2.14)$$

5. $(0 \leq x < \infty)$. :

$$f_{\text{Weibul}} = \frac{\delta}{\eta} \left(\frac{x}{\eta}\right)^{(\delta-1)} \exp\left[-\left(\frac{x}{\eta}\right)^\delta\right], \quad \leq x < \infty , \quad (2.15)$$

$\delta, \eta -$.

:

$$E = \eta \Gamma\left(\frac{1}{\delta} + 1\right); \quad (2.16)$$

$$D = \eta^2 \left[\Gamma\left(\frac{2}{\delta} + 1\right) - \Gamma^2\left(\frac{1}{\delta} + 1\right) \right], \quad (2.17)$$

$$\Gamma(z) - \quad , \quad \Gamma(z) = \int_0^\infty \exp(-u) u^{z-1} du .$$

(z),

$$\Gamma(z) \cong \sqrt{\frac{2\pi}{z}} z^z \exp\left(-z + \frac{1}{12z} - \frac{1}{360z^3}\right). \quad (2.18)$$

MathCad

z = 1 ... 5.

-0,05 % → 0,

z.

(2.16)

(2.17)

$$k_v = \frac{\sqrt{D}}{E} = \frac{\sqrt{\eta^2 \left[\Gamma\left(\frac{2}{\delta} + 1\right) - \Gamma^2\left(\frac{1}{\delta} + 1\right) \right]}}{\eta \Gamma\left(\frac{1}{\delta} + 1\right)} = \frac{\sqrt{\Gamma\left(\frac{2}{\delta} + 1\right) - \Gamma^2\left(\frac{1}{\delta} + 1\right)}}{\Gamma\left(\frac{1}{\delta} + 1\right)}. \quad (2.19)$$

(2.19)

 k_v δ . k_v, \dots, δ $\delta = f(k_v),$ k_v δ . $\delta = f(k_v)$ $\ln \delta = f(\ln k_v).$ $k_v \approx 0,05 \dots 15$ $\delta \approx 30 \dots 0,2$

	100	δ k_v (2.19)	-
		MathCad	
		Excel.	-
		(Nonlinear	
Estimation)			
Statistica.			-
:			

$$\delta(k_v) \cong \exp\left(a_0 + a_1 \ln k_v + a_2 \ln^2 k_v + a_3 \ln^3 k_v + a_4 \ln^4 k_v\right) + \varepsilon(k_v), \quad (2.20)$$

$a_0, a_1, a_2, a_3, a_4, \varepsilon(k_v) -$ -
 $k_v, \delta:$

$k_v = 0,041176862 - 0,36344650, \quad \delta = 3 - 30, \quad a_0 = -0,0701484,$
 $a_1 = -1,1855327, \quad a_2 = -0,0298041, \quad a_3 = 0,0017869, \quad a_4 = 0,0006329,$
 $\varepsilon = +0,0016 \dots -0,0008; \quad k_v = 0,36344650 - 1, \quad \delta = 1 - 3, \quad a_0 = 0,0000617,$
 $a_1 = -0,9983355, \quad a_2 = -0,1556905, \quad a_3 = 0,0817673, \quad a_4 = 0,0127610,$
 $\varepsilon = -7 \cdot 10^{-5} \dots 3 \cdot 10^{-5}; \quad k_v = 1 - 15,84297952, \quad \delta = 0,2 - 1, \quad a_0 = 0,0006418,$
 $a_1 = -1,0123317, \quad a_2 = -0,1912559, \quad a_3 = -0,0014621, \quad a_4 = -0,0042408,$
 $\varepsilon = +0,001 \dots -0,0006.$

η (2.16) :

$$\eta = E / \Gamma\left(\frac{1}{\delta} + 1\right) = a_0 k_m / \Gamma\left(\frac{1}{\delta} + 1\right), \quad (2.21)$$

$\Gamma(z) -$ -
 (2.18).

6. () $(0 \leq x < \infty).$ -

:

$$f_{\text{Exp}} = \frac{1}{b} \exp\left(-\frac{x}{b}\right), \quad \leq x < \infty, \quad (2.22)$$

$$b = E = a_0 k_m -$$

$$7. \quad (0 \leq x < \infty).$$

$$f_{\text{Gamma}} = \frac{\left(\frac{x}{b}\right)^{(c-1)} \exp\left(-\frac{x}{b}\right)}{b \Gamma(c)}, \quad \leq x < \infty, \quad (2.23)$$

$$b, c -$$

$$b = D/E = a_0 k_m k_v^2 \quad (b > 0); \quad c = E^2/D = 1/k_v^2 \quad (c > 0). \quad (2.24)$$

$$8. \quad (-\infty < x < \infty).$$

$$f_{\text{Beta}} = \frac{\Gamma(v+w)}{\Gamma(v)\Gamma(w)} \left(\frac{x}{b}\right)^{v-1} \left(1-\frac{x}{b}\right)^{w-1}, \quad (2.25)$$

$$v, w -$$

$$; b -$$

$$b = x_{\text{max}} - x_{\text{min}}.$$

$$\bar{E} = E/b = a_0 k_m / b; \quad \bar{D} = D/b^2 = (a_0 k_m k_v)^2 / b^2. \quad (2.26)$$

$$v = \bar{E} \left\{ \left[\frac{\bar{E}(1-\bar{E})}{\bar{D}} \right] - 1 \right\} \quad (v > 0); \quad w = (1-\bar{E}) \left\{ \left[\frac{\bar{E}(1-\bar{E})}{\bar{D}} \right] - 1 \right\} \quad (w > 0). \quad (2.27)$$

$$9. \quad (0 \leq x < \infty).$$

$$f_{\text{Hi}^2} = x^{\frac{v}{2}-1} \exp\left(-\frac{x}{2}\right) / 2^{\frac{v}{2}} \Gamma\left(\frac{v}{2}\right), \quad \leq x < \infty, \quad (2.28)$$

$$v -$$

$$v = E = a_0 \cdot k_m.$$

$$10. \quad (0 \leq x < \infty).$$

$$f_F = \frac{\Gamma\left(\frac{v+w}{2}\right)}{\Gamma\left(\frac{v}{2}\right)\Gamma\left(\frac{w}{2}\right)} \cdot \frac{v^{\frac{v}{2}} w^{\frac{w}{2}} x^{\frac{v}{2}-1}}{(vx+w)^{\frac{v+w}{2}}}, \quad \leq x < \infty, \quad (2.29)$$

$v, w -$

$$: E = a_0 k_m; D = (a_0 k_m k_v)^2;$$

$$w = \frac{2E}{E-1} \quad (w > 4); \quad v = \frac{2w^2(w-2)}{D(w-2)^2(w-4) - 2w} \quad (v > 1). \quad (2.30)$$

$$11. \quad (-\infty < x < \infty).$$

:

$$f_{\text{ArcSin}} = \frac{1}{\pi \sqrt{l^2 - (x-a)^2}}, \quad a-l \leq x \leq a+l, \quad (2.31)$$

$a, l -$

:

$$a = E = a_0 k_m; \quad l = \sqrt{D}/2 = 0,5 a_0 k_m k_v \quad (l > 0). \quad (2.32)$$

$$12. \quad (-\infty < x < \infty).$$

:

$$f_{\text{Simpson}} = \begin{cases} l + x - a/l^2, & a-l \leq x \leq a \\ l - x + a/l^2, & a \leq x \leq a+l \end{cases} \quad (2.33)$$

$a, l -$

:

$$a = E = a_0 k_m; \quad l = \sqrt{6D} = \sqrt{6} a_0 k_m k_v \quad (l > 0). \quad (2.34)$$

$$13. \quad (0 \leq x < \infty).$$

$$f_{\text{Relay}} = \frac{x}{\sigma^2} \exp\left(-\frac{x^2}{2\sigma^2}\right), \quad x \geq, \quad (2.35)$$

$$\sigma = E/2\sqrt{\pi} = a_0 k_m / 2\sqrt{\pi}$$

14. $(0 \leq x < \infty)$. :

$$f_{\text{Maxwell}} = \frac{x^2}{\sigma^3} \sqrt{\frac{2}{\pi}} \exp\left(-\frac{x^2}{2\sigma^2}\right), \quad x \geq 0, \quad (2.36)$$

$$\sigma = E \sqrt{\frac{\pi}{8}} = a_0 k_m \sqrt{\frac{\pi}{8}}$$

15. $(-\infty < x < \infty)$. -

:

$$f_{\text{Logistic}} = \frac{\exp[(x-a)/k]}{k \{1 + \exp[(x-a)/k]\}^2}, \quad (2.37)$$

a, k -

:

$$a = E = a_0 k_m; \quad k = \frac{\sqrt{3D}}{\pi} = \frac{\sqrt{3}}{\pi} a_0 k_m k_v \quad (k > 0). \quad (2.38)$$

16. $(1 \leq x < \infty)$. :

$$f_{\text{Pareto}} = cx^{-c-1}, \quad x \geq 1, \quad (2.39)$$

$$c = \frac{E}{E-1} = 1 + \frac{1}{a_0 k_m - 1} \quad (c > 0) -$$

17. $(-\infty < x < \infty)$.

:

$$f_{\text{Simpson2}} = \begin{cases} (x-a+l)/(l^2-b^2), & a-l \leq x \leq a-b \\ 1/(1+b), & a-b \leq x \leq a+b \\ (a+l-x)/(l^2-b^2), & a+b \leq x \leq a+l \end{cases} \quad (2.40)$$

a, l, b -

; $l = 0,5 (x_{\max} - x_{\min})$ -

:

$$a = E = a_0 k_m; \quad b = \sqrt{6D - l^2} = \sqrt{6(a_0 k_m k_v)^2 - l^2}. \quad (2.41)$$

-
 -
 ,
 :
 - 3D - ;
 -
 .

2.2.2.

- :
 - , ,
 ;
 - ,
 .

.2.7.

(100).

.2.8.

: $k_m = 0,9$ -

; $k_v = 0,2$ -

2 5

Фильтр по меткам
Индексирование по вариантам
Новая запись
Визуализация
Компонирование
Номер распределения
Обозначение распределения
Настройка легенды графиков
Характеристический размер
Коэффициент математического ожидания

Метка выбора распределений
Номер варианта комплекта распределений
Таблица параметров распределений и результатов расчетов

M0	Var	Yn	Nn	Size_dis	Coef	Coef	Param
<input checked="" type="checkbox"/>	0	1	1	100.000	0.900	0.200	00E-3
<input checked="" type="checkbox"/>	0	2	2	100.000	0.900	0.200	02E+1
<input checked="" type="checkbox"/>	0	3	3	100.000	0.900	0.200	063E+0
<input checked="" type="checkbox"/>	0	4	4	100.000	0.900	0.200	093E+0
<input checked="" type="checkbox"/>	0	5	5	100.000	0.900	0.200	123E+0
<input checked="" type="checkbox"/>	0	6	6	100.000	0.900	0.200	153E+0
<input checked="" type="checkbox"/>	0	7	7	100.000	0.900	0.200	183E+0
<input type="checkbox"/>	0	8	8	100.000	0.900	0.200	213E+0
<input checked="" type="checkbox"/>	0	9	9	100.000	0.900	0.200	243E+0
<input checked="" type="checkbox"/>	0	10	10	100.000	0.900	0.200	273E+0
<input checked="" type="checkbox"/>	0	11	11	100.000	0.900	0.200	303E+0
<input checked="" type="checkbox"/>	0	12	12	100.000	0.900	0.200	333E+0

Наименование распределения
Коэффициент вариации
Коэффициент интегральной функции вероятности
Примечание к записи
Математическое ожидание
Дисперсия
Среднеквадратическое отклонение
Пересчет отдельного распределения
Традиционные параметры распределения
Переключатель добавления параметров в легенду графиков

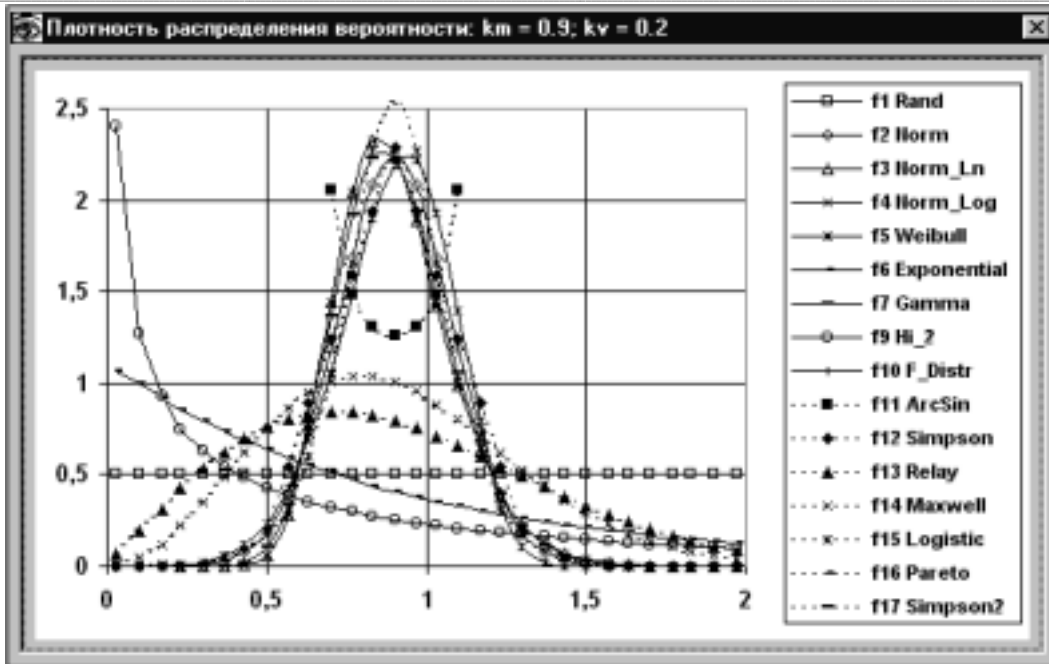
Интервал задания текущего распределения
Интервал визуализации выбранной группы распределений
Количество интервалов дискретизации при визуализации и компоновании

Анализ распределений и композиций на их основе
 1 **Графики** **Плотности вероятности**

M0 Nn 1 Name_Dis Rand
 Size_Dis a_0 100.000 **Равномерное распределение**
 Coef_E k_m 0.900 Rand
 Coef_V k_v 0.200 **Var = 0**
 Coef_F1 k_{F1} **Основные Распределения**
 Mean E 90.000
 Disp D 324.000
 Std S 18.000

По Параметрам
 Param1 1.000000000000000E-3 Xmin
 Param2 2.000000000000000E+0 Xmax
 Param3
 Добавлять Параметры в Легенду Графиков
 Переход к Характеристическим Параметрам

Интервал текущего распределения
 Xmin 0.001 Xmax 2.000
 Интервал графиков
 Xmin 0.000 Xmax 2.000 Interval 30



2.8 –

,

-

$$(2.10)$$

$$f1 \equiv f_{Rand}(x_{min} = 0, x_{max} = 0,5) \quad f2 \equiv f_{Rand}(x_{min} = 0,25, x_{max} = 1).$$

$$c1 = f1 * f2$$

(2.40).

(2.10)

$$f1 = f2 = f3 = f4 = f5 \equiv f_{Rand}(x_{min} = 0, x_{max} = 0,5)$$

. 2.10.

:

$$c1 = f1 * f2,$$

$$c2 = c1 * f3 \quad . \quad . \quad (\quad 3 = c2 * f4, c4 = c3 * f5).$$

$$f1 * f2 = 1$$

(. 2.10)

(2.33).

(2.1)



2.9 –

$$f1 \diamond f2$$



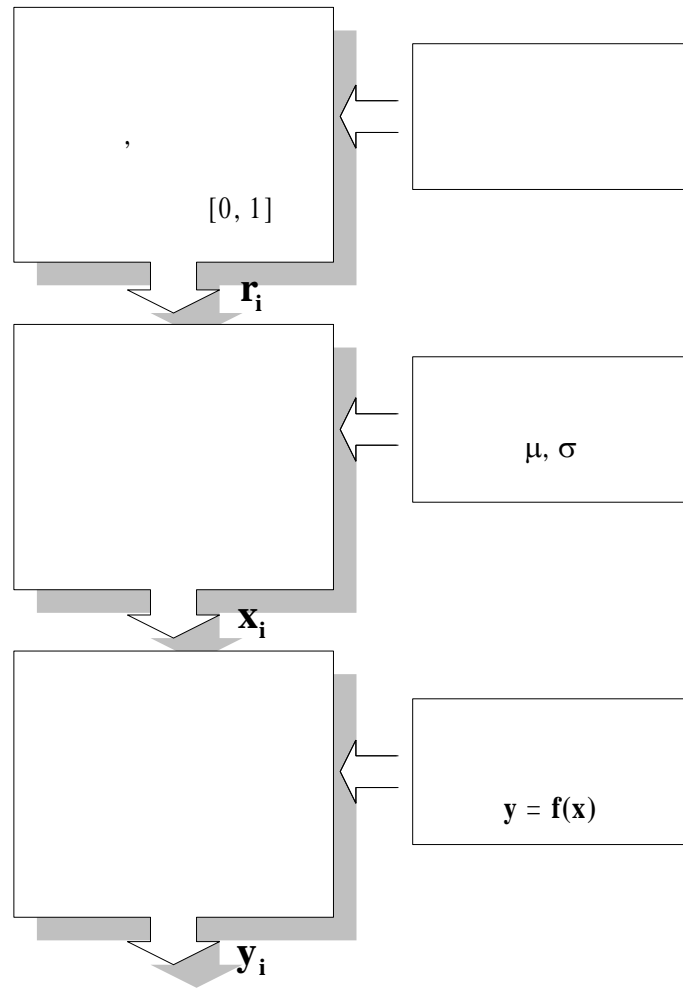
2.10 –

$$: f1 = f2 = f3 = f4 = f5$$

2.3.

-
 .
 ,
 ,
 ,
 .
 -
 ,
 .
 -
 :
 , ; -
 , .
 « - ».
 -
 .
 -
 (, - .).
 -
 . 2.11.
 .
 :
 - « », -
 -
 , (-
 , . .);
 -
 - ,
 .

, , « » -
, . « » -
.
- :
- (, -
-) -
- ;
- ;
- .



Microsoft Visual FoxPro.
 [0, 1].

RAND ([nSeedValue])
 [nSeedValue]
 (

nSeedValue).

100001.

RAND (nSeedValue).
 nSeedValue ,
 (1).

, . . .

F

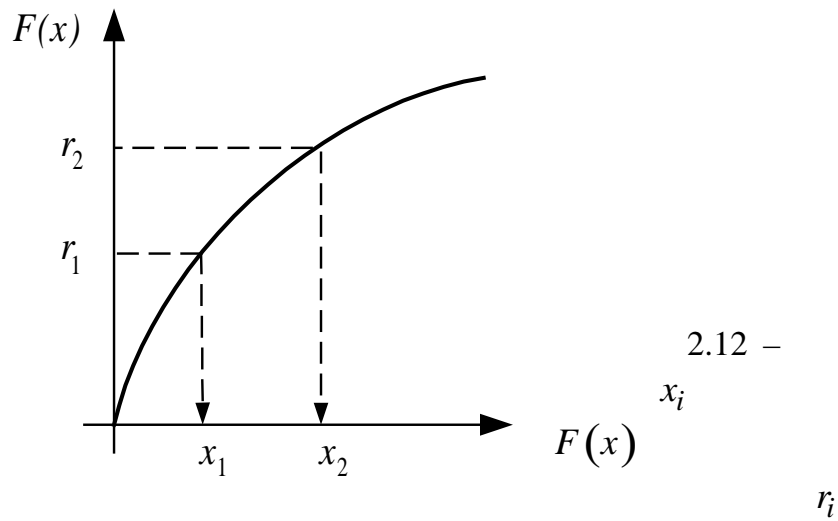
: $R -$
 $[0, 1]$, a $F -$

$X = \sup_{z \in A} \{z : F(z) \leq R\}$ (2.42)

F

(. 2.12).

12 2 45° 150 10 3 AC6 100/80
 2 ... 18



$F.$ $F -$
 $F(X) = R,$ $X = F^{-1}(R)$

$$(2.42). \quad r_1, r_2, \dots \quad -$$

$$[0, 1], \quad :$$

$$x_i = F^{-1}(r_i), \quad i = 1, 2, \dots, \quad (2.43)$$

$F.$

$$\sigma^2 \quad :$$

$$\mu$$

$$\Phi(x; \mu, \sigma) = \frac{1}{\sigma\sqrt{2\pi}} \int_{-\infty}^x e^{-\frac{(x-\mu)^2}{2\sigma^2}} dx. \quad (2.44)$$

$$\Phi(x; \mu, \sigma) = \Phi\left(\frac{x-\mu}{\sigma}; 0, 1\right), \quad (2.45)$$

$$\Phi(\cdot) = \Phi(\cdot; 0, 1), \quad -$$

:

$$\Phi(x) = \int_{-\infty}^x \varphi(x) dx, \quad (2.46)$$

$$\varphi(x) = \frac{1}{\sqrt{2\pi}} e^{-\frac{x^2}{2}} \quad (2.47)$$

$\Phi(x):$

$$\Phi(-x) = 1 - \Phi(x). \quad (2.48)$$

$\Phi(x; \mu, \sigma)$

$\Psi(p; \mu, \sigma).$

$$\Psi(p; \mu, \sigma) = \mu + \sigma \cdot \psi(p), \tag{2.49}$$

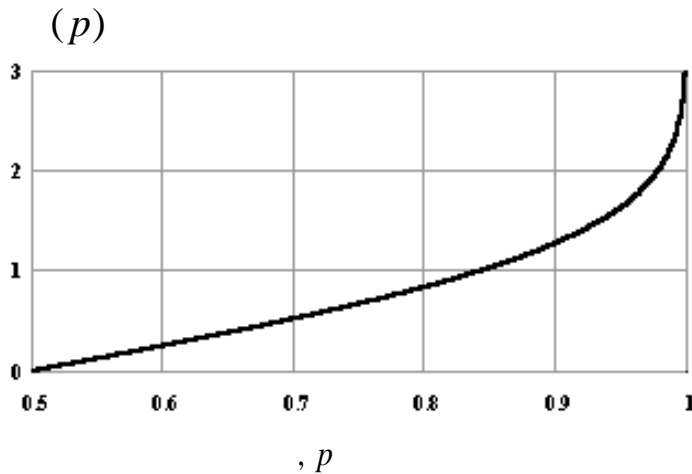
$\psi(p) -$

$$\Phi(\psi(p); 0, 1) = p \quad (0 < p < 1). \tag{2.50}$$

$$p \in (0, 1) \quad \psi(p) + \psi(1-p) = 0,$$

$$\psi(p) \quad 0,5 < p < 1.$$

. 2.13



2.13 -

MathCad:

$$\psi(p) = \text{qnorm}(p, 0, 1)$$

$$t = \sqrt{-2 \ln(1-p)}, \quad 0,5 < p < 1:$$

$$\psi_1(p) = t - \frac{c_0 + c_1 t}{1 + d_1 t + d_2 t^2} + \varepsilon_1(p), \tag{2.51}$$

$$c_0 = 2,30753, \quad c_1 = 0,270061, \quad b_1 = 0,99229, \quad d_2 = 0,04481 -$$

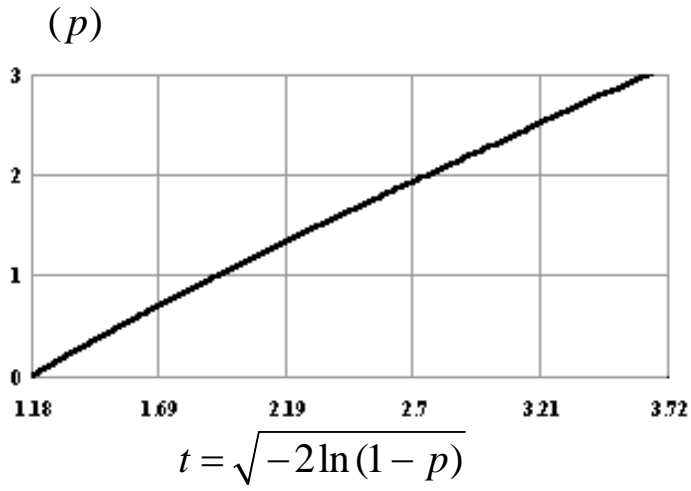
$\varepsilon_1(p) -$

$$\psi_2(p) = t - \frac{c_0 + c_1 t + c_2 t^2}{1 + d_1 t + d_2 t^2 + d_3 t^3} + \varepsilon_2(p), \tag{2.52}$$

$$c_0 = 2,515517, \quad c_1 = 0,802853, \quad c_2 = 0,010328,$$

$$d_1 = 1,432788, \quad d_2 = 0,189269, \quad d_3 = 0,001308.$$

($t = f(p)$), 2.14.



2.14 –

$$\psi(p) = f\left(\sqrt{-2\ln(1-p)}\right)$$

(2.52)

$$|\varepsilon_1(x)| < 2,8 \cdot 10^{-3},$$

(. .

(2.51),

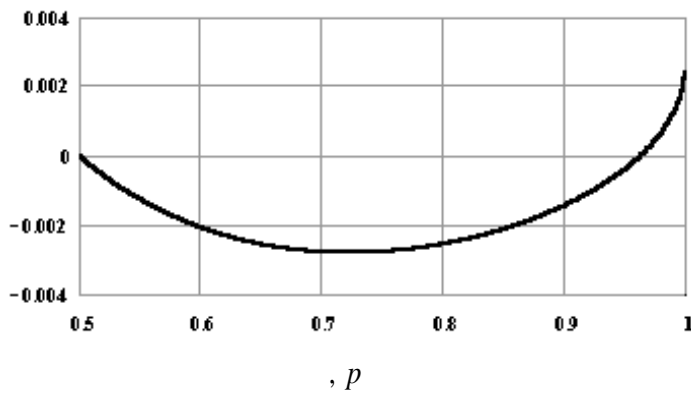
MathCad (. 2.15, 2.16).

(2.51)

$$(2.52) - |\varepsilon_2(x)| < 8,8 \cdot 10^{-4}$$

).

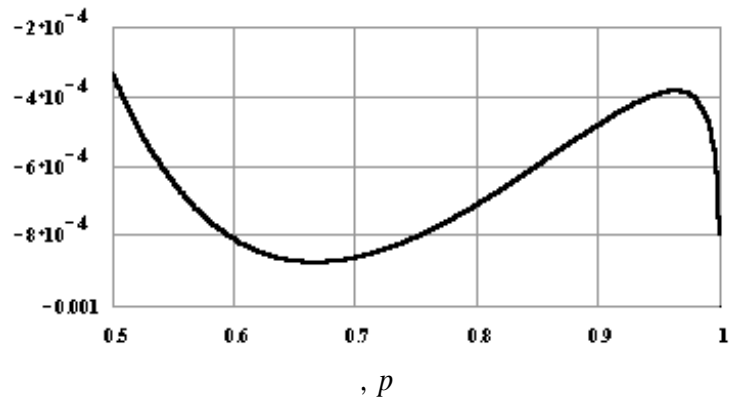
$$\varepsilon_1(p) = \psi_1(p) - \text{qnorm}(p, 0, 1)$$



2.15 –

$$\psi_1(p) = t - \frac{a_0 + a_1 t}{1 + b_1 t + b_2 t^2} + \varepsilon_1(p)$$

$$\varepsilon_2(p) = \psi_2(p) - \text{qnorm}(p, 0, 1)$$



2.16 –

$$\psi_2(p) = t - \frac{c_0 + c_1 t + c_2 t^2}{1 + d_1 t + d_2 t^2 + d_3 t^3} + \psi_2(p)$$

(2.51), (2.52):

$$\psi_3(p) = t - \frac{c_0 + c_1 t + c_2 t^2 + c_3 t^3}{1 + d_1 t + d_2 t^2 + d_3 t^3 + d_4 t^4} + \varepsilon_3(p). \tag{2.53}$$

MathCad

$$\begin{cases} \psi(p)_1 = f(t_1, c_0, c_1, c_2, c_3, d_1, d_2, d_3, d_4) \\ \dots \\ \psi(p)_8 = f(t_8, c_0, c_1, c_2, c_3, d_1, d_2, d_3, d_4) \end{cases} \tag{2.54}$$

. 2.6.

2.6 –

i	p	$t = \sqrt{-2 \ln(1-p)}$	x			-
1	0,50000	1,1774100225	0	c_0	1	3,2555230991
2	0,60000	1,3537287261	0,2533471031	c_1	0,1	10,2051357400
3	0,71000	1,5734512106	0,5533847196	c_2	0,01	3,2615610115
4	0,90000	2,1459660263	1,2815515655	c_3	0,001	0,1452486750
5	0,95000	2,4477468307	1,6448536270	d_1	1	6,0002774126
6	0,99900	3,7169221888	3,0902323062	d_2	0,1	5,3170230129
7	0,99990	4,2919320526	3,7190164855	d_3	0,01	0,9367393163
8	0,99999	4,7985259122	4,2648907939	d_4	0,001	0,0244291756

MathCad – qnorm ($p, 0, 1$).

(2.53) . 2.17.

(2.53) $|\varepsilon_3(x)| < 1,35 \cdot 10^{-8}$,

(2.52).

(2.53).

(2.53)

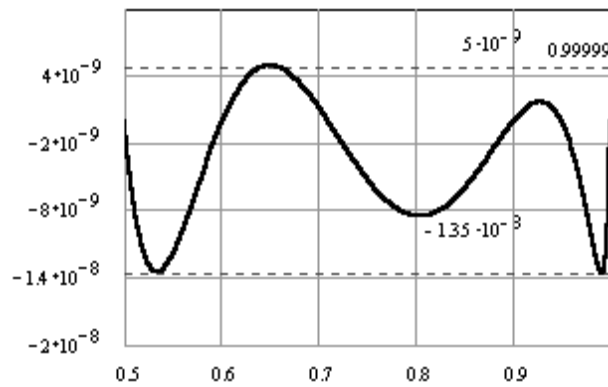
$(0 \leq p \leq 1)$,

:

$$\psi(p) = \begin{cases} t = \sqrt{-2 \ln(1-p)}, & p < p \\ t - \frac{c_0 + t [c_1 + t (c_2 + c_3 t)]}{1 + t \{d_1 + t [d_2 + t (d_3 + d_4 t)]\}}, & \end{cases} \quad (2.55)$$

$c_0 = 3,2555230991, c_1 = 10,20513574, c_2 = 3,2615610115, c_3 = 0,145248675,$
 $d_1 = 6,0002774126, d_2 = 5,3170230129, d_3 = 0,9367393163,$
 $d_4 = 0,0244291756.$

$$\varepsilon_3(p) = \psi_3(p) - \text{qnorm}(p, 0, 1)$$



2.17 –

:

$$\psi_3(p) = t - \frac{c_0 + c_1 t + c_2 t^2 + c_3 t^3}{1 + d_1 t + d_2 t^2 + d_3 t^3 + d_4 t^4} + \varepsilon_3(p)$$

Microsoft Visual FoxPro

[0, 1],
 (. 2.18).

(100/80),

$(\mu = 89,5, \sigma = 8,95)$.

12 2 45° 150 10 3

4 (100 %),

1/4

8788322 .

Visual FoxPro.

,

FoxPro

X, Y, Z,

: $\hat{\mu} = 89,498; 89,496; 89,496; \hat{\sigma} = 8,8748; 8,8760;$

8,8735.

```

FUNCTION X_p
LPARAMETERS pNum
IF pNum < 0.5
    adjust = .T.
ELSE && [0.5, 1]
    pNum = 1 - pNum
    adjust = .F.
ENDIF
t = SQRT(-2*LOG(1-pNum)) &&
x = t - (3.2555230991 + t*(10.20513574 + ;
    t*(3.2615610115 + 0.145248675*t))) / ;
    (1 + t*(6.0002774126 + t*(5.3170230129 + ;
    t*(0.9367393163 + 0.0244291756*t)))
RETURN IIF(adjust, -x, x)

```

2.18 –

(Visual FoxPro)

-

[0,1]

,

Statistica.

Visual FoxPro (*.dbf)

Statistica (*.sta)

(

)

X (200,000

Statistica)

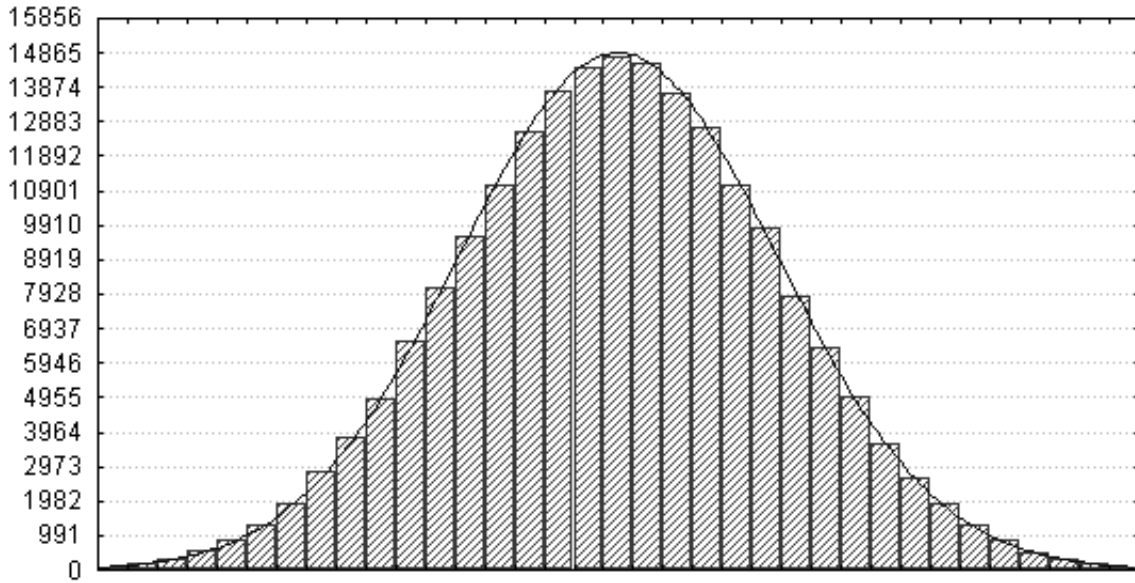
. 2.19.

35

($\mu = 89,5; \sigma = 8,95$)

($\hat{\mu}, \hat{\sigma}$)

Histogram (ZERO_01.STA 1v*200000c)
 $y = 200000 * 1,651914 * \text{normal}(x; 89,4768; 8,870635)$



2.19 –

Statistica

2.4.

1.

2.

?

3.

-

4.

?

5. -

6. -

?

7. -

?

8. -

,

?

9. -

?

10. -

,

,

11. -

?

12. -

.

13. ?

14. -

.

15. -

?

16. -

-

.

3. 3D

-

Feci quod potui, faciant meliora potentes –

, , , ,

3D

-

-

-

-

-

3D

,

-

-

-

3D

-

-

-

3.1.

3D

3D

-

-

-

.

-

,

-

.

-

«

»

«

».

3D

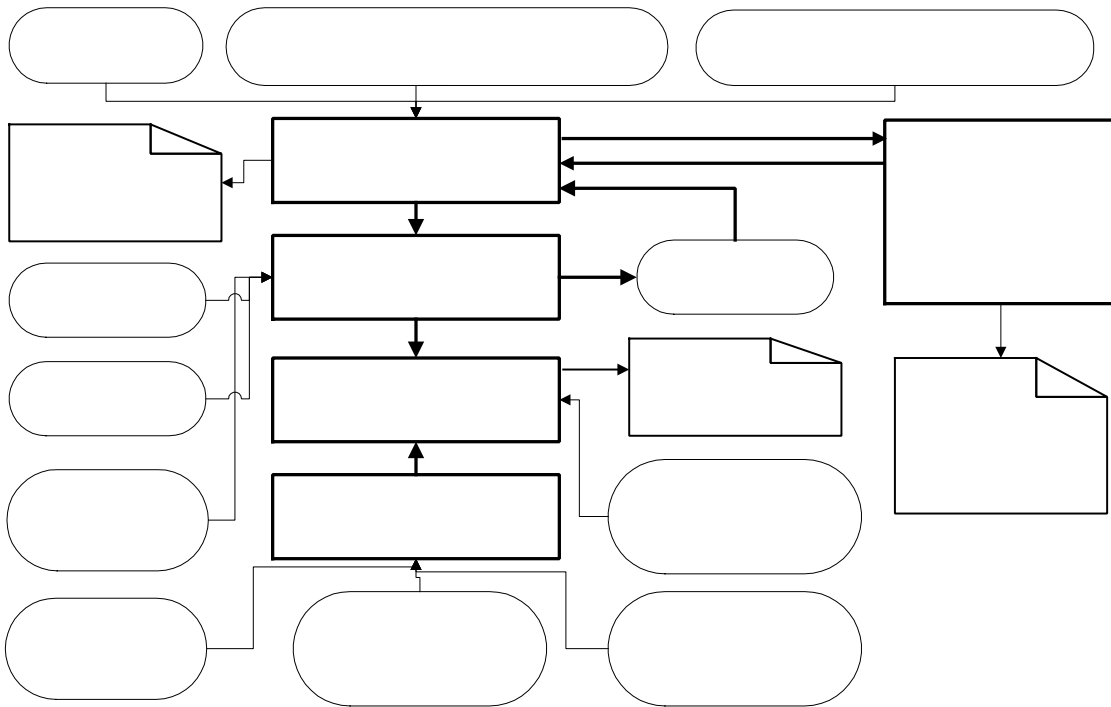
. 3.1.

999

()

Mi-

icrosoft Visual FoxPro.



3.1 -

3D

-

:

-

(

,

,

);

-

(

,

,

);

-

,

-

-

-

-

-

;

(

,

);

-

-

3D

);

-

-

:

;

(

3D

,

,

,

);

-

3D

);

(

3D

,

3D

,

);

-

;

()

;

:(

3D

,

,

,

);

-

:

(

,

);

(

,

);

;

-

:

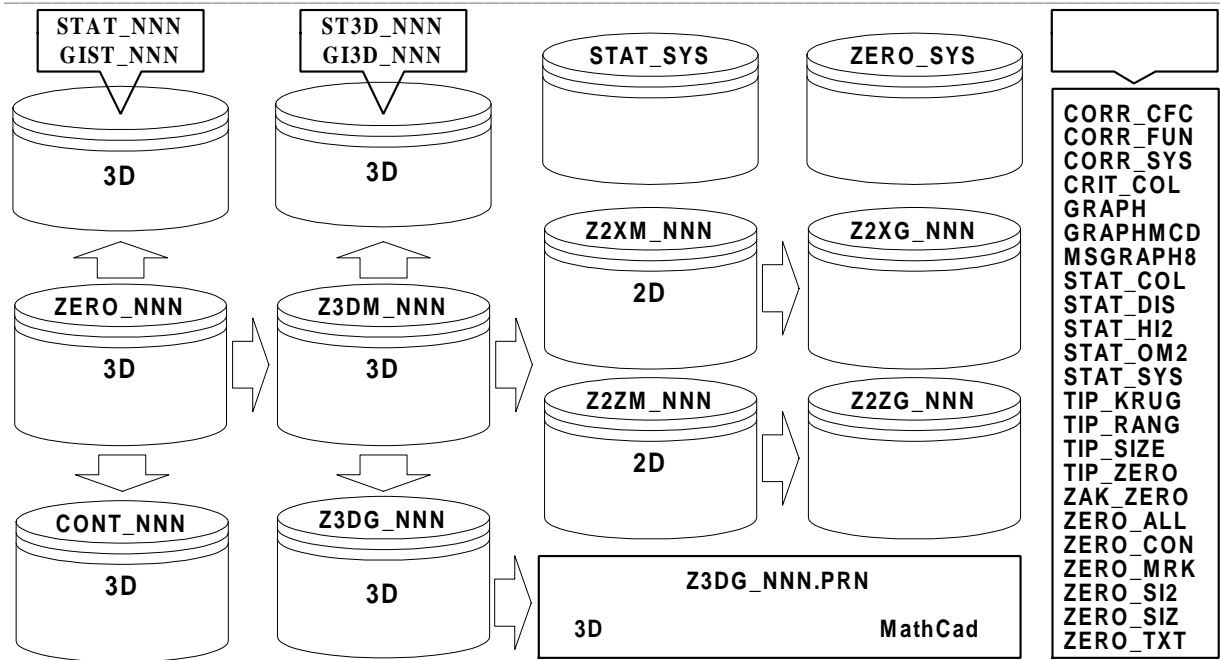
;

;

```

;
; , , , -
;
- ( 3D , -
, 2D , -
).
3D -
.3.2. ( ).
: (
)
«_NNN», NNN -
3D : ZERO_NNN -
( );
CONT_NNN -
; STAT_NNN, GIST_NNN -
; Z3DM_NNN -
( , -
, , -
); ST3D_NNN, GI3D_NNN -
;
Z3DG_NNN - 3D (
); Z3DG_NNN.PRN -
3D MathCad; Z2XM_NNN, Z2ZM_NNN
- ( , -
, , -
); Z2XG_NNN, Z2ZG_NNN -
.
3D
, -
.

```



3.2 -

3D

3D 2D

c

Visual FoxPro

Microsoft Graph.

3D

MathCad.

Visual FoxPro Microsoft Graph MathCad
OLE (Object Linking and Embedding).

3.2.

3D

-

()

()

()

;

3D

(. . 3.1)

:

-

(: -

- ; -

-);

- ,

- ;

- (,) -

- ;

- : , -

- , ,

- .

- .

- .

- , .

- (,).

- : - , -

- () .

-

- .

- , .

- ,

- .

-

, - , -
 , . :
 , ; :
 .
 « »
 . :
 () .
 - - ,
 , -
 . -
 . -
 , -
 . -
 , -
 , -
 (), -
 , -
 , -
 3D .
 3D -
 3D -
 ? , - -
 , -
 . ,

·

,

·

—

·

,

:

».

«

,

(i = 1 ... n)

«

»

«

»

«

(i)»

«

»

,

·

-

Visual FoxPro.

,

·

3D

. 3.3.

3D

:

;

3D

,

()

;

2D

;

·

3D модель

3D - модель рабочей поверхности кругов и абразивоносного слоя

Вариант 3

Диаметр, мм: D= 150.00
 Ширина, мм: B= 10.00
 Толщина, мм: S= 3.00

Угол сегмента алмазоносного слоя: 6.283,185 рад. 360.00 град.

Диаметр зерен, мкм: Ось X 90.0, Ось Y 90.0, Ось Z 90.0
 Отклонение: 11.00
 Основание: 2.72

Концентрация: 4 100 %

Характеристический размер: 100
 Зернистость: 100/80

Объем, мм³: 13,194.689
 Абразивн. слой: 13,194.689
 Зерна (предв.): 3,298.672
 Зерна (модель): 3,298.672
 Единичн. зерно: 0,000,381,704

Количество Зерна (предв.): 8,641,963
 Зерна (модель): 8,646,073

Закон распредел.: 5 - Логарифмически - нормальное распределение с заданным

Диапазон зернистостей: 1 - Алмазные шлифпорошки широкого

Меню выбора формы круга: 5 - Сегмент торцового круга

Меню выбора формы зерен: 2 - Трехосный эллипсоид

Меню выбора закона распределения размеров зерен: 5 - Логарифмически - нормальное распределение с заданным

Меню выбора типа абразивного порошка и диапазона зернистостей: 1 - Алмазные шлифпорошки широкого

Кнопка запуска главного меню

Кнопка запуска системы редактирования баз данных

Кнопка Завершения работы

Кнопка запуска Построителя параметров закона распределения размеров зерен в соответствии с ГОСТ

Кнопка запуска Справки по выбору параметров законов распределения размеров зерен

Кнопка запуска 3D модели рабочей поверхности

Кнопка запуска контроля зернистости порошка по фракциям

Кнопка запуска результатов статистического анализа размеров зерен и координат

Меню выбора зернистости абразивного порошка

Кнопка запуска Редактирования текущей БД 3D модели абразивоносного слоя

Кнопка запуска просмотра проекций зерен на плоскость X-Z

3.3.

3D

:

-

;

-

(

,

);

-

-

(

).

;

;

;

;

.

3D

.3.3.

:

-

(

): 1 -

(

:

,

,

,

); 2 -

(

:

,

,

); 3 -

(

:

,

,

); 4 -

(

); 5 -

(

:

,

,

,

); 6 -

(

:

,

,

,

); 7 -

(

);

-

(

): 1 -

; 2 -

;

-

(

): 1 -

(

-

); 2 -

(

:

,

); 3 -

(

:

,

); 4 -

-

(

:

,

);

(1 ... 8

25 ... 200 %);

(

, -3,53 / 3);

(

, -1).

(. . 3.3)

.

(2)

.

:

1 - ; 2 -

; 3 - ;

(

);

.

:

; ,

().

:

().

.

:

.

$V = LBS,$ (3.1)

$L, - ; B - ; S - ;$

$$V = \pi BS(D - B); \quad (3.2)$$

$$V = \pi BS(D - S), \quad (3.3)$$

$B -$; $S -$; $D -$;

$$V = 2\pi BS(D - B)\varphi ; \quad (3.4)$$

$$V = 2\pi BS(D - S)\varphi , \quad (3.5)$$

$B -$; $S -$; $D -$; $\varphi -$

(. . . 3.3)

$\varphi (.) = \varphi (.) \pi / 180.$

(. . .), , -

:

$$V (.) = V \frac{K}{16}, \quad (3.6)$$

$V -$; $K -$

(1 ... 8).

$\% (. . . 3.3) \quad K (\%) = 25 \cdot K .$

(. . .)
(. . . 3.3):

$$V_{1(.)} = \frac{\pi}{6} E^3 \{ d \}, \quad (3.7)$$

$E \{ d \} -$;

$$V_{1(.)} = \frac{\pi}{6} E \{ d_X \} E \{ d_Y \} E \{ d_Z \}, \quad (3.8)$$

$E\{d_x\}, E\{d_y\}, E\{d_z\}, -$

$X, Y, Z.$

(\quad)

$$, \quad V(\quad) \quad (3.6),$$

$$V_1(\quad).$$

3.3.1.

$(\quad -$

$)$

$$(\quad) \quad (3.3).$$

$i-$

$$(3.6)$$

:

$$\sum_i k \cdot V_{1(i)} = \sum_i k \frac{\pi}{6} d_{X(i)} d_{Y(i)} d_{Z(i)} = V \geq V(\quad), \quad (3.9)$$

$k - \quad (\quad) \quad ; V_{1(i)} -$

$i- \quad ; d_{X(i)}, d_{Y(i)}, d_{Z(i)} - \quad i-$

$X, Y, Z; V, V(\quad) - \quad (\quad)$

$$(3.6).$$

2.3.

$($

$)$

. 3.3):

$E \ll$

\gg ;

$s \ll$

\gg ;

$b \ll$

\gg .

$$d_i = E = \text{const.}$$

$$d_{\min} = E - s \leq d_i \leq E + s = d_{\max}$$

$$d_i = d_{\min} + (d_{\max} - d_{\min})\text{RAND()} = E - s[1 + 2\text{RAND()}], \quad (3.10)$$

RAND() –

$[0, 1]$.

(2.3)

$$d_i = E + \psi[\text{RAND()}]s, \quad (3.11)$$

$\Psi(p)$ –

(2.55)

$(0 \leq p \leq 1)$.

$$k_v = s/E; \quad \hat{E} = \ln\left(\frac{E}{\sqrt{k_v^2 + 1}}\right); \quad \hat{s} = \sqrt{\ln(k_v^2 + 1)}, \quad (3.12)$$

k_v –

; \hat{E}, \hat{s} –

(3.11):

$$\hat{d}_i = \hat{E} + \psi[\text{RAND()}]\hat{s}. \quad (3.13)$$

:

$$d_i = \exp(\widehat{E} + \widehat{d}_i \widehat{s}), \quad (3.14)$$

$\widehat{E}, \widehat{s}, \widehat{d}_i$ –

i –

b :

$$k_v = s/E; \quad \widehat{E} = \frac{1}{\ln b} \ln \left(\frac{E}{\sqrt{k_v^2 + 1}} \right); \quad \widehat{s} = \frac{1}{\ln b} \sqrt{\ln(k_v^2 + 1)}, \quad (3.15)$$

k_v –

; \widehat{E}, \widehat{s} –

; b –

(3.13).

, (3.14): $d_i = b^{\widehat{E} + \widehat{d}_i \widehat{s}}$, b –

d_i

X, Y, Z

() ZERO_NNN,

NNN –

ZERO_SYS (. 3.2).

V

« () »

«

() »

3D

(. . 3.3).

(

)

(. . 3.3).

3.3.2.

-

.

-

,

,

.

-

3D

-

3D

-

.

3D

-

.

-

.

-

,

,

-

,

-

.

-

,

.

-

-

-

.

-

,

-

9206-80 (

2486-94).

-

.

-

.

Microsoft Visual

FoxPro

3D

-

.

-

100/80

-

. 3.4.

-

,

($n = 196652$).

$d_{X(i)}, d_{Y(i)}, d_{Z(i)}$

$X, Y, Z.$

(. . 3.4)

$E = 90$

$s = 11$

$$d_{X(i)} \neq d_{Y(i)} \neq d_{Z(i)}.$$

. 3.5.

. 3.6.

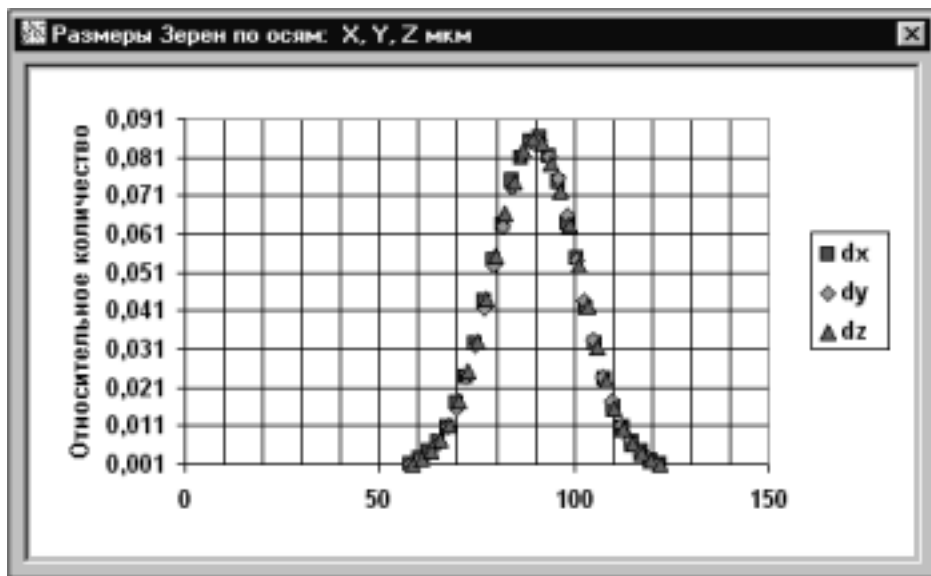


3.4 –

– : (« – »), « »); (–): « » – «2500/1600, 1600/1000, 1000/630, 630/400, 400/250, 250/160, 160/100, 100/63, 63/40»; « » – «2500/2000, 2000/1600,

1600/1250, 1250/1000, 1000/800, 800/630, 630/500, 500/400, 400/315, 315/250, 250/200, 200/160, 160/125, 125/100, 100/80, 80/63, 63/50, 50/40»;

— : « 1, 2, 3, 5, 8, 2, 4, 6, 15, 20, 32, 50, 1, 4, 3».



3.5 –

X, Y, Z



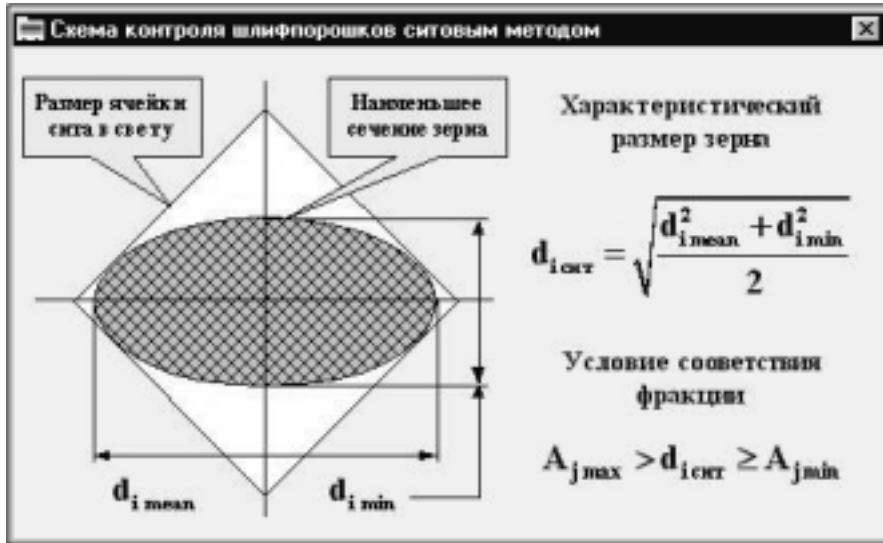
3.6 –

).

(. . 3.6,

». . 3.7

().



3.7 –

:

$$A_{j \text{ max}} > d_i \geq A_j \text{ -----}, \tag{3.16}$$

$A_{j \text{ max}}, A_{j \text{ min}}$ –

j -

d_i –

i -

$$d_i \quad i- \quad , \quad d_{X(i)}, d_{Y(i)}, d_{Z(i)},$$

$$:$$

$$d_i = \sqrt{\frac{d_{i\text{mean}}^2 + d_{i\text{min}}^2}{2}}, \quad (3.17)$$

$$d_{i\text{mean}}, d_{i\text{min}} - \quad d_{X(i)}, d_{Y(i)}, d_{Z(i)}$$

$$(\quad) \quad i = 1 \dots n, \quad n -$$

:

-

i-

$$V_{(i)} = \frac{\pi}{6} d_{X(i)} d_{Y(i)} d_{Z(i)}, \quad (3.18)$$

$$d_{X(i)}, d_{Y(i)}, d_{Z(i)} - \quad i- \quad X, Y, Z;$$

-

$$d_{X(i)}, d_{Y(i)}, d_{Z(i)} \Rightarrow d_{i\text{max}}, d_{i\text{mean}}, d_{i\text{min}}; \quad (3.19)$$

-

$$d_i \quad (3.17);$$

-

$$j- \quad (3.16);$$

-

j-

$$V_j = V_j + V_{(i)}, \quad V_{(i)} \quad (3.18);$$

-

$$(\quad . 3.15): \sum_i d_{i\text{max}}; \sum_i d_{i\text{mean}}, \quad d_{i\text{max}},$$

$$d_{i\text{min}} -$$

():

$$P_j = 100 \frac{V_j}{\sum V_j} \%, \quad (3.20)$$

$$V_j, \sum V_j - j - ;$$

$$K = \frac{\sum_i^n d_{i\max}}{\sum_i^n d_{i\text{mean}}} , \tag{3.21}$$

$$d_{i\max}, d_{i\text{mean}} \text{ () (-)} \tag{3.6}$$

: $P = 0 < 0,1\%$ - ; $P = 2,55 < 12\%$ -
 ; $P = 82,13 > 75\%$ - ; $P = 0,01 < 2\%$ -
 $P = 15,31\%$.

$$K = 1,103.$$

(.).

($n = 5873383$.) 40/28

. 3.8.

« » $E = 29$

« » $s = 7$.

. 3.9.

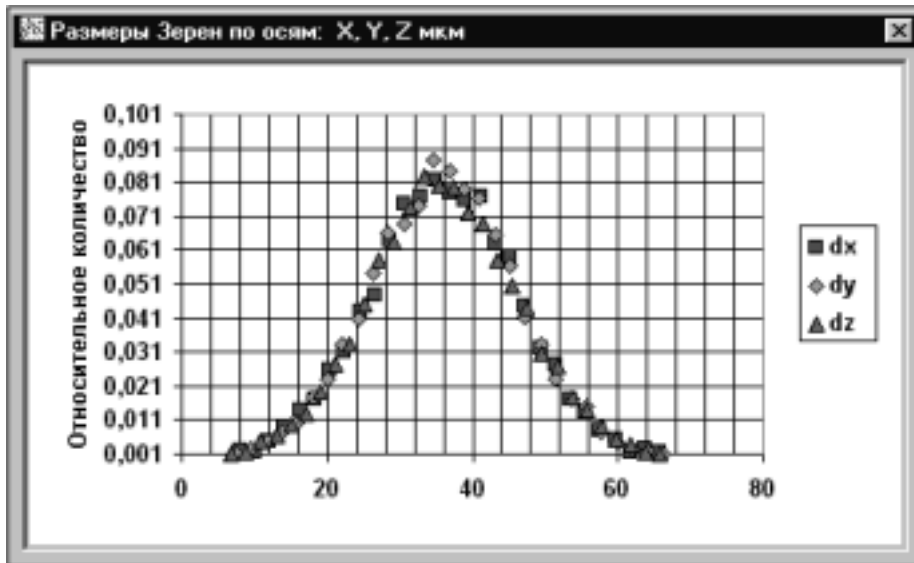
. 3.10.

- : «60/40, 40/28, 28/20, 20/14, 14/10, 10/7, 7/5, 5/3, 3/2, 2/1, 1/0»;

- : « , , , ».



3.8 –



3.9 –

X, Y, Z

).

(. . 3.10,

(

)

– «

».

. 3.11

(

).

:

d_i

(3.17)

(

,

)

$$d_i = \frac{d_{i\max} + d_{i\text{mean}}}{2}, \quad (3.22)$$

$d_{i\max}, d_{i\text{mean}}$ –

$d_{X(i)}, d_{Y(i)},$

$d_{Z(i)}$

,

;

(3.20),

:

$$P_j = 100 \frac{N_j}{\sum N_j} \%, \quad (3.23)$$

$N_j, \sum N_j$ –

j -

(. . 3.10)

(

)

: $P = 3,24 < 5 \%$ –

; $P = 78,5 > 65 \%$ –

;

$P = 18,26 < 30 \%$ –

«

»

«

»

$K = 1,203.$

(. .).

:

(2500/2000 ... 1/0);



3.10 –



3.11 –

($n = 189537$) . 3.12.

: « » $E = 90$
 « » $s = 40$.
 3.13.

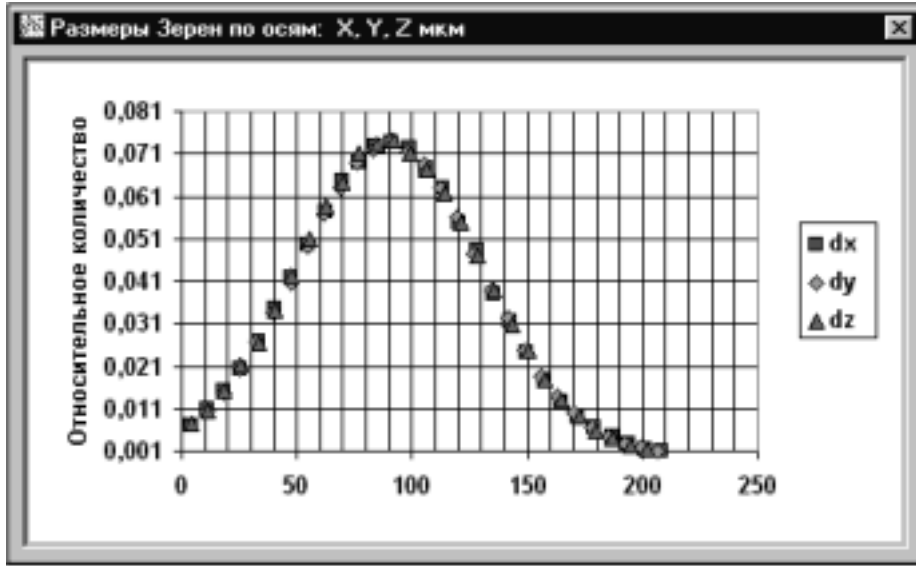
. 3.14.

– « ».

. 3.15



3.12 –



3.13 –

X, Y, Z

(. . 3.14)

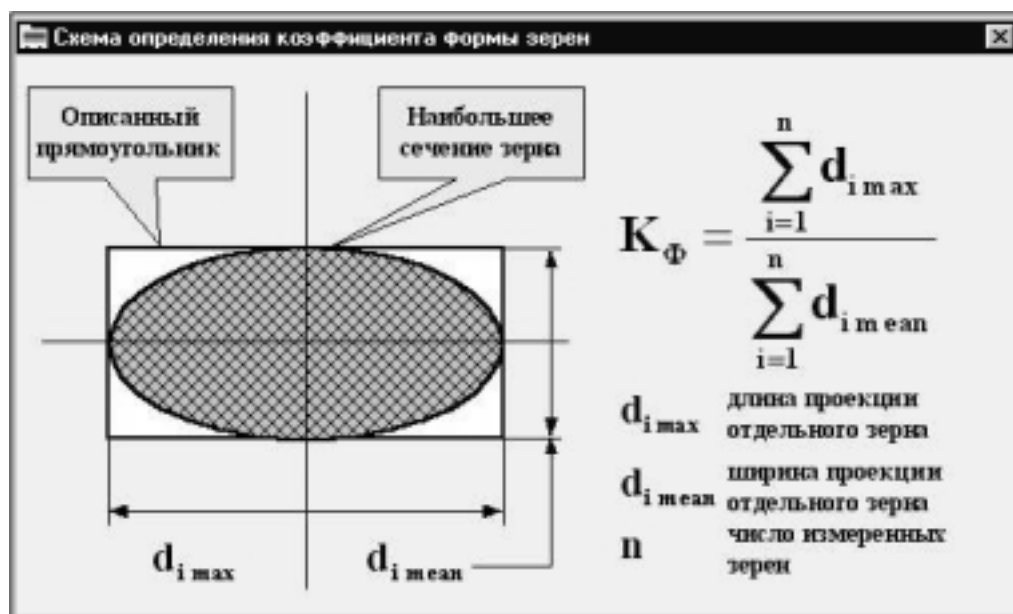
100/80 (34,84 %);

– 125/100 (37,76 %);

3D



3.14 –



3.15 –

3.3.3.

$(ZERO_NNN)$, $d_{X(i)}$, $d_{Y(i)}$, $d_{Z(i)}$.
 L , B , S .
 2.
 i -
 :
 -

$$x_{(i)} = 0,5d_{X(i)} + (B - d_{X(i)})\text{RAND()}; \quad (3.24)$$

$$y_{(i)} = 0,5d_{Y(i)} + (S - d_{Y(i)})\text{RAND()}; \quad (3.25)$$

$$z_{(i)} = 0,5d_{Z(i)} + (L - d_{Z(i)})\text{RAND()}; \quad (3.26)$$

$d_{X(i)}$, $d_{Y(i)}$, $d_{Z(i)}$ - i - ; B , S , L - ,
 ; $\text{RAND}()$ - ,
 [0, 1];

« - » i -
 « » j - ($j = 1 \dots i-1$)

$$\Delta_{ji} \leq r_j + r_i, \quad (3.27)$$

Δ_{ji} - j - i - ; r_j , r_i - j -
 i - , , ;

$$\begin{aligned} & \text{« } i \text{»} \\ & \text{« } j \text{»} \end{aligned} \quad (3.27).$$

$$100. \quad (3.27),$$

$$\Delta_{ji} = (x_{(j)} - x_{(i)})^2 + (y_{(j)} - y_{(i)})^2 + (z_{(j)} - z_{(i)})^2, \quad (3.28)$$

$x_{(j)}, y_{(j)}, z_{(j)}, x_{(i)}, y_{(i)}, z_{(i)}$ —

$$\cos_{X(j,i)} = (x_{(j)} - x_{(i)}) / \Delta_{ji}; \quad (3.29)$$

$$\cos_{Y(j,i)} = (y_{(j)} - y_{(i)}) / \Delta_{ji}; \quad (3.30)$$

$$\cos_{Z(j,i)} = (z_{(j)} - z_{(i)}) / \Delta_{ji}. \quad (3.31)$$

$$r_j = \sqrt{(0,5d_{X(j)} \cos_{X(j,i)})^2 + (0,5d_{Y(j)} \cos_{Y(j,i)})^2 + (0,5d_{Z(j)} \cos_{Z(j,i)})^2}, \quad (3.32)$$

$d_{X(j)}, d_{Y(j)}, d_{Z(j)}$ — j — X, Y, Z ;

$$r_i = \sqrt{(0,5d_{X(i)} \cos_{X(j,i)})^2 + (0,5d_{Y(i)} \cos_{Y(j,i)})^2 + (0,5d_{Z(i)} \cos_{Z(j,i)})^2}, \quad (3.33)$$

$d_{X(i)}, d_{Y(i)}, d_{Z(i)}$ — i — X, Y, Z .

3.3.4.

. 3.16.

MS Graph (. 3.17, 3.18).

$$r_{xy} = \frac{\sum_{i=1}^n (x_i - \bar{x})(y_i - \bar{y})}{\sqrt{\sum_{i=1}^n (x_i - \bar{x})^2 \sum_{i=1}^n (y_i - \bar{y})^2}}, \quad (3.34)$$

$$\bar{x} = \frac{1}{n} \sum_{i=1}^n x_i, \bar{y} = \frac{1}{n} \sum_{i=1}^n y_i$$

$$|r| \quad r_{m;q} \quad m = n - 2, \quad q = 1 - \frac{\alpha}{2}, \quad m -$$

; $q -$

; $\alpha -$

$$|r| > r_{m;q},$$

$$(3.34)$$

$$(3.34)$$

$$\sum_{i=1}^n (x_i - \bar{x})^2 = \sum_{i=1}^n x_i^2 - n\bar{x}^2, \tag{3.35}$$

$$(3.35)$$

$$r_{ij} = \frac{n \sum x_i \cdot x_j - \sum x_i \cdot \sum x_j}{\sqrt{n \sum x_i^2 - (\sum x_i)^2} \cdot \sqrt{n \sum x_j^2 - (\sum x_j)^2}}, \tag{3.36}$$

$n = 1 \dots 1000$

[23]

$n > 1000$

[23].

. 3.19.

$X \llcorner Dx \llcorner, Y \llcorner Dy \llcorner, Z \llcorner Dz \llcorner;$

$\llcorner Dv \llcorner;$

$\llcorner Dk \llcorner;$

$\llcorner Dm \llcorner;$

$X \llcorner Xc \llcorner, Y \llcorner Yc \llcorner, Z \llcorner Zc \llcorner$

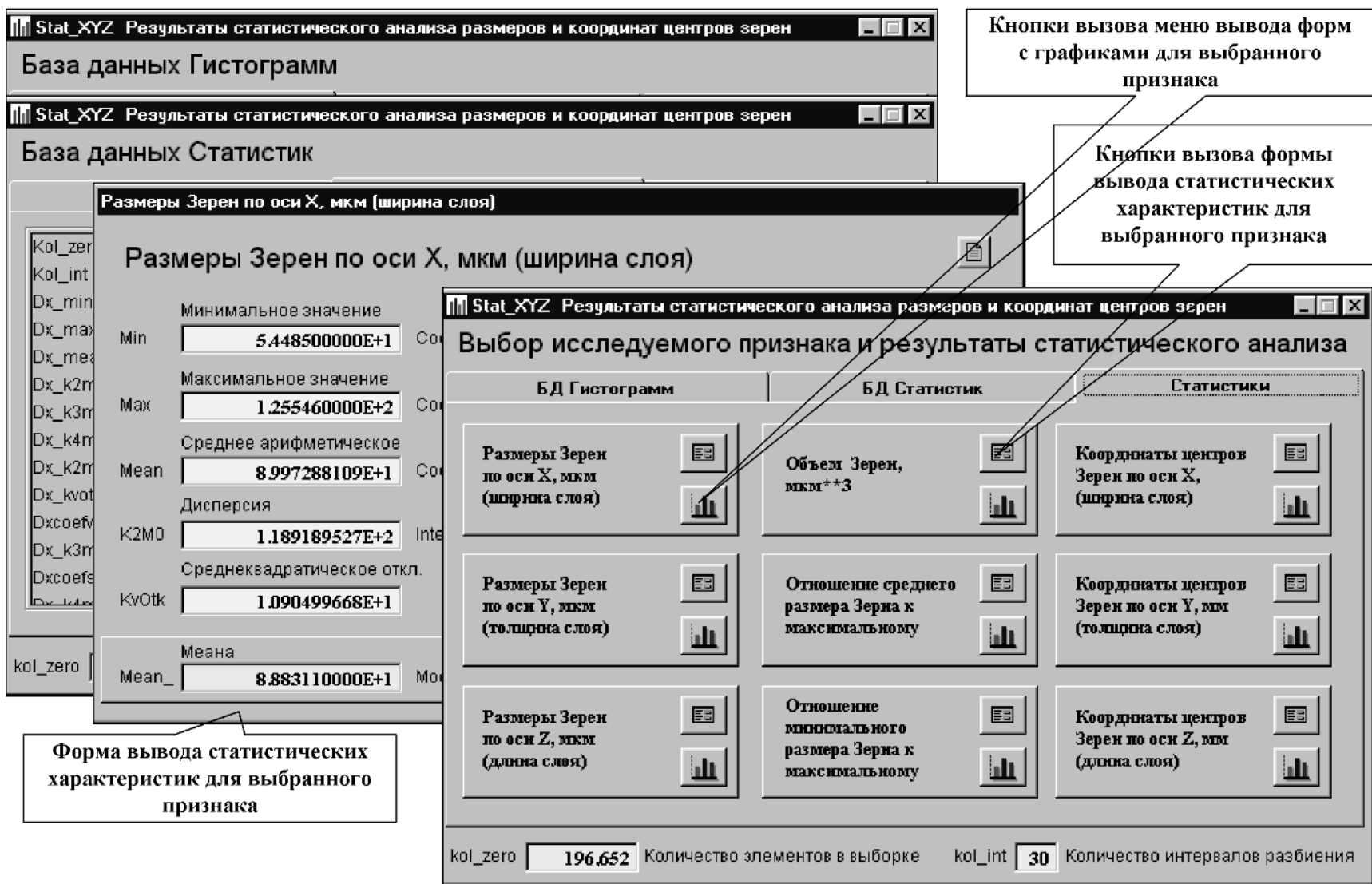


Рисунок 3.16 – Результаты статистического анализа алмазосодержащего слоя

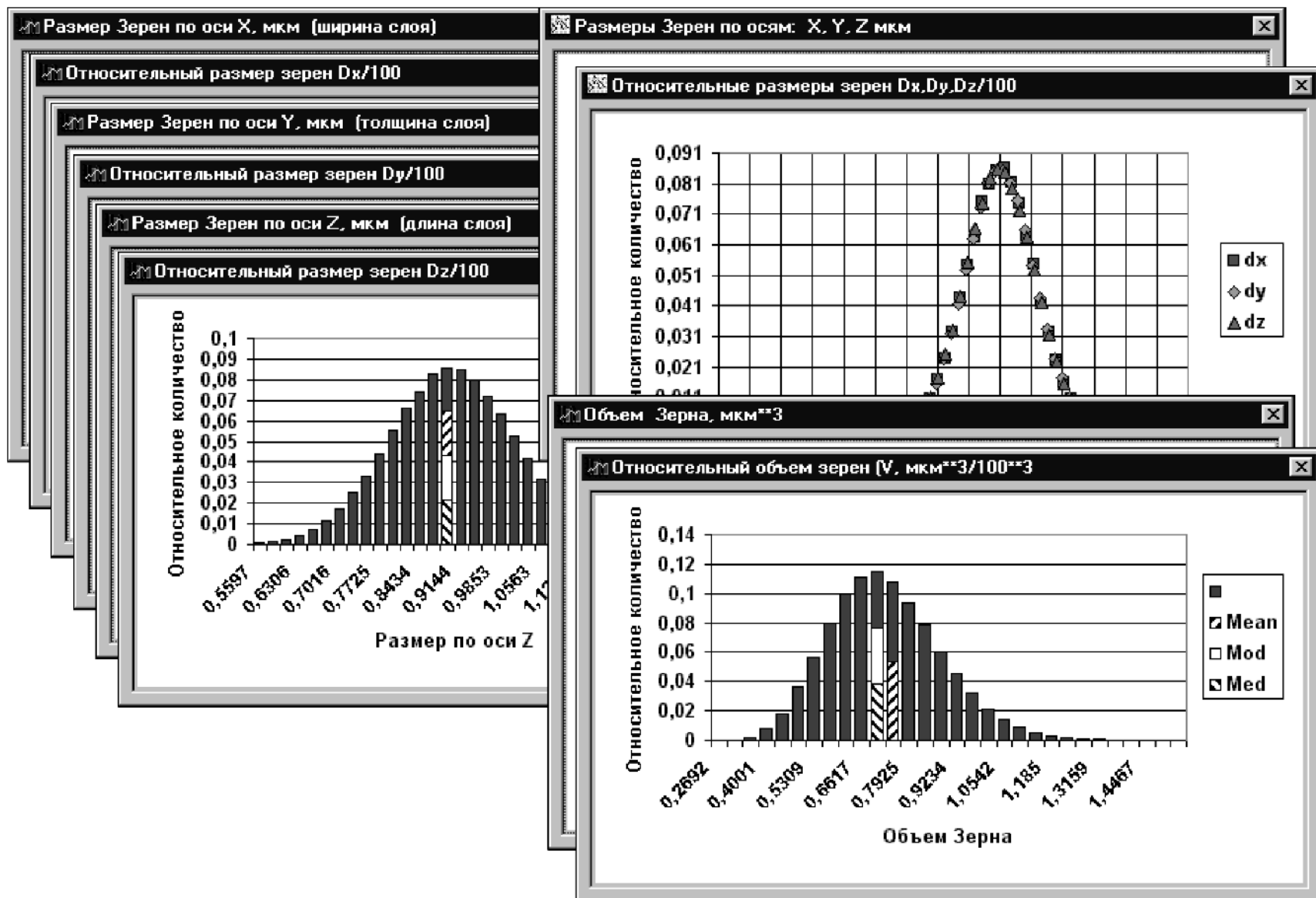


Рисунок 3.17 – Формы с графиками распределения размеров зерен по осям X, Y, Z и объемов зерен

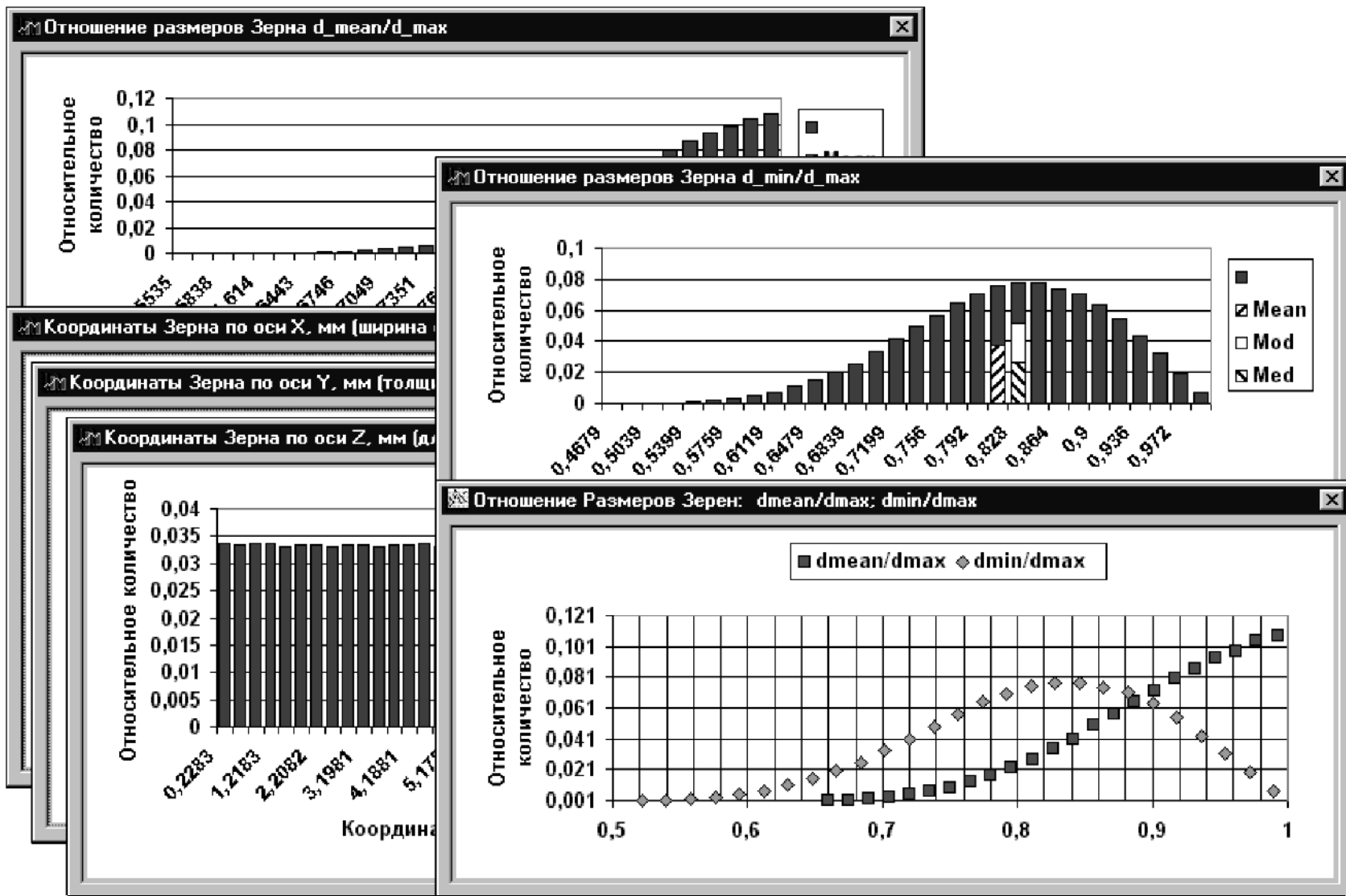


Рисунок 3.18 – Формы с графиками распределения координат центров зерен по осям X, Y, Z и соотношений размеров зерен

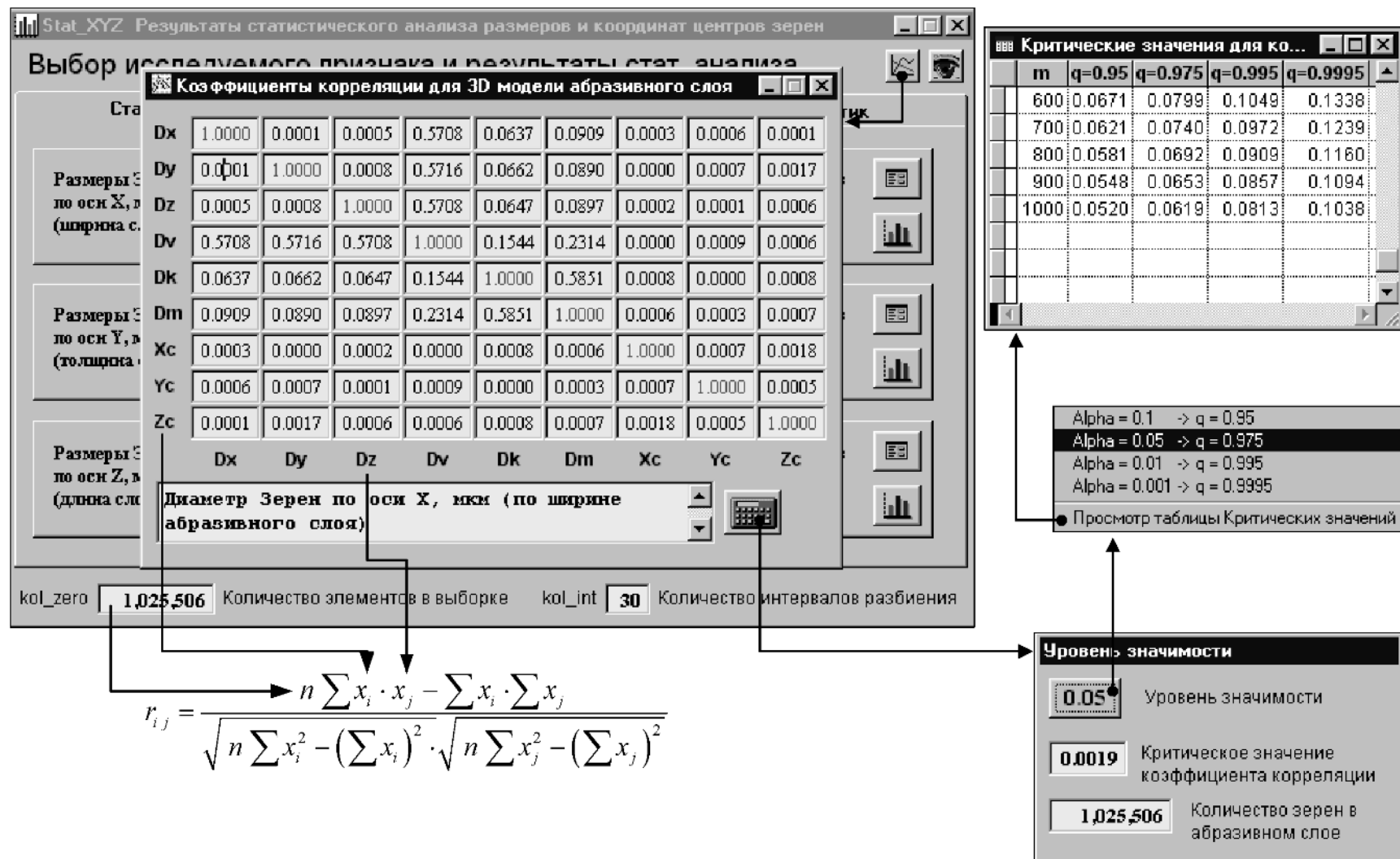


Рисунок 3.19 – Корреляционный анализ элементов 3D модели алмазосодержащего слоя

3.4.

3D

3D

:

(. 3.20);



. 3.20 – 3D

$$Y_{c(x, z)} = Y_{c(0)} + f_x(x) + f_z(z), \quad Y_{c(0)} -$$

, $f_x(x)$ – ; $f_z(z)$ –

(. 3.21);

()

(. 3.20).

« », .

3D

(. 3.20);

3D

3D

(. 3.20), (. 3.22).

Поверхность связки, поперечный и продольный профиль рабочей поверхности

Поперечный профиль поверхности связки

Неравномерность профиля по ширине $Y_c = f(x)$

* Функция Пользователя

Поднутрение поверхности связки

Угол поднутрения град

Продольный профиль поверхности связки

Неравномерность профиля по длине $Y_c = f(z)$

* Функция Пользователя

Волнистость поверхности связки

Высота волнистости МКМ

Шаг волнистости ММ

Сдвиг фазы %

Исходные параметры поверхности связки 3D модели

Поверхность связки Сечение Y

S_3D

XС ZС

Список редактирования угла поднутрения связки (9...9 град) если угол >0 - поднутрение; <0 - заборный конус

3.21 –

База данных 3D модели (для текущего варианта № 004)

Наличие Зерна на поверхности 3D модели (З - Зерно; Л - лунка на поверхности связки от выпавшего Зерна)

Диам. Z, мм	Связка Y, мм	Коорд. Y, мм	Диам. Y, мм	З/Л	Ном.зап.
0.076720	0.00000	0.00309	0.079316	Л	61684
0.076093	0.00000	0.03024	0.091218	З	64207
0.068347	0.00000	0.02664	0.082359	З	61162
0.068294	0.00000	0.01159	0.090646	З	63076
0.066200	0.00000	0.00925	0.093528	Л	63685
0.059243	0.00000	0.02651	0.094330	З	60727
0.100414	0.00000	0.02120	0.106984	З	60554
0.100468	0.00000	0.00398	0.084320	Л	63773
0.101267	0.00000	0.00920	0.086500	З	62468
0.099427	0.00000	0.02076	0.091222	З	60902
0.098794	0.00000	0.00921	0.079013	Л	61685

Ресно № / Reccount Alias

3.22 –

3D

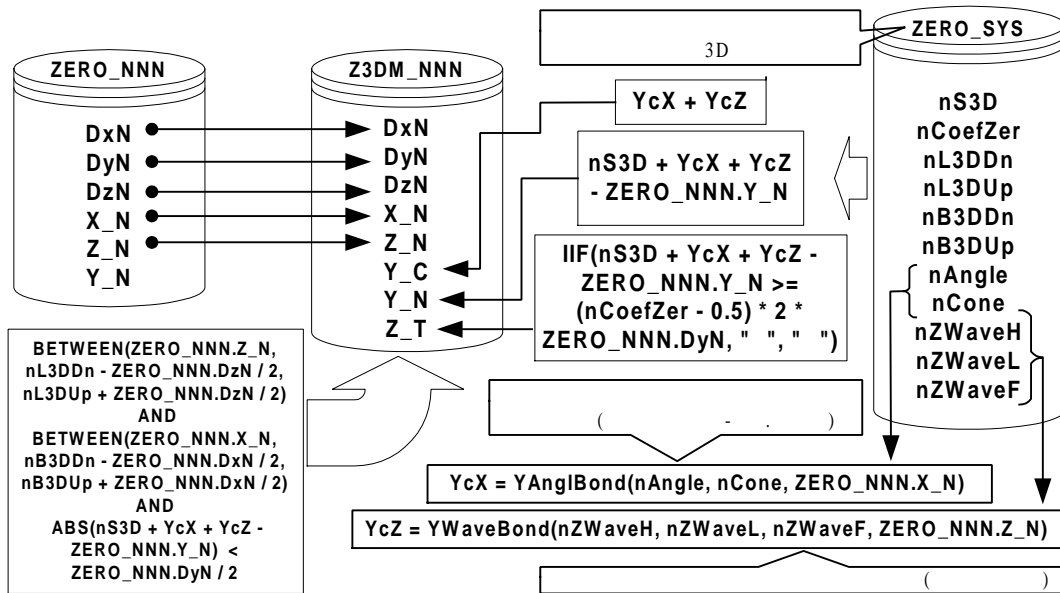
3D

(. 3.23,

3.24)

: DxN, DyN, DzN, X_N, Y_N, Z_N; DxN, DyN, DzN -
; X_N, Y_N, Z_N -

X, Y, Z.



3.23 -
(ZERO_NNN) 3D

3D

(Z3DM_NNN)

Integer

(
-2147483647 ... 2147483647).

Integer

nCoefZero = 1000 -

()

Integer; nCoefCoord = 100000 -

().

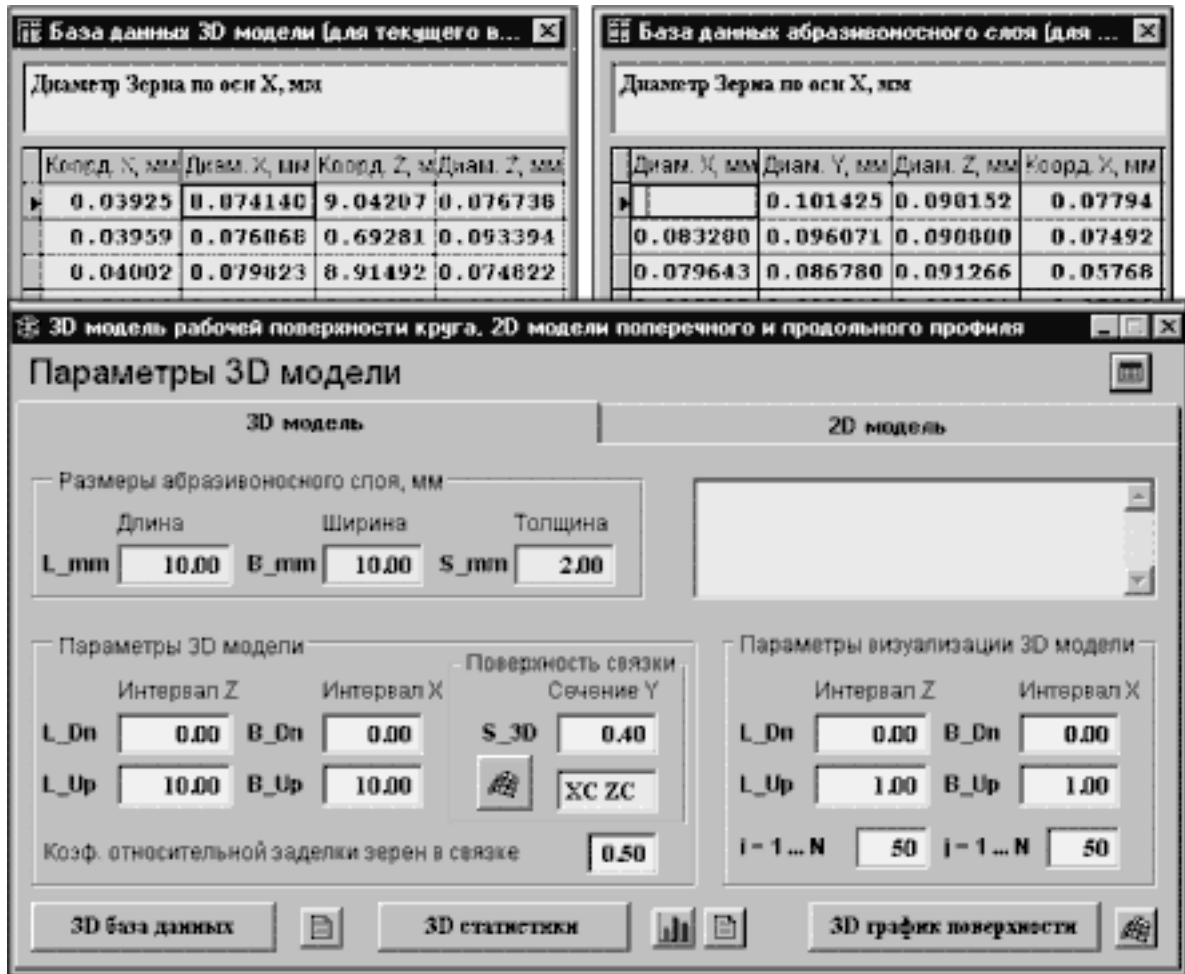
Numeric:

() – 3000000 (8) ;
 – 2147483647 (11) .

Numeric – 3 (8+11) = 57 , Integer – 6 · 4 = 24.

3D

– 10⁵–10⁸ .



3.24 –

3D

Integer

nCoefCoord_ = 1 / n oefCoord;
 nCoefZero_ = 1 / oefZero/1000;
 nCoefRadius_ = nCoefZero_ / 2.

(. . 3.23), (. . 3.25):

$$Yc = nS3D - YcX - YcZ, \tag{3.37}$$

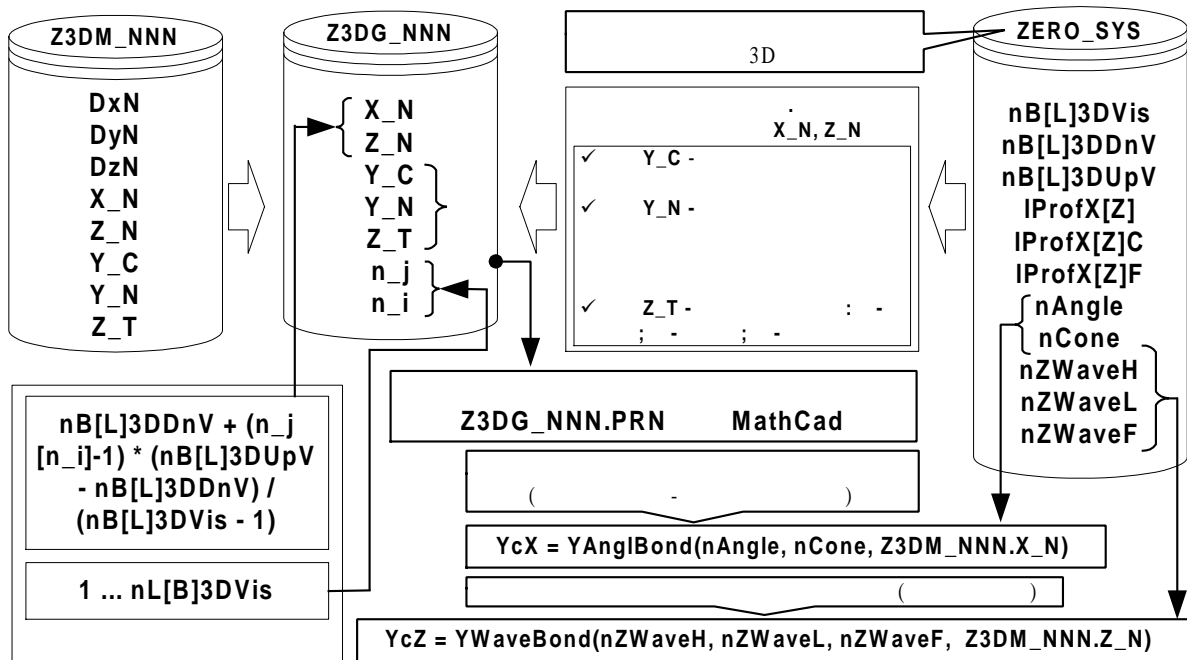
nS3D -

Y (

); YcX, YcZ -

X)

(Z)



3.25 -

3D

(Z3DM_NNN)

(Z3DG_NNN)

3D

(. . 3.26):

nL3DDn, nL3DUp -

Z (

); nB3DDn, nB3DUp -

X (

); nS3D -

Y (

);

nCoefZer -

(

Y,

),

0,001 ... 0,999.

(3.26, 3.27):

– : IProfX –
3D ;

IProfXC –

– Yc = nS3D +

YAnglBond (nAngle, nCone, nX), nAngle –

(9 ... -9), ; nCone (nConeInteg = nCone * nCoefCoord) –

, (nAngle > 0) (nAngle < 0);

Nx – X (–

); IProfXF –

YcX = YUserBond (nX); cYUserBond –

;

– : IProfZ –

3D ; IProfZC –

YcZ = YWaveBond(nZWaveH,

nZWaveL, nZWaveF, nZ), nZWaveH (nZWaveHInteg = nZWaveH / 1000 *
nCoefCoord) – (0 ... 9999), ; nZWaveL (nZWaveLInteg

= nZWaveL * nCoefCoord) – (0...9999), ; nZWaveF –

±(0...100), %; nZ – Z –

(); IProfZF –

–

–

YcZ = YUserWave (nZ); cYUserWave –

–

–

– () 3D –

– SELECT

– SQL (Structured Query Language)

– Visual FoxPro.

– SELECT-SQL FoxPro.

SELECT-SQL

(

-

)

:

SELECT

< _ _ _ > AS

< _ _ _ >]

.....

< _ _ _ > AS

< _ _ _ >]

FROM < _ _ _ _ _ >

INTO TABLE < _ _ _ _ _ >

WHERE < _ _ _ _ _ >

ORDER BY < _ _ _ _ _ >

Поверхность связки, поперечный и продольный профиль рабочей поверхности

Поперечный профиль поверхности связки

Неравномерность профиля по ширине $Y_c = f(x)$

Поднутрение поверхности связки

Угол заборн.конуса град

Длина заборн.конуса мм

Продольный профиль поверхности связки

Неравномерность профиля по длине $Y_c = f(z)$

Волнистость поверхности связки

Высота волнистости мкм

Шаг волнистости мм

Сдвиг фазы %

Исходные параметры поверхности связки 3D модели

Поверхность связки - Сечение Y

S_3D

XС ZС

Спinner редактирования угла поднутрения связки (0...9 град):
если угол > 0 - поднутрение;
если угол < 0 - заборный конус

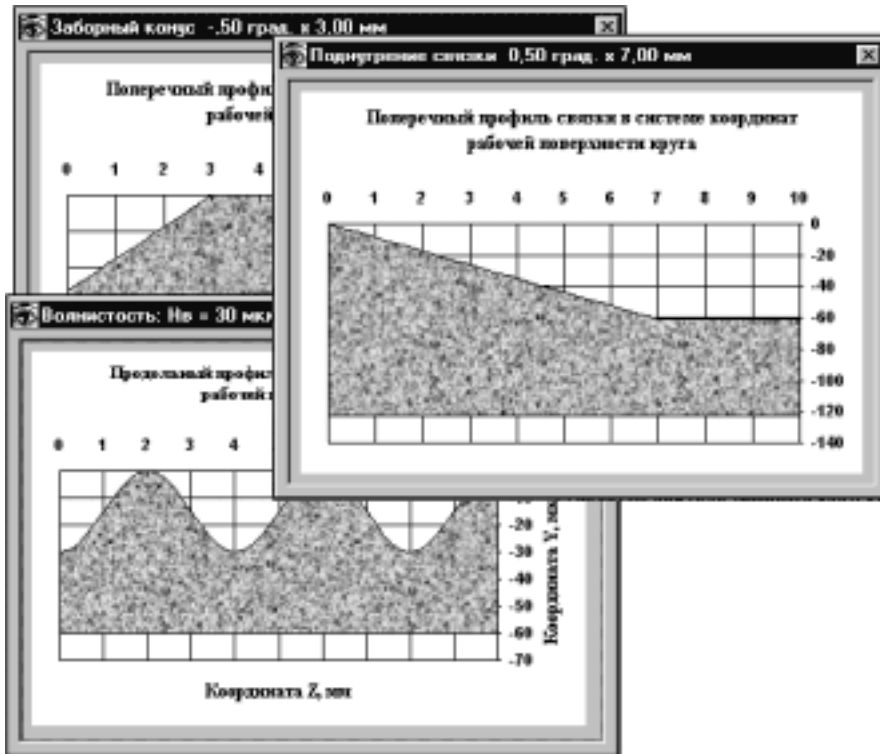
Z3DM_NNN (.
 . 3.24), 8 : DxN, DyN, DzN, X_N, Z_N, Y_C, Y_N, Z_N;
 DxN, DyN, DzN – ; X_N, Z_N –
 X, Z, Y;_C – Y ,
 3D ; Y_N –
 Y 3D (–
 : [+] – ; [-] –); Z_N –
 3D (« » – ; « » –
).

(. 3.27)

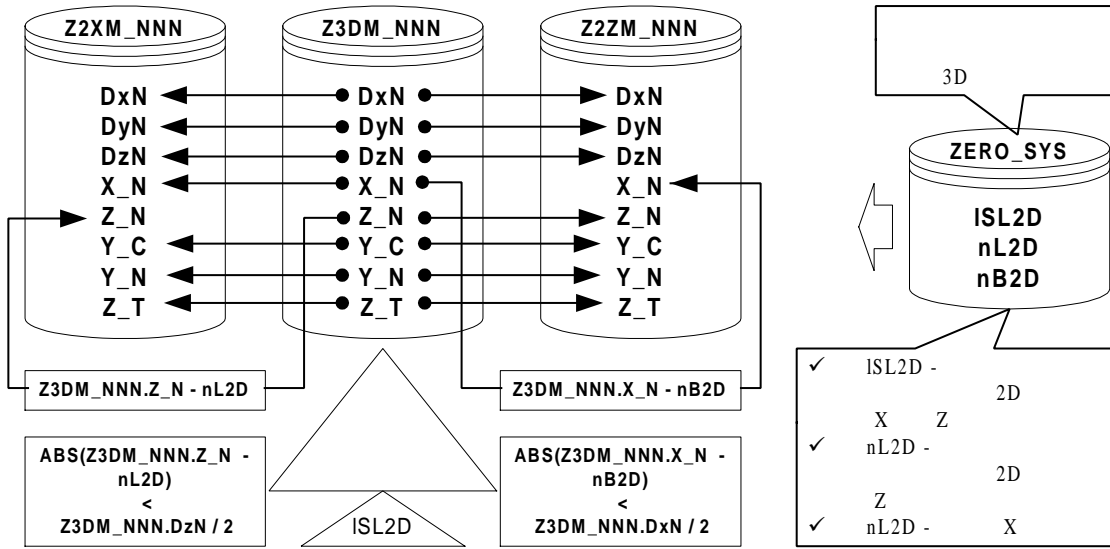
c

Visual FoxPro

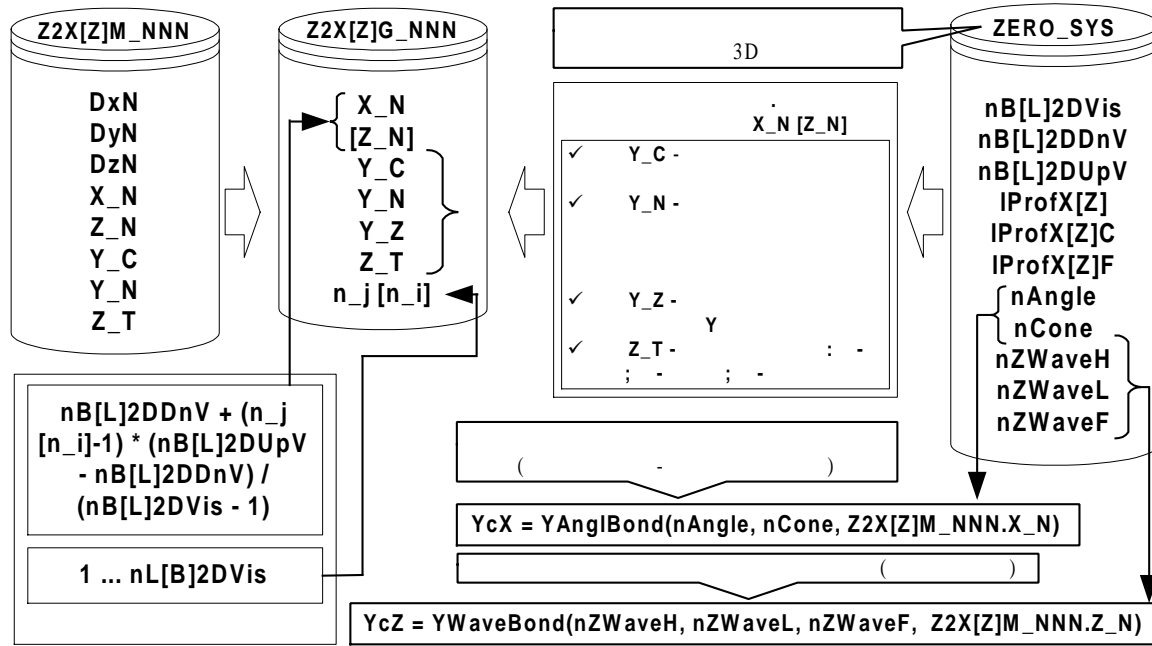
Microsoft Graph. 3D
 (Z3DM_NNN) 2D (Z2XM_NNN)
 (Z2ZM_NNN) 3.28.
 2D (Z2X[Z]M_NNN)
 (Z2X[Z]G_NNN) – . 3.29.



3.27 –



3.28 – 2D (Z2XM_NNN) 3D (Z3DM_NNN) (Z2ZM_NNN)

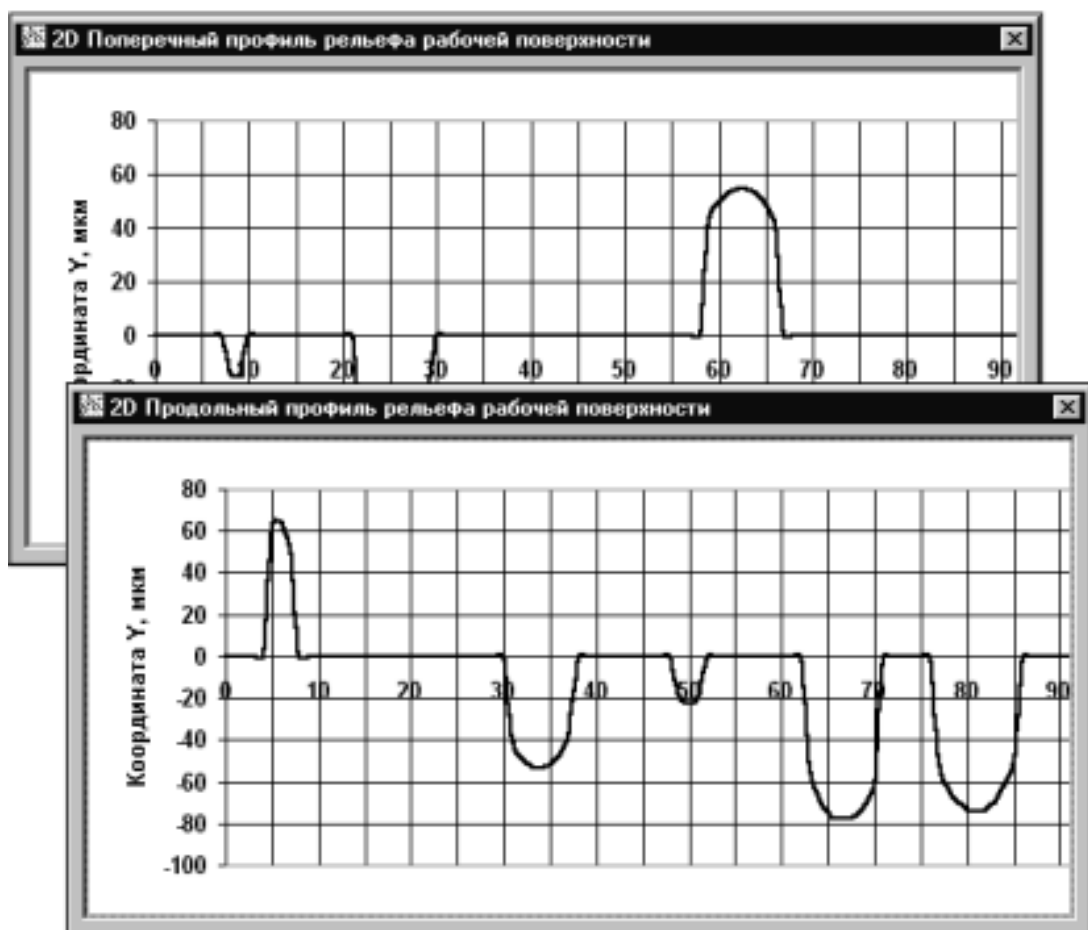


3.29 – 2D (Z2X[Z]M_NNN) (Z2X[Z]G_NNN)

2D

:

« » -
; « » - (. 3.30);



3.30 – 2D

- 2D (. . 3.30): -

(Z); ;

2D

3D ;

- 2D (. . 3.30): -

(X); ; -

2D

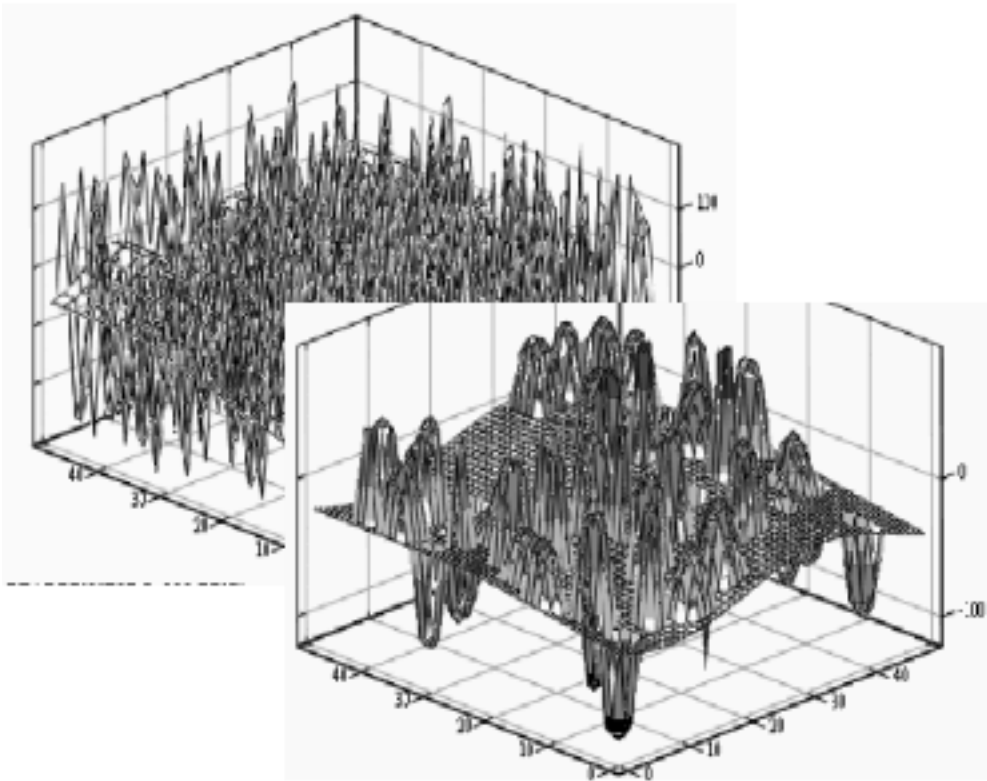
3D -

3D (. 3.31) -

MathCad Microsoft Graph.

3D (Z3DM_NNN)

(Z3DG_NNN) . 3.25.



3.5.	3D	
		-
		.
		,
		.
		,
		.
		:
		,
		.
		,
		.
		Mi-
Microsoft Graph,		
Microsoft Office	3D	
		-
	Microsoft Visual FoxPro.	
6-	Visual FoxPro,	Microsoft
Component Objects Model –		
Microsoft,		
		,
		.
		,
		,
		,
		,
		COM-
	COM-	,
Visual FoxPro, Visual Basic	Visual C++.	
	Microsoft Graph	
		-
		.

	-	(3D	-
	-)		-
		,		-
		,		-
	MS Graph.		MS Graph	-
			.	
		Visual FoxPro	MS Graph	-
			(Object Linking and Embedding	-
OLE).	OLE -		,	-
		COM.	OLE	-
		/		-
	.			-
	(),	,	(
).
		,	-	.
		,		-
				-
			OLE-	-
			.	
	OLE-		Visual FoxPro	-
	-	OLE-		
	:		(OLE Bound Control)	
OLE-		OLE-	(OLE Container Control)	-
OLE-	.			
			OLE	
	,	,	.	-
OLE-				-
			,	
General	Visual FoxPro.			
	. 3.32		Visual FoxPro	
			MS Graph.	
			Graph_NN.vsx,	-

```

Visual FoxPro – Form.
, Graph_NN.vsx (
. 3.32)
:
– : Txt_Grapht ( TextBox); Ole-
BoundControl1 ( OleBoundControl);
– : c_Graph_Dbf –
; c_Path – ; c_Path_Tmp –
; c_Path_Work – ; n_Row_Graph –
c_Graph_Dbf;
– : m_Graph_Size –
(
– ); m_Graph_Data –
cData MS Graph (
,
).
MS Graph
( MS Graph –
,
)
.
: TAB = CHR(9) –
; CRLF = CHR(13) + CHR(10) –
CHR(n) , ANSI
n.
MS Graph
. 3.33, 3.34
,
MS Graph

```

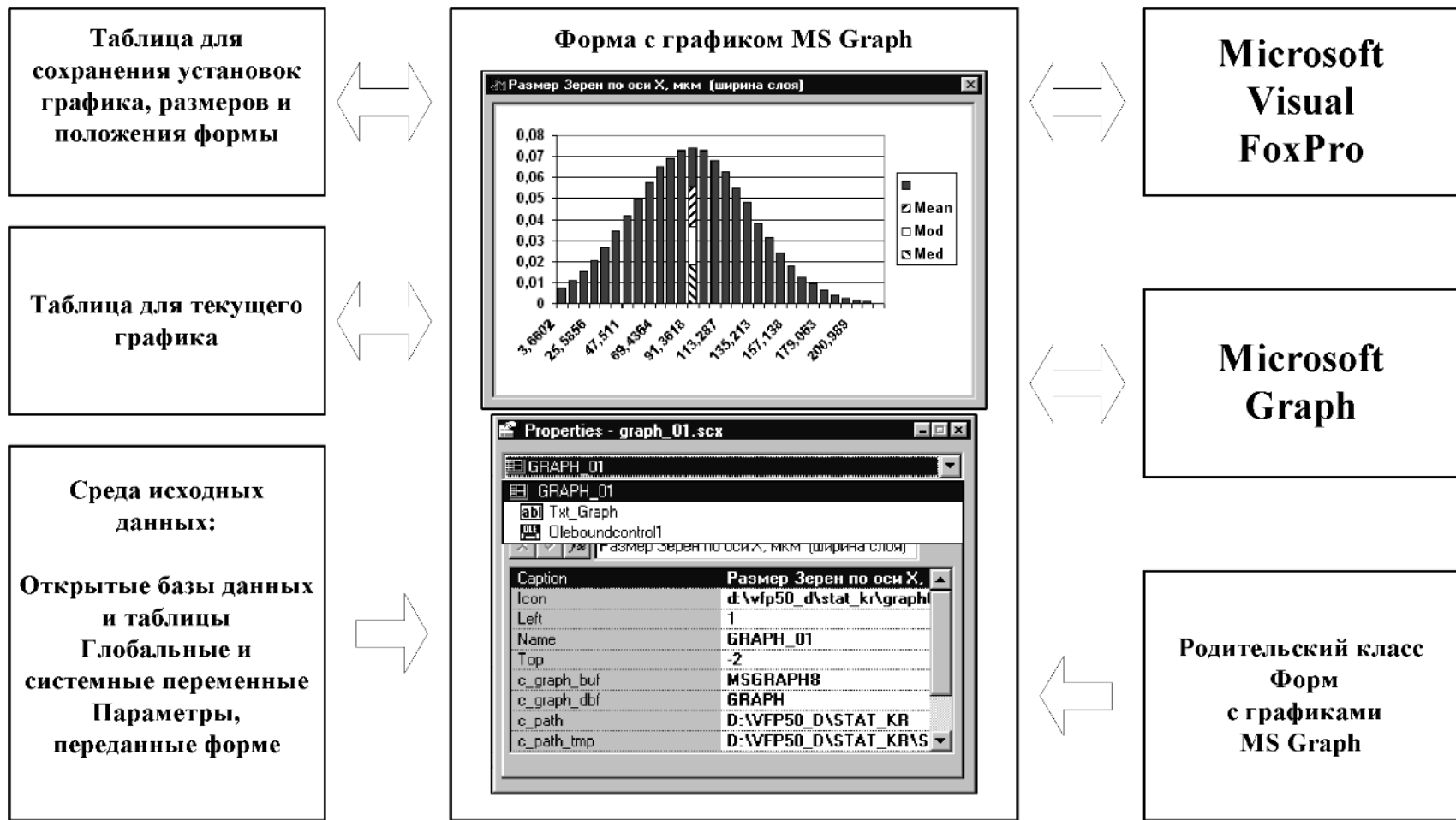
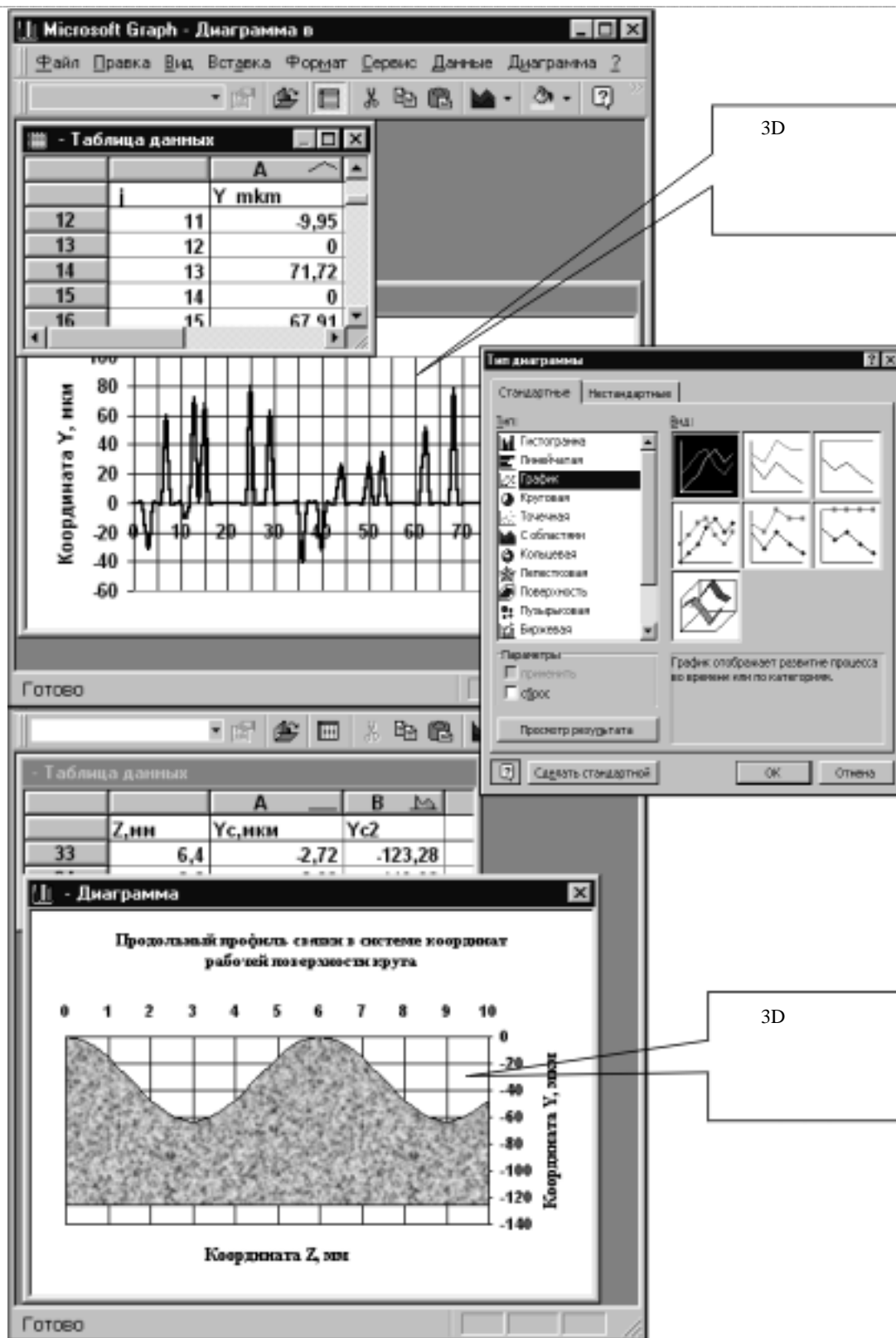
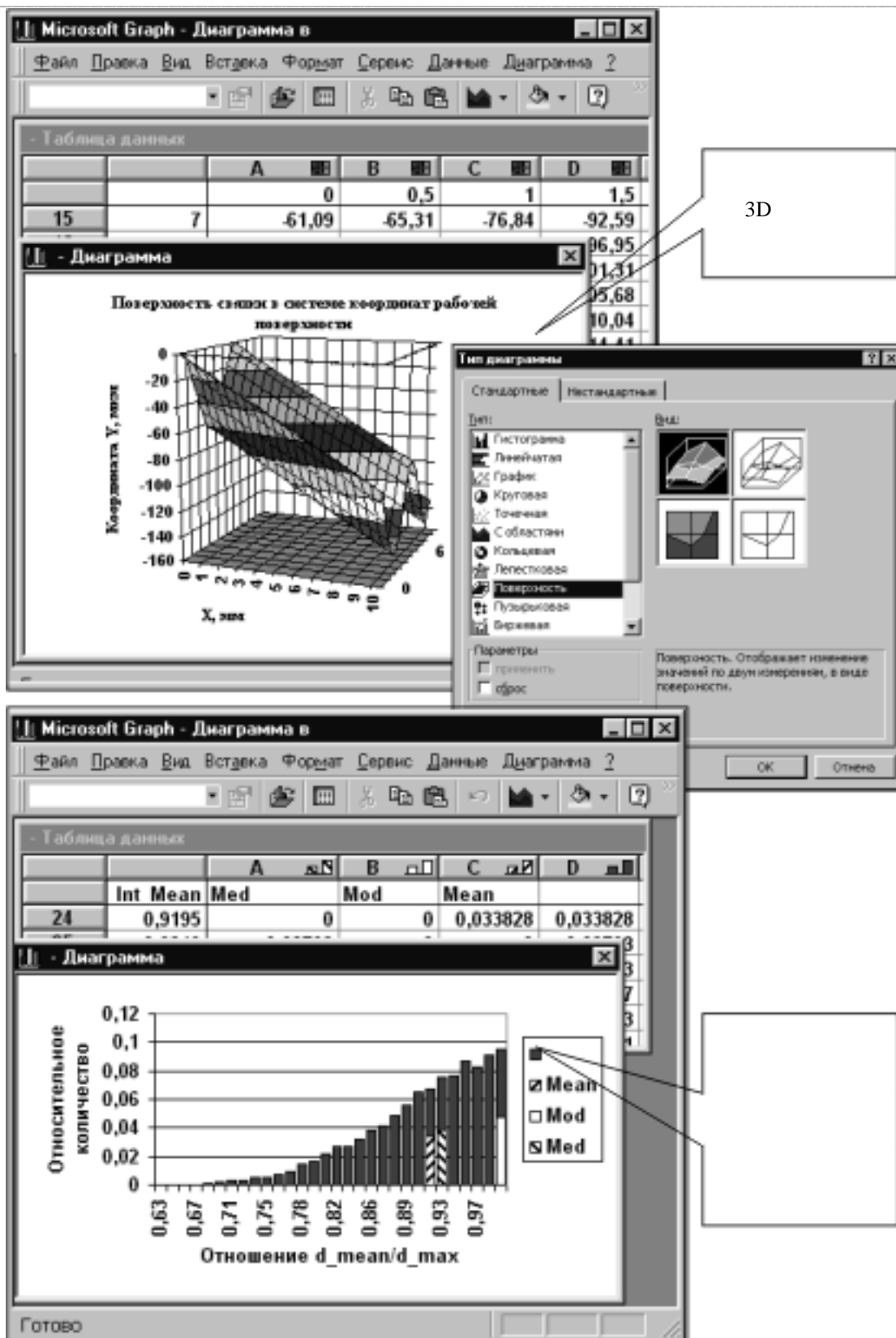


Рисунок 3.32 – Структурная схема формы Visual FoxPro для визуализации данных с использованием MS Graph



3.33 –

MS Graph



2D (. . 3.33)

2D , (. . 3.33),

3D (. . 3.34)

MS Graph,

(. . 3.34)

3.6.

3D

3D - 3.1, 3.2.

3.3.2,

3.5.

. 3.35.

() ZERO_NNN (-

) Z3DM_NNN (), NNN -

:

```

: STAT_NNN (
ST3D_NNN ( ) GIST_NNN (
) GI3D_NNN ( ), NNN -
;
.
(STAT_NNN)
( )
.  $x_i (i = 1, \dots, n)$ 
:
 $x_{\min}, x_{\max}$  - ;
 $m_1, m_2, m_3, m_4$  - 1, 2, 3, 4- ;
 $m_4^{(0)}, m_2^{(0)}, m_3^{(0)}, m_4^{(0)}$  - 2, 3, 4- ;
 $E$  - ( $E = m_1$ );
 $D$  - ( $D = m_2^{(0)}$ );
 $s$  - ;
 $k_v$  - ;
 $\beta$  - ;
 $\gamma$  - ;
 $\Delta x$  - ( ).

```

```

. 3.36. (STAT_NNN
ST3D_NNN) , -
. -
. -
. (GIST_NNN GI3D_NNN)
(
)
.
.

```


n $x_i (x_1, \dots, x_n), N$,

N

).

[2, 18]:

$$N = \log_2(n) + 1, \tag{3.38}$$

$$N = 1 + 3,3221 \lg n (n \leq 100), N = 51 \lg n (n > 100); \tag{3.39}$$

(3.38) [2], (3.39) [18]

: $n = 10 \Rightarrow N = 4$; $n = 10^2 \Rightarrow N = 8 - 10$; $n = 10^3 \Rightarrow N = 11 - 15$;
 $n = 10^4 \Rightarrow N = 14 - 20$; $n = 10^5 \Rightarrow N = 18 - 25$; $n = 10^6 \Rightarrow N = 21 - 30$;
 $n = 10^7 \Rightarrow N = 24 - 35$.

:

$$: x_{\min} = \text{MIN}(x_i); x_{\max} = \text{MAX}(x_i);$$

$$\Delta x = (x_{\max} - x_{\min}) / N;$$

j -

$$(j = 1, \dots, N): \quad x_{\text{home}(j)} = x_{\min} + \Delta x \cdot (j - 1); \quad x_{\text{mean}(j)} = x_{\text{home}} + 0,5\Delta x;$$

$$x_{\text{end}(j)} = x_{\text{home}} + \Delta x;$$

n_j

j -

$$x_i \quad (i = 1, \dots, n),$$

$$x_{\text{home}(j)} \leq x_i < x_{\text{end}(j)} \quad (x_i < x_{\max}), \quad j = N(x_i = x_{\max}).$$

j

$$: j = \text{INT}((x_i - x_{\min}) / \Delta x) + 1 \quad (x_i < x_{\max}), \quad \text{INT}(z) - z;$$

$$p_j = n_j / n;$$

$$x_{\text{home}(j)}, x_{\text{mean}(j)}, x_{\text{end}(j)}, n_j, p_j$$

, $N.$

(. . 3.36)

x_{mean} ,

mod x_{med} .

x_{mean} ,

mod x_{med}

x_{mean} , mod, x_{med}

x_{mean} , mod, x_{med}

Δx

x_{mean}

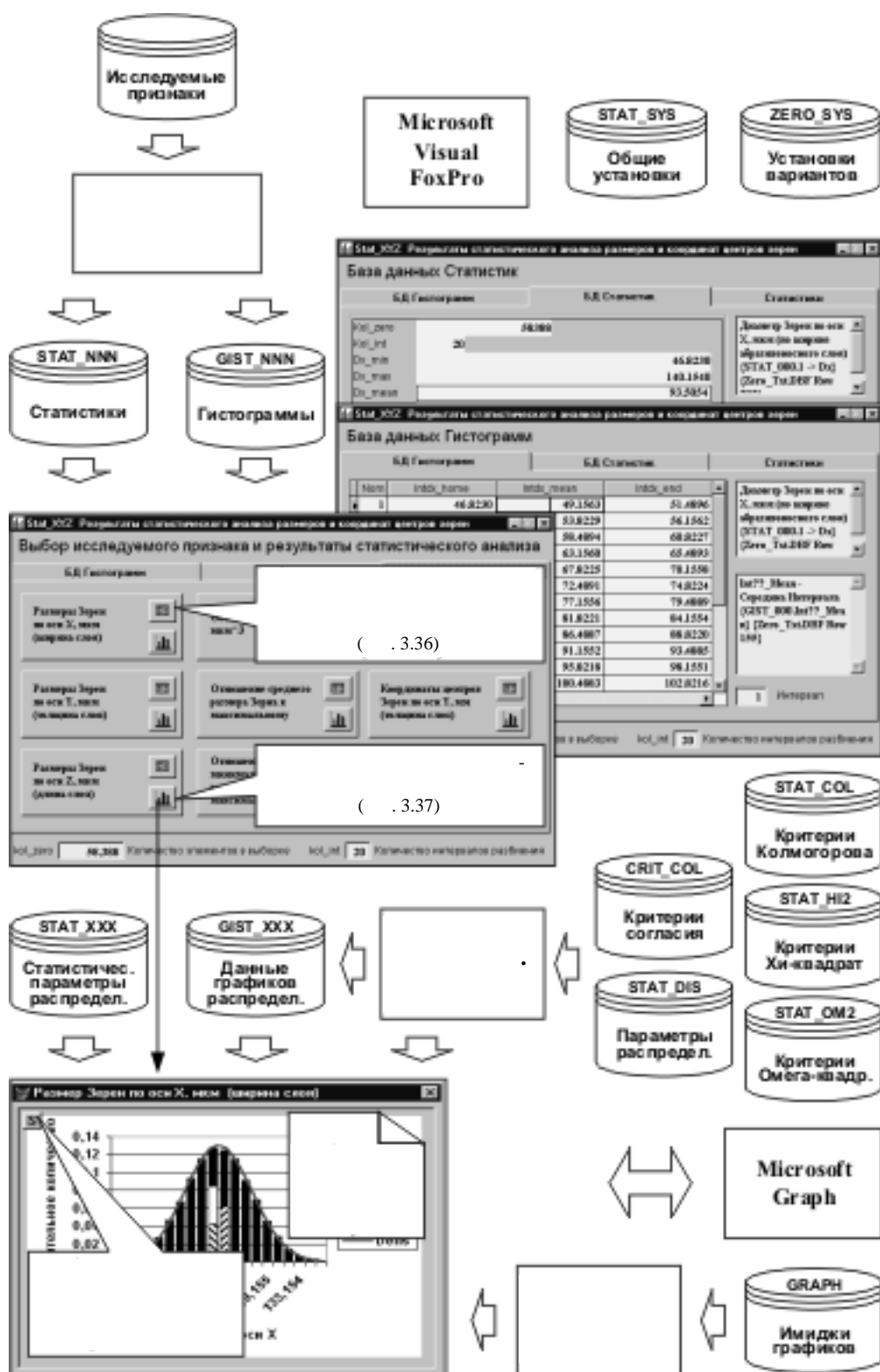
E

$$x_{\text{home}(j)} \leq E < x_{\text{end}(j)}:$$

$$j_{\text{mean}} = \text{INT}((E - x_{\min}) / \Delta x) + 1; \quad (3.40)$$

$$j_{\text{mean}}: x_{\text{mean}} = x_j,$$

$$j = j_{\text{mean}}.$$



3.35 –

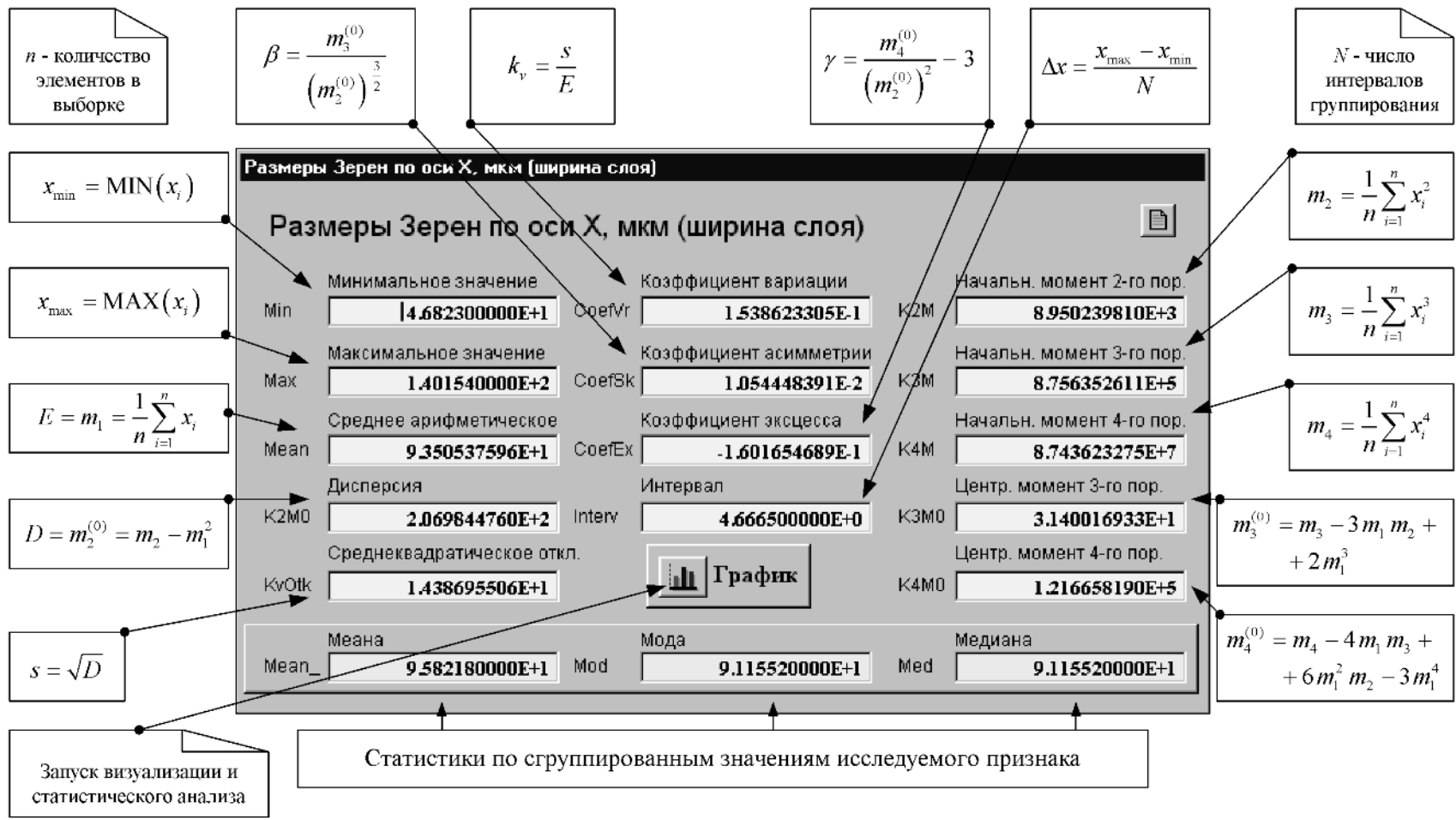


Рисунок 3.36 – Форма вывода статистических характеристик исследуемого признака (пример для размера зерен) и расчетные зависимости

() mod

p_j

$$p_{mode} = p_{max} = \text{MAX}(p_j)$$

$j = j_{mod};$
 $j = j_{mod}.$

$$j_{mod}: x_{mod} = x_j,$$

x_{med}

, . . . ,

$x_{med},$

$x_{med}.$

:

p_j

$$\text{SUM}(p_j) > 0,5,$$

$j = j_{med};$

$$j_{med}: x_{med} = x_j, \quad j = j_{med}.$$

$x_{mean}, x_{mod}, x_{med}$

(STAT_NNN ST3D_NNN)

(. . 3.35).

(. . 3.35):

- «

», «

».

- «

»:

(. . 3.36);

(. 3.37).

(. . 3.37)

MS Graph

. 3.37).

(« » « »)

(« »)

» «

()

().

x_j

E

D :

$$\hat{x}_j = \frac{x_j}{a_0}; \hat{E} = \frac{E}{a_0}; \hat{D} = \frac{D}{a_0^2}, \quad (3.41)$$

$\hat{x}_j, \hat{E}, \hat{D} - ; a_0 -$

(. . 3.37):

« » - ,
(GIST_XXX); « » -

STAT_XXX); «

» -
; «

» -

- «

»

«

».

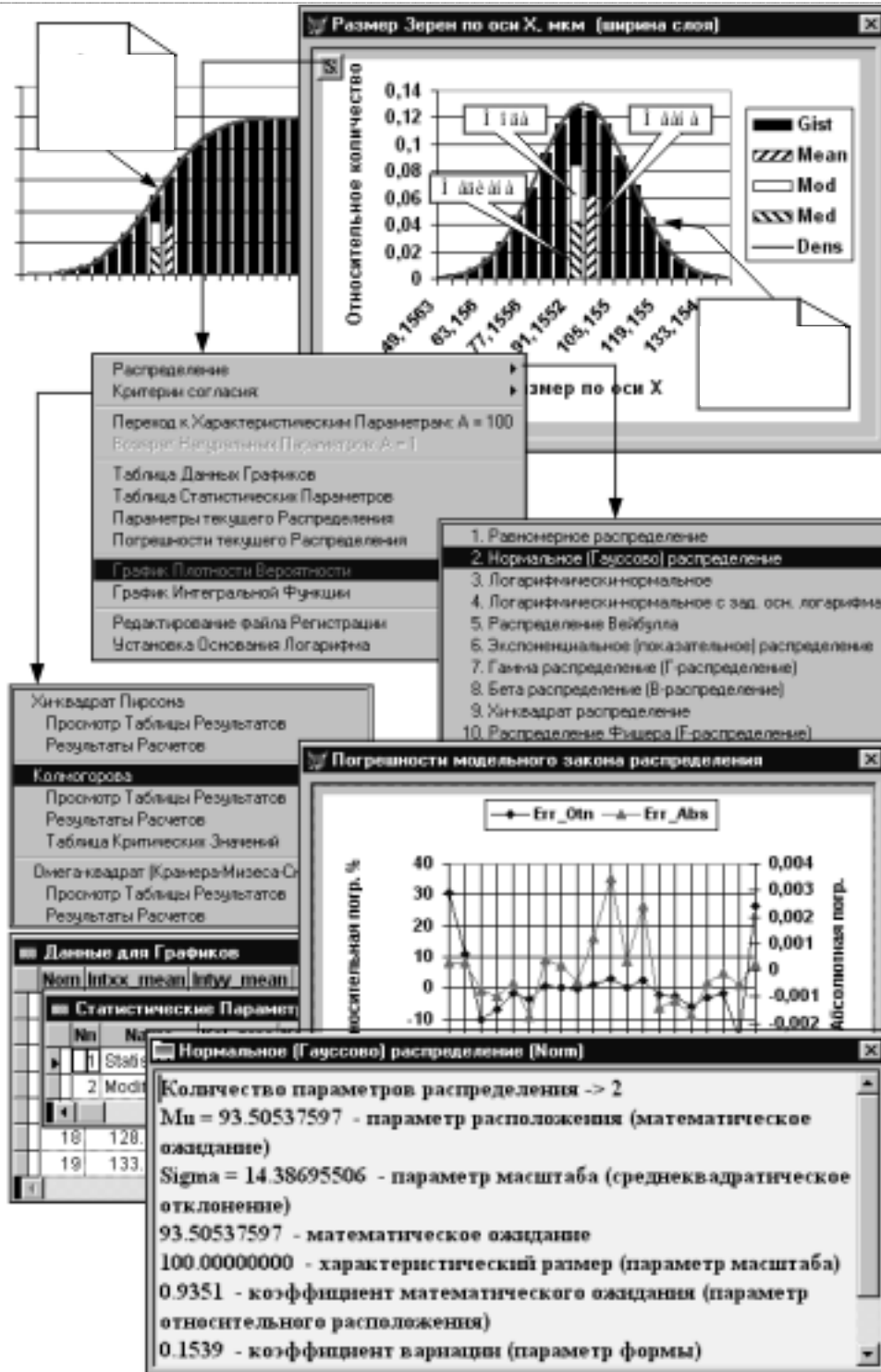
$p_j (j = 1, \dots, N)$

(-

)

P_j

$$P_j = \sum_{j=1}^j p_j.$$



3.37 –

- (- 10).
 - « » , -
 17 , -
 (. 3.38):
 1 - , 2 - , 3 - - , 4 - -
 , 5 - ;
 6 - (); 7 - (-); 8 -
 (B-); 9 - - (χ^2 -); 10 - (F-
); 11 - ; 12 -
 ; 13 - ; 14 - ; 15 - ;
 16 - ; 17 - .

(2.2).

- « » ,
 .
 : χ^2 , ω^2 .

3D

3.7.

3D

3D

()

3D

3D

1. Равномерное

$$f_{Rand} = 1 / (x_{max} - x_{min})$$

2. Нормальное распределение

$$f_{Norm} = \frac{1}{\sigma \cdot \sqrt{2 \cdot \pi}} \exp \left[-\frac{1}{2} \left(\frac{x - \mu}{\sigma} \right)^2 \right]$$

3. Логарифмически-нормальное

$$f_{lnNorm} = \frac{1}{x \cdot \sigma \cdot \sqrt{2 \cdot \pi}} \exp \left[-\frac{1}{2} \left(\frac{\ln(x) - \mu}{\sigma} \right)^2 \right]$$

4. Логнормальное с зад. осн. логарифма

$$f_{logNorm} = \frac{1}{x \cdot \sigma \cdot \sqrt{2 \cdot \pi}} \exp \left\{ -\frac{1}{2} \left[\frac{1}{\sigma} \left(\frac{\ln(x)}{\ln(b)} - \mu \right) \right]^2 \right\}$$

5. Распределение Вейбулла

$$f_{Weibull} = \frac{\delta}{\eta} \cdot \left(\frac{x}{\eta} \right)^{(\delta-1)} \exp \left[-\left(\frac{x}{\eta} \right)^\delta \right]$$

13. Релея

$$f_{Reley} = \frac{x}{\sigma^2} \exp \left(-\frac{x^2}{2 \cdot \sigma^2} \right)$$

7. Гамма распределение

$$f_{Gamma} = \frac{\left(\frac{x}{b} \right)^{(c-1)} \cdot \exp \left(-\frac{x}{b} \right)}{b \cdot \Gamma(c)}$$

9. Хи-квадрат

$$f_{\chi^2} = \frac{x^{\frac{v}{2}-1} \cdot \exp \left(-\frac{x}{2} \right)}{2^{\frac{v}{2}} \cdot \Gamma \left(\frac{v}{2} \right)}$$

6. Экспоненциальное

$$f_{Exp} = \frac{1}{b} \cdot \exp \left(-\frac{x}{b} \right)$$

Исходные
выборочные
статистические
характеристики
исследуемого
признака

$$\begin{aligned} x_{\min} &= \text{MIN}(x_i) \\ x_{\max} &= \text{MAX}(x_i) \\ E &= m_1 = \frac{1}{n} \sum_{i=1}^n x_i \\ D &= m_2^{(0)} = \frac{1}{n} \sum_{i=1}^n x_i^2 - m_1^2 \\ k_v &= \frac{\sqrt{D}}{E} \end{aligned}$$

17. Трапецидальное распределение Симпсона

$$f_{Simpson2} = \begin{cases} (x-a+l)/(l^2-b^2), \\ 1/(1+b), \\ (a+l-x)/(l^2-b^2) \end{cases}$$

14. Максвелла

$$f_{Maxwell} = \frac{x^2}{\sigma^3} \sqrt{\frac{2}{\pi}} \exp \left(-\frac{x^2}{2 \cdot \sigma^2} \right)$$

15. Логистическое

$$f_{Logistic} = \frac{\exp[(x-a)/k]}{k \{1 + \exp[(x-a)/k]\}^2}$$

8. Бета

$$f_{Beta} = \frac{\Gamma(v+w)}{\Gamma(v) \cdot \Gamma(w)} \cdot \left(\frac{x}{b} \right)^{v-1} \cdot \left(1 - \frac{x}{b} \right)^{w-1}$$

10. F-распределение

$$f_F = \frac{\Gamma \left(\frac{v+w}{2} \right)}{\Gamma \left(\frac{v}{2} \right) \cdot \Gamma \left(\frac{w}{2} \right)} \cdot \frac{v^{\frac{v}{2}} \cdot w^{\frac{w}{2}} \cdot x^{\frac{v}{2}-1}}{(v \cdot x + w)^{\frac{v+w}{2}}}$$

11. По закону арккосинуса

$$f_{ArcSin} = \frac{1}{\pi \cdot \sqrt{l^2 - (x-a)^2}}$$

12. Треугольное распределение Симпсона

$$f_{Simpson} = \begin{cases} l+x-a/l^2, \\ l-x+a/l^2 \end{cases}$$

16. Парето

$$f_{Pareto} = c \cdot x^{-c-1}$$

Рисунок 3.38 – Плотности основных законов распределения, используемых при статистическом анализе исследуемых признаков

;

3D

()

\sqrt{D} , $D -$

1,

. 3.39.

3.7.1.

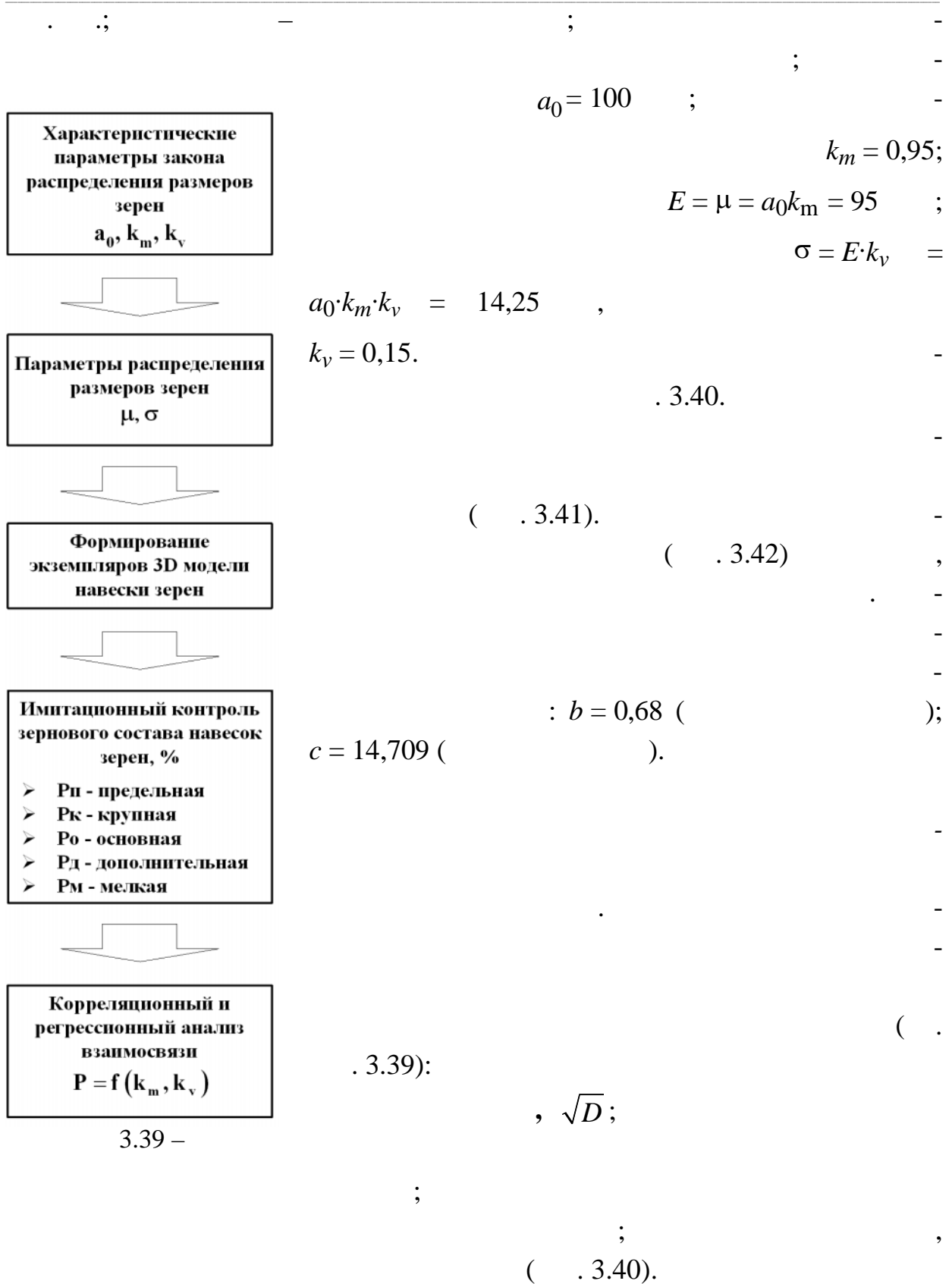
()

3D

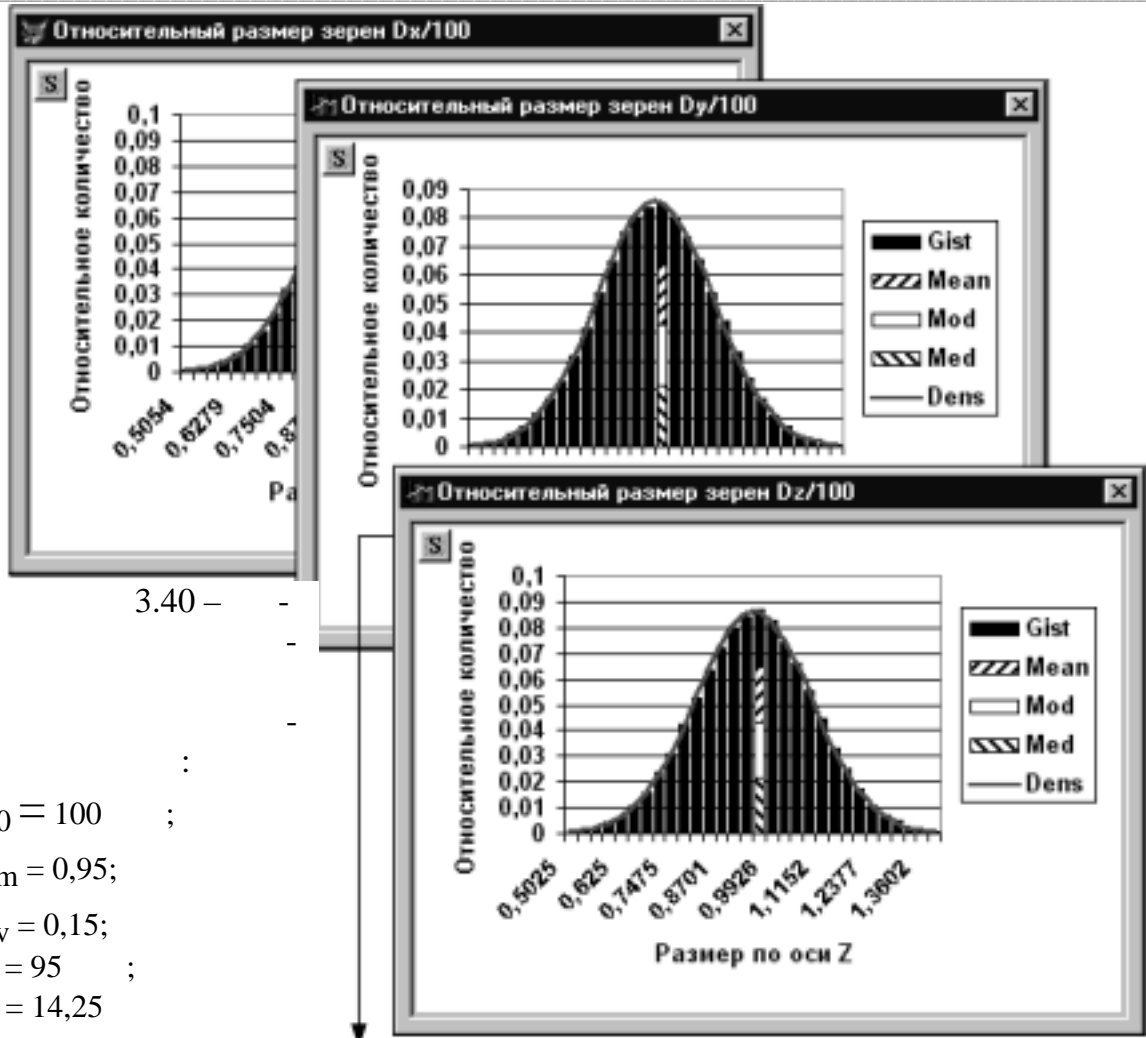
100/80;

100

1



k_m k_v .
 k_m, k_v ,
 φ .
 $\varphi = \sqrt[10]{10} = 1,259$
 $\varphi = \sqrt[5]{10} = 1,585$.
 k_m $1/\varphi$ 1 .
 $0,05$; $-0,63 \dots 1$ $0,0925$. k_v $0,8 \dots 1$
 $-0,05 \dots 0,15$; $-0,05 \dots 0,25$.
 $0,05$. k_v
 [1].
 k_m k_v
 σ ,
 $: E = \mu = a_0 k_m; \sigma = a_0 k_m k_v, a_0 -$
 $; k_m -$
 $; k_v -$



3.40 –

$a_0 = 100$;
 $k_m = 0,95$;
 $k_v = 0,15$;
 $\mu = 95$;
 $\sigma = 14,25$

3.41 –

Распределение

Критерии согласия:

Переход к Характеристическим Параметрам: $A = 421628$

Возврат к Параметрам: $A = 1$

Таблица Данных Графиков

Таблица Статистических Параметров

Параметры текущего Распределения

Погрешности текущего Распределения

График Плотности Вероятности

График Интегральной Функции

Редактирование файла Регистрации

Хи-квадрат Пирсона

Просмотр Таблицы Результатов

Результаты Расчетов

Колмогорова

Просмотр Таблицы Результатов

Результаты Расчетов

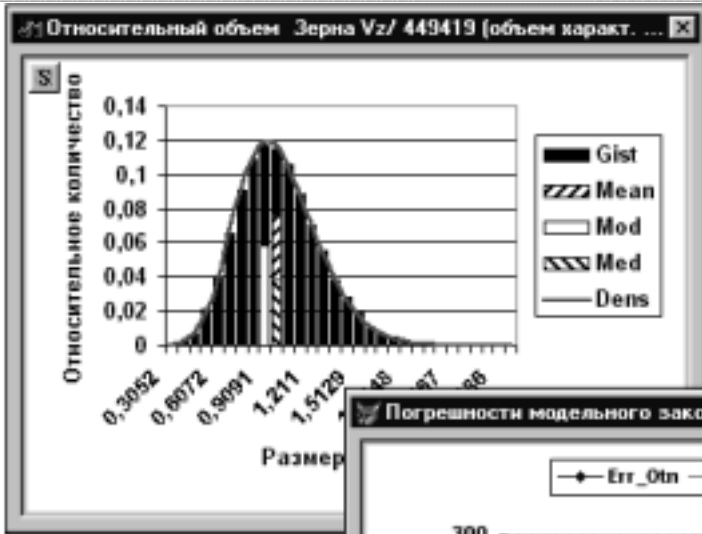
Таблица Критических Значений

Омега-квадрат (Крамера-Мизеса-Смирнова)

Просмотр Таблицы Результатов

Результаты Расчетов

1. Равномерное распределение
2. Нормальное (Гауссово) распределение
3. Логарифмически-нормальное
4. Логарифмически-нормальное с зад. осн. логарифма
5. Распределение Вейбулла
6. Экспоненциальное (показательное) распределение
7. Гамма распределение (Г-распределение)
8. Бета распределение (В-распределение)
9. Хи-квадрат распределение
10. Распределение Фишера (F-распределение)



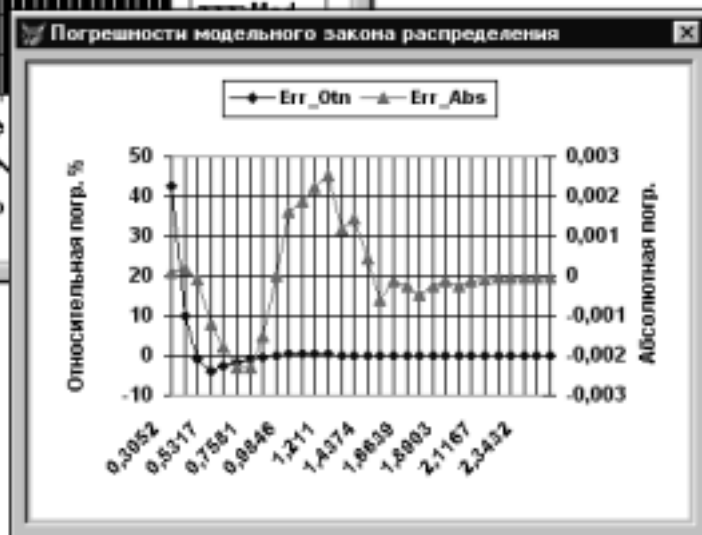
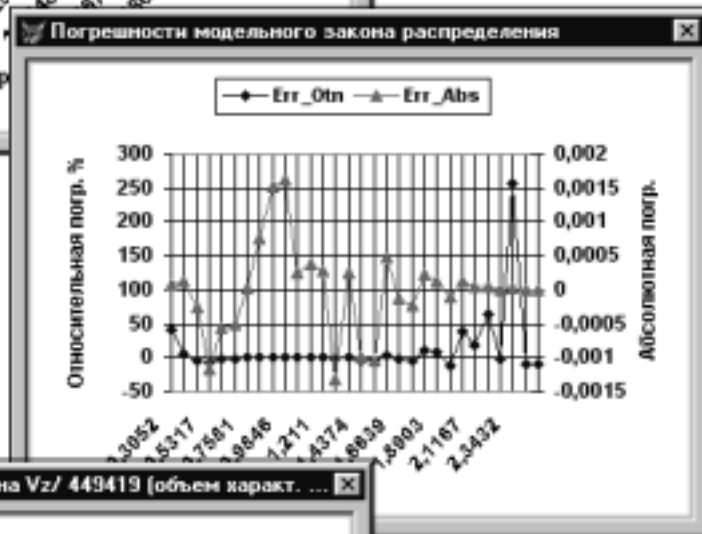
$$b = 0.067999$$

$$\left(\dots \right);$$

$$= 14.7088$$

$$\left(\dots \right)$$

$v_0 = 449419 \text{ мкм}^3$;
 $k_m = 1.0002$;
 $k_v = 0.2607$.



, $\cong 100$. .

(10 . .)
1 %.

3D

Visual FoxPro.

Statistica

Nonlinear Estimation.

:

—

$$k_m, P = f(k_m);$$

—

$$P = f(k_m) \quad k_v;$$

—

$$k_m \quad k_v, P = f(k_m, k_v);$$

—

$$P = f(k_m, k_v).$$

,

:

,

5 %.

. 3.43.

k_m ,

:

$$P(k_m) = Ak_m^2 + Bk_m + C; \quad (3.42)$$

$$P(k_m) = \exp(Ak_m^2 + Bk_m + C), \quad (3.43)$$

A, B, C – $P = f(k_m)$;

$P = f(k_m)$ k_v :

$$A(k_v) = a_A k_v^{b_A} + c_A; \quad B(k_v) = a_B k_v^{b_B} + c_B; \quad C(k_v) = a_C k_v^{b_C} + c_C, \quad (3.44)$$

b, \dots, c –

$$(3.44) \quad (3.42), (3.43).$$

:

$$P(k_v, k_m) = a_1(k_v^b + c_1)k_m^2 + a_2(k_v^b + c_2)k_m + a_3(k_v^b + c_3); \quad (3.45)$$

$$P(k_v, k_m) = \exp\left[a_1(k_v^b + c_1)k_m^2 + a_2(k_v^b + c_2)k_m + a_3(k_v^b + c_3)\right], \quad (3.46)$$

$a_1, a_2, a_3, b, c_1, c_2, c_3$ –

$$P = f(k_m, k_v)$$

. 3.1, 3.2.

4 ... 6 %

(2/1 1/0).

P

$k_m, k_v,$

$$y_1 = ax + b$$

$$y_2 = ax^2 + bx + c$$

$$y_3 = \frac{a}{x} + b$$

$$y_4 = a \exp(-x) + b$$

$$y_5 = a \lg x + b$$

$$y_6 = \frac{a}{1/x + b}$$

$$y_7 = \frac{1}{a \exp(-x) + b}$$

$$y_8 = bx^a$$

$$y_9 = b \exp(ax)$$

$$y_{10} = b \exp\left(\frac{a}{x}\right)$$

$$y_{11} = cx^b \exp(ax)$$

$$y_{12} = c \exp(ax^2 + bx)$$

$$y_{13} = \frac{1}{ax + b}$$

$$y_{14} = \frac{x}{ax + b}$$

$$y_{15} = \sqrt{ax^2 + bx + c}$$

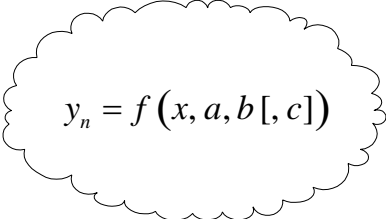
$$y_{16} = \frac{1}{\sqrt{ax^2 + bx + c}}$$

$$y_{17} = \frac{x}{\sqrt{ax^2 + bx + c}}$$

$$y_{18} = \frac{a}{x^2} + \frac{b}{x} + c$$

$$y_{19} = a \ln^2 x + b \ln x + c$$

$$y_{20} = \exp(ax^2 + bx + c)$$



$$y_n = f(x, a, b[, c])$$

3.7.2.

$$(3.45) \quad (3.46),$$

$$\left\{ \begin{array}{l} P < \exp[a_1(k_v^b + c_1)k_m^2 + a_2(k_v^b + c_2)k_m + a_3(k_v^b + c_3)] \\ P < \exp[a_1(k_v^b + c_1)k_m^2 + a_2(k_v^b + c_2)k_m + a_3(k_v^b + c_3)] \\ P \geq a_1(k_v^b + c_1)k_m^2 + a_2(k_v^b + c_2)k_m + a_3(k_v^b + c_3) \\ P < \exp[a_1(k_v^b + c_1)k_m^2 + a_2(k_v^b + c_2)k_m + a_3(k_v^b + c_3)], \end{array} \right. \quad (3.47)$$

$$; a_1, b \dots, c_3 -$$

$$(3.45) \quad (3.46)$$

$$k_m \quad k_v,$$

(. 3.44).

(3.47)

$$\left\{ \begin{array}{l} P \geq a_{o1}(k_v^{b_o} + c_{o1})k_m^2 + a_{o2}(k_v^{b_o} + c_{o2})k_m + a_{o3}(k_v^{b_o} + c_{o3}) \\ P < \exp(a_{k1}(k_v^{b_k} + c_{k1})k_m^2 + a_{k2}(k_v^{b_k} + c_{k2})k_m + a_{k3}(k_v^{b_k} + c_{k3})). \end{array} \right. \quad (3.48)$$

. 3.44

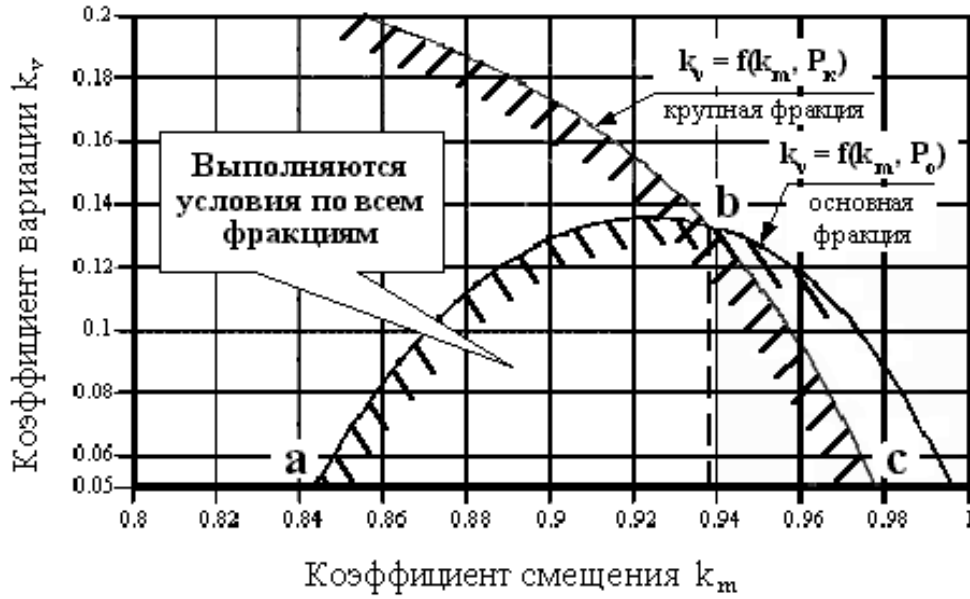
$$(3.48),$$

250/200.

$$a - b - c$$

$$a - b \quad b - c$$

k_v .



3.44 -

k_m k_v ,

k_v

$k_m (, b)$.

k_v

(3.48):

$$k_v = f(k_m, P) = \left[\frac{P - a_{o1}c_{o1}k_m^2 - a_{o2}c_{o2}k_m - a_{o3}c_{o3}}{a_{o1}k_m^2 + a_{o2}k_m + a_{o3}} \right]^{\frac{1}{b_o}} \quad (3.49)$$

k_v

$k_m (b, c)$.

k_v

(3.48):

$$k_v = f(k_m, P) = \left[\frac{\ln(P) - a_{k1}c_{k1}k_m^2 - a_{k2}c_{k2}k_m - a_{k3}c_{k3}}{a_{k1}k_m^2 + a_{k2}k_m + a_{k3}} \right]^{\frac{1}{b_k}} \quad (3.50)$$

--	--	--	--	--	--	--	--

Фракция	Коэффициенты уравнений регрессии процентного содержания фракций в навеске зерен						
	a_1	a_2	a_3	b	c_1	c_2	c_3
Предельная	0,338978	0,329152	-0,726992	-0,13158	-6,26542	-6,26542	-6,26542
Крупная	25,29969	-1170,90	1156,000	0,024049	-0,819016	-0,964135	-0,964135
Основная	-14577,5	26683,58	-12043,8	-0,150038	-1,13832	-1,13650	-1,13832
Дополнит.	-1,11152	1,492705	-0,481025	-1,53694	22,82648	25,96829	22,09619
Мелкая	-0,619358	0,293392	0,114161	-2,02502	-7,87232	2,873374	-4,78872

--	--	--	--	--	--	--	--

Фракция	Коэффициенты уравнений регрессии процентного содержания фракций в навеске зерен						
	a_1	a_2	a_3	b	c_1	c_2	c_3
Предельная	1,513854	-0,850623	-0,785667	-2,065039	-3,66619	-3,95389	-6,84056
Крупная	-80,0392	-1,44710	83,16444	0,190398	-0,091059	-77,5830	-1,40897
Основная	-134,618	222,6682	-87,3972	-1,11507	3,138588	3,259210	2,826839
Дополнит.	-76,3200	17,61101	20,28459	-0,151003	-1,00768	-0,352155	-1,18374
Мелкая	1,795918	-3,25852	1,277851	-1,84513	-8,79984	-5,40053	-1,20326

()

φ (1,4 - 2).

. 3.48) k_v 0,16

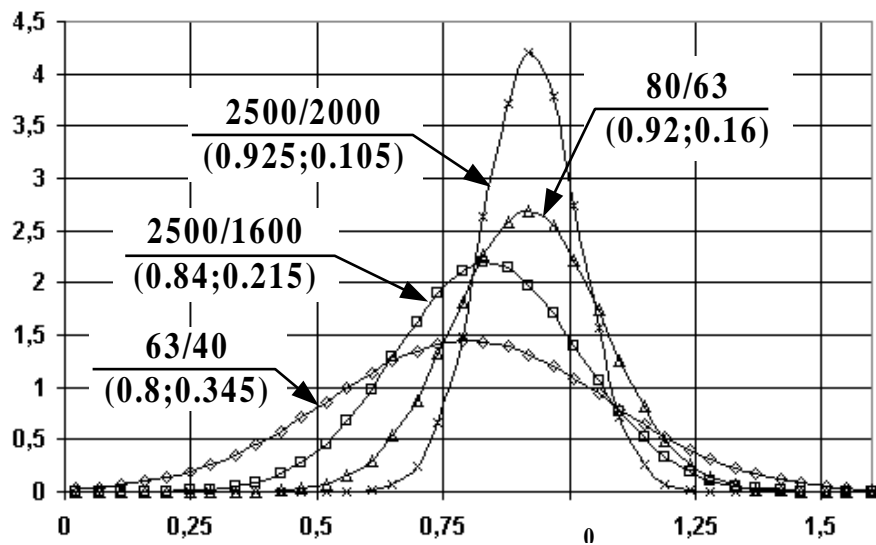
k_v +7 ÷ -15 %; - 4 ÷ -95 %.

$k_v > 0,16$ ()

. 3.45 - 3.48).

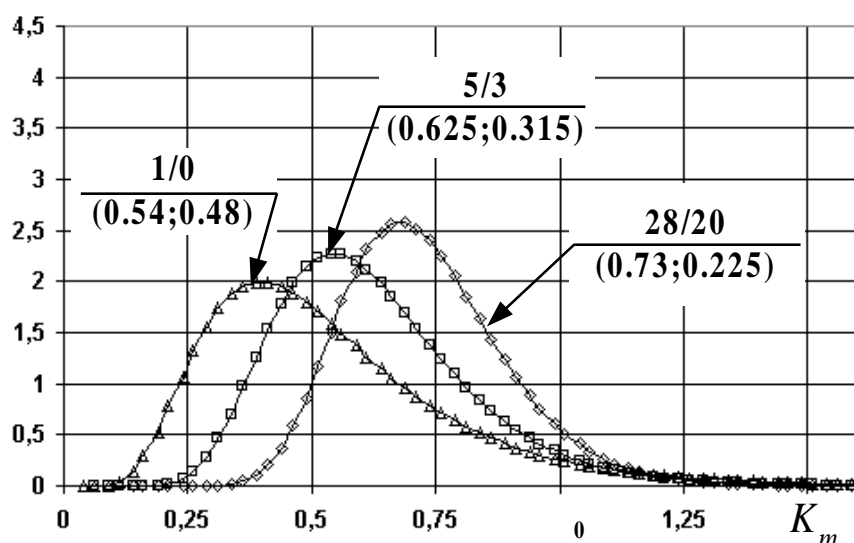
k_m

0.

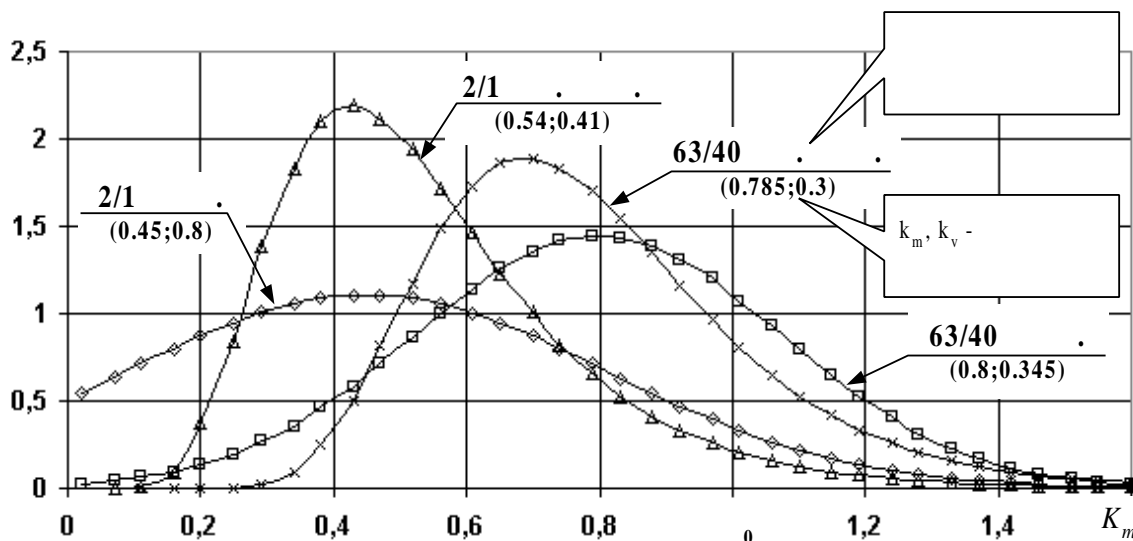


3.45 -

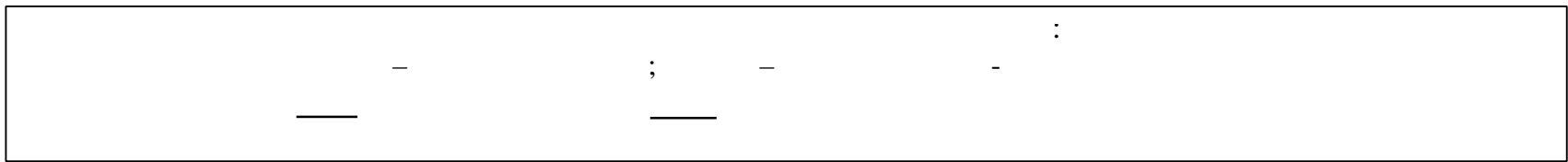
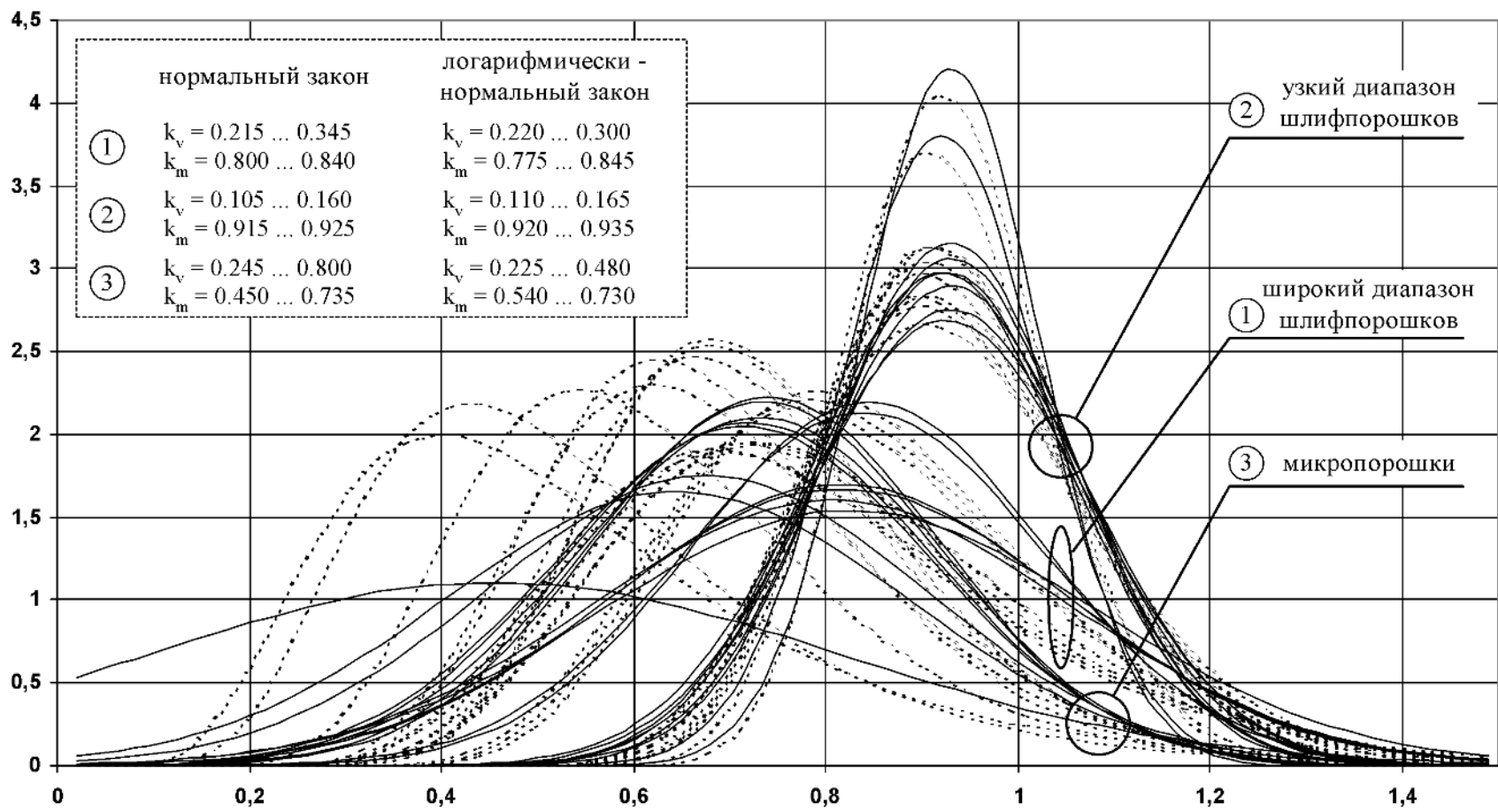
(.),



3.46 –



3.47 –



3.8.

- 1. 3D - ?
- 2.
- 3D . 3D -
- 3. - .
- 4. 3D .
- 5. -
- 6. , 3D .
- 7. -
- . 8. -
- ? 9. - -
- : , , 10. - -
- , ? 11. 3D - -
- 3D . 12. -
- . 13. .
- 14. . ?

15.

?

16.

?

17.

3D

18.

3D

?

19.

(Object

Linking and Embedding – OLE)?

20.

?

21.

22.

23.

?

24.

25.

3D

?

26.

27.

?

28.

4. 3D

Panlatin summa petuntur –

·
,
I
-
3D «
-
- »,
3D
3D
, 3D
-
()
·
-

4.1.

« – – »
-
-
,
·
-
-
« – – ».
(3D)
·
,
,
,
·
-
(),
-
,
-
,
-
·

[3]:

$$K_T = \frac{H}{H_a} \tag{4.1}$$

= 0,5 ... 0,7. < 0,5

> 0,7

> 0,6

()

() -)

< 0,5, ...

2

> 0,7,

> 0,7,

3D , -
 / -
 . -
 - -
 « -
 - - », -
 , -
 () -
 , -
 .

4.2.

-

. . [19]

-
 -
 , -
 . -
 -
 -
 .
 :
 . -
 -
 ;
 .
 , -
 -

,
 .
 (-
). -
 -
 .
 : -
 ;
 . -
 -
 .
 « -
 », -
 , -
 -
 . -
 . -
 ,
 1,5 – 2,0 .
 .

4.3.

(-

...).

(1 - 2) [33].

, , . . .

1,5-2

, , « - - » [33].

()

[19],

()

$$\int_0^V \frac{\Delta E(V)}{A} dV = \min ; \tag{4.4}$$

$$\frac{A}{\dots} = \max , \tag{4.5}$$

- ;

- ;
 V- ;
 - .

,

,

(- , -
),

.

,

« - - »

,

,

.

-

.

-

.

:

,

-

.

()

« - » (-).

3D

()

.

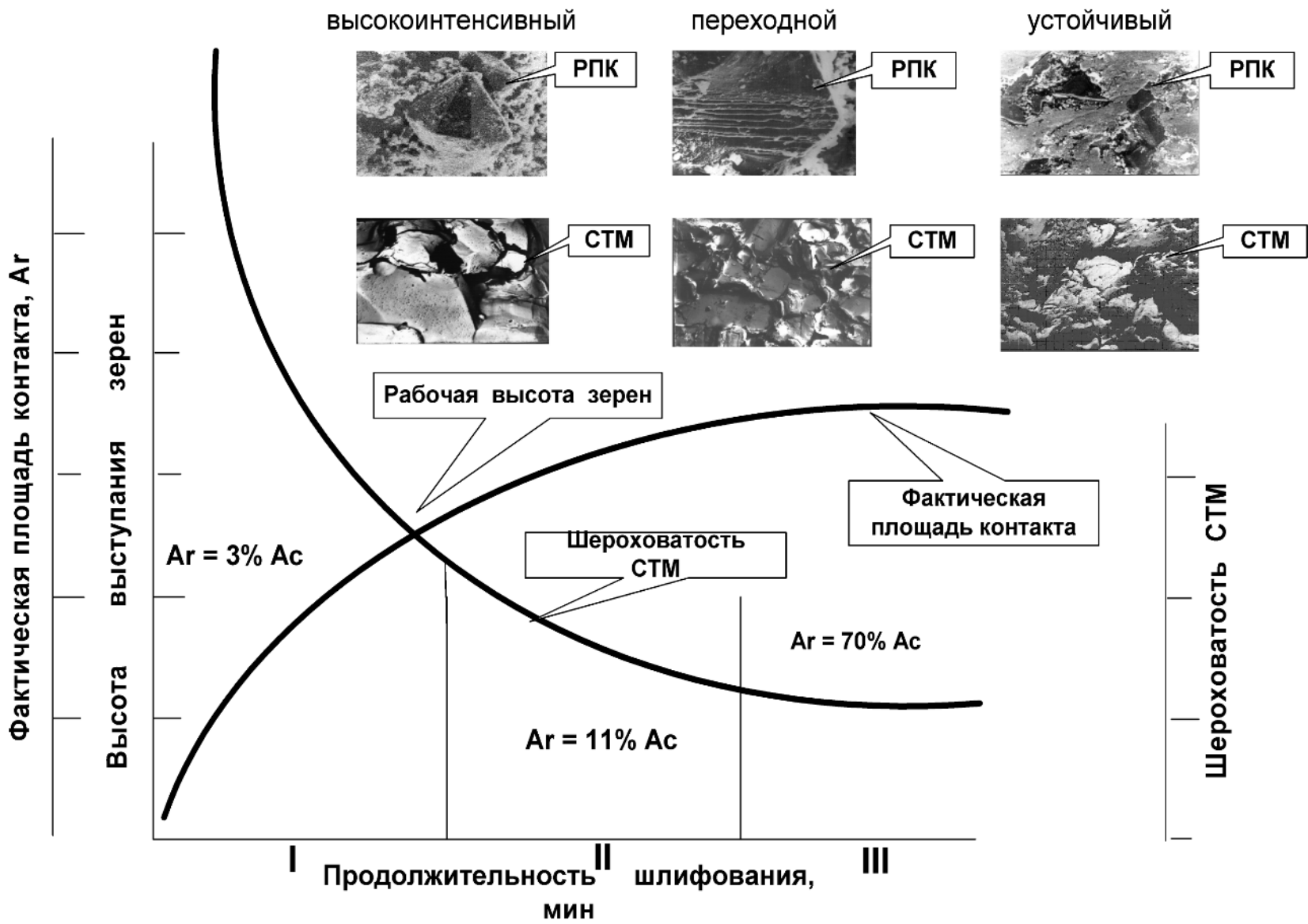
-

,

,

-

. , : 1) (-
) , « » « -
 » , (-
); 2) , -
 ; 3) -
 . - - -
 . , - -
 . « - - . -
 . () - -
 () , - -
 () , « - » . -
): (I), (II), (III) (. 4.1).
 ;
 ;
 - -
 . -



- ; , - -
 , ; τ - .

’ , - -
 .

’ . -

« - - » -

. , -

, . -

, -

« - », (.4.2).
 , - -

) . -

, . -

« - » (.4.1).

4.2 –

, 3/

10³

	« – », %					
	0,1	1	7	25	45	60
	75	46	29	11	4	1
	125	79	51	21	8	1
	193	131	88	41	19	3
-	912	718	506	453	438	311
-	1102	620	406	292	210	121
	205	152	111	63	34	2
	1106	789	622	409	307	302
-16*	9600	7300	6500	5400	4700	3700
-20*	18300	12500	8700	7400	6300	5800
-60*	54300	49600	43200	39600	35700	31600
*	62600	58600	52700	48600	41500	38500
-765*	9400	8400	7300	6700	5480	4740
*	12000	9800	8700	7300	6500	5870

:

: 12 2-45 150×10×3×32 6 50/40 6-14 4;

$P = 2,0$; $V = 30$ / ; $S = 1$ / .

*

...

t_{ps}

t_{ps} , -

t_{ps}

t_{ps}

« -

» ,

,

.

3D

-

()

«

-

-

»

,

5-10

« - ».

5 (.4.2).

$$S = 5 / .$$

» , . . .

()

, . . .

$$P = \frac{P}{A_c}$$

A_c , . . .

, ,

0,001 12² , . . .

10000 , ,

. , , . . .

, « - » 10000

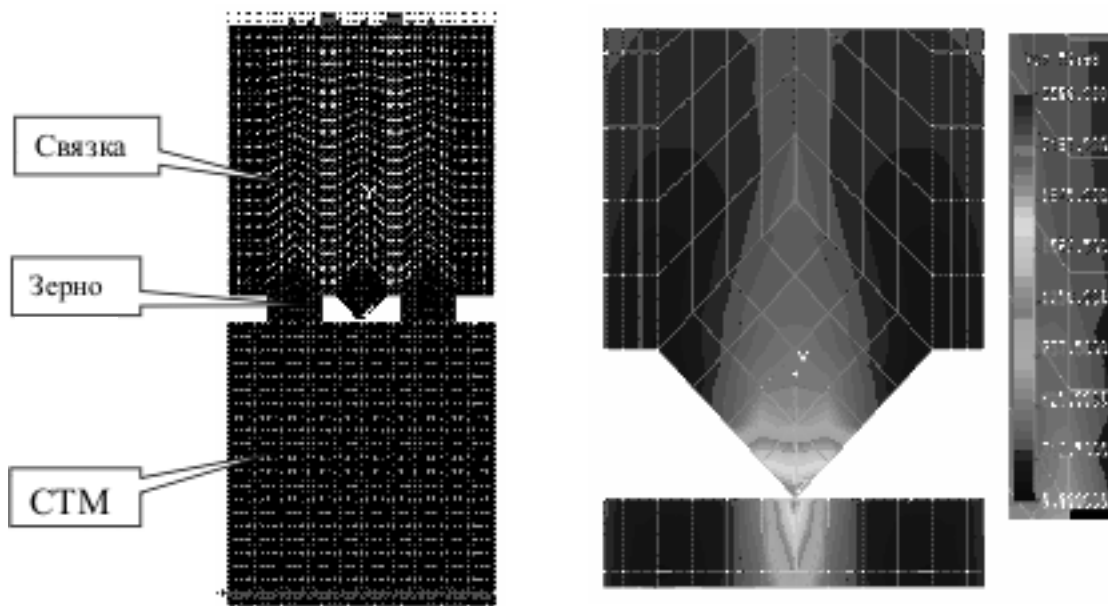
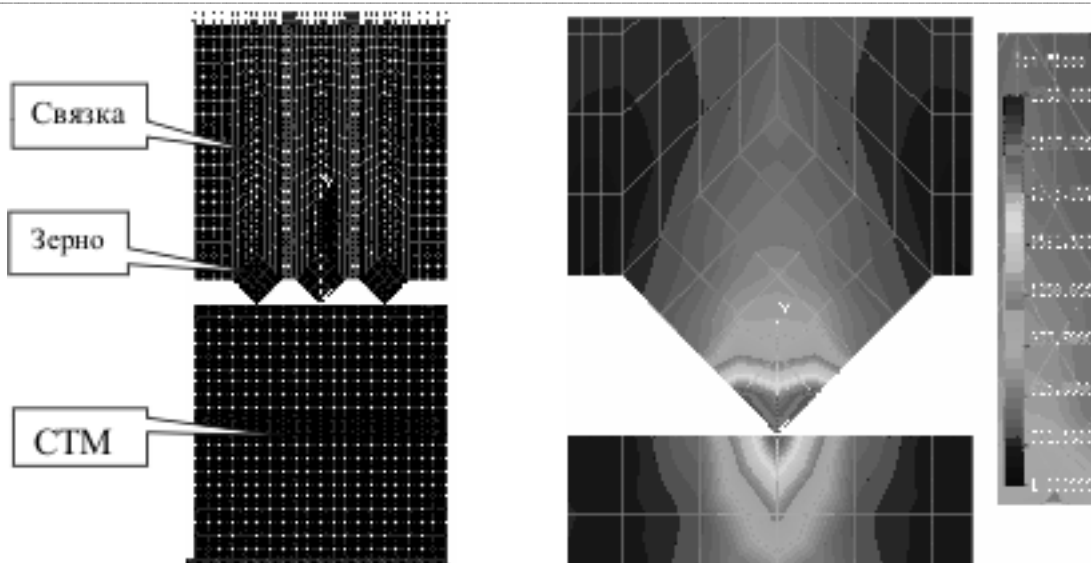
, , 100 ,

().

$$: = A_r / A_c = / , r -$$

; -

« - », - () .



4.2 –

« – – »:

– ; – ; – ; – ;

3D -

3D -

« -

— ». , -

, -

, -

, -

1) - :

« - » , -

; 2) -

, -

3) - ;

, -

.

« - »

, -

.

4.4. 3D

()

-
-
,

[29],

3D

3D

«Perthometer S8P»

FOCODYN,

±250

630/500 (. 4.3).

9

86

[9],

. 4.3 – 4.5):

R –

; *R* –

R ; *RQ* –

; *RT* –

; *RSM* –

; *RSK* –

; *RZISO* –

(*R_z*); *TPK* –

; –

; *S* –

; *R* –

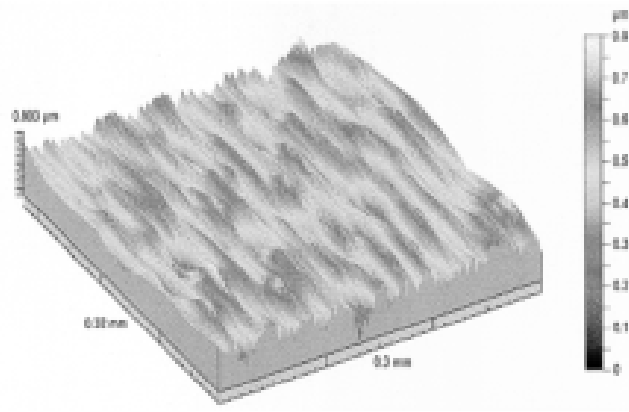
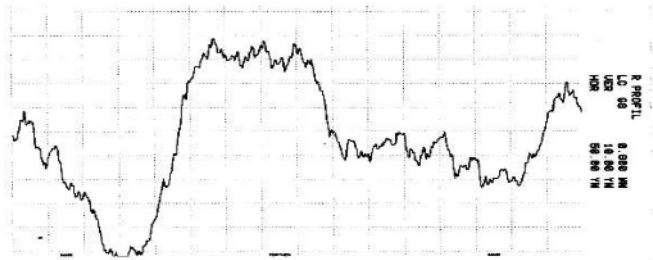
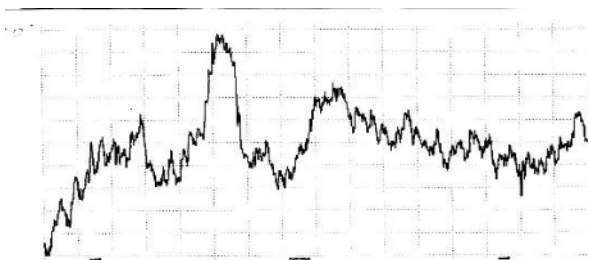
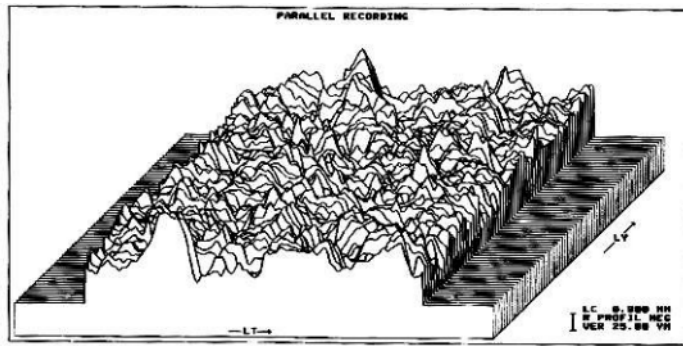
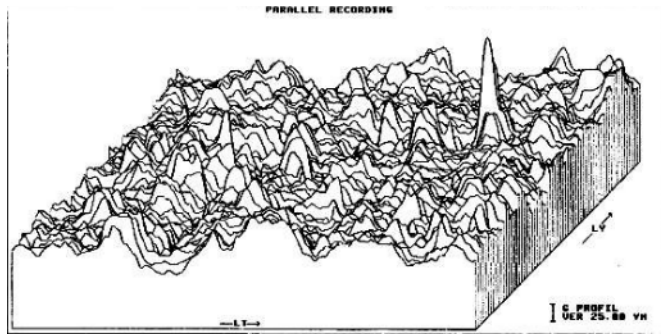
; (); *VER* –

HOR –

; *LT* –

GS –

()



4.3 -


- ; -
 () ; - -
 () ; - -
 ; -

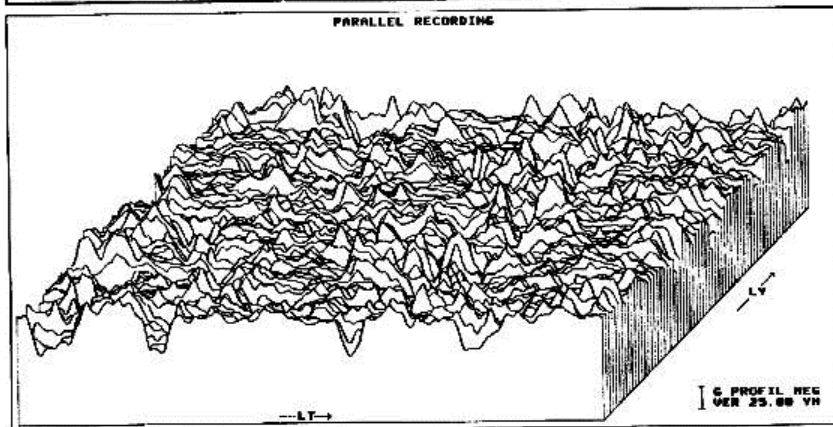
3D (), . 4.3 , NEG.

(.4.3), (.4.3). (NEG)

3 2 (.4.4 4.5).

perthometer S8P 6.22

 LT Z=1 2.400 MM LM 0.800 MM UB 250.0 YH NY 64, LY 2.400 MM	POLITECHNIKA POZNAŃSKA I.T.M. ZAKŁAD METROLOGII I SYSTEMOW POMIAROWYCH UL. PIOTROWO 3	PART: ALMAZNYJ KRUG NO.: NAME: FEDOROWICH MEAS. NO.: 65 T9 FOCODYN 250 -17
--	---	--



4.4 - 3D

, . . . 3

(.4.3).


3D

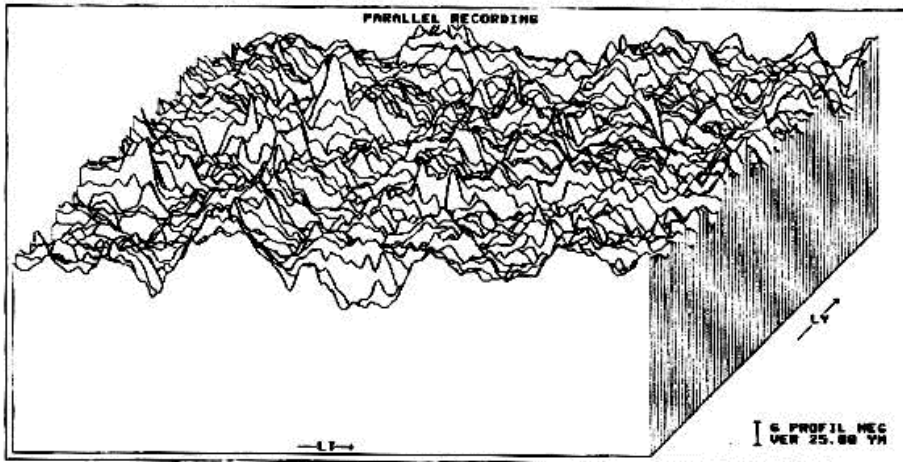
2,38

100

30

perthometer SBP 6.22

 LT 2-1 2.400 MM LM 0.800 MM UB 250.0 YH NY 64, LY 2.400 MM	POLITECHNIKA POZHANSKA I.T.M. ZAKLAD METROLOGII I SYSTEMOW POMIAROWYCH UL. PIOTROWO 3	PART: ALMAZHYJ KRUG NO.: NAME: FEDOROVICH
		MEAS. NO.: 65 T9 FOCODYN 250 -17



4.5 -

3D

2

(t_{ps}),

« - ».

3D

« - - »

0,5 - 1

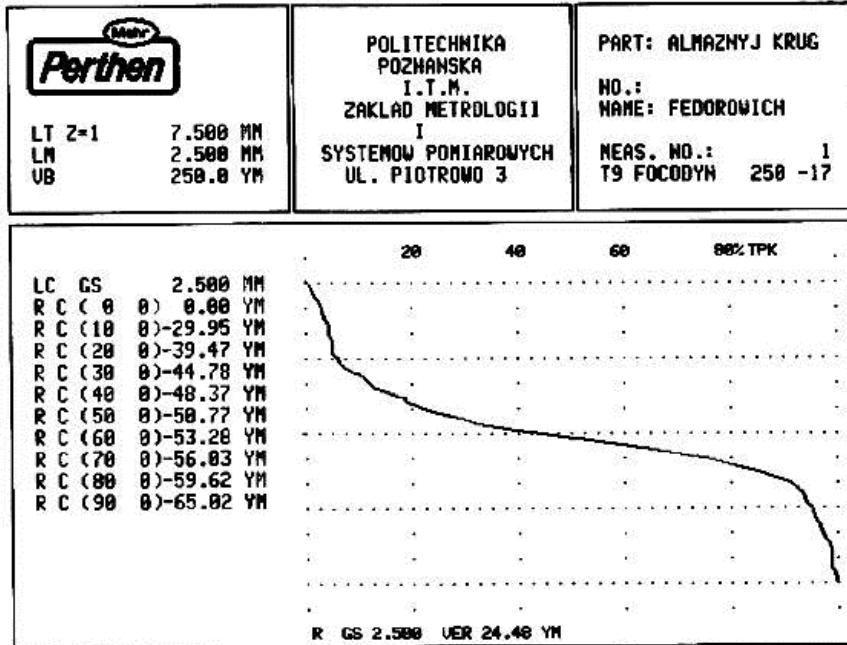
t_{ps}

1

= 5 %

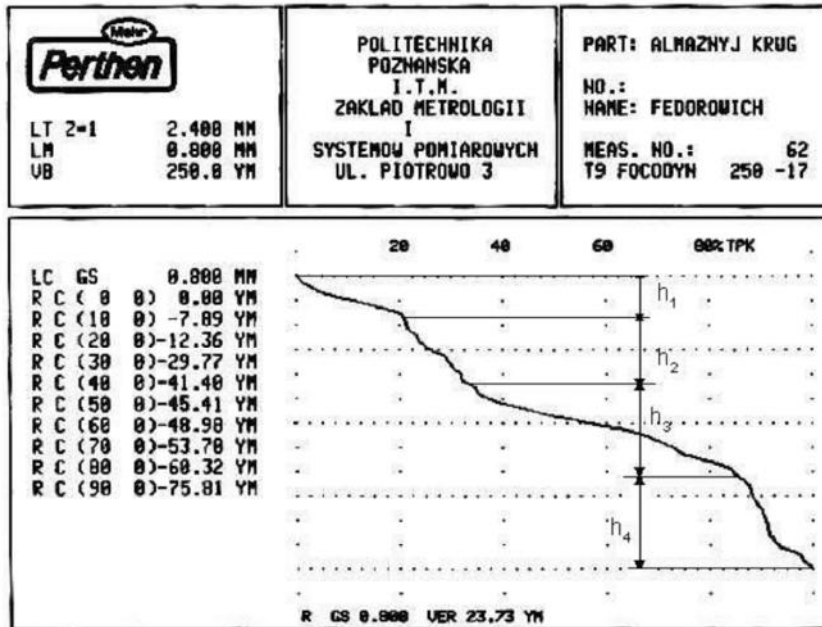
$h_p = 20$

perthometer S8P 6.22



4.6 -

perthometer S8P 6.22



4.7 -

2-

, (. . 4.3).

,

R_a R_z ,

t_{ps} ,

.

4.5.

« — — »

« — — »

« — ».

,

,

· ·

,

· ·

,

· ·

,

· ·

[12, 16, 32].

« — »

,

.

—

,

—

.

,

,

—

.

,

,

(

).

« — »:

1)

,

; 2)

,

, - ; 3) -
 () r -

A_r , ,

.. $A_r = \frac{A_r}{n}$, $n -$, -

, , ,

$A'_r = \frac{A_r}{nn_1}$, $n_1 -$,

.

[44]:

$$\bar{q} = \frac{0,43H_{\max}E^{0,5}}{IP^{0,5}}, \quad (4.6)$$

- ;
 $I -$;
 $P -$;
 $H_{\max} -$.

« - »

,

.. [12] -

:

$$A_r = A_c \left\{ \frac{2,35b^{\frac{1}{2\delta}} r^{\frac{1}{2}} (1-\mu^2) N}{2^{2\delta} K_2 h_{\max}^2 EA_c} \right\}^{\frac{2\delta}{2\delta+1}}, \quad (4.7)$$

K_2 – , , -
 δ ;
 N – , ;
 μ – ;
 E – , ;
 r – , ;
 h_{\max} – ;
 $b \delta$ – .

. , . . -
 , -

- .

 « » -

(4.7)

. « »
 ,

 (), -

, t_{ps} –
 ,
 « – ».
 t_{ps} 0 – 1 (, ,)
) ,

. ,

,

« — ».

—

,

...

...

.

,

4.6.

« — ».

,

.

.

,

,

,

,

.

,

,

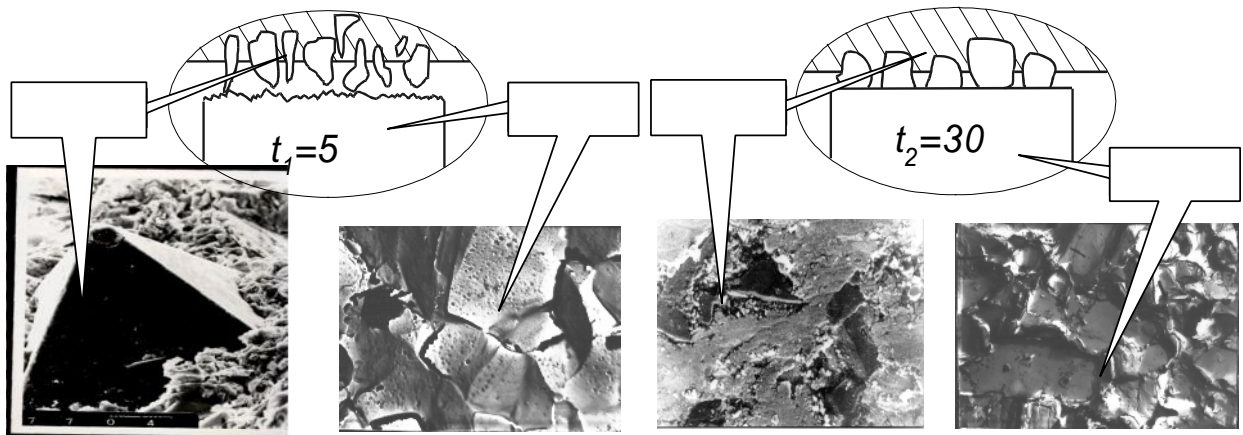
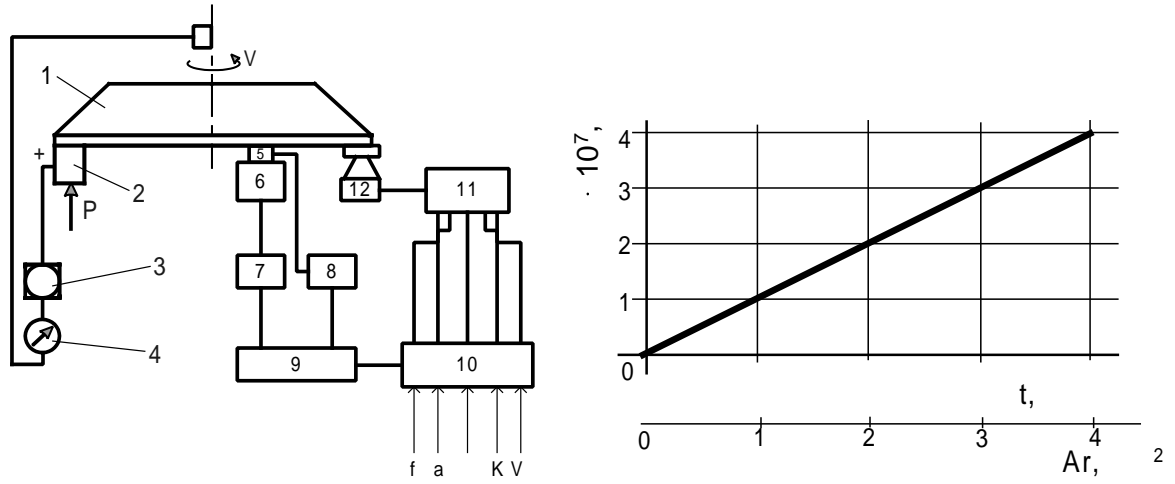
« — » « — ».

.

(.4.8 ,).

« — »

.4.8 .



4.8 –

– ; –
 « – »; –
 1 – ; 2 – ; 3 – ; 4 – –
 ; 5 – ; 6 – ; 7 – ; 8 – ; 9 –
 ; 10 – ; 11 – 12 – –
 : f – ; a – ; P –
 ; – ; V –

(.4.8).

5

6,

-

.

-

3

7

9.

10,

11

, . . .

,

,

,

. . .

-

-

-

,

,

« — ».

,

-

.

.

4.7.

,

-

-

.

-

,

-



, ().

«Cosmos», «Ansys» «Nostr n».
, «Cosmos» «Ansys».
(3D)

. 4.10.

3D

« - - »

. 4.11

: Von Mises -
, ; ENERGY - , SED -
; ESTRN - ; Princ_1(2,3) -

3D

« - - »

()

« - - ».
[22],

« - ».

()

3D

_____ ()

1x1x2 , - 200x140x140 1x1x3 , -

.4.11.

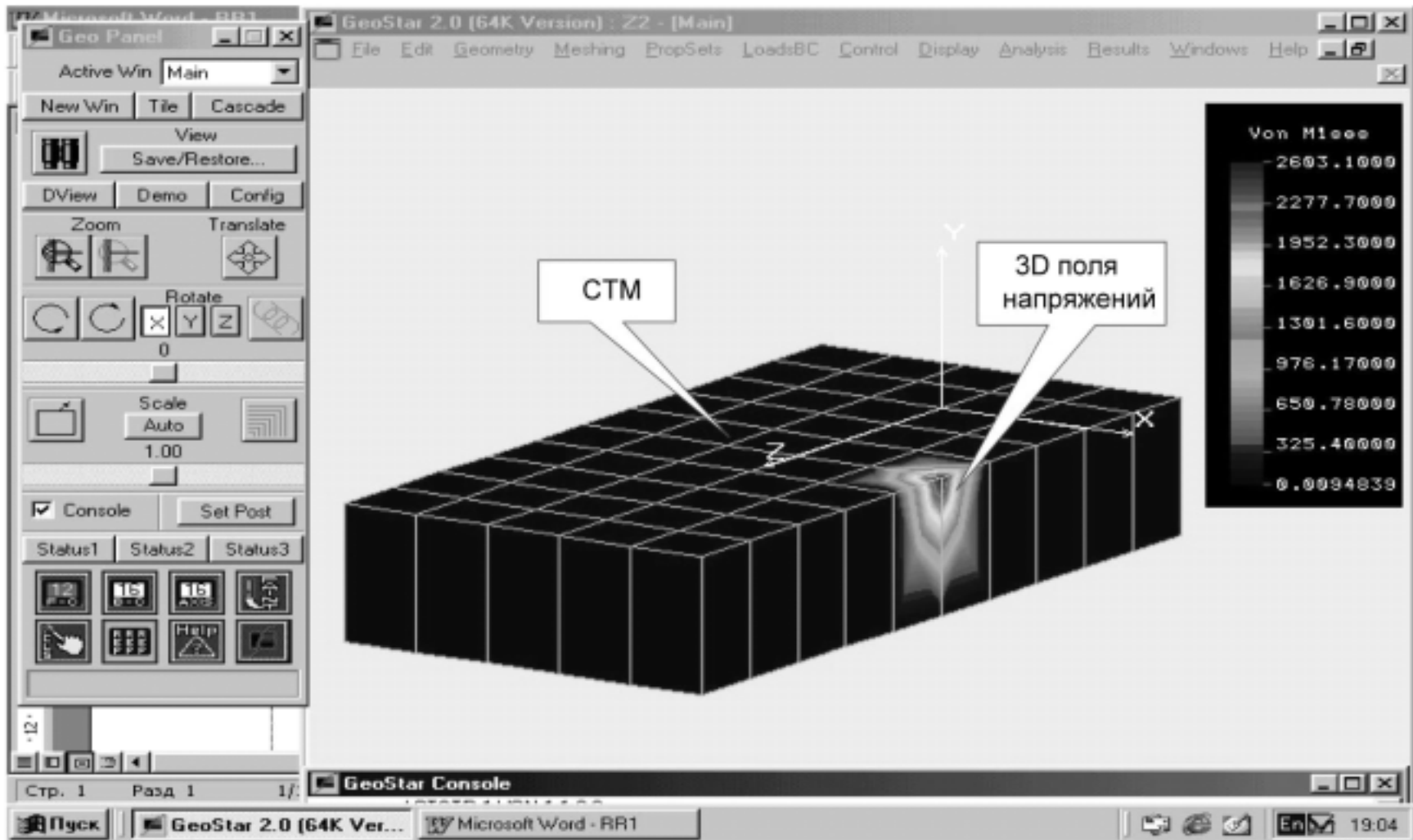
(), () (-
-).

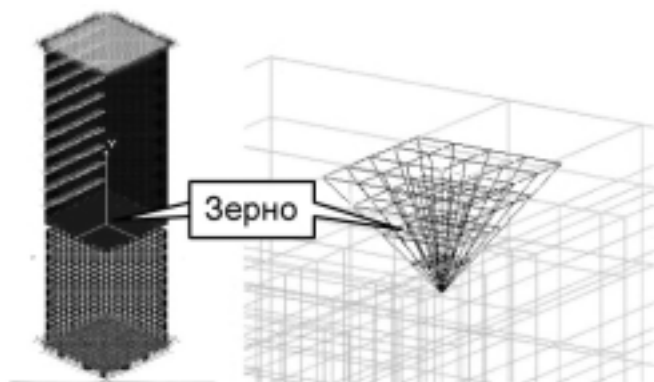
SOLID.

U_y (: 1) -
S); 2) -
(-). 3D -

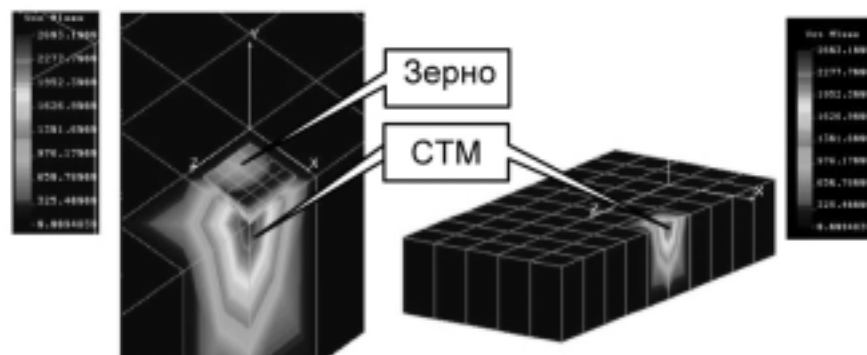
1) (-
) - U ; 2) (-
) - U ; 3)

() - U ; 4) (-
) - σ ; 5) -
- σ .

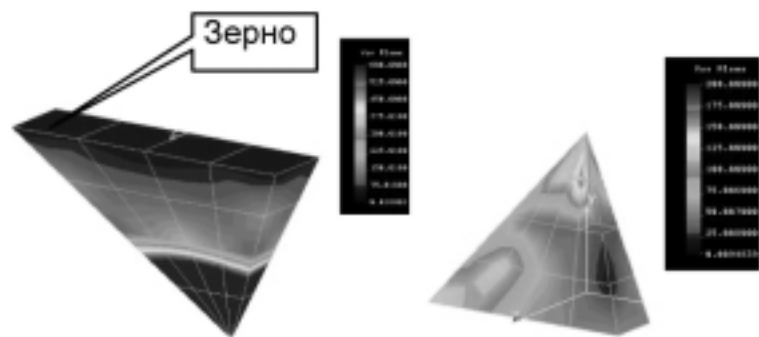




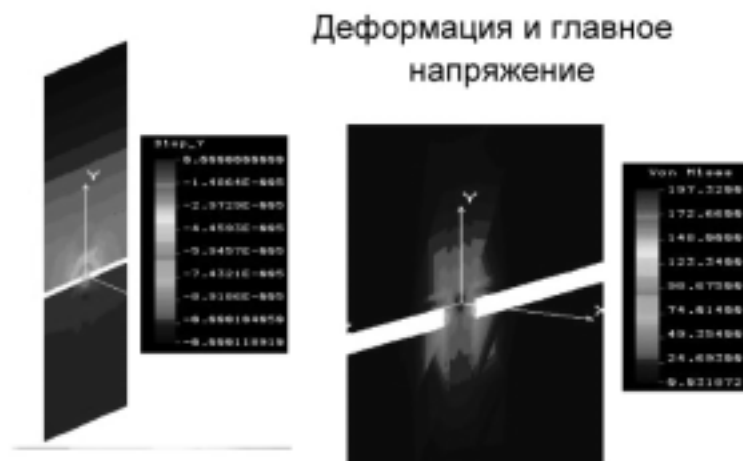
Конечно-элементная сетка



Приведенные напряжения



Приведенные напряжения



Деформация и главное напряжение

() -

(). -

, 20–150 % ,

3D .

,

,

,

« — — »

, — .

,

() -

. 4.12.

(

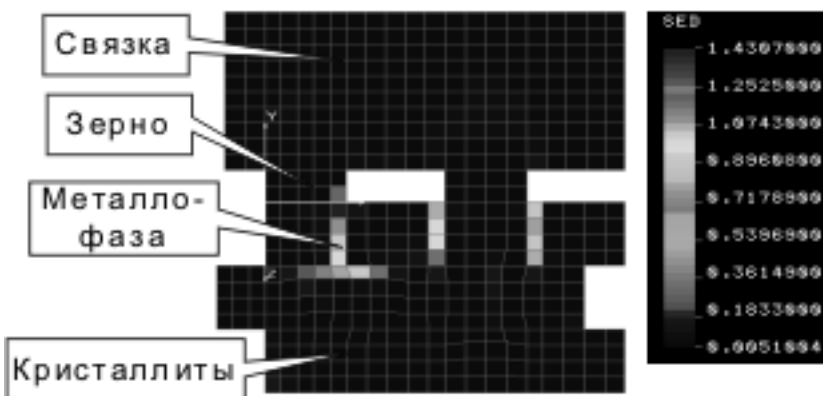
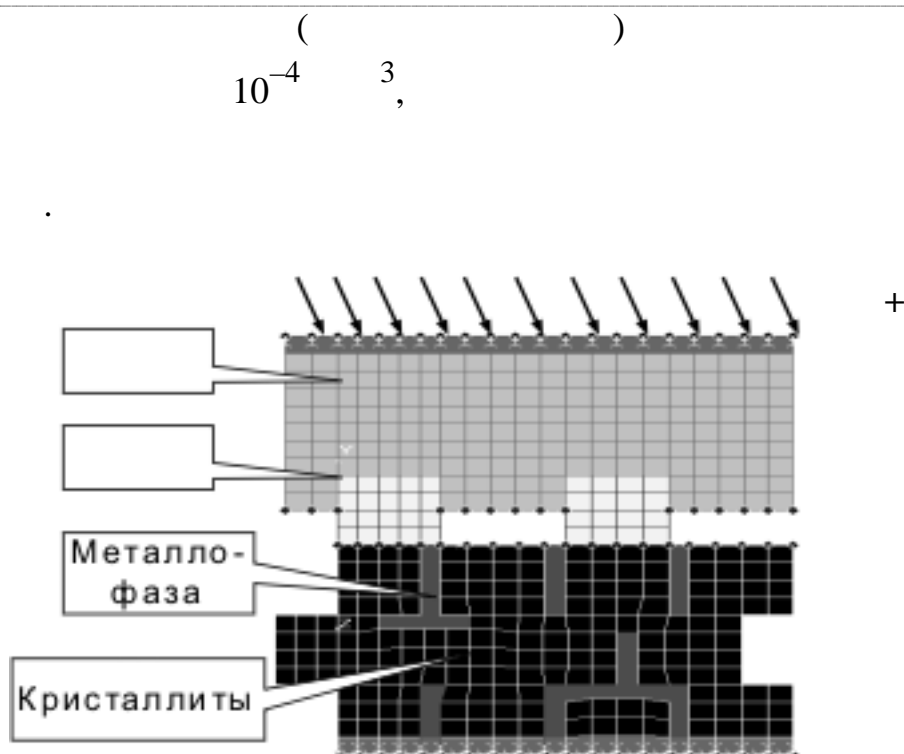
), (

) .

.

.

« — — »



4.12 – « () – – – » ()

4.9.

1. .
2. -
3. . 3D -
4. .
5. - .
6. .
7. « -
8. - » 3D 2D.
9. 3D -
10. .
11. .
12. . « - -
13. ». .
14. . () -
15. . 3D - () -

5.

-

Rem tene, verba sequuntur –

,

,

;

,

.

« – – »

3D

()

« – – ».

,

,

,

,

-

,

.

.

5.1.

3D

-

,

(3D)

,

,

,

,

.

,

,

« – – »,

-

,

,

,

(

).

, , -
 , , -
 , , -
 -
 « - - » .
 () [7], ()
 , -
 . -
 .
 3- (-
) (3D) -
 . , -
 , . . . -
 « - - » 3D ,
 50–150 %.
 3D « -
 - »
 , . . .
 .
 , ,
 .
 [25, 34]
 -
 . -
 -
 . -
 [001] , -

1 ·

$$\sigma \approx \frac{0,41\sigma \sigma}{\sigma - 1,89\sigma}, \quad (5.1)$$

$$\sigma = \frac{P}{dh} -$$

d h P ;

$\sigma -$

, σ

[]

3D - ()

« - - »

- S ,

P , V ,

Z ,

.5.1

« - - »,

)

(

),

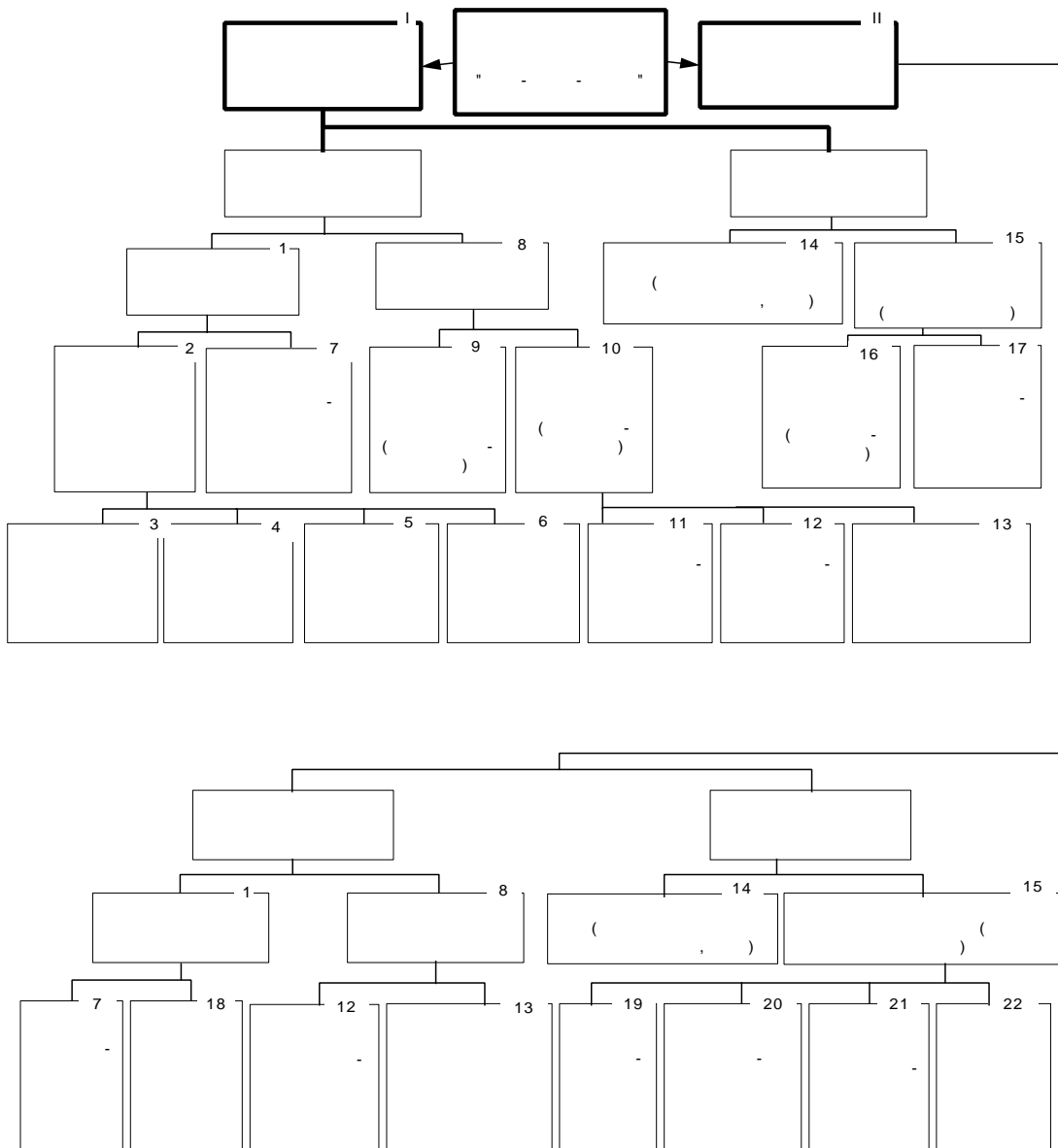
3D

,

,

.

.



5.1 -

« - - »

, ,

,

« — — ».

-

.

,

,

,

,

.

.

:

1.

,

-

.

2.

,

-

5-10 ,

3.

« — »

-

-

,

.

4.

,

,

.

-

,

,

.

,

.

,

-

5.

,

-

-

-

,

18,4 10,6 / ² [33].

5.2. 3D

« - - »

« - - »

[13].

()

[44].

$V = 30 / ,$

$v = 0,1,$

$m_2 = 0,1$

$R_2 = 100 ,$

$= 800 ,$

$P_{max} = 0,28 .$

« - - »

·

(

$P_z = 0,$

$P_z / P_y = 0,1-0,4,$

$P_y)$

·

3D

0,0005

,

·

2×2×3 1×1×2

200×150×150 , -

·

:

,

·

·

5.2.1. 3D

« -

»

SOLID (4847

, 1640) (.5.2).

U_x, U_y, U_z .

. 5.2 .

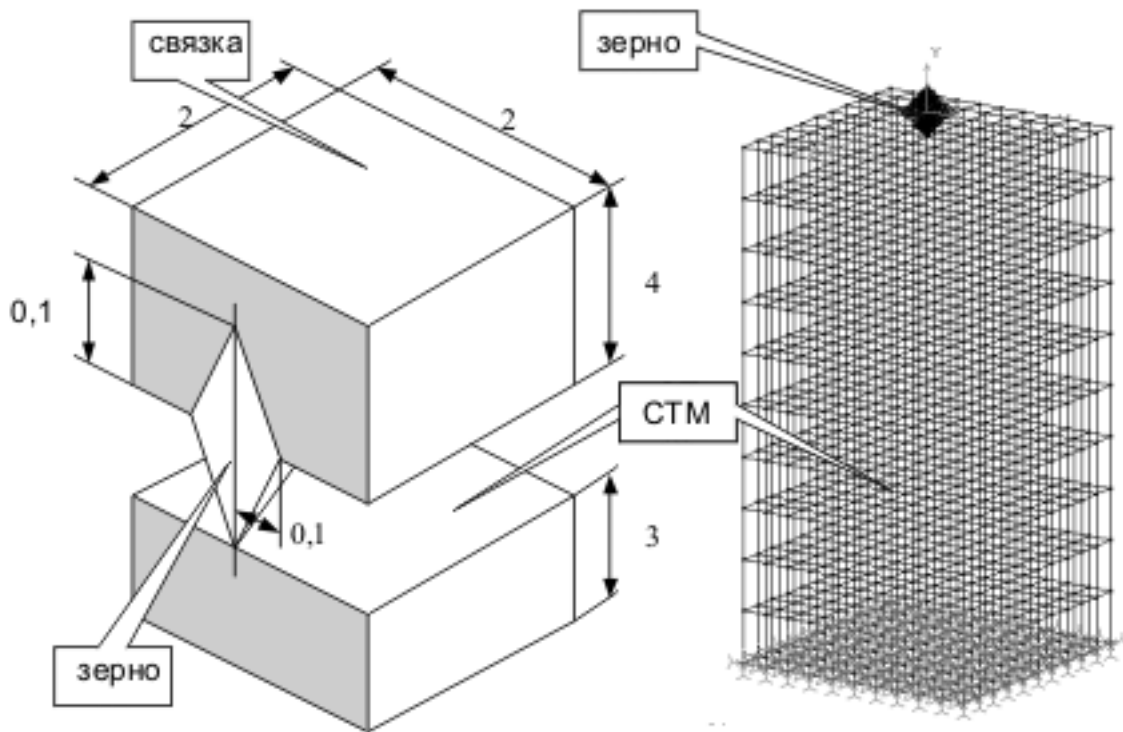
$G = 545$; $\mu = 0,1$;

$= 72$; $G = 28$; $\mu = 0,24$ (

$= 1000$;

$G = 545$; $\mu = 0,1$;

).



5.2 –

()

()

:

–

U_y

(

) –

;

(

) –

:

–

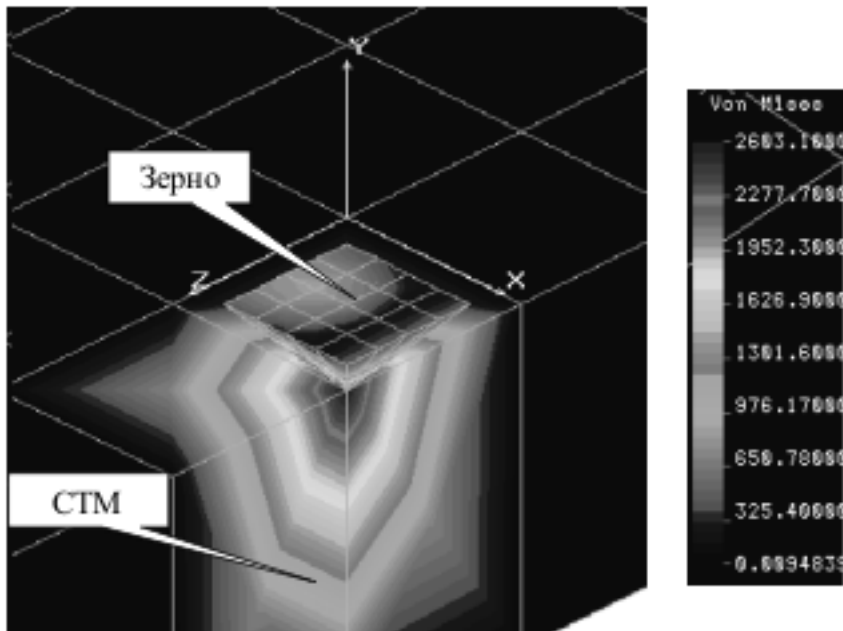
(29)

U_y^3 ;

– () (29)
 σ_{von} ;
 – () (1)
 σ_{von} ·
 $U_y^c = 5$,
 $U_y^3 = 0,473$;
 () $\sigma_{von} = 14717$;
 $\sigma_{von} = 4620$.
 $= 10$,
 $= 0,4$, :
 – $U_y^3 = 0,2718$;
 – () $\sigma_{von} = 8452$;
 – $\sigma_{von} = 2653$.

« – » $U_y^c = 5$

. 5.3.



5.3 – 3D

« – »

365

236

-

$$V = 0,023^3 \quad V = 0,018^3$$

:

():

$$= 13,93 U_y^c, \tag{5.2}$$

- ; U_y^- ;

:

$$= 13,93 U_y^c; \tag{5.3}$$

« - »:

$$= 13,93 U_y^c. \tag{5.4}$$

(5.2)–(5.4)

-

$$= 13,93 U_y^c,$$

(5.2)–(5.4).

,

.

-

-

-

$$U_y^c = 5,$$

S .

-

« - - »:

: = 72 ; G = 28 ;

$\mu = 0,24$ () ; = 100 ; G = 40 ; $\mu = 0,24$; = 130 ;

G = 50 ; $\mu = 0,24$; : = 1000 ; G = 454 ; $\mu = 0,1$ (-

); = 800 ; G = 360 ; $\mu = 0,1$; : = 1000 ;

$G = 545$; $\mu = 0,1$ () ; $= 800$; $G = 360$; $\mu = 0,1$;
 $= 500$; $G = 227$; $\mu = 0,1$.

3D

3D

. 5.1.

$$\frac{\Delta U_y^3}{\Delta E} = 0,00222 \quad / \quad ,$$

$$\frac{\Delta U_y^3}{\Delta E} = 0,00023 \quad / \quad .$$

$$\frac{\Delta U_y^3}{\Delta E} = 0,00045 \quad / \quad .$$

5.1 – 3D

()

		=100	=130	=800	=1000	=800
U_y ,	0,473	0,546	0,602	0,307	0,248	0,427
σ ,	14717	17125	19000	15230	15448	13363
σ ,	4620	5314	5817	4790	4849	4164

() .

.
:

$$\frac{\Delta\sigma}{\Delta E} = 0,0738,$$

. -

(0,00677)

(0,00146).

() -

:

$$\frac{\Delta\sigma}{\Delta E} = 0,0206,$$

-

(0,0023 0,00046).

,

.

5.2.2. 3D

3D -

() -

2248

. 5.4 . -

SOLID, 8761 (. 5.4). -

,

: - (98)

U_y ; -

() (98)

σ_{von} ; - () (16)

σ_{von} .

$$U_y^c = 5 \quad , \quad -$$

$$: \quad U_y^3 = 0,5638 \quad ; \quad (\quad -$$

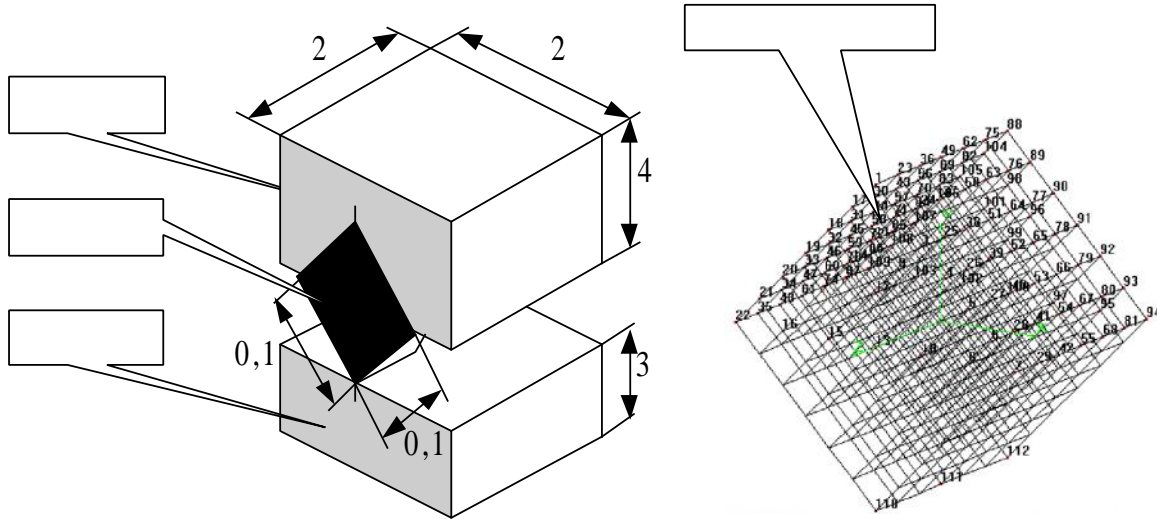
$$) \sigma_{von} = 4448,4 \quad ; \quad \sigma_{von} = 1502,3 \quad .$$

$$= 10 \quad ,$$

$$= 0,4 \quad , \quad : \quad U_y^3 = 0,3049 \quad ; \quad -$$

$$(\quad) \quad \sigma_{von} = 2406 \quad ;$$

$$\sigma_{von} = 812,54 \quad .$$



5.4 –

()

()

234

127

$$V = 0,019 \quad ^3 \quad V = 0,012 \quad ^3 .$$

$$U_y^c = 5 \quad . \quad 5.5.$$

:

():

$$= 14,79 U_y^c ; \quad (5.5)$$

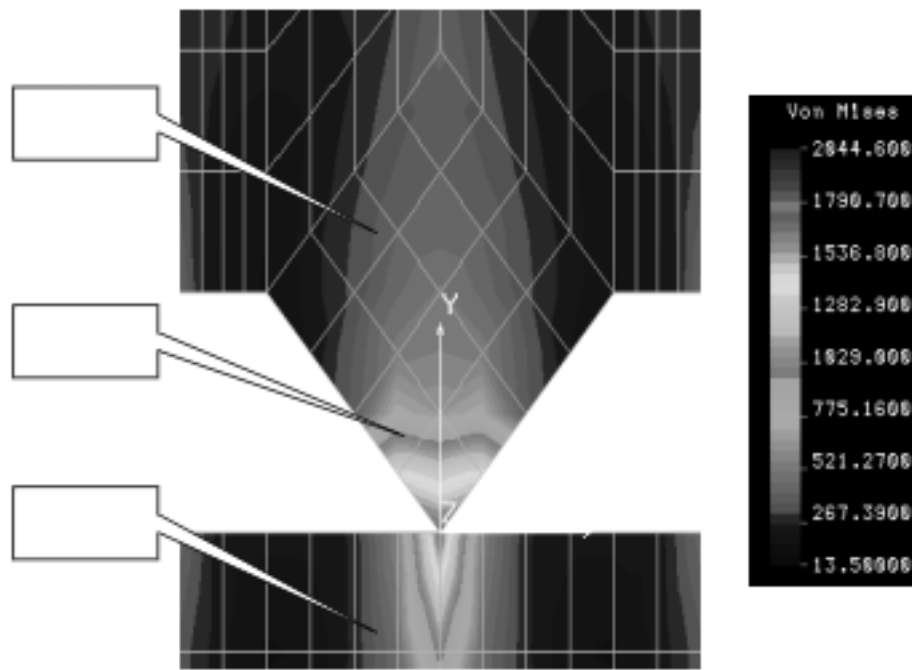
$$= 14,79 U_y^c; \tag{5.6}$$

$$= 14,79 U_y^c. \tag{5.7}$$

(5.7)

(5.7)

$$= 14,79 U_y^c. \tag{5.8}$$



5.5 –

(5.7),

$$U_y^c = 5$$

5.2.1,

5.2.1

() . 5.2.

$$\frac{\Delta U_y^3}{\Delta E} = 0,00288 \quad / \quad ,$$

$$\frac{\Delta U_y^3}{\Delta E} = 0,00024 \quad / \quad ,$$

$$\frac{\Delta U_y^3}{\Delta E} = 0,000528 \quad / \quad .$$

5.2 – 3D

()

		=100	=130	=800	=1000	
U_y ,	0,564	0,658	0,731	0,369	0,300	0,516
σ ,	4449	5192	5770	4554	4591	4025
σ ,	1502	1807	2059	1576	1603	1405

$$\frac{\Delta \sigma}{\Delta E} = 0,02277 ,$$

() :

$$\frac{\Delta \sigma}{\Delta E} = 0,00212 ,$$

$$\frac{\Delta\sigma}{\Delta E} = 0,000284.$$

5.2.1,

5.2.3. 3D

3D

()

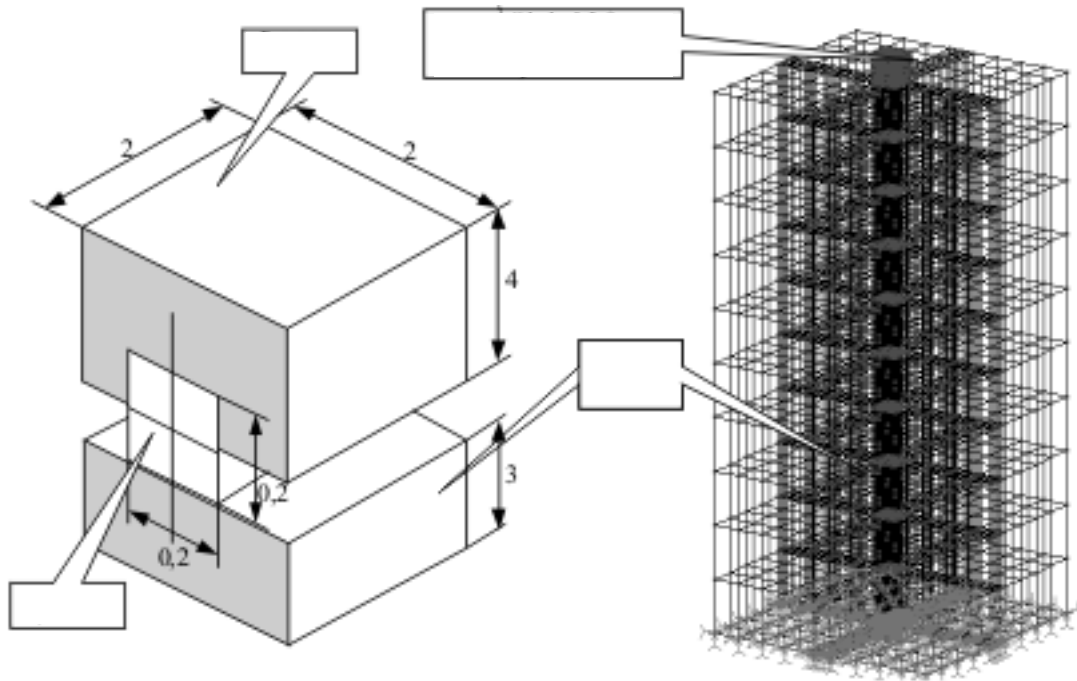
. 5.6 .

2448

SOLID, 8561

(. 5.6).

5.3.1, 5.3.2



5.6 –
()

« – – »
()

σ_{von} ·
 (88) U_y ; (88) σ_{von} ;
 () (13)
 $U_y^c = 5$, : -
 () $U_y^3 = 0,6553$; (-
) $\sigma_{von} = 753,12$; $\sigma_{von} = 946,7$.
 $= 10$,
 $= 0,4$, ()
 $U_y^3 = 0,2719$; () $\sigma_{von} = 314$; -
 $\sigma_{von} = 392,25$.

$$U_y^c = 5 \quad .5.7.$$

:

()

$$= 19,188 U_y^c; \quad (5.9)$$

$$= 19,308 U_y^c; \quad (5.10)$$

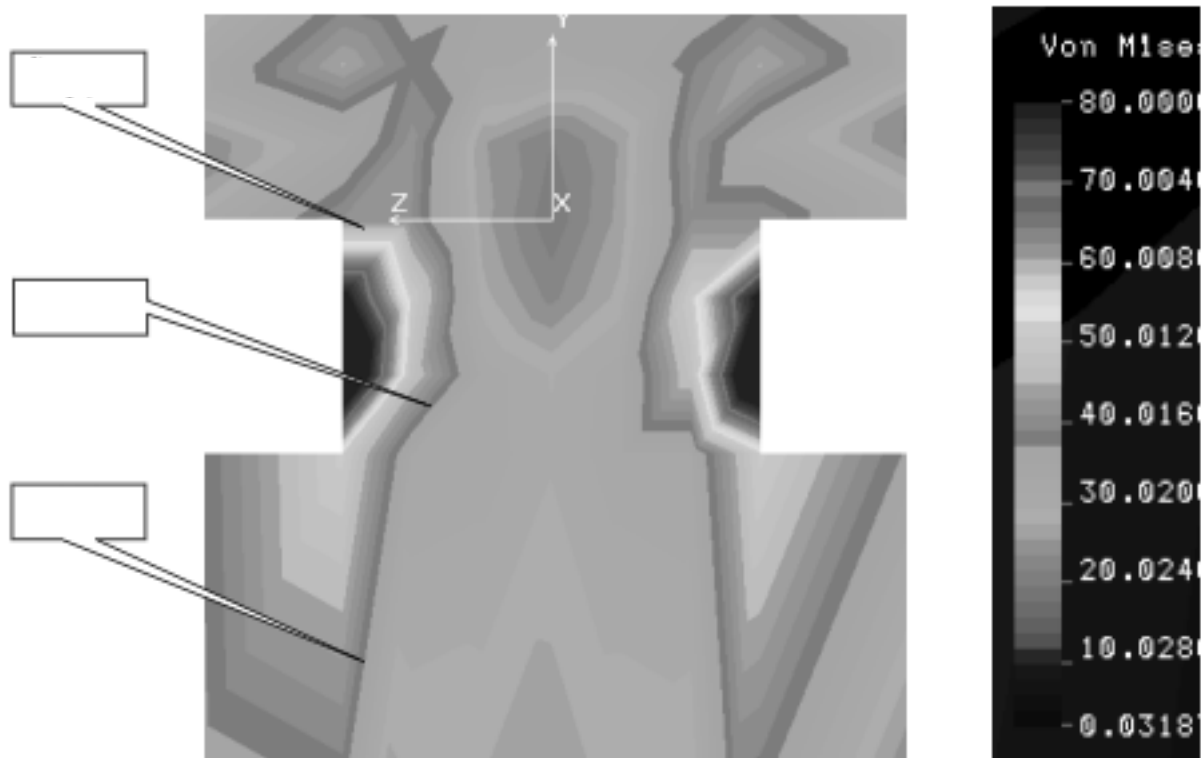
$$= 19,28 U_y^c. \quad (5.11)$$

(5.9)–(5.11)

5.2.1, 5.2.2,

(5.9)–(5.11)

$$= 19,28 U_y^c. \tag{5.12}$$



5.7 –

« – – »

5.2.1 5.2.2,

$$U_y^c = 5$$

. 5.3.

$$\frac{\Delta U_y^3}{\Delta E} = 0,0059 \quad /$$

:

$$\frac{\Delta U_y^3}{\Delta E} = 0,000076 \quad / \quad ;$$

$$\frac{\Delta U_y^3}{\Delta E} = 0,0006 \quad / \quad .$$

$$\frac{\Delta \sigma}{\Delta E} = 0,02278 \quad \frac{\Delta \sigma}{\Delta E} = 0,00212 \quad \frac{\Delta \sigma}{\Delta E} = 0,000284 .$$

5.2.2

5.3 – 3D

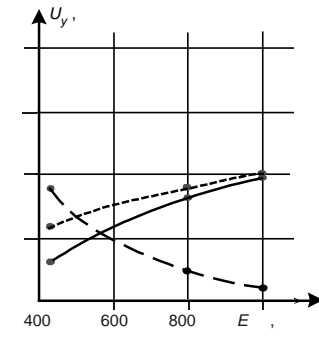
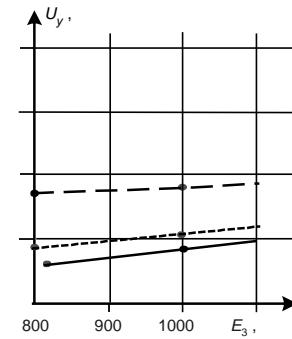
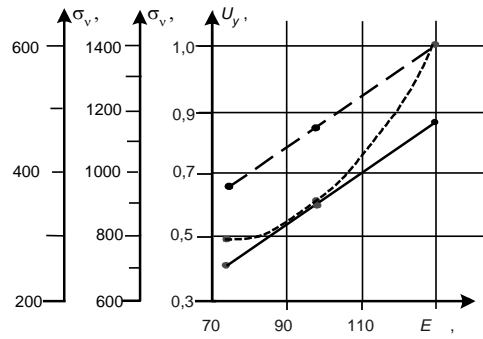
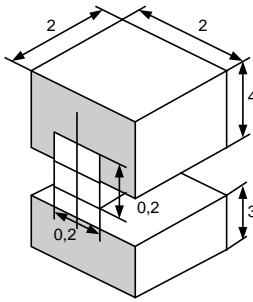
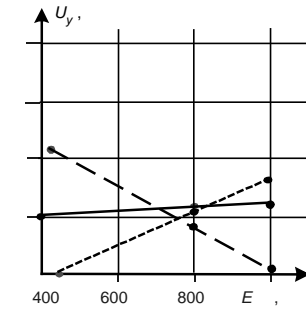
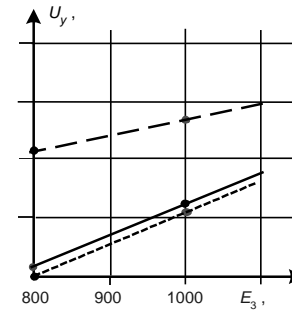
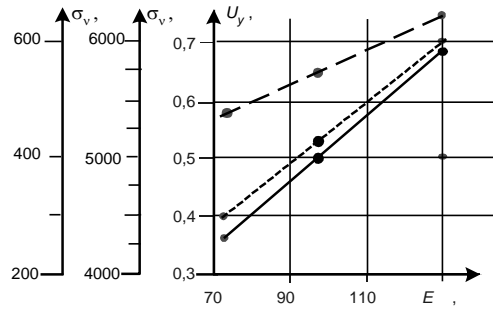
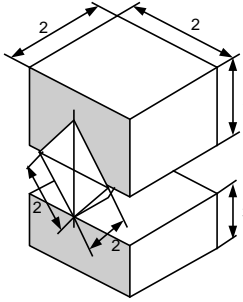
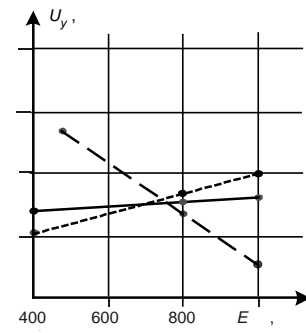
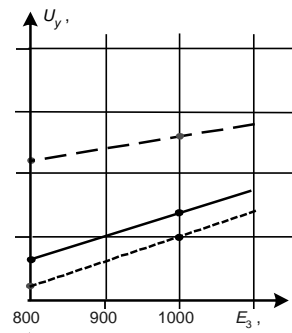
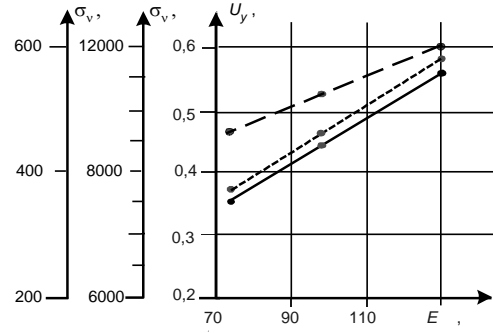
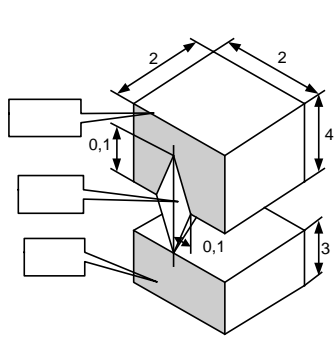
()

		=100	=130	=800	=1000	=800
U_y ,	0,6653	0,840	1,010	0,443	0,3649	0,6501
σ ,	753,1	960,7	1150	915,0	987,1	789,2
σ ,	946,7	1159	1354	989,2	1004	894

3D

« - - »

. 5.8.



— ,
 : — « — »;
 — « — »;

. 5.1–5.3 . 5.8 ,

, ,

,

20 ,

4 . , (

) « »

« – ».

:

– (,

);

– (,

6);

– , ,

,

.

5.3.

,

.

N ,

$\bar{n} , \bar{n} \bar{n} ,$

U , (5.8) (5.11) :

$$P = N(P\bar{n} + P\bar{n} + P\bar{n}) = N(4,125\bar{n} + 7,369\bar{n} + 9,285\bar{n})U \quad (5.13)$$

(5.11) $\bar{n}, \bar{n}, \bar{n}$

$$\bar{n} + \bar{n} + \bar{n} = 1. \quad (5.14)$$

, . 5.1–5.3 ,

() ,

$$\sigma = 8184,82 \cdot \frac{1}{N(4,125\bar{n} + 7,369\bar{n} + 9,285\bar{n})} \geq [\sigma] ; \quad (5.15)$$

$$\sigma = 339,93 \cdot \frac{1}{N(4,125\bar{n} + 7,369\bar{n} + 9,285\bar{n})} \leq [\sigma] . \quad (5.16)$$

() ,
() :

$$\sigma = \frac{1}{F} \leq [\bar{\sigma}] , \quad (5.17)$$

$F -$ ($F = 1 \quad ^2$)

[N] (

).

$$\bar{n} = 1, \bar{n} = \bar{n} = 0,$$

:

$$\bar{n} = \bar{n} = \bar{n} = 0,33.$$

(5.17) (5.15) ,

(5.17):

$$\frac{N(4,125\bar{n} + 7,369\bar{n} + 9,285\bar{n})U}{F} \leq [\bar{\sigma}] . \quad (5.18)$$

.5.9 ()

() (U) (-
) , . ,

, ,

() .

·
:

$$V = (V^2\bar{n} + V\bar{n} + V\bar{n}) , \quad (5.19)$$

V , V , V -

() -

.5.4 -

, -

« - - » , -

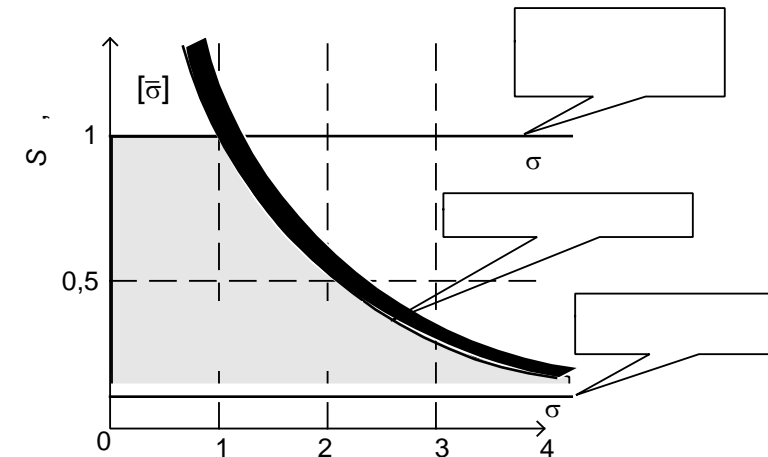
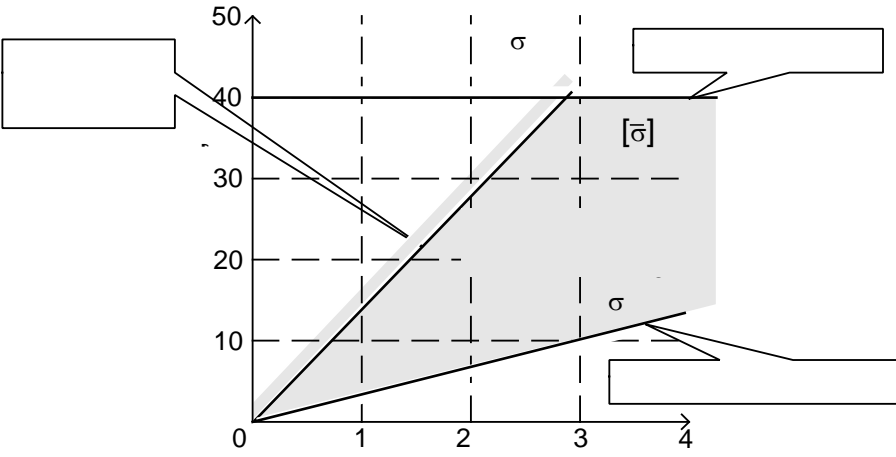
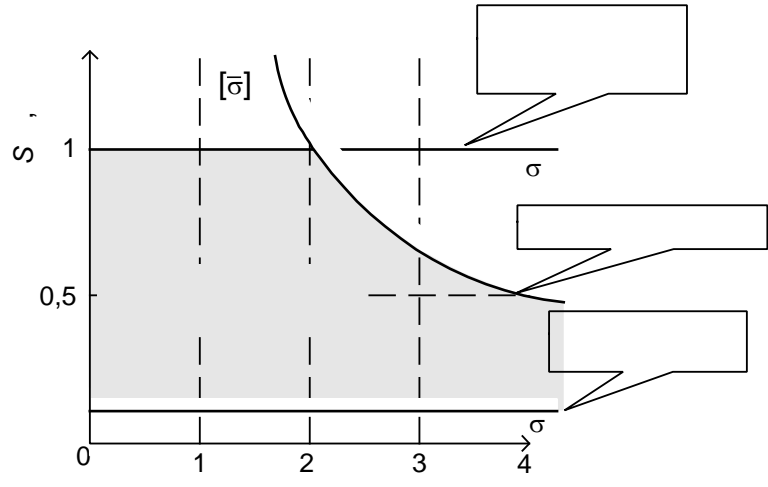
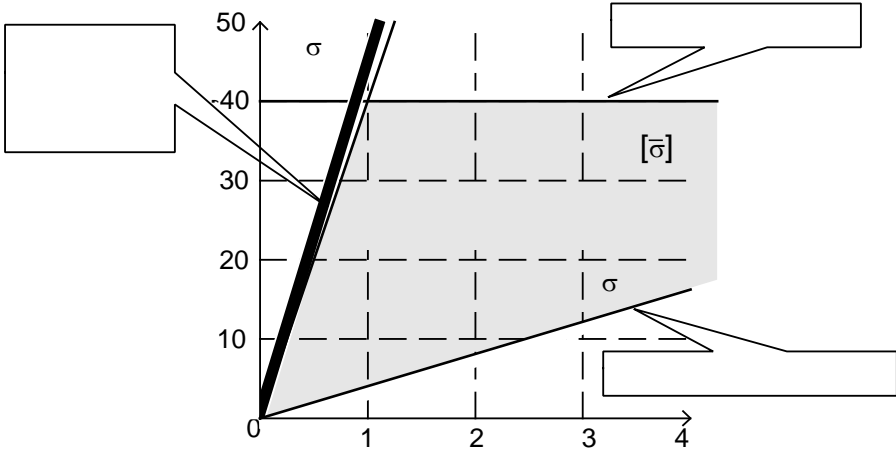
, ,

. 5.9)). ((.

, -

. -

, .



, - ; , -

5.4 –

100²

		h_{\max}	3				
			$0,1h_{\max}$	$0,2h_{\max}$	$0,3h_{\max}$	$0,4h_{\max}$	$0,5h_{\max}$
0,2	50/40	51,568	0,00001	0,0002	0,0017	0,0076	0,0236
	80/63	85,021	0,00002	0,0003	0,0021	0,0100	0,0328
	100/80	103,118	0,00003	0,0004	0,0032	0,0144	0,0453
	200/160	202,622	0,00006	0,0007	0,0064	0,0295	0,0936
	315/250	321,013	0,00008	0,0013	0,0111	0,0494	0,1529
0,3	50/40	47,183	0,000003	0,0001	0,0006	0,0036	0,0129
	80/63	75,299	0,000008	0,0002	0,0013	0,0062	0,0209
	100/80	88,447	0,000036	0,0005	0,0029	0,0121	0,0357
	200/160	172,216	0,000080	0,0010	0,0063	0,0265	0,0765
	315/250	275,135	0,000070	0,0012	0,0086	0,0387	0,1161
0,4	50/40	38,084	0,000008	0,0001	0,0009	0,0037	0,0111
	80/63	62,017	0,000018	0,0002	0,0012	0,0052	0,0160
	100/80	72,440	0,000035	0,0005	0,0030	0,0107	0,0284
	200/160	141,945	0,000075	0,0010	0,0061	0,0222	0,0589
	315/250	225,086	0,000089	0,0015	0,0099	0,0362	0,0955
0,5	50/40	32,918	0,000002	0,00004	0,0003	0,0016	0,0054
	80/63	53,070	0,000006	0,0001	0,0005	0,0024	0,0080
	100/80	65,819	0,000007	0,0001	0,0006	0,0030	0,0105
	200/160	127,348	0,000013	0,0002	0,0014	0,0070	0,0236
	315/250	202,800	0,000022	0,0002	0,0021	0,0107	0,0362
0,6	50/40	26,099	0,000003	0,000008	0,0002	0,0009	0,0031
	80/63	41,969	0,000005	0,00005	0,0003	0,0016	0,0050
	100/80	49,861	0,000010	0,00013	0,0008	0,0029	0,0080
	200/160	96,190	0,000025	0,0003	0,0019	0,0067	0,0180
	315/250	153,338	0,000033	0,0004	0,0025	0,0093	0,0256

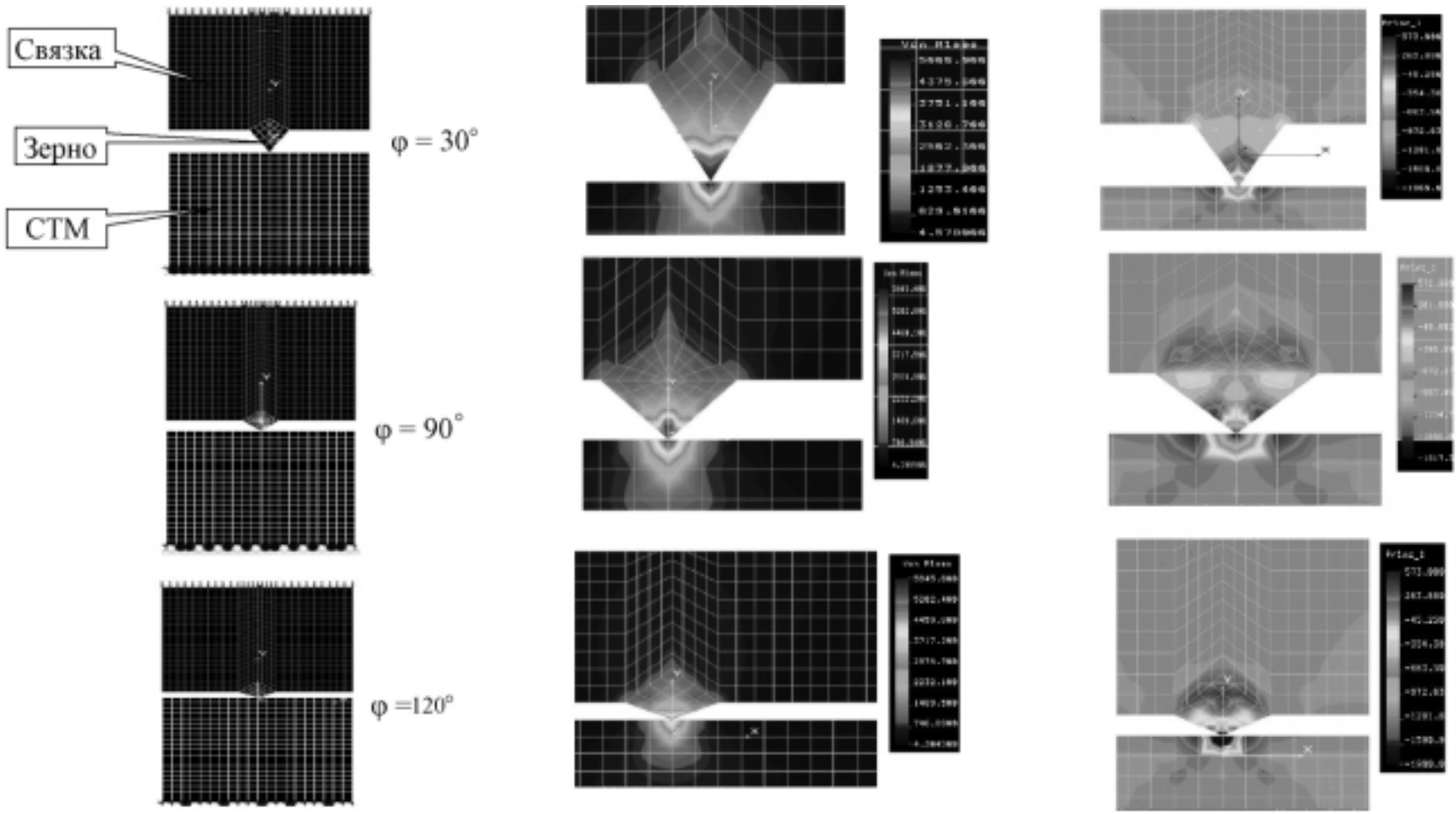
5.4.	3D
-	-
,	-
(). ,	-
()	2 -
-	()
« - - »	-
.	-
« - - »,	[41].
;	3D -
;	-
Cosmos	-
,	-
.	-
,	-
/ ()	-
.	-
()	-
« - - »	-
,	-
(. 5.10, 5.11).	,
30° 120°	,
« - »	3 ,
0,256 0,07,	-

0,317 0,09 10⁻⁹ 3 (. 5.5). , -
 , -
 . -
 -
 « - » (. 5.11). « - - »
 . 5.12, 5.13.

5.5 - (V)
 (V)

, 3	,			
	50	100	150	200
V	0,248	0,365	0,483	0,564
V	0,117	0,183	0,214	0,283
	30°	60°	90°	120°
V	0,317	0,265	0,113	0,09
V	0,256	0,183	0,11	0,07

- 6; : - ;
 - 100 % (4); -
 = 0,5; = 2,0 .
 -
 « - - » -
 , -
 . -
 . -
 , () -
 S (« ») -
 (. 5.13). -
 -



$$V = 0,15 \varphi^{0,26} \text{ ; } \Delta h = 0,27 \varphi^{0,27} \text{ ; } V = 0,02 \varphi^{0,23} \text{ ; } \Delta h = 0,03 \varphi^{0,13} \text{ ,}$$

« — — »

,

.

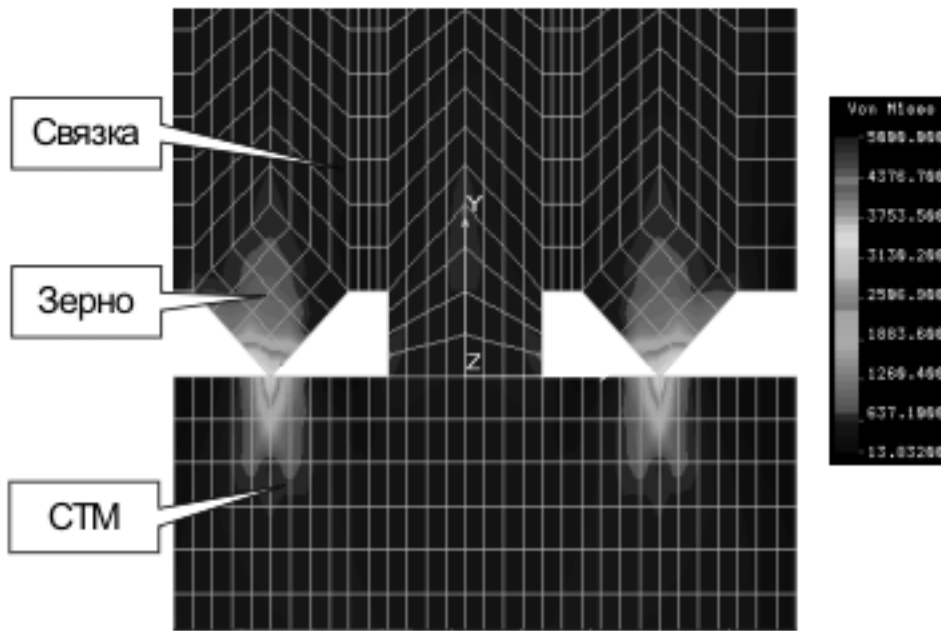
.

,

()

S (« »)

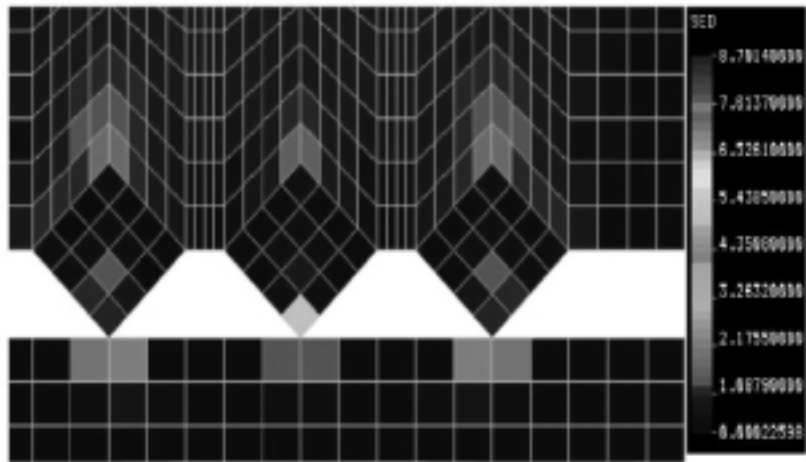
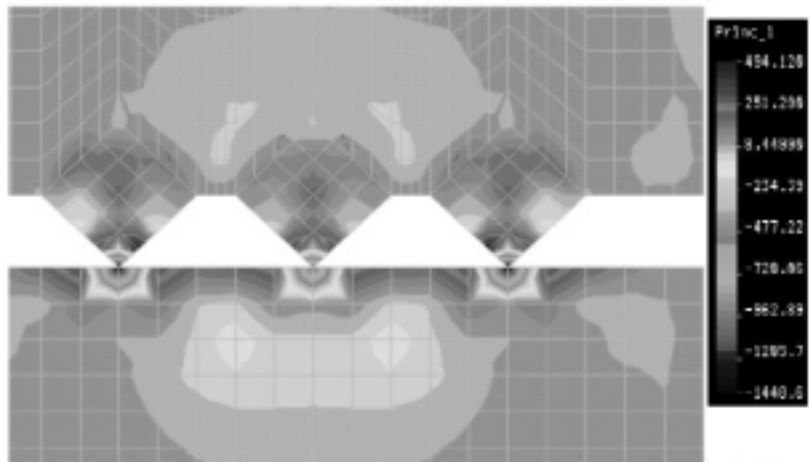
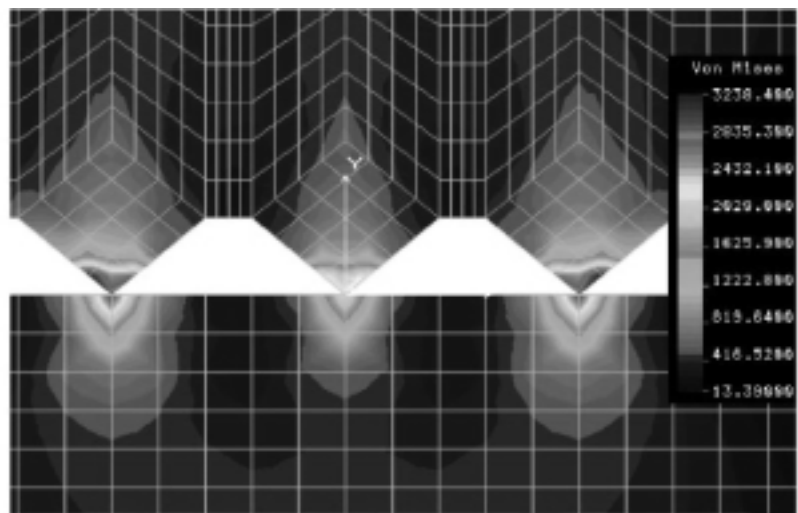
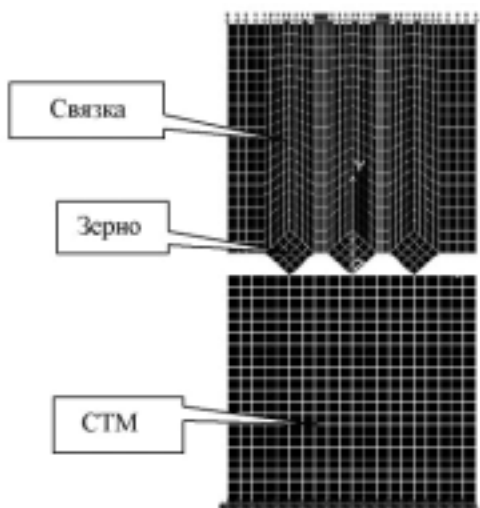
(. . 5.13).

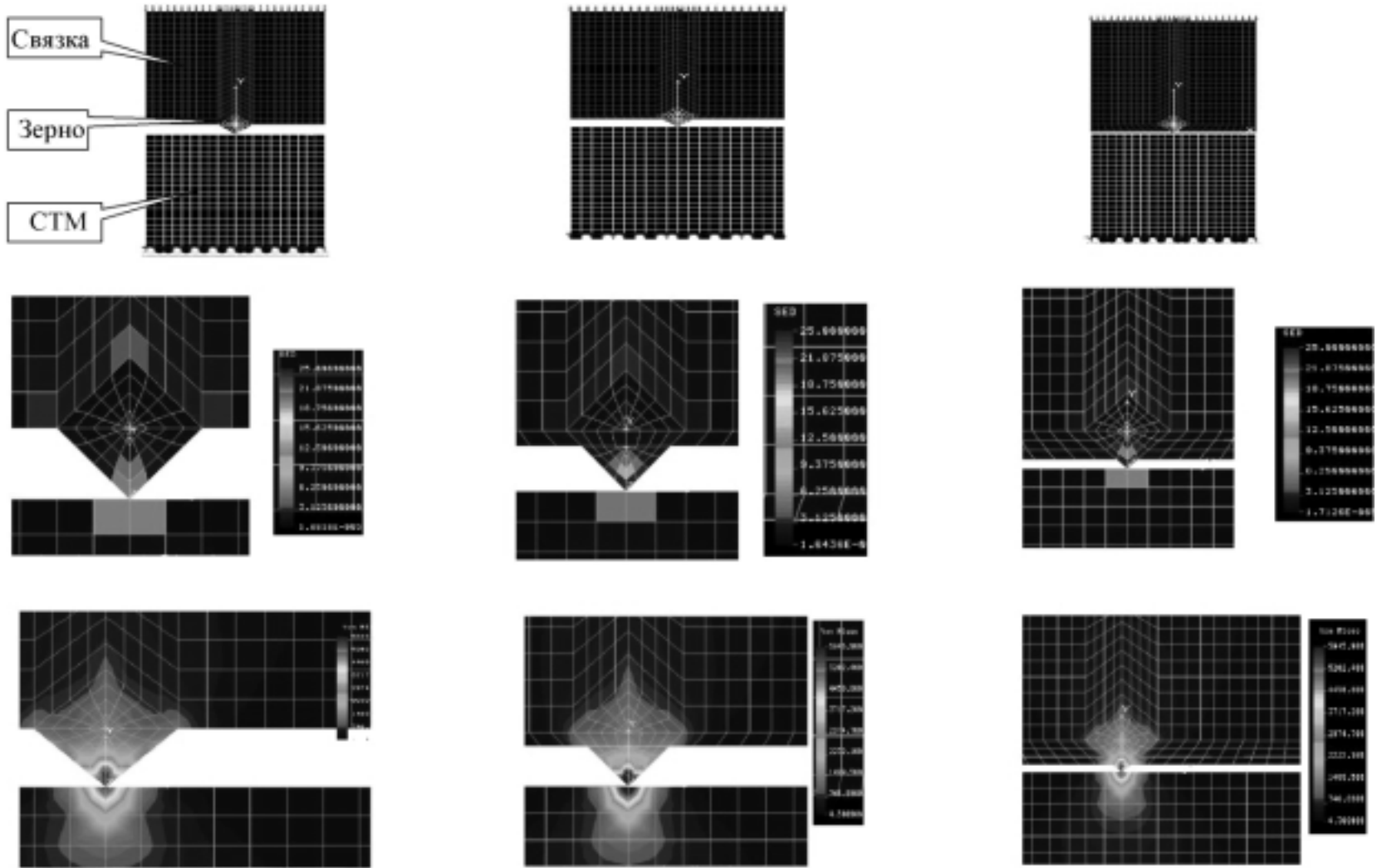


5.11 – « — »

,

(. . 5.11).





$$-h_p = l/2; \quad -h_p = l/3; \quad -h_p = l/4$$

100 , . . . , 32
 3200 ,
 (-
). , -
 « » (),
 (,).
 , , -
h , -
 , -
 .
 ,
 ,
 . ,
 10 % 80 % -
h 45 25 .
 3D -
 ,
 ($h_p \neq 0$), . . ,
 (). ($h_p = 0$),
 « » -
 .
 « - » . . -
 .

5.5.

1.

2.

«Cosmos», «Ansys», «Nostran».

4.

«Wave Advand Edge».

5.

3D

«Cosmos».

6.

3D

«

—

-

»

«Cosmos».

7.

3D

«

—

-

».

8.

«

—

».

9.

«

—

».

10.

«

—

».

11.

«

—

».

12.

13.

14.

15.

3D

6.

Tempus fugit, aeternitas manet –

, .
;
-
;
.
-
-
3D -
-
()
() .
-
-
« – », -
-
-
.
-
-
.

6.1.

-
-
,
(),
().
(-
) -
,

$$\frac{r^3}{R^3} = \frac{a^3}{A^3} = \frac{K}{16}, \tag{6.1}$$

— (100 % = 4; 50 % = 2 . . .);
 R— ;
 r— ;
 — ;
 — .

$$S \quad S -$$

:

$$S = S \left(\frac{K}{16} \right)^{2/3}, \tag{6.2}$$

S—

« » (. . 6.1)
 , . . .

S -

:

$$S = \frac{1}{2} S \left(\frac{K}{16} \right)^{2/3}. \tag{6.3}$$

, 0,5 H , H -

$$h = \cdot H , -$$

(= 0 ... 1, . . .

= 0,5).

(-

)

$$\sum_1^n S_i = \alpha S \left(\frac{K}{16} \right)^{2/3}. \tag{6.4}$$

« - »

t_{ps} .

t_{ps}

(

t_p)

-

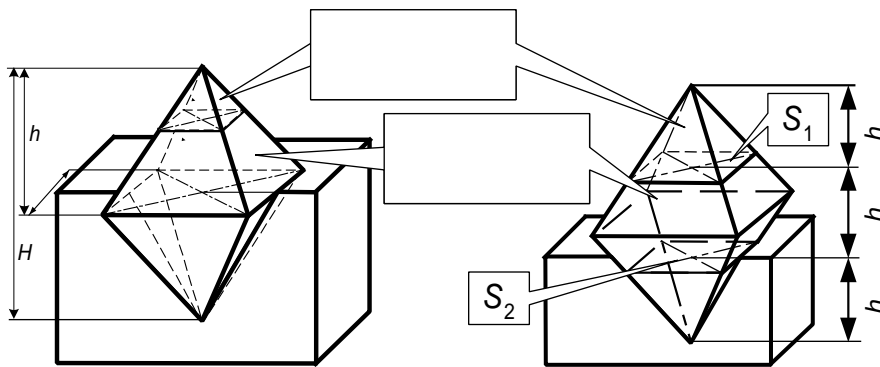
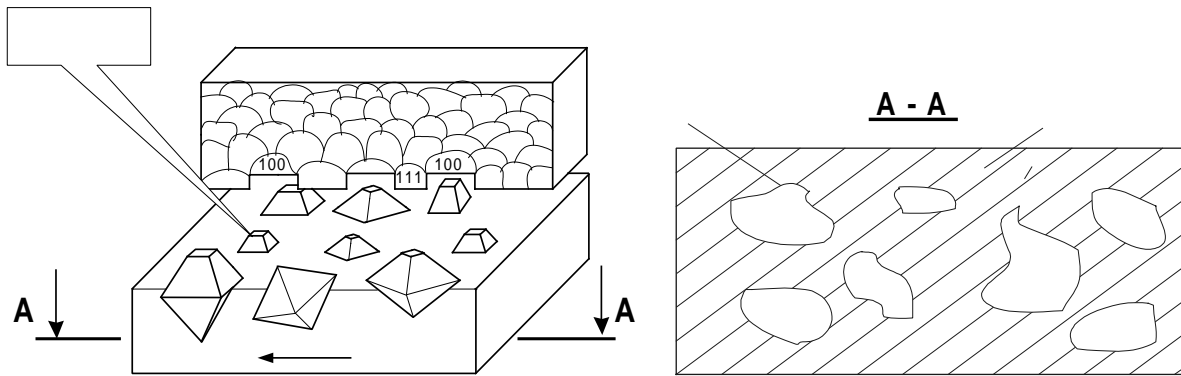
% h_{\max} (

) $\eta = \sum S_i$

:

$$t_{ps} = \frac{\sum \cdot S_i}{A_c} \cdot 100\% , \tag{6.5}$$

$S_i = a_i^2 \cdot$



6.1 –

– ; –

« – » ;

:

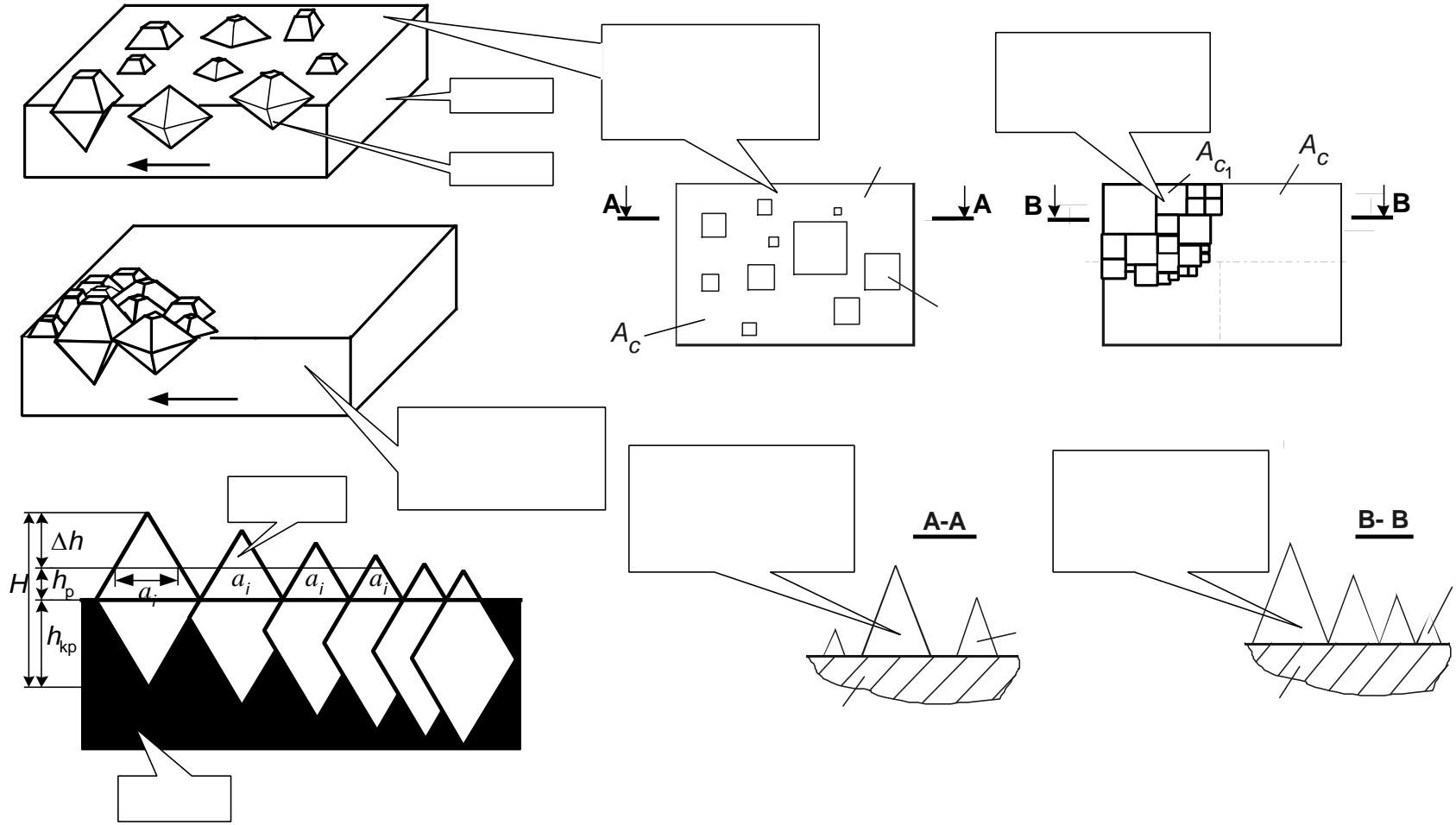
(Δh_i) S_i . –

t_{ps}

h

h_p –

. 6.2 .



t_{ps} :

$$t_{ps} = \frac{\alpha}{S} \left(\frac{K}{16} \right)^{2/3} \cdot 100\% . \quad (6.6)$$

100 % (t_{ps})
 0 1) 0 39,73 % , « » -
 , t_{ps} (, -
 h 0) -
 0 19,84 % . -

t :

$$t_p = \alpha \left(\frac{K}{16} \right)^{1/3} \cdot 100\% . \quad (6.7)$$

≈ 63 % . t 0
 $h = 0,5 l$, t -
 32 % . -
 , 100 % [29]. -

(Δh) , : 1) () -

... ; 2) -

)

4 : - , , II - , (h) (h) , III - , IV - « - ».

1-3 (. 6.3), (. 4.1-4.3)

h h . , , ,

t t_{ps} t_{ps} . 6.2 .

t'_{ps} :

$$t'_{ps} = \frac{\alpha(H - h_p)}{H} \left(\frac{K}{16}\right)^{2/3} \cdot 100\% . \tag{6.8}$$

h = aH = H - h , :

$$t_{ps} = \frac{(H - h - h_p)}{H} \left(\frac{K}{16}\right)^{2/3} \cdot 100\% . \tag{6.9}$$

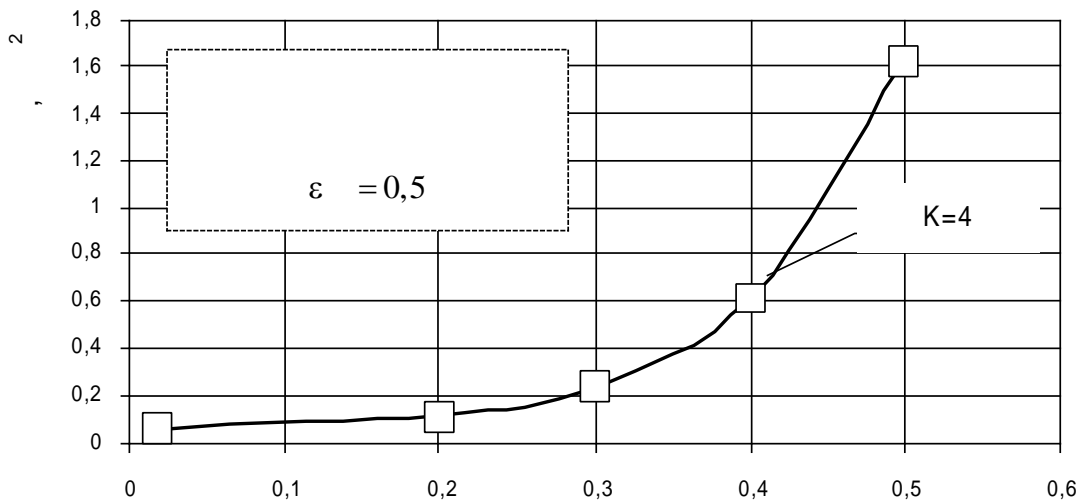
t_s

(), (), . 6.1–6.2.

6.1 – ()

()

%	$h = l$						
	$a = 0$	$a = 0,1$	$a = 0,2$	$a = 0,3$	$a = 0,4$	$a = 0,5$	$a = 0,6$
$t_s()$	12,5	9,8	7,2	4,9	3,2	2,5	1,2
$t_s()$	12,3	9,7	7,0	4,5	3,1	2,4	1,1
	, %						
	10	20	30	50	100	150	200
$t_s()$	0,25	0,71	0,82	1,25	2,5	3,75	5,0
$t_s()$	0,23	0,69	0,78	1,21	2,42	3,62	4,83
	,						
	0,5	1,0	1,5	2,0	2,5	3,0	3,5
$t_s()$	1,25	2,34	3,45	4,21	6,25	7,5	12,6
$t_s()$	1,18	2,17	2,37	4,11	6,19	7,64	12,5
	$h = l$						
	$a = 0,2$	$a = 0,3$	$a = 0,4$	$a = 0,5$	$a = 0,6$	$a = 0,7$	$a = 0,8$
$t_s()$	10	8,5	7,5	5,1	2,5	1,32	0,7
$t_s()$	9,89	8,61	7,48	4,6	3,47	1,29	0,66



6.3 –

6.2 –

100²

		h_{\max} ,					
			$0,1h_{\max}$	$0,2h_{\max}$	$0,3h_{\max}$	$0,4h_{\max}$	$0,5h_{\max}$
0,2	50/40	51,684	0,0082	0,1072	0,5670	1,9099	4,4858
	80/63	85,021	0,0072	0,0784	0,4312	1,6029	3,9715
	100/80	103,118	0,0073	0,0956	0,5418	1,8256	4,3724
	200/160	202,622	0,0069	0,0934	0,5564	1,9340	4,5824
	315/250	321,013	0,0084	0,1062	0,6037	1,9866	4,6698
0,3	50/40	44,078	0,0018	0,0369	0,2674	1,1326	2,9893
	80/63	75,299	0,0036	0,0505	0,3046	1,1470	2,9262
	100/80	88,447	0,0129	0,1065	0,5304	1,7073	3,7768
	200/160	172,216	0,0142	0,1188	0,6055	1,8912	4,0673
	315/250	275,135	0,0084	0,0960	0,5444	1,8042	3,9804
0,4	50/40	39,415	0,0070	0,0725	0,3817	1,2124	2,7950
	80/63	62,017	0,0081	0,0636	0,3230	1,0657	2,5524
	100/80	72,440	0,0166	0,1397	0,6152	1,6313	3,3845
	200/160	141,945	0,0160	0,1482	0,6543	1,7370	3,5434
	315/250	225,086	0,0151	0,1505	0,6738	1,7814	3,5986
0,5	50/40	31,883	0,0019	0,0281	0,1744	0,6737	1,7347
	80/63	53,070	0,0032	0,0276	0,1638	0,6119	1,6192
	100/80	65,819	0,0022	0,0258	0,1631	0,6512	1,7358
	200/160	127,348	0,0022	0,0333	0,1986	0,7695	1,9314
	315/250	202,800	0,0017	0,0309	0,1908	0,7465	1,8648
0,6	50/40	25,140	0,0020	0,0221	0,1383	0,4866	1,1988
	80/63	41,969	0,0023	0,0258	0,1424	0,4951	1,1927
	100/80	49,861	0,0058	0,0545	0,2350	0,6669	1,4641
	200/160	96,190	0,0075	0,0691	0,2835	0,7772	1,6325
	315/250	153,338	0,0066	0,0608	0,2424	0,6901	1,5055

: ε –; h_{\max} –

$S, h = 0$

$$\sum S = \frac{(H - h) S}{H} \left(\frac{K}{16}\right)^{2/3}, \tag{6.10}$$

:

$$n = \frac{(H - h) S}{H S} \left(\frac{K}{16}\right)^{2/3}, \tag{6.11}$$

$S -$

$$n = \frac{S(H - h)}{H^2} \left(\frac{K}{16}\right)^{2/3}. \tag{6.12}$$

() () $n = 1^2$

. 6.3.

6.3 -

(.)

(.)

	100 ²									
	ξ									
	ξ = 0,2		ξ = 0,3		ξ = 0,4		ξ = 0,5		ξ = 0,6	

50/40	17857	18668	15625	16268	13393	13956	11161	11641	8928	9372
80/63	7051	7693	6170	6709	5289	5749	4407	4783	3526	3867
100/80	4464	4924	3906	4320	3348	3714	2790	3081	2232	2468
200/160	2464	2926	1906	1822	1348	1712	790	481	232	271
315/250	1049	1072	943	915	537	562	331	370	225	228

h .
 α - h = α · H ,
 (α = 0-1).

$$n = \frac{2\alpha S (H - h)}{H^2} \left(\frac{K}{16}\right)^{2/3} \quad (6.13)$$

. 6.4.

100 . 5
 [9],
 « - ».
 h_p,

h .

A_r

3D
 1-3.

6.10-6.13,
 4,3-9,7 %.

6.4 –

100²

		h_{\max} ,					
			$0,1h_{\max}$	$0,2h_{\max}$	$0,3h_{\max}$	$0,4h_{\max}$	$0,5h_{\max}$
0,2	50/40	51,684	52	353	1411	3248	5620
	80/63	85,021	18	118	468	1202	2159
	100/80	103,118	6	90	331	846	1483
	200/160	202,622	1,8	24	87	226	385
	315/250	321,013	0,8	9	35	90	155
0,3	50/40	44,078	61	382	1348	3033	5143
	80/63	75,299	13	90	362	958	1798
	100/80	88,447	22	103	369	819	1363
	200/160	172,216	6	30	106	223	360
	315/250	275,135	2,2	10	38	87	143
0,4	50/40	39,415	18	189	837	2186	3967
	80/63	62,017	16	112	394	954	1727
	100/80	72,440	33	154	409	825	1314
	200/160	141,945	8	42	112	217	340
	315/250	225,086	3	17	46	88	137
0,5	50/40	31,883	38	247	879	2030	3544
	80/63	53,070	8	69	247	718	1354
	100/80	65,819	2	52	174	499	898
	200/160	127,348	0,5	14	53	143	241
	315/250	202,800	0,1	6	20	55	93
0,6	50/40	25,140	33	215	799	1796	3004
	80/63	41,969	6	69	276	638	1136
	100/80	49,861	17	85	233	498	832
	200/160	96,190	4	28	69	141	225
	315/250	153,338	2	10	26	53	86

: ε –; h_{\max} –

t_s
 H ,
 h

Δh
 (\quad)

$\Delta h = cH$

$$n = \frac{S(\alpha + c)K}{2} \tag{6.14}$$

t_p , t_{ps} , h , n
 t_{ps}

A'_c

» « -
 -
 , , -
 -
 . . . [20, 39].

6.2.

« - »

« - »

, , -
 -
 :

$$\eta = \frac{A_r}{A_a} = \eta_1 \cdot \eta_2; \quad \eta_1 = \frac{A_r}{A_c}; \quad \eta_2 = \frac{A_c}{A_a}, \quad (6.15)$$

η_1 - -

;

η_2 - -

;

- ;

- ;

r - .

, . . .

« - »,

« - - ».

« - » -

. 6.1 .

, -

-

. « » « -

»

« — ».

(

),

(

),

,

.

:

— — ,

.

(

),

,

.

.6.4 , , .

(« — »)

t_{ps} ,

.

,

[39].

A_r A [12]:

$$\frac{A_r}{A_c} = ab\varepsilon^\delta, \tag{6.16}$$

b δ — ;

ε — ($\varepsilon = h / h_{\max}$).

t_{ps} ,

(

),

«

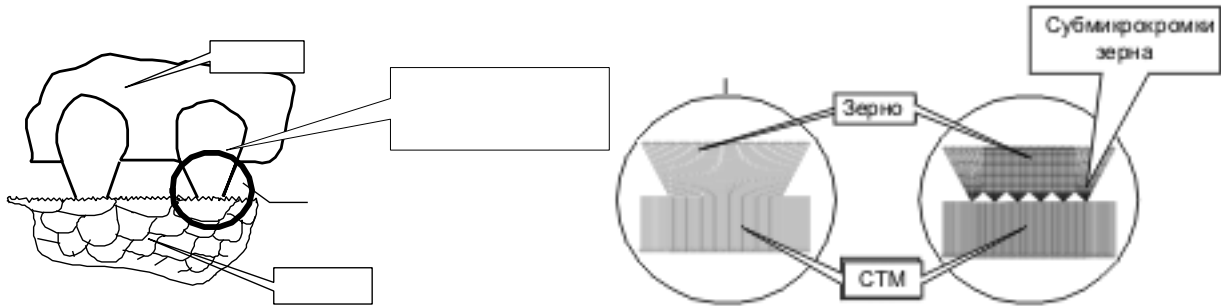
—

—

,

—

» (. 6.4 , ,).



. 6.4.

« — »:

—

;

, —

« — »

,

(

),

()

«

»

,

$$A_r = A_c \left\{ \frac{2,35b^{\frac{1}{2\delta}} r^{\frac{1}{2\delta}} (1-\mu^2) N}{2^{\frac{1}{2\delta}} K_2 h_{\max}^{\frac{1}{2\delta}} F A_c} \right\}^{\frac{2\delta}{2\delta+1}}, \quad (6.17)$$

K_2 — ; $\delta; N$ — ; μ — ; E — ; r — ; h_{\max} — ; b — δ — .

(. . . 6.2). b — δ —

$$\delta = \frac{3KH (H - h - Kh_p) + 0,75Kh_p^2}{H^2 - h_p H}; \quad (6.18)$$

$$b = \left(\frac{0,25K(H - h)}{H} - \frac{0,25Kh_p}{2H} \right) \left(\frac{H - h}{H - h - 0,5h_p} \right)^{\delta}. \quad (6.19)$$

$$r = \frac{(0,0125K(H - h))^2}{8(H - h - 0,95h_p)}, \quad (6.20)$$

(6.3)–(6.11).

. 6.5.

3D

. 6.5.

6.5 –

E	70	90	110	130	150	200
A_r	4,08	3,23	2,77	2,4	2,13	1,44
r	10	20	30	40	50	100
A_r	0,77	1,29	1,75	2,17	2,57	4,32
N	10	20	30	40	50	100
A_r	1,98	2,51	3,11	3,98	4,8	5,64
h_p	5	10	20	30	40	50
A_r	7,27	4,32	2,57	1,9	1,53	1,1

: E – , ; r – , ; N – , ; h_p – .



A_r

t_{ps} ,

(5-10)

h_p ,

12,5 %,

0,125 %.

$P = 2$

$P = 1600$

« — »

5000 [33], , ,

· ,
(, ,
) ,

·
·
:

$$P = \frac{N}{S_K} = \frac{4N}{KaS}, \quad (6.21)$$

$$P = \frac{4N}{K(a+c)S}. \quad (6.22)$$

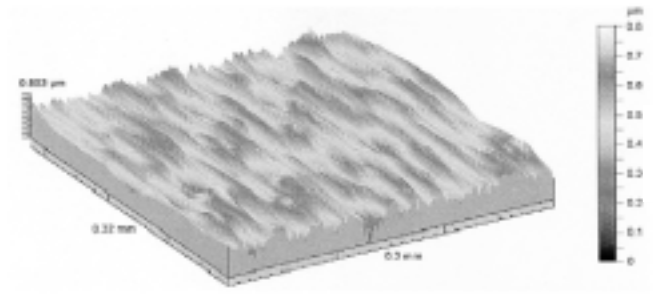
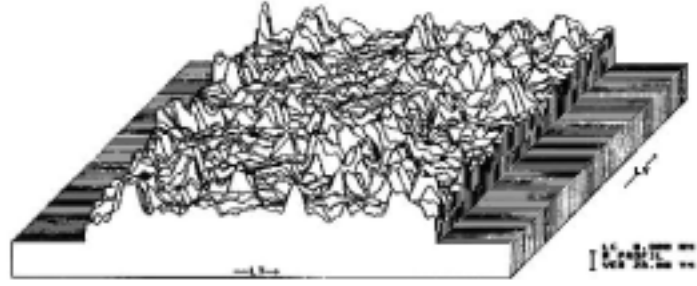
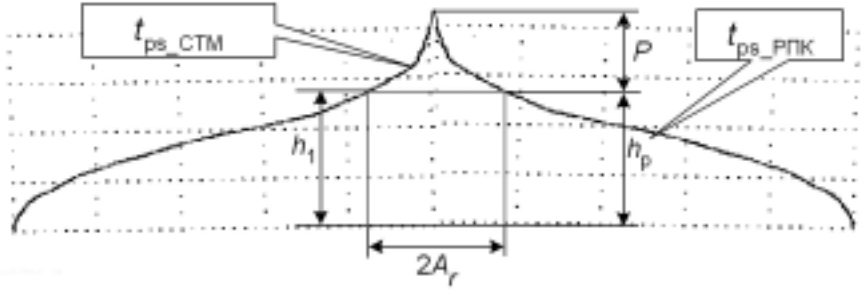
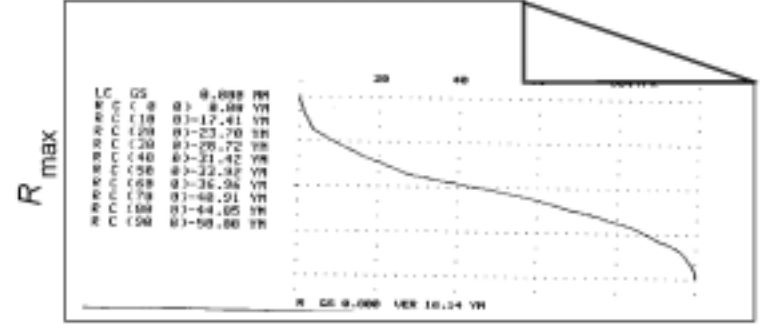
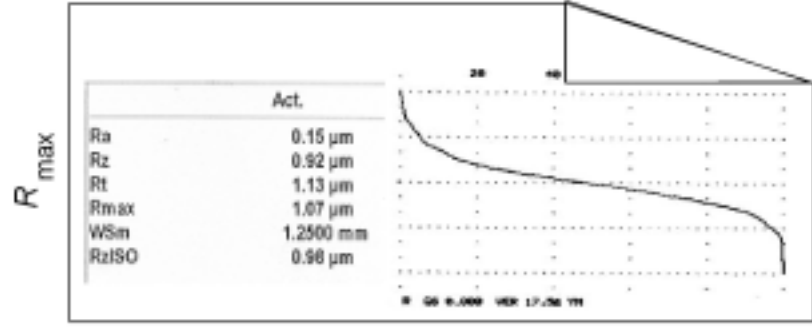
, , -
-
: \geq - ,
< - (), - , -

·
, - (-
)
,
, ··· , -
, ··· -

6.3.

. -
 . -
 . - 3-
 . -
 86 , ,
 . -
 t_{ps} (),
 - . -
 . -
 « - »,
 . -
 , -
 . -
 . 3D -
 . 4.1-4.3.
 t_{ps}
 = 5 % , « - -
 » , (.
 . 4.4) t_{ps} , -
 . -
 t_{ps} -
 , -
 . , . 4.5 , t_{ps} 25 -
 0 5 % t_{ps} -
 , -
 , . . . -
 . 1

11 t_{ps} 20 %, t_{ps}
 (. . 4.5). t_{ps}
 t_{ps} 4 . -
 5 h_1 -
 , h_2 -
 , h_3 - h_4 -
 .
 . 4.5 t_{ps} 29
 20 %, ,
 t_{ps} 45 ,
 t_{ps} , -
 .
 3D -
 -
 . 6.5. , 60
 t_{ps} 4-5 . -
 , t_{ps} -
 -
 R_z R_a .
 -
 « -
 » (. . 6.5). -
 -
 (. . 6.5 ,) (. . 6.5 ,) -
 -
 . , .
 [46] (. . 6.5).



« — » -
-

.

6.4.

1. .
2. « — -

».

3. -

.

4. -

.

5. -

« — » -

.

6. -

t_{ps}

7. -

« — ».

8. -

« — ».

9. -

« — ».

10. -

« — » .

7.
3D

-

Excudent alii, spirantia mollius aera. –

.

,

.

3D

-

-

.

-

-

.

3D

-

.

« – – ».

-

3D

.

-

-

.

7.1.

-

-

-

[1, 4, 21, 26, 38]

.

.

-

-

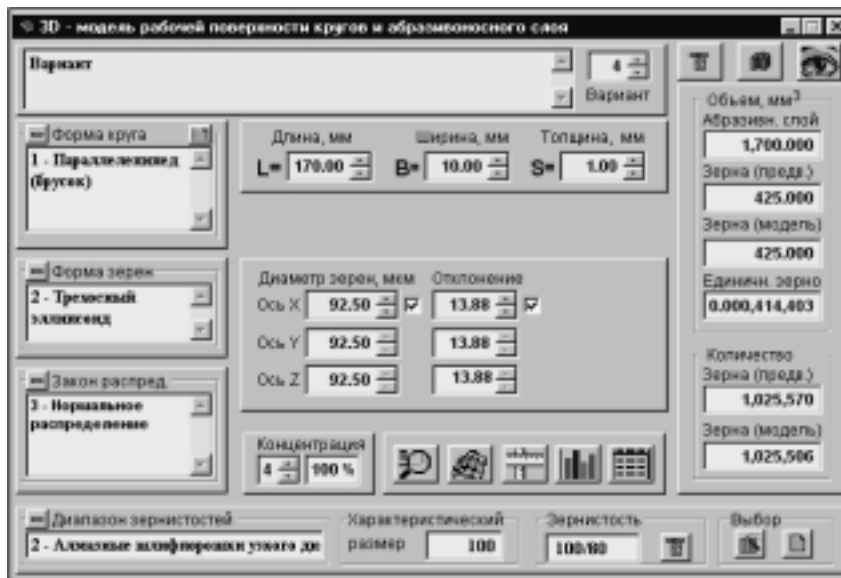
3D

-

.

7.1.1.

$$X_{(max)}, Y_{(max)}, Z_{(max)}.$$

$$L = 170; \quad B = 10; \quad S = 1 \quad (7.1).$$


7.1 –
3D

$$n \cdot \quad i- \quad (i = 1, \dots, n)$$

$$d_X(i), d_Y(i), d_Z(i).$$

$$D_X, D_Y, D_Z.$$

$$n = 1025506$$

2.3.

$$\mu = 92,50 \quad ;$$

$$\sigma = 13,88 \quad (\dots . 7.1).$$

$$100/80.$$

$$: \quad (\dots - \dots) a_0 = 100 \quad ;$$

$$(\dots) k_m = \mu / a_0 = 0,925; \quad -$$

$$(\dots) k_v = \sigma / \mu = 0,15.$$

(\dots . 7.2).

$$k_m = X \rightarrow 0,9248, \quad Y \rightarrow 0,9251, \quad Z \rightarrow 0,9252;$$

$$k_v = X \rightarrow 0,1489, \quad Y \rightarrow 0,1489, \quad Z \rightarrow 0,1487;$$

$$Z \rightarrow 1,64.$$

$$\delta \quad , \% = X \rightarrow 1,52, \quad Y \rightarrow 1,65, \quad Z \rightarrow 1,64. \quad . 7.3.$$

)

$$x \quad (i), \quad y \quad (i), \quad z \quad (i).$$

X , Y , Z .

X, Y, Z

$$\varphi \quad (y \quad) = \begin{cases} k \frac{1}{\delta} \left[\Phi \left(\frac{\Delta_{\max} - y + \delta}{\sigma} \right) - \Phi \left(\frac{\Delta_{\max} - y - \delta}{\sigma} \right) \right], & (7.1) \\ 0 \leq y \leq \Delta_{\max}; \quad 0, \quad , \end{cases}$$

$$d_{X, Y, Z}(i) \Rightarrow d_X(i), d_Y(i), d_Z(i) - i - ;$$

$$X, Y, Z_{(\max)} \Rightarrow X_{(\max)}, Y_{(\max)}, Z_{(\max)} -$$

;

$$\text{Rand}(0, 1) - , ,$$

$$0 \dots 1.$$

$X, Y, Z:$

$$X, Y, Z = \begin{cases} f_{\text{Rand } X, Y, Z} \left(\frac{1}{X, Y, Z_{(\max)} - E_{D_{X, Y, Z}}} \right); \\ \frac{E_{D_{X, Y, Z}}}{2} \leq x, y, z \leq X, Y, Z_{(\max)} - \frac{E_{D_{X, Y, Z}}}{2}; \end{cases} \quad (7.2) \quad 0,$$

$f_{\text{Rand}} -$

$$, \quad 1 / X, Y, Z_{(\max)} - E_{D_{X, Y, Z}} ;$$

$$X, Y, Z_{(\max)} \Rightarrow X_{(\max)}, Y_{(\max)}, Z_{(\max)} -$$

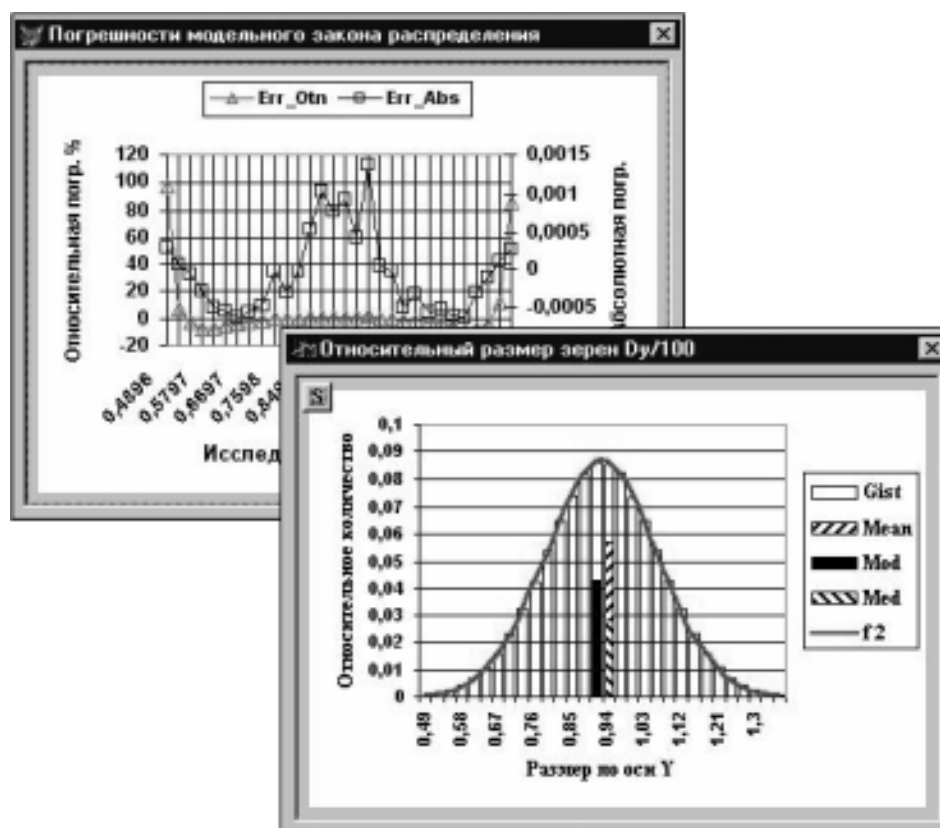
;

$$E_{D_{X, Y, Z}} \Rightarrow E_{D_X}, E_{D_Y}, E_{D_Z} -$$

().



7.2 –



7.3 –

. 7.4

Y.

X
(Y)

Z

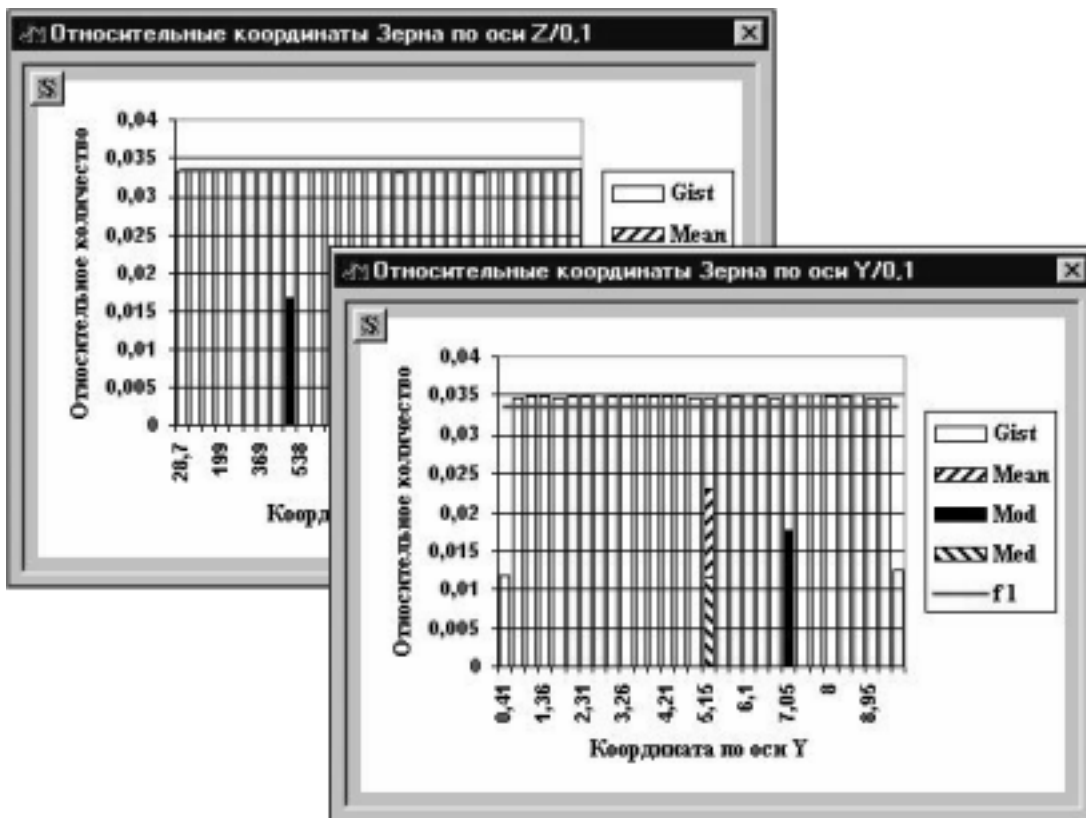
-

.

-

:

-

 δ ,
 $X \rightarrow B / a_0 = 100; Y \rightarrow S / a_0 = 10; Z \rightarrow L / a_0 = 1700.$
 $\% = X \rightarrow 1,44, Y \rightarrow 17,31, Z \rightarrow 0,40.$


7.4 –

7.1.2.

$y_c = y_{c0} + f_X(x) + f_Z(z),$ (7.3)
 $f_X(x) = \begin{cases} 0 & \varphi = 0 \\ x \operatorname{tg} \varphi & \varphi > 0, x \leq l \\ l \operatorname{tg} \varphi & \varphi > 0, x \geq l \\ (x-l) \operatorname{tg} \varphi & \varphi < 0, x \leq l \\ 0 & \varphi < 0, x \geq l \end{cases}$ (7.4)
 $f_Z(z) = \dots$

$\varphi = 0$
 $\varphi > 0$
 $\varphi < 0$
 l

$X(\dots)$
 l

$$f_Z(z; H, L, F) = \frac{H}{2} \left\{ 1 + \sin \left[2\pi \left(\frac{z}{L} - \frac{F}{100} \right) \right] \right\}, \quad (7.5)$$

$H -$; $L -$; $F -$
 , %.

$$x_{(i)} = x_{(i)}; \quad z_{(i)} = z_{(i)}, \quad (7.6)$$

$x_{(i)}, z_{(i)} -$

$X, Z; x_{(i)}, z_{(i)} -$

(7.3)

(7.6):

$$y_{(i)} = y_0 + f_X(x_{(i)}) + f_Z(z_{(i)}), \quad (7.7)$$

$y_0 -$

; $f_X(x), f_Z(z) -$

$X, Z; x_{(i)}, z_{(i)} -$

(7.6)

$X, Z.$

:

$$X = X; \quad Z = Z, \quad (7.8)$$

$X, Z -$

$X, Z; X, Z -$

Y

(7.8)

(7.7):

$$Y = y_0 + f_X(X) + f_Z(Z), \quad (7.9)$$

Y - Y; y₀ -
; f_X(X) -
X ,

Z ,
 Z; X , Z -
X, Z.
 (7.9)

Y (
):
 1.

() ,
 2.
 Y : y₀ -

(y₀ = const); X , Z -
 X, Z ; f_X(X), f_Z(Z) -

Y
 3. f_X(X) f_Z(Z)
Y_X Y_Z
 (7.9)

$$Y = y_0 + Y_X + Y_Z. \tag{7.10}$$

$U(X)$,

$\varphi_1(x)$,

[38]:

1. $U(X)$, X :

$$\varphi(u) = \left[\frac{d[x(u)]}{du} \right] \varphi_1[x(u)], \quad (7.11)$$

$x(u) - u(x)$.

2. $U(X)$, x :

$$\varphi(u) = \sum_f \left| \frac{d[x(u)]}{du} \right| \varphi_1[x_f(u)]. \quad (7.12)$$

f () $u(x)$,

, u .

(7.4).

l

(7.4)

$$f_X(x; \varphi, l) = \begin{cases} x \operatorname{tg} \varphi & \varphi > \quad x \leq l \\ (x-l) \operatorname{tg} \varphi & \varphi < \quad x \leq l \end{cases} \quad (7.13)$$

$\varphi -$ ($\varphi > 0$) ($\varphi < 0$);

$x -$ X (); $l -$

($\varphi > 0$)

($\varphi < 0$).

$$f_X(x; \varphi, l)$$

(7.11)

$$Y_X = f_X(X) = f_{\text{Rand}}(y_X; H) = \begin{cases} \frac{1}{H}; \\ 0 \leq y_X \leq H; \end{cases} \quad 0, \quad (7.14)$$

$$y_X = \dots; H = |l \operatorname{tg}(\varphi)|$$

. 7.5

$$H = |l \operatorname{tg}(\varphi)| = 52 \dots; \varphi = -0,3 \dots; l = 10$$

(7.14).

(7.5).

(7.12).

[38]

$$\sin \left[2\pi \left(\frac{z}{L} - \frac{F}{100} \right) \right] \quad 2\pi, \dots$$

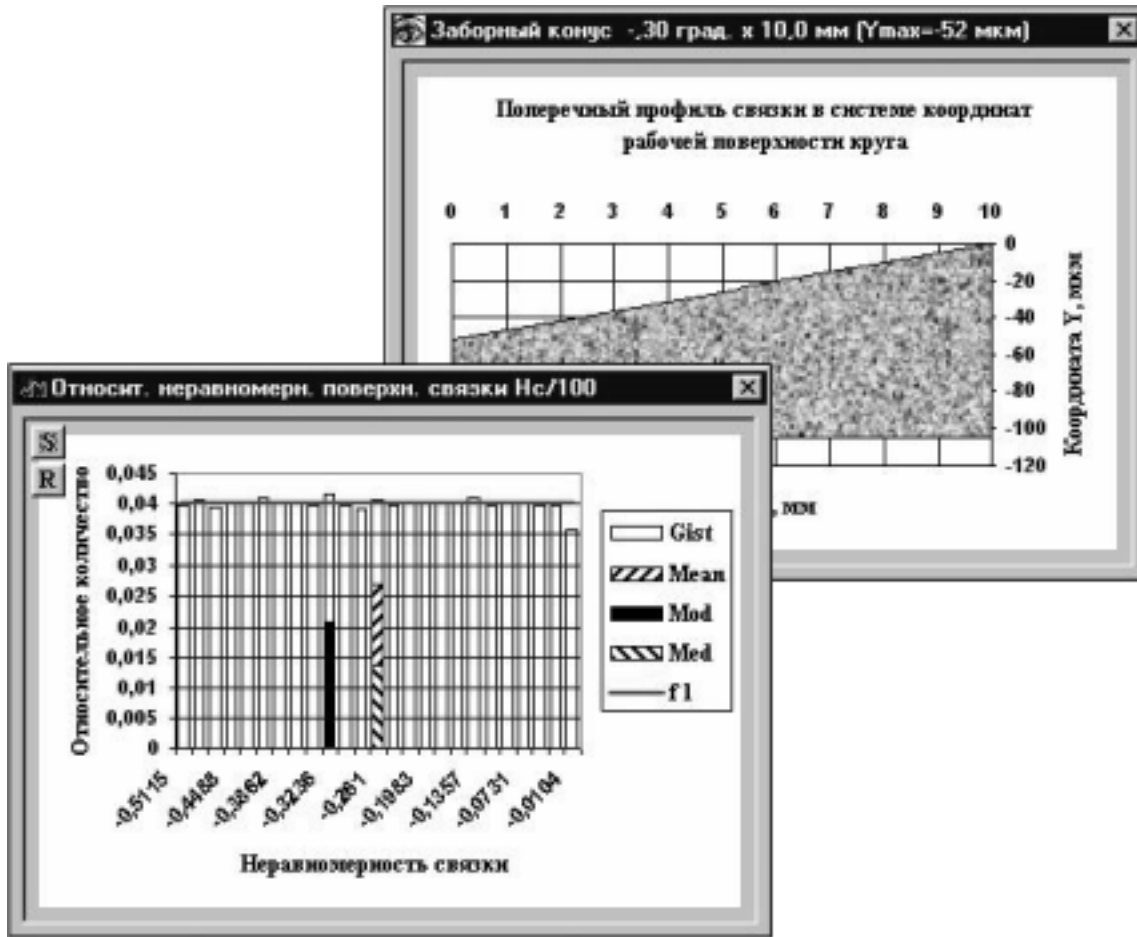
$$: F = 0 -$$

$$; L -$$

$$Y_Z = f_Z(Z) = f_{\text{ArcSin}}\left(y_Z; H\right) = \begin{cases} \frac{1}{\sqrt{H^2 - \left(y_Z - \frac{H}{2}\right)^2}}; \\ 0 \leq y_Z \leq H; \quad 0, \end{cases} \quad (7.15)$$

$y_Z -$

$; H -$



7.5 –

arcsin

(-
) -

[38]:

$$f_{\text{ArcSin}}(a, l, u) = \begin{cases} \frac{1}{\pi \sqrt{l^2 - (u - a)^2}}; \\ a - l \leq u \leq a + l; \end{cases} \quad 0, \quad (7.16)$$

$a -$

$;$ $l -$

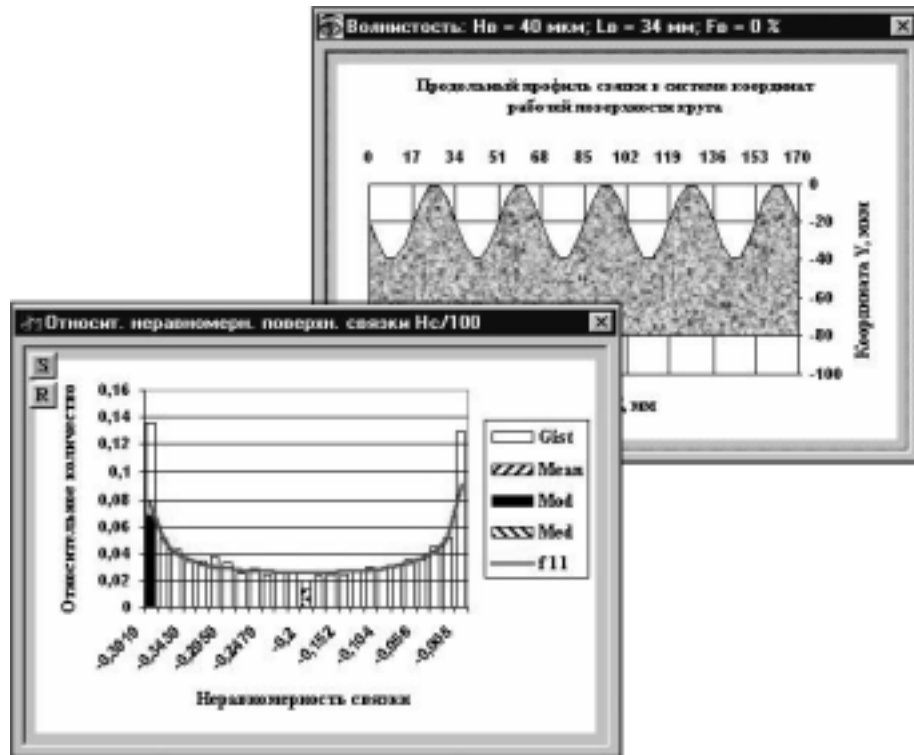
$$E_{\text{ArcSin}} = a,$$

$$D_{\text{ArcSin}} = l^2/2.$$

. 7.6

, $H = 40$; $L = 34$; $F = 0.$

(7.15).



7.6 –

U

(, Y, Z ...),

U

(X, Y, Z ...).

* [38].

,

X, Y, Z ...

$\varphi_1 ()$, $\varphi_2 (y)$, $\varphi_3 (z)$...,

:

$$\varphi(u) = \varphi_1(x) * \varphi_2(y) * \varphi_3(z) \dots \quad (7.17)$$

U

Y,

$\varphi_1 ()$ $\varphi_2 (y)$,

:

$$\varphi(u) = \varphi(x+y) = \varphi_1(x) * \varphi_2(y) = \int_{-\infty}^{+\infty} \varphi_1(x)\varphi_2(u-x) dx. \quad (7.18)$$

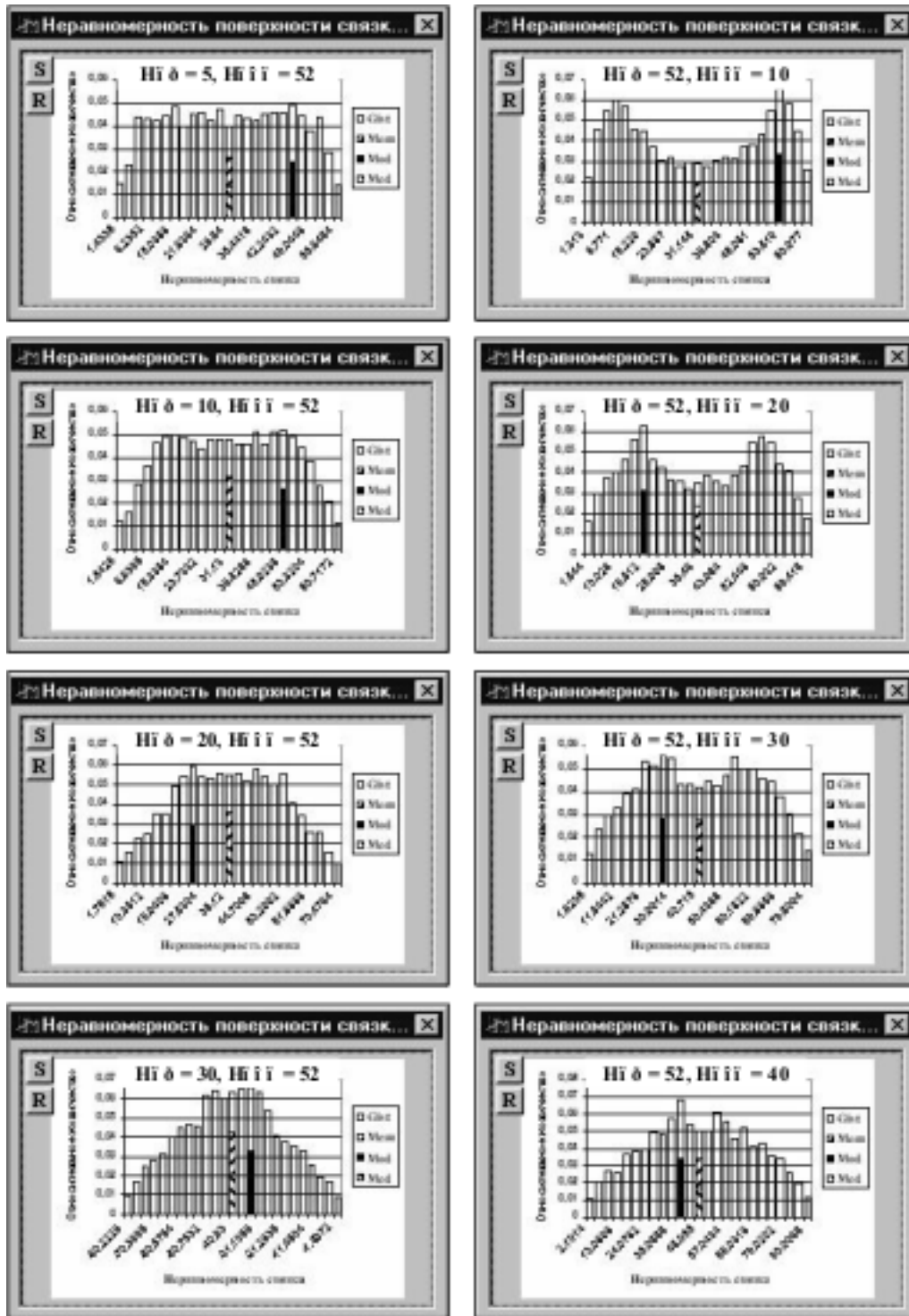
. 7.7

H ()

(7.15);

H (

) -



7.7 –

N –

N –

7.1.3.

3D

3D

3D

:

1.

 X (

).

3D

 $X_{(min)} > 0, X_{(max)} < X_{(max)}$.

$$X_{(min)} - \frac{d_{X(i)}}{2} \leq x_{(i)} \leq X_{(min)} + \frac{d_{X(i)}}{2}, \quad (7.19)$$

 $x_{(i)}$ - $X; X_{(min)}, X_{(max)}$ - $X; X_{(max)}$ - $X; d_{(i)}$ - X .

2.

 Z (

)

 X :

$$Z_{(min)} - \frac{d_{Z(i)}}{2} \leq z_{(i)} \leq Z_{(min)} + \frac{d_{Z(i)}}{2}, \quad (7.20)$$

 $z_{(i)}$ - $Z; Z_{(min)}, Z_{(max)}$ - $Z; Z_{(max)}$ - $Z; d_{Z(i)}$ - Z . X -(7.19) Z -

(7.20)

3.

3D

3D

$(i = 1 \dots n)$,
 - « » ,
 - « » ,

$$|y_{(i)} - y_{(i)}| < \frac{d_{Y(i)}}{2}, \tag{7.21}$$

$y_{(i)}$ -
 () ; $y_{(i)}$ -
 () ; $d_{Y(i)}$ -
 Y.
 - i -
 3D ,

Y.

(7.19) – (7.21)

3D

$(i = 1 \dots n)$ 3D $(j = 1 \dots n)$
 3D ,

1. Y :

$$Y = -Y_a. \tag{7.22}$$

« » ,
 2.
 3D :

$$y_{(j)} = -[f_X(x_{(j)}) + f_Z(z_{(j)})], \tag{7.23}$$

$$f_X(x_{(j)}) - \dots, \quad (7.4) \quad - \quad f_X(\varphi, l, x),$$

$$x = x_{(j)} = x_{(i)}; f_Z(z_{(j)}) - \dots, \quad (7.5) \quad -$$

$$f_Z(H, L, F, z), z = z_{(j)} = z_{(i)}; x_{(i)}, z_{(i)} -$$

X, Z.

3.

3D :

$$y_{(j)} = y_{(j)} - [y_0 + f_X(x_{(j)}) + f_Z(z_{(j)})], \quad (7.24)$$

$$y_{(j)} = y_{(i)} -$$

$$; y_0 -$$

);

$$Y (7.23).$$

4.

,

- « »

- « ».

-
-
-

Y,

-

:

$$\varepsilon = \frac{d_{Y(j)}}{h_{(j)}}, \quad (7.25)$$

$$d_{Y(j)}, h_{(j)} -$$

(7.21)

j-

Y.

« - »

-

:

$$\left\{ \begin{array}{l} 0,5 - \frac{y_{(j)}}{d_{Y(j)}} > \varepsilon \quad \ll \gg; \\ \ll \gg, \end{array} \right. \quad (7.26)$$

$$y = (j) - j; \quad dY(j) = j - Y; \quad \varepsilon -$$

7.1.4.

$Y($ $)$.

Y

y

$$-\delta \leq y \leq \delta.$$

$$\varphi(y) = \frac{1}{2\delta}; \quad -\delta \leq y \leq \delta, \quad (7.27)$$

Y

:

$$\varphi(y) = \frac{1}{\sigma \sqrt{2\pi}} \exp\left[-\frac{1}{2} \frac{(y - \mu)^2}{\sigma^2}\right], \quad (-\infty < y < \infty), \quad (7.28)$$

$\mu, \sigma -$

$$\varphi(y) = \frac{1}{\sigma \sqrt{2\pi}} \exp\left[-\frac{1}{2} \frac{(y - \mu)^2}{\sigma^2}\right], \quad (-\infty < y < \infty), \quad (7.29)$$

$\mu, \sigma -$

[38]

$$\mu = \mu / 2; \quad \sigma = \sigma / 2. \quad (7.30)$$

$\varphi(y)$

$$\varphi(y) = \varphi(y) * \varphi(y), \quad (7.31)$$

$\varphi(y) -$

(7.27); $\varphi(y) -$

(7.29) $\mu = 0.$

$\varphi(y) * \varphi(y)$

(7.18) [38]

y

$(y - \delta) \quad (y + \delta):$

$$\varphi(y) = \frac{1}{2\delta} \frac{1}{\sigma \sqrt{2\pi}} \int_{y-\delta}^{y+\delta} \exp\left(-\frac{1}{2} \frac{y^2}{\sigma^2}\right) dy, \quad (-\infty < y < \infty). \quad (7.32)$$

(7.32)

[2]:

$$\Phi(z) = \Phi\left(\frac{x-\mu}{\sigma}\right) = \Phi(x; \mu, \sigma) = \frac{1}{\sigma\sqrt{2\pi}} \int_{-\infty}^x \exp\left[-\frac{1}{2} \frac{(x-\mu)^2}{\sigma^2}\right] dx, \quad (7.33)$$

$$x \equiv y; \mu \equiv \delta; \sigma \equiv \sigma.$$

:

$$\varphi(y) = \frac{1}{2\delta} \left[\Phi\left(\frac{y+\delta}{\sigma}\right) - \Phi\left(\frac{y-\delta}{\sigma}\right) \right], \quad (-\infty < y < \infty), \quad (7.34)$$

 $\sigma -$ $(\sigma = 0,5\sigma);$ $\delta -$ $\Phi(z)$

[36],

 $|\varepsilon(z)| < 1,5 \cdot 10^{-7}$ $0 \leq z < \infty:$

$$P(z) = 1 - \frac{1}{2} \left(1 + d_1 z + d_2 z^2 + d_3 z^3 + d_4 z^4 + d_5 z^5 + d_6 z^6 \right)^{-16}, \quad (7.35)$$

$$d_1 = 0,0498673470, d_2 = 0,0211410061, d_3 = 0,0032776263,$$

$$d_4 = 0,0000380036, d_5 = 0,0000488906, d_6 = 0,0000053830.$$

$$\Phi(-z) = 1 - \Phi(z),$$

$$-\infty < z < \infty$$

(7.35)

:

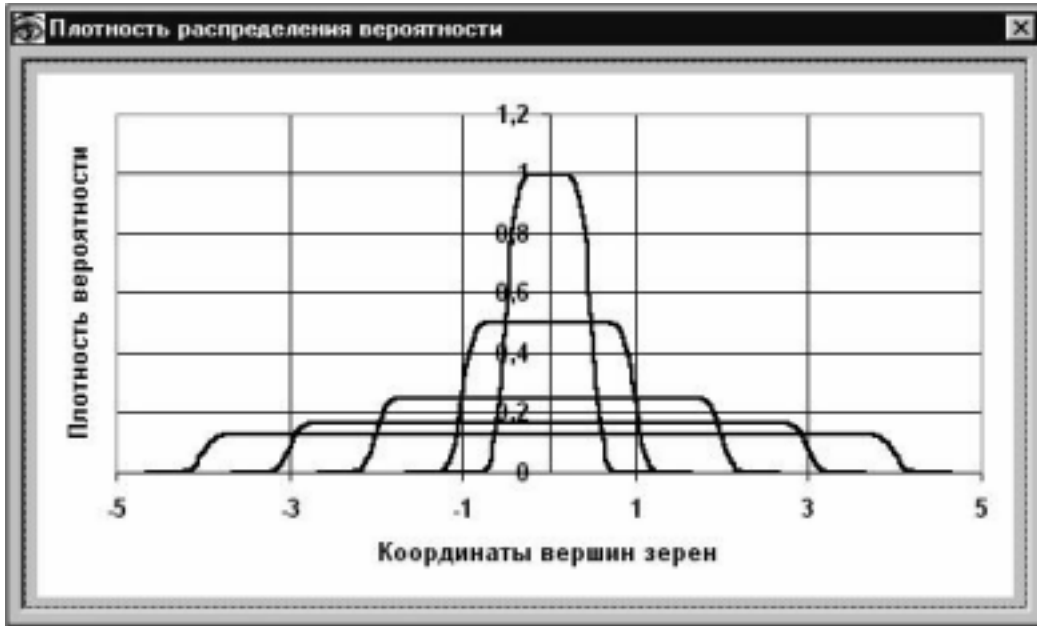
$$\Phi(z) = P(z); \Phi(-z) = 1 - P(z).$$

. 7.8

(7.34)

$$\delta = 0,5 \dots 4 \quad \sigma = 0,1.$$

$$\delta / \sigma$$



7.8 –

:(
) * ()

(7.34)

(7.34)

$$\varphi(y) = \frac{1}{\delta} \left[\Phi\left(\frac{y + \delta}{\sigma}\right) - \Phi\left(\frac{y - \delta}{\sigma}\right) \right], \quad (0 \leq y < \infty), \quad (7.36)$$

δ, σ –

δ, σ

E

s

$(\mu = E, \sigma = s)$

$\delta = E(1 - \varepsilon); \sigma = s(1 - \varepsilon),$ (7.37)

$\varepsilon -$

$\delta = 0,5 \dots 4 \quad \sigma = 0,1$.7.9.
(7.36)

(7.34)



7.9 -

(7.36),

$0 \leq y \leq y_{(max)}$

(7.36)

$\varphi(y) = \begin{cases} k \frac{1}{\delta} \left[\Phi\left(\frac{y + \delta}{\sigma}\right) - \Phi\left(\frac{y - \delta}{\sigma}\right) \right], \\ 0 \leq y \leq y_{(max)}; 0, \end{cases}$ (7.38)

$k -$, $(k > 1,$
 $k \cong 1).$

$$k = 1 / \int_0^{y_{c(max)}} \frac{1}{\delta} \left[\Phi \left(\frac{y}{\sigma} + \frac{\delta}{\sigma} \right) - \Phi \left(\frac{y}{\sigma} - \frac{\delta}{\sigma} \right) \right] dy \quad (7.39)$$

$y_{c(max)} \equiv \Delta_{max}$

[1]

$$\Delta_{max} \approx d_{Ymax} (1 - \varepsilon) = (\mu + 3\sigma) (1 - \varepsilon), \quad (7.40)$$

$d_{Ymax} -$

(

); $\varepsilon -$

; $\mu, \sigma -$

Y.

. 7.10.

$\delta \sigma$

. 7.8, 7.9.

$\delta = 0.5, 1, 2, 3, 4$

$\Delta_{max} = 1, 2, 3, 4, 5.$

(7.36),

(7.38)

3D

$\varepsilon = 0,1 \dots 0,9.$

$\varepsilon = 0,5 ($
 $).$

25.

52134 .,

52031 .

65,827 .

: $\mu = 47,415$;

$\sigma = 6,794$.



7.10 –

. 7.11.

(7.36):

() 0,001779 (6);
 () 93,01 % (25);
 1,396 %;
 1,894 %.

(7.38),

().

y ()

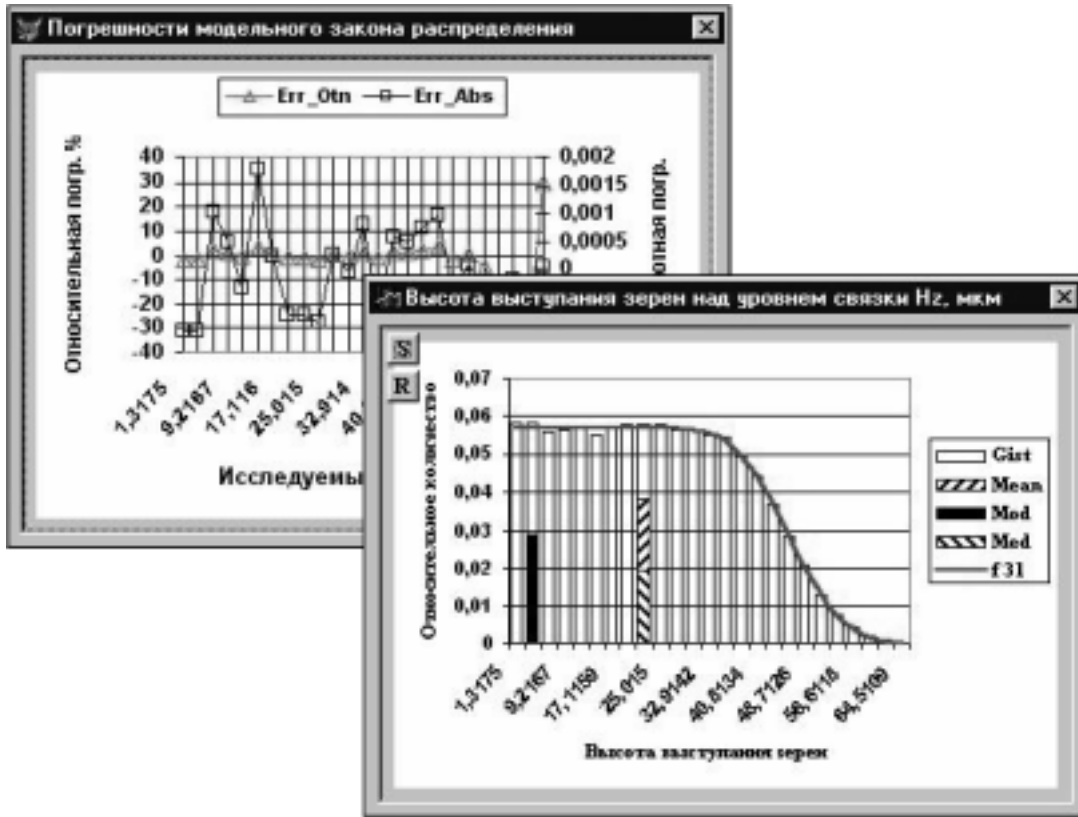
– y .

y (max) ≡ Δ_{max} (7.40).

Δ_{\max} ,

:

$$y_{(max)} \equiv \Delta_{\max} - y_{(max)} \quad (7.41)$$



7.11 –

:

$$\varphi(y) = \begin{cases} k \frac{1}{\delta} \left[\Phi\left(\frac{\Delta_{\max} - y + \delta}{\sigma}\right) - \Phi\left(\frac{\Delta_{\max} - y - \delta}{\sigma}\right) \right], & 0 \leq y \leq \Delta_{\max}; \\ 0, & \text{elsewhere} \end{cases} \quad (7.42)$$

$k -$, $(k > 1,$

$k \cong 1); \Delta_{\max} -$

$;$ $\delta -$,

-

; σ -

,

-

.

-

-

-

. 7.12.

:

(

) 0,001836 (

20);

(

) 34,12 % (

1);

1,461 %;

-

1,90 %.

-

.

3D

-

-

-

-

.

-

,

-

-

.

,

-

.

(0,1 – 0,9),

7.1.5.

-

,

-

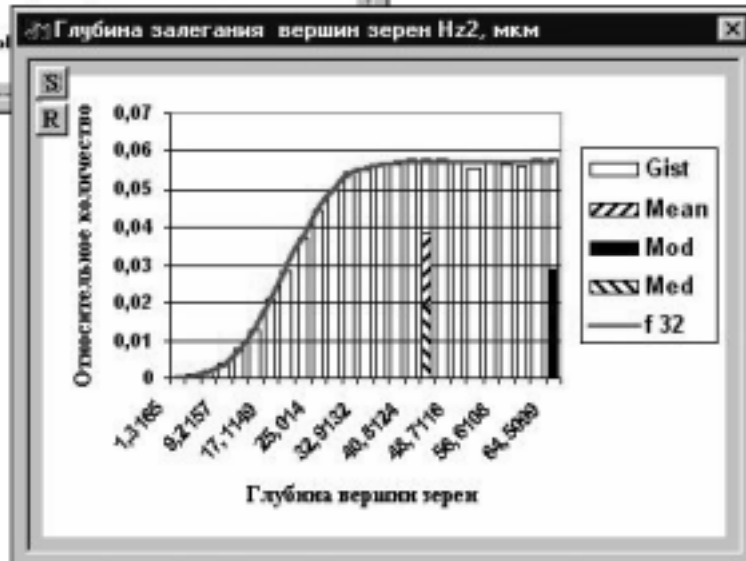
.

. 7.13.

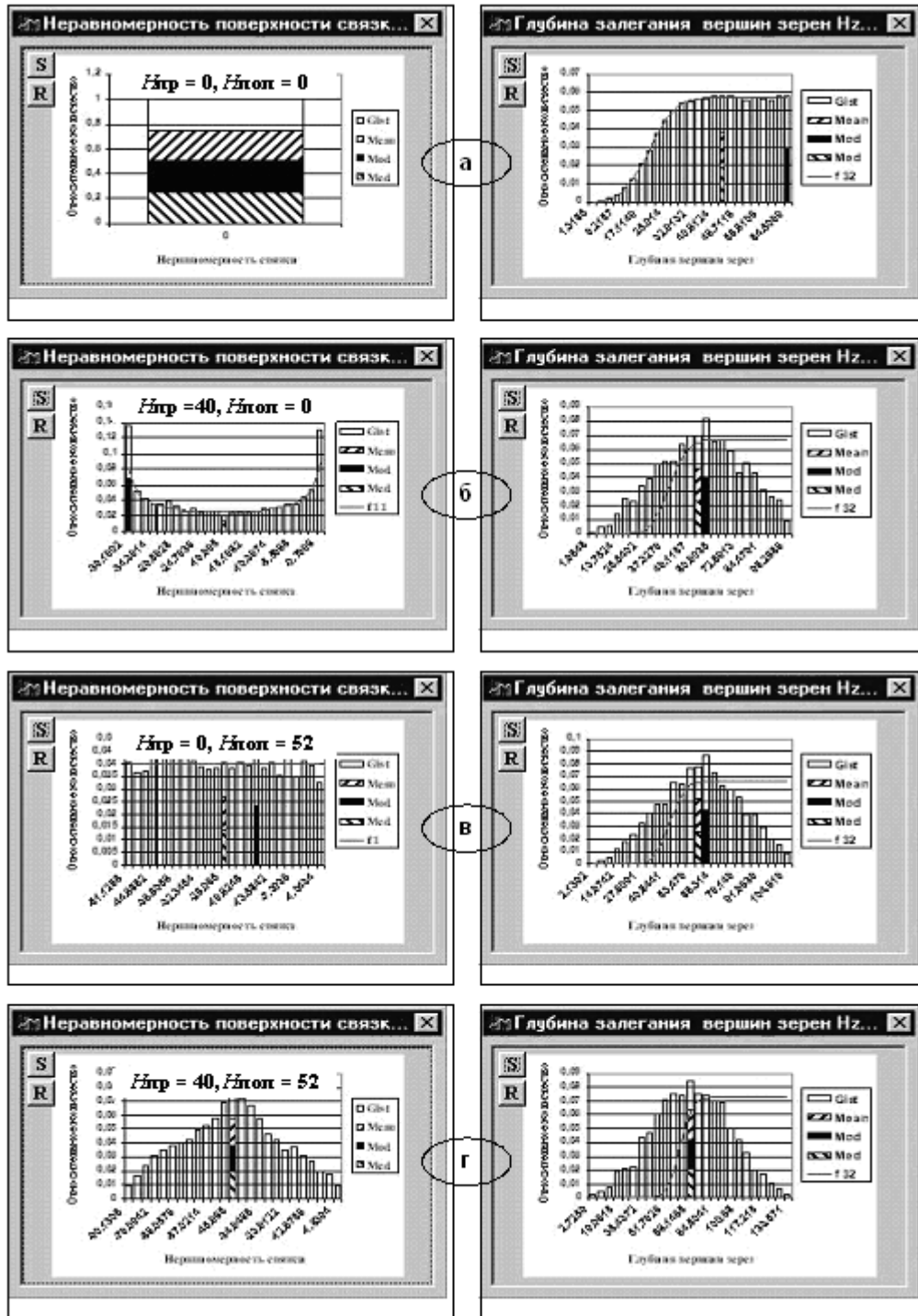
(. 7.13),

(7.38).

(. 7.13 , ,)



7.12 –



7.13 –

$H -$;
 $H -$, ;
 $H -$,

7.2. 3D

.
 , - .
 ,
 () 2-
 ()
 () ,
 « - - ».
 , () ,
 ,
 [1].
 .
 , -
 .
 2 160 ,
 .
 .
 (,
 () ,
 , -
 ,
 .

280

3D

-

100, 150, 200 %)

()

(. 7. 14).

3D

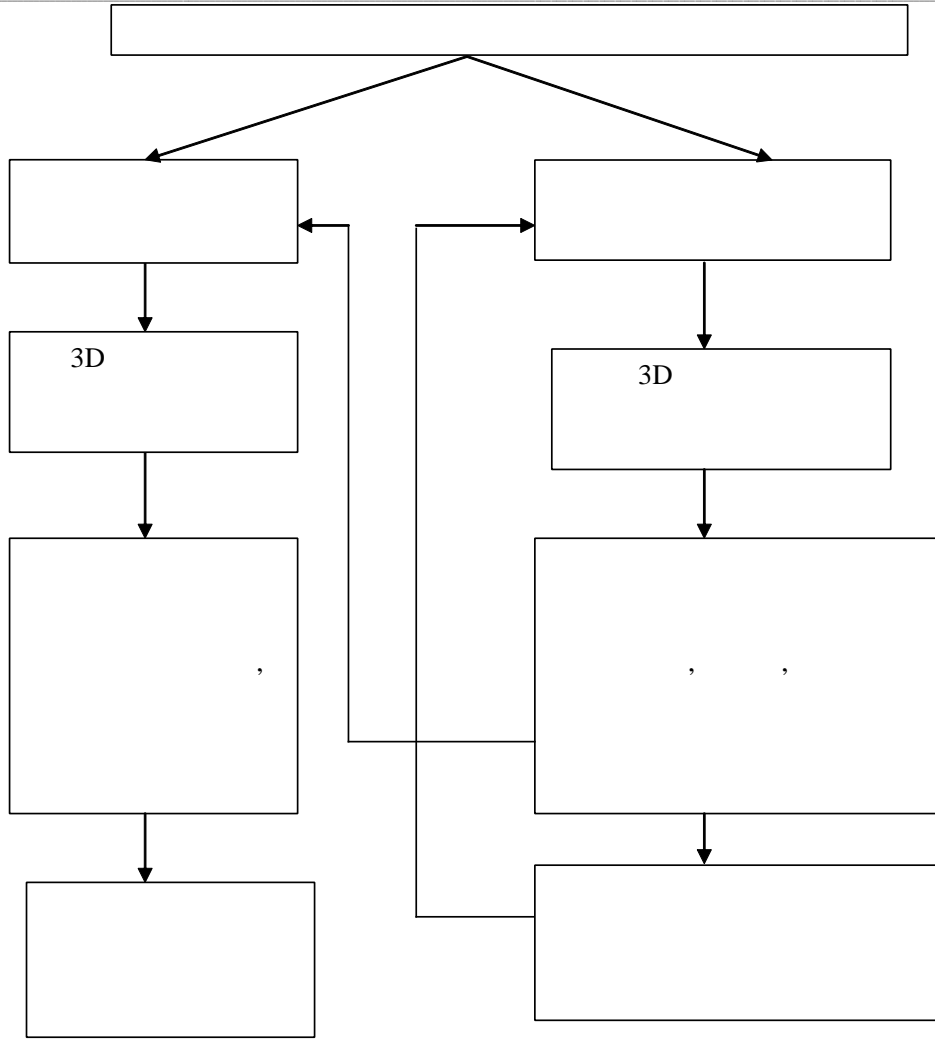
[14],

[25].

(25, 50,

3D

3D



7.14 –

400/315,

50

10–20 %

50 150 %

2,8

-

(),

-

,

.

(,)

20-30 % [17].

,

,

,

-

-

.

-

,

,

.

3D

300 300 300

,

-

100 100

,

100 %

.

50 %

...

-

5-10

.

-

-

.

,

,

().

-

-

-

, - 2 160 .

3D

. 7.15.

-

,

-

, ...

.

-

,

-

-

.

,

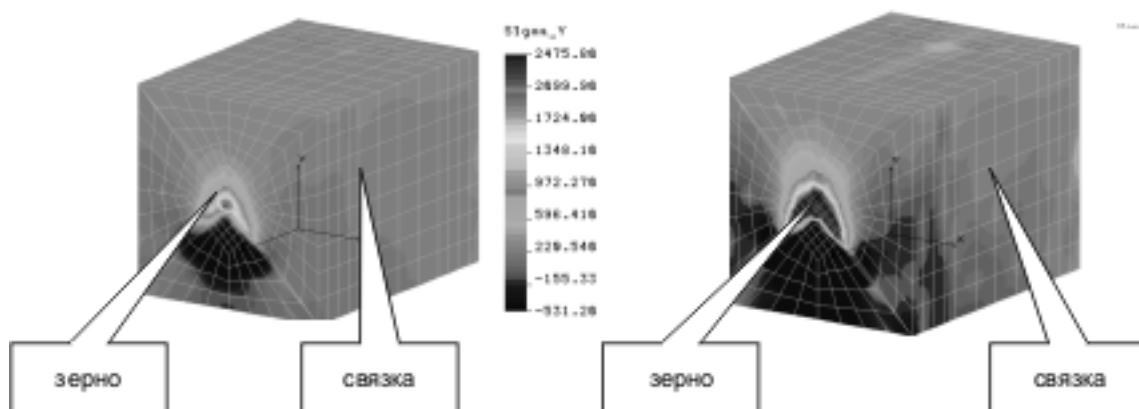
6-14

-

6

7 %,

10–15 %

7.15 –
3D« – »
:

– 1-01; – 8

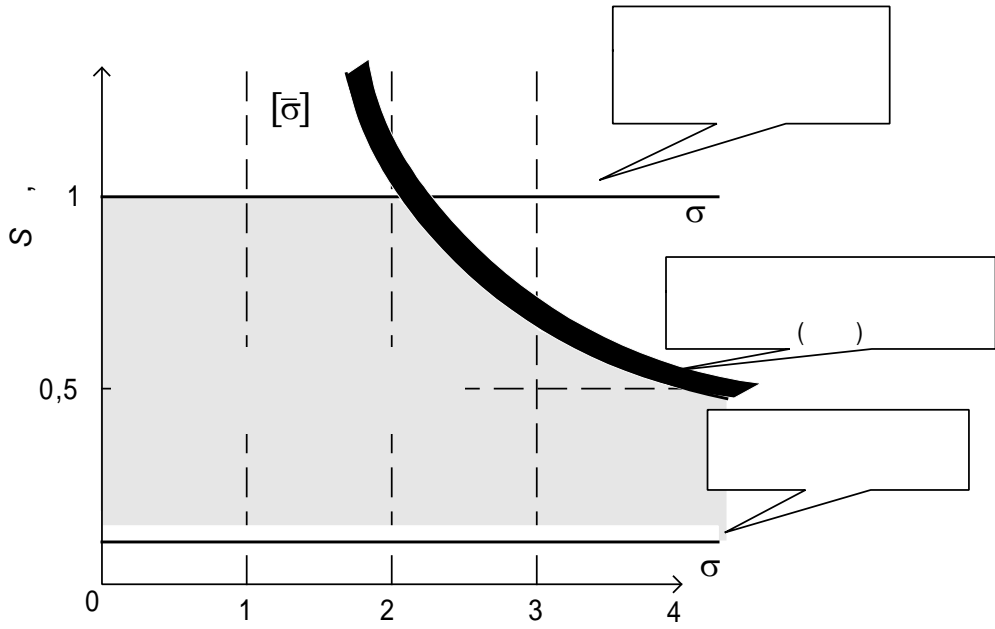
100 %

.7.1.

7.1 –

	1-01	2-09	6-14	
	6	32	50	160

, -
 -
 () -
 . -
 , , -
 , -
 . -
 , -
 3D -
 . -
 , -
 , :
 - ; -
 - (-
 « ») -
 (« »); -
 - -
 (); -
 - (). -
 - , -
 , -
 , -
 . . -
 3D -
 « - - » .5.4-5.5. -
 , -
 « - - », -
 , -
 - ((.7.16)). -



7.16 -

(.7.2).

7.2 –

-		-	-	-	,
	160	600	5-7	40-50	3-4
	85	500	8-11	35-40	2,5-3
	60	400	12-15	30-35	2-2,5
	32	300	17-22	25-30	1,5-2
-	15	100	25-35	20-30	1-1,5
-	15	100	35-50	20-30	1-1,5

,

,

.

,

,

.

«

–

–

».

,

,

.

.

7.3.

«

–

–

»

«

–

–

»

,

-

,

.

-

-

-

: (),

-
-
-
.
-

- - ,

.

3D « - - »

,

- - ()

« - » , , -
, . . .

,

« - » ;

- ,

, « »

;

-

.

» (« -

10 ,) .

-
-
-
-

« - - ».

,

6-16

6-14

66

29,5-

61,4 / ² [17].

200, 270

470

[43].

6-16 (-3),

= 193,7

. 7.17.

3D

« - - »,

3D

. 7.3.

, : = h / l ,

(. 7.3).

MathCAD

), h ,

V ,

h :

h_p = K₁E_c h_p ; (7.43)

h = K₂ h_p ; (7.44)

h = K₃ h_p , (7.45)

1, 2, 3 - « - - » ;

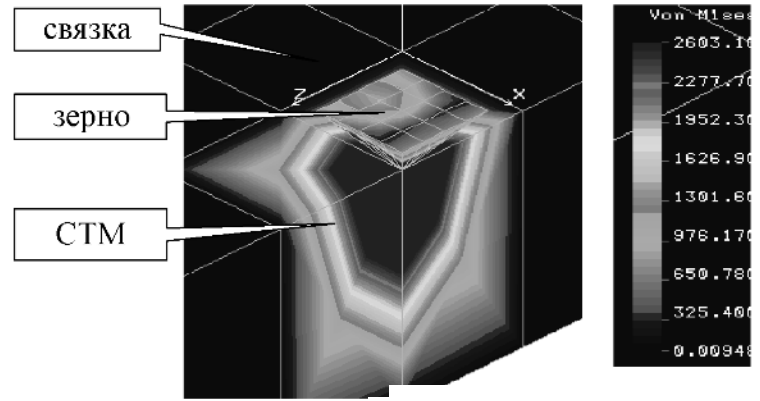
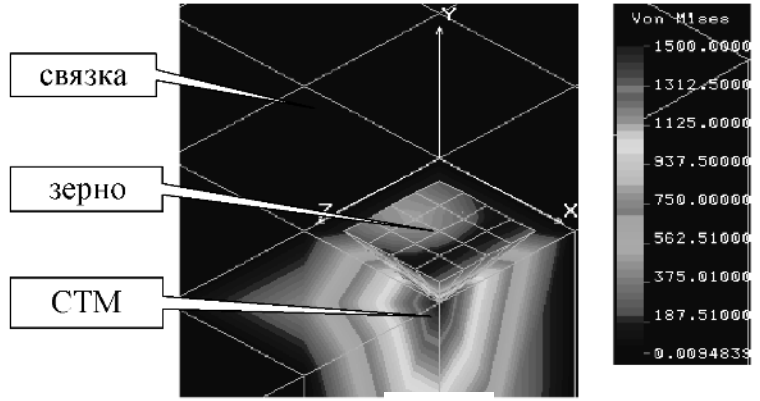
D

- ;

h – ;
 – « – »;
 S – ;
 V – .

[41].

) , (-
 , ,
 , -
 . $3D$,
 « – » ,
 ,
 . ,
) (-
 0,02–0,036–0,164 ,
 ,
 « – » 8 , 5
 , -
 1-01 (= 72) ,
 4·10⁻¹⁰ 3 ,
 6-14 (= 196) -
 34·10⁻¹⁰ 3 .



« - »
« - »

1-01 (- 12),
6-14 (= 196);

7.3 –

	70	90	110	130
$V \cdot 10^{10}, ^3$	11	14	17	21
$V \cdot 10^{10}, ^3$	3	6	8	11
$V \cdot 10^{10}, ^3$	67	54	43	32
	15	30	45	90
$V \cdot 10^{10}, ^3$	11	8	6	4
$V \cdot 10^{10}, ^3$	3	1,1	0,6	0,2
$V \cdot 10^{10}, ^3$	67	56	51	47
(%)	80	60	30	10
$V \cdot 10^{10}, ^3$	18	12	7	5
$V \cdot 10^{10}, ^3$	6	4	2	0,8
$V \cdot 10^{10}, ^3$	67	54	49	43
	700	900	1100	1300
$V \cdot 10^{10}, ^3$	5	8	12	18
$V \cdot 10^{10}, ^3$	2	1	0.6	0.3
$V \cdot 10^{10}, ^3$	65	68	69	73
	1050(100)	1160(110)	1200(111)	1100()
$V \cdot 10^{10}, ^3$	8	5	3	1
$V \cdot 10^{10}, ^3$	2	3	2	11
$V \cdot 10^{10}, ^3$	65	62	58	63
, / ²	10,6(111)	13(110)	18(100)	14()
$V \cdot 10^{10}, ^3$	7	5	3	6
$V \cdot 10^{10}, ^3$	2	3	5	8
$V \cdot 10^{10}, ^3$	12	15	17	16

[3]:

$$R_a = 2,6 \cdot 10^{-10} d^4 (HV_c)^{0,67} (HV)^{0,54}, \tag{7.46}$$

$d -$;

$HV, HV_c -$
,
)

(

, ,

,

,

(

)

6-14 ().

« - »,

3D

« - - »

,

-

« - »,

,

.

[43, 45],

,

-

, ,

.

, . .

[45],

63/40

()

[9),

h_p .

()

()

Δ

()

3D

.7.4.

:

$$P = 1,645H d^2 \xi^{0,83}, \tag{7.47}$$

d - ;

$$\xi = \frac{d}{R},$$

σ

ξ :

$$\sigma = \frac{\alpha}{\pi} \sigma \xi^\beta \left(-\gamma \xi^\delta \right) \quad \xi \leq 1. \tag{7.48}$$

-

, . . .

7.4 –

h

	70	100	130	198	
<i>h</i> ,	62	53	46	38	
:					
<i>h</i> ,	62	50	34		
	1	2	3	4	5
<i>h</i> ,	32	44	51	58	62
, <i>V</i> /	10	15	20	30	
<i>h</i> ,	32	47	63	82	

,

,

,

/

,

.

.

,

.

–

,

«

»

,

.

. 7.18

-

_____ , 3D « - - » -

, ()

, « - - » -

. « - », , -

.7.17

() -

:

- ;

« - » ;

- « » « » -

, -

.

()

-

,

, . . .

(160) -

,

-

.

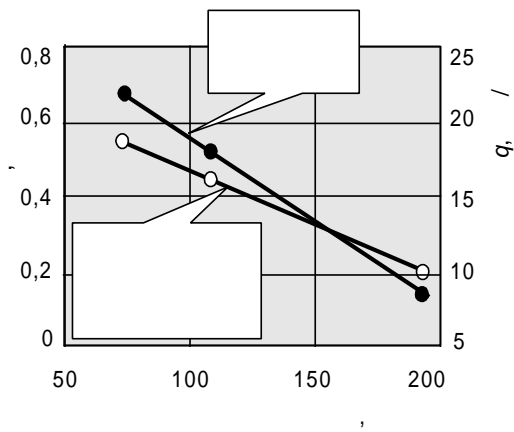
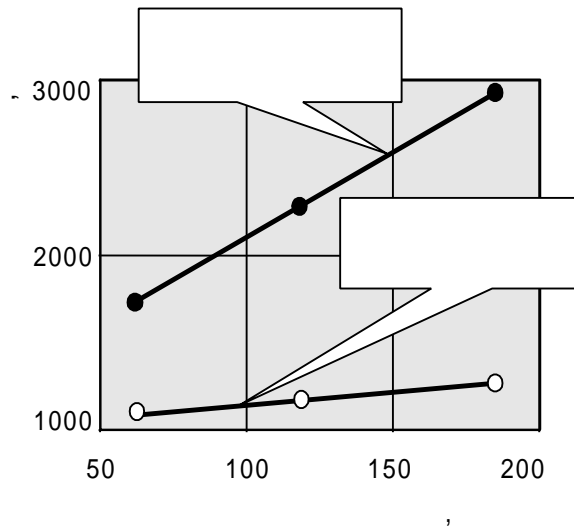
,

« - - » -

« - », -

()

.



7.18 –

(),

()

7.4.

, , -
 , -
 . , 5–15 %

-

95-85 %

, , , , -
, , , -

()

32

10 / .

, , . -
, -

« »

, , . -
, -

[10].

, , , , -
, , -

3D

« -

» -

.7.3

V

V

V

, .
, .

3D

« — — »

V

V,

h

V

(. 7.5–7.6).

« »

(

$$) \left(q = \frac{V}{V} \right)$$

$$\left(q = \frac{V + V}{V} \right)$$

. 7.6.

7.5 –

S ,	1	2	3	4
Δ,	0,07	0,11	0,81	1,3
S ,	1	2	3	4
Δ,	0,012	0,032	0,06	0,19
S ,	1	2	3	4
Δ,	0,006	0,011	0,03	0,08

7.6 –

°	30°	60°	90°	120°
q , /	1	1,6	2	2,4
,	70	120	160	200
q , /	3,2	2,3	1,6	1

(

)

«

–

»

,

),

3D

« — — »

-

,

,

().

3D

-

-

$(h_p \neq 0)$, . .

,

,

(

-

).

$(h_p = 0)$

-

« »

-

.

« - », . .

.

-

(

)(.7.19 ,).

(.7.19 ,)

-

,

« - - »

.

,

« - »

,

, . .

« - »

(.7.19 ,)

,

()-

.

,

-

-

,

,

,

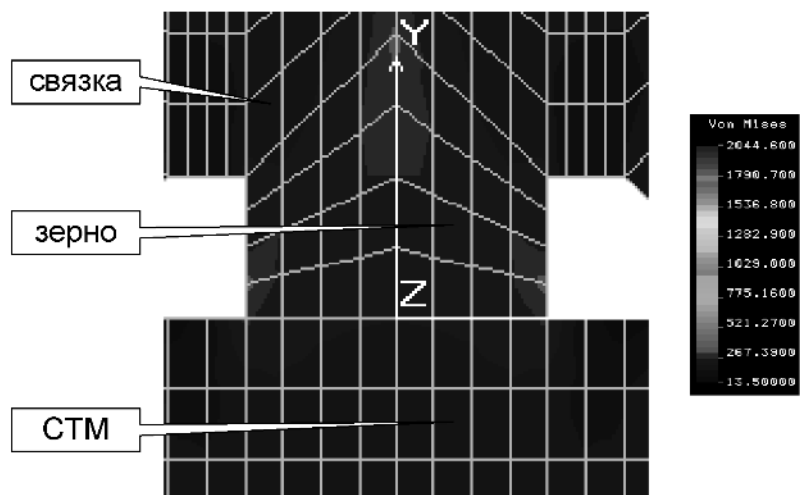
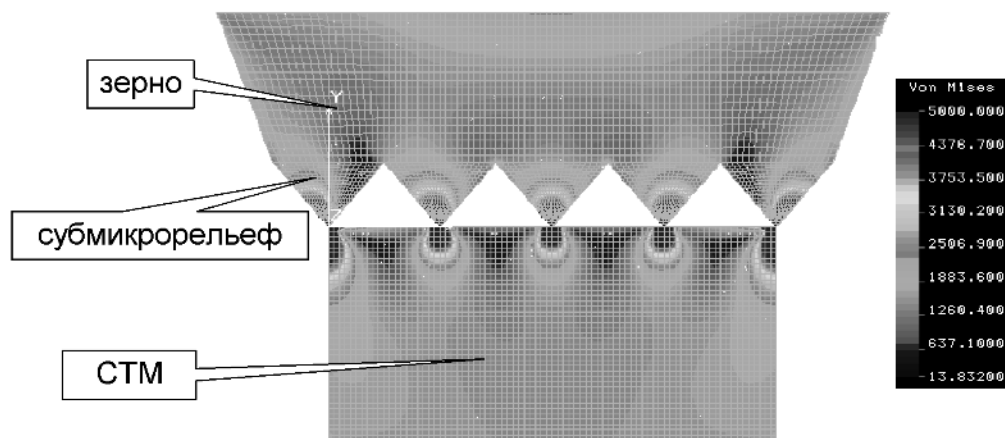
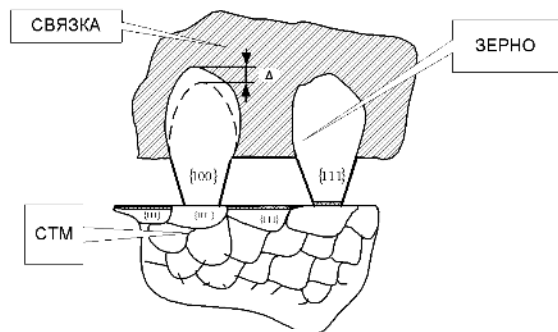
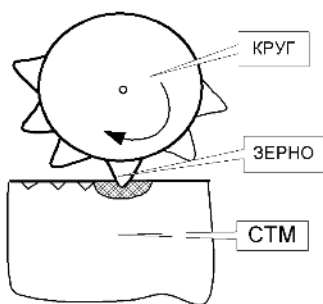
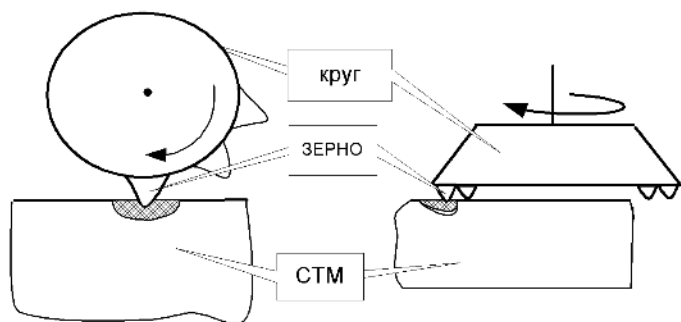
.

-

, . .

-

.



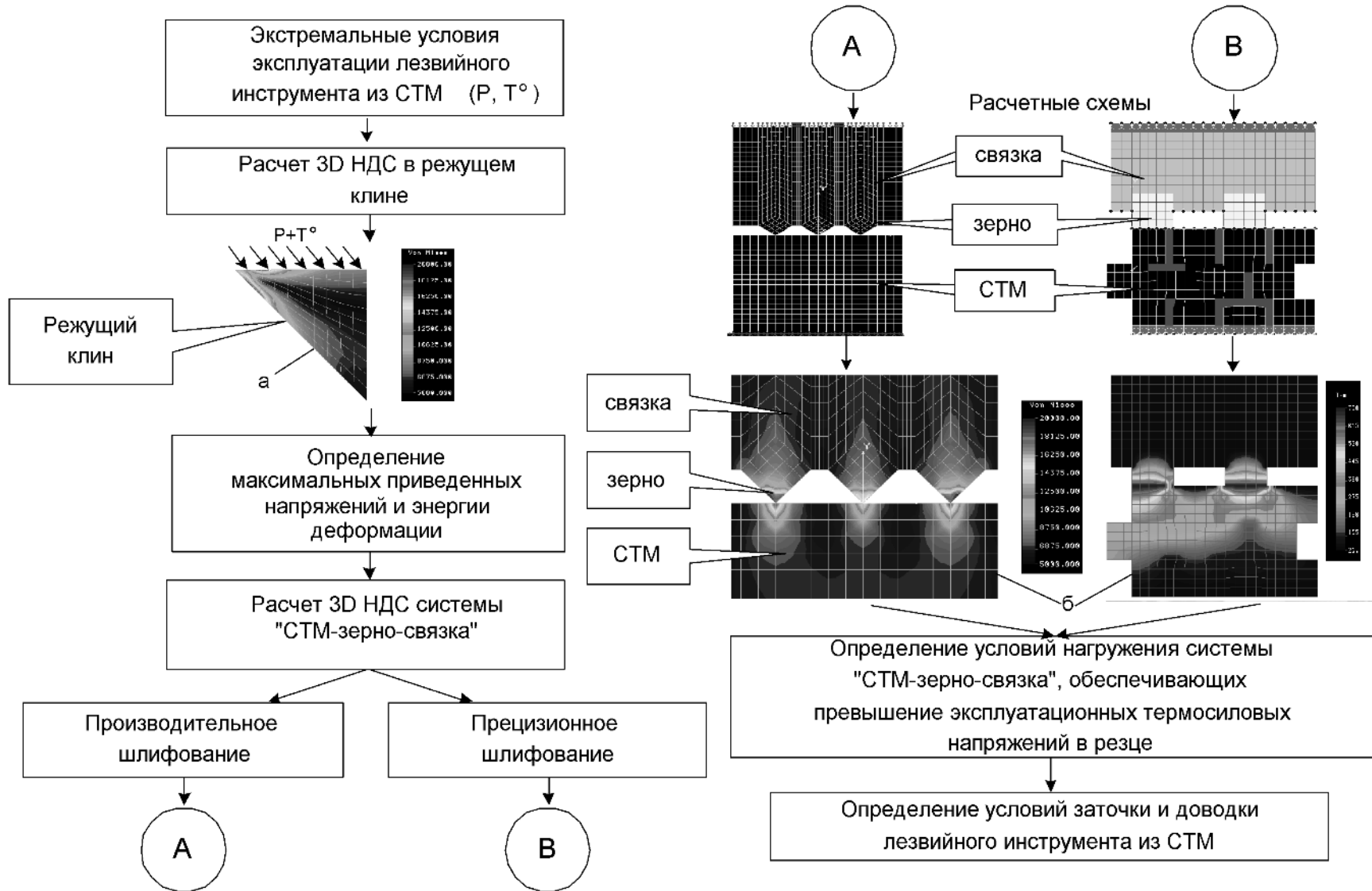
, -

; -

, -

; -

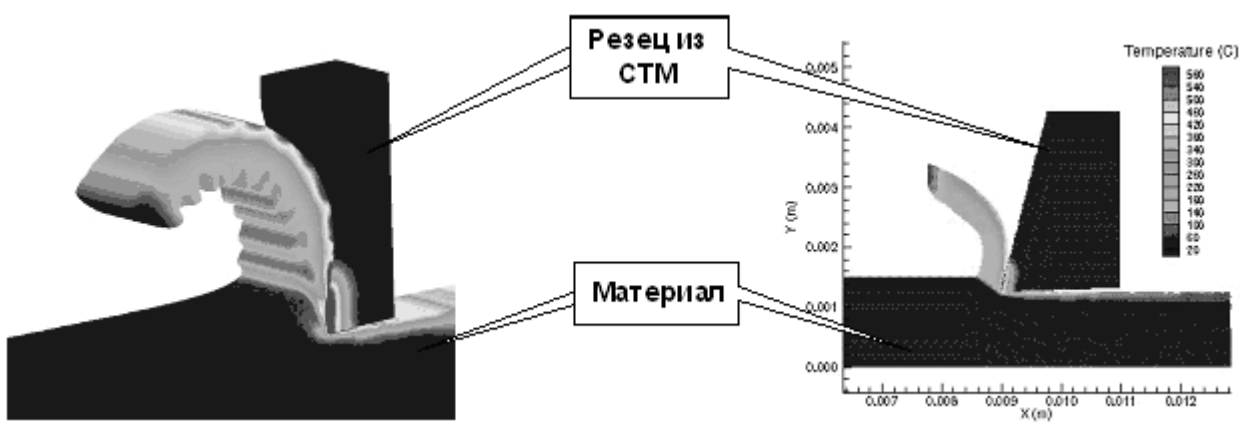
, -



3D

«Third Wave AdvantEdge».

. 7.21.



7.21 – 3D

()
()

(3D

),

-

.

-

-

,

,

,

-

,

-

(. .7.20).

-

-

,

-

.

-

,

-

.

,

-

,

(. .7.20),

-

,

.

,

,

-

(, . .),

(. .7.20)

,

-

.

,

-

.

-

.

,

-

-

-

-

,

.

« — », -

, ' / -

.

, -

, .

7.6.

1. -

-

? -

2. -

.

3. , -

? -

4. -

? -

5. -

? -

6. -

? -

7. -

-

.

8. -

3D

.

9. -

- ?

7.

3D

307

-

10.

-

-

-

11.

-

12.

3D

-

13.

3D

-

14.

3D

15.

-

3D

16.

3D

17.

3D

18.

19.

20.

21.

-

3D

, -

(),

3D

-

:

3D

A.1.

,

3D

3D

()

:

(. .1),

(. .2, .3)

.1.1. STAT_SYS

3D

.3

.1.2. ZERO_SYS

() 3D

.4

.1.3.

TIP_KRUG -

;

TIP_RANG -

;

TIP_SIZE -

;

TIP_ZERO -

;

ZAK_ZERO -

.

Настройки для текущего варианта № 1

Настройки текущего варианта | Настройки для Системы | **Настройки Графиков**

Работа с Таймером Автоматизации Графиков Время для закрытия форм: Zero_3DM

Время до Запуска Таймера Автоматизации

Настройки для текущего варианта № 1

Настройки текущего варианта | Настройки для Системы | Настройки Графиков

Вариант 1 -> 2001/08/20 12:10:46 * для Отладки

Использование Другой Навески Зерен I_Var_Zero

Генерирование случайных чисел I_Rand_Sec

Метод формирования координат зерен n_Coor_Met

Плотн. мг/мм

Козф. запол. объек.

Настройки для текущего варианта № 1

Настройки текущего варианта | **Настройки для Системы** | Настройки Графиков

Генерирование случайных чисел

n_Seed_Val

n_ThrowMax

Создание БД: Gist_YYY, Gi3D_YYY, Gi2X_YYY, Gi2Z для Оценки по Критериям Согласия Данных Текущего Варианта

Сохранение параметров распределений

Вывод Browse после формир. разм. зерен

Вывод Browse после формир. коорд. зерен

Вариант статистического анализа данных

n_Var_Tr_D

Количество интервалов Гистограмм

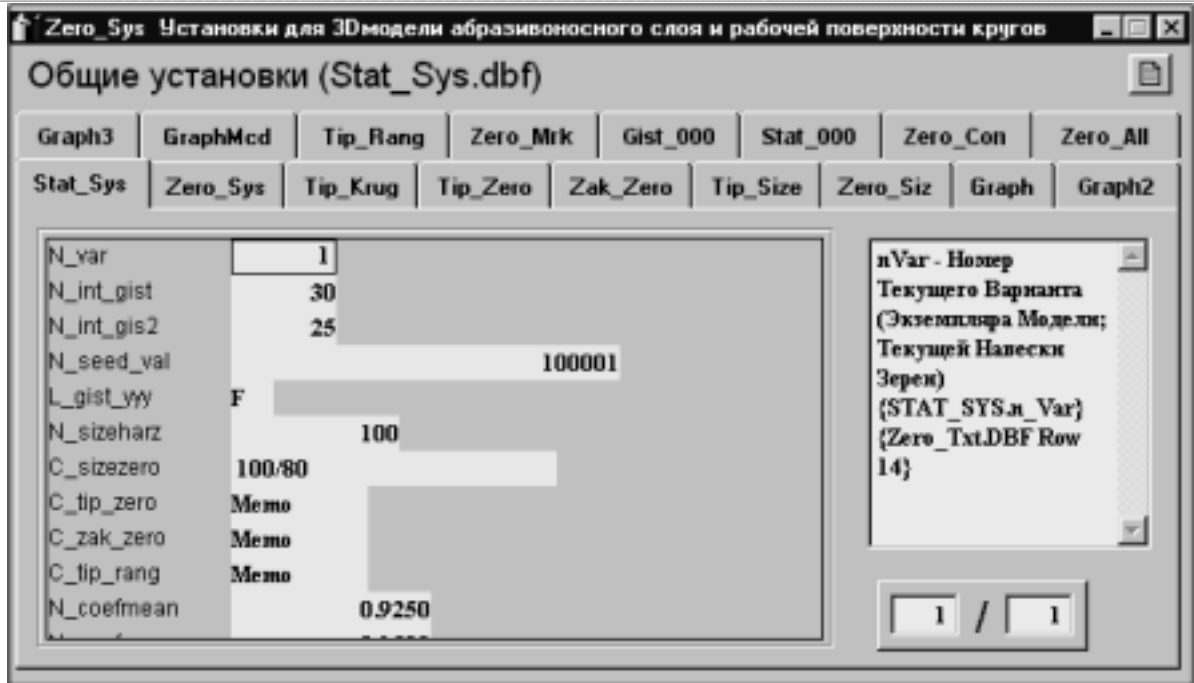
n_Int_Gist n_Int_Gis2

nSeedVal - функция RAND([nSeedValue]) -> Константа Инициализации. Возвращает случайное число [0, 1]. Необязательный числовой аргумент [nSeedValue] позволяет специфицировать константу инициализации

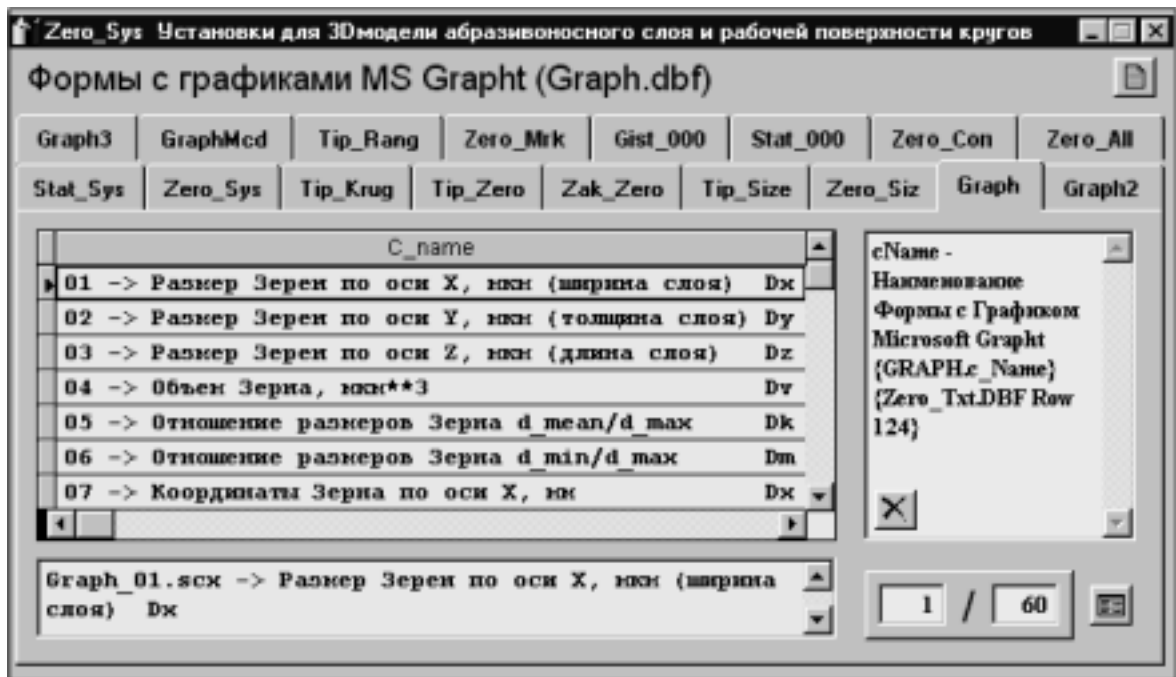
Настройка параметров автоматизации создания библиотек результатов моделирования

Настройка параметров экземпляра 3 D модели

Настройка параметров системы 3 D моделирования



.2 – STAT_SYS –
(3D)



.3 – GRAPH –
(MS GRAPH)

.1.4.

GRAPH –
 MS GRAPH (Graph_NN.scx);
 GRAPH2, GRAPH3 –
 ,
 GRAPHMCD –
 MathCad (GrMcd).

.1.5.

ZERO_ALL – ;
 ZERO_MRK – , -
 ;
 ZERO_SIZ, ZERO_SI2 –

.1.6.

3D -
 :
 CORR_FUN – (-
)
 CORR_CFC – (-
);
 CORR_SYS –
 ;
 STAT_DIS – ;
 STAT_COL, STAT_HI2, STAT_OM2 – ,
 χ^2, ω^2 .

A.2.**3D**

3D ,
 NNN – :
 ZERO_NNN – (-
);

```

CONT_NNN –
    ;
STAT_NNN, GIST_NNN –
    ;
Z3DM_NNN – (
    ,
    );
ST3D_NNN, GI3D_NNN –
    ;
Z3DG_NNN – 3D (
    );
Z3DG_NNN.PRN – 3D
    MathCad;
Z2XM_NNN, Z2ZM_NNN – (
    ,
    );
Z2XG_NNN, Z2ZG_NNN –
    .
    
```

A.3. (3D) STAT_SYS

```

c_Order_01 –
    ;
c_SizeZero – (
l_Brow_1 – Browse ;
l_Brow_2 – Browse -
    ;
l_DistrCum –
    ;
l_Grapg2Sv – c_Graph2 -
    ;
    
```

```

l_Memu_Bar -
;
L_SAVE_1 -
Zero_Dis;
L_SAVE_2 -
Zero_Siz ( Zero_Dis);
l_SizeHarZ -
;
l_Stat_3DM - ST3D_000, GI3D_000;
n_Gi3D_000 - ;
n_Gist_000 - ;
n_Intg_Cor - ( ) -
Integer ( );
n_Intg_Zer - ( ) Integer
( );
n_Int_Gis2 -
3D ;
n_Int_Gist -
3D ;
n_Seed_Val - RAND([nSeedValue]);
n_SizeHarZ - ;
n_St3D_000 - ;
n_Stat_000 - ;
n_Stat_3DM - Stat_3DM ,
.;
n_Stat_XYZ - Stat_XYZ ,
.;
n_ThRowMax -
- .
, -
;
n_Timer_Gr - , -
;
n_Var - ( );

```

n_Zero_3DM – Zero_3DM ,
 .

.4. ()

**3D
 ZERO_SYS**

Base_Log_X, Base_Log_Y, Base_Log_Z –
 X, Y, Z ();

B_mm – , ;

c_Prof_XZ – 3D ;

c_SizeZero – ();

c_Yc_X, c_Yc_Z –

Yc = f(x), Yc = f(z);

Dx_mkm, Dy_mkm, Dz_mkm –
 X, Y, Z, ();

F_Grd – , ;

F_Rad – , ;

K_Abr – 1...8 (25...200 %);

l_Bxyz –
 : X, Y, Z;

l_Dxyz –
 : X, Y, Z;

L_mm – , ();

l_Prof_X – 3D –
 ;

l_Prof_X_C –
 :

YcX = YAnglBond (nAngle, nCone, nX),

nAngle – (9...–9); nCone –
 (); nX – X;

l_Prof_X_F –
 YcX = f(x);

```

l_Prof_Z - 3D -
;
l_Prof_Z_C - -
:
YcZ = YWaveBond(nZWaveH, nZWaveL, nZWaveF, nZ),
nZWaveH - , ; nZWaveL - , ;
nZWaveF - , %; nZ - Z;
l_Prof_Z_F - -
YcZ = f(z);
l_Rand_Sec -
RAND(nSeedValue):
1)
ZERO_SYS.L_Rand_Sec = .F. ⇒ nSeedValue = STAT_SYS.n_Seed_Val
RAND(nSeedValue) -
;
2)
ZERO_SYS.L_Rand_Sec = .T. ⇒ nSeedValue = 1000* SECONDS()
RAND(nSeedValue) -
( );
l_SL_2D - 2D
X Z;
l_Sxyz -
: X, Y, Z;
l_Var_Zero -
3D
;
n_B_2D - 2D X, ( -
);
n_B_2D_DnV, n_B_2D_UpV -
2D X, ( );
n_B_2D_Vis - 2D
X (10...500);

```

```

n_B_3D_Dn, n_B_3D_Up – 3D
X;
n_B_3D_DnV, n_B_3D_UpV –
3D X;
n_B_3D_Vis – 3D
X (10...100);
n_Coef_Zer –
( ,
). : 0 ... 1,0. -
3D
" " " ";
n_Coor_Met – (1, 2, 3, 4) -
- ;
n_Fret_nC1, n_Fret_nC2, n_Fret_nC3, n_Fret_nC4 – 1, 2,
3, C4 - ;
n_Fret_nD – : 0 – ;
1 – ; 2 – ;
n_H_L_Max – ( );
n_H_Z_Max – ( -
);
n_L_2D – 2D Z, ( -
);
n_L_2D_DnV, n_L_2D_UpV – 2D
Z, ( );
n_L_2D_Vis – 2D -
Z (10...500);
n_L_3D_Dn, n_L_3D_Up – 3D Z;
n_L_3D_DnV, n_L_3D_UpV – 3D
Z;
n_L_3D_Vis – 3D -
Z (10...300);
n_Max_Boun – ;
n_Max_Wair – ;

```

$n_Mic_B_cM$ –
 (0–100 %);
 $n_Mic_B_cV$ – -
 (0–100 %);
 $n_Mic_B_nD$ –
 (0, 1, 2);
 $n_Mic_Z_cM$ – -
 (0–100 %);
 $n_Mic_Z_cV$ – -
 (0–100 %);
 $n_Mic_Z_nD$ – (0, 1, 2);
 n_Rang_Tip – : 1 – -
 ; 2 – -
 ; 3 – ;
 n_Rel_Z – (,
 ,);
 n_Rel_ZB – (,
 ,);
 n_Rel_ZBW – (-
 , ,);
 n_Rel_ZW – (,
 ,);
 $n_SizeHarZ$ – ;
 n_S_3D – 3D Y;
 n_Var_Zero – -
 3D ;
 n_Wair_3DM – ;
 $n_Wair_p1, n_Wair_p2, n_Wair_p3$ – ;
 n_X_Angle – 9...-9, (> 0 – -
 , < 0 – ;

n_X_Cone – ()
 , . : 0 ...
 , ;
 n_Zero_All – (-
);
 n_Zero_Car – , (- 9);
 n_Zero_Den – , / ³ (- 3.53);
 n_Zero_Fil – ;
 n_Zero_mGr – , (- 10);
 n_Zero_mm3 – , ³ (- 11);
 n_Zero_Mod – ();
 n_Zero_Num – , (- 8);
 $n_Z_Wave_F$ – 0 ... 100 %;
 $n_Z_Wave_H$ – 0 ... 9999, ;
 $n_Z_Wave_L$ – 0 ... 9999, ;
 Sx_mkm, Sy_mkm, Sz_mkm – -
 X, Y, Z, ();
 S_mm – , ;
 Tip_Krug – ;
 Tip_Range – ;
 Tip_Zero – ;
 $Variant$ – 3D -
 ;
 V_Krug – ();
 V_Zero_1 – ;
 V_Zero_All – ();
 V_Zero_Mod – ().
 ;
 Zak_Zero – .

3D

-

3D

-

3.

.1.

-

3D

-

. .1.

3D

-

-

():

1 (Dx) – () -
);

2 (Dy) – () -
();

3 (Dz) – () -
);

4 (Dv) – () -
);

5 (Dk) – ;

6 (Dm) – ;

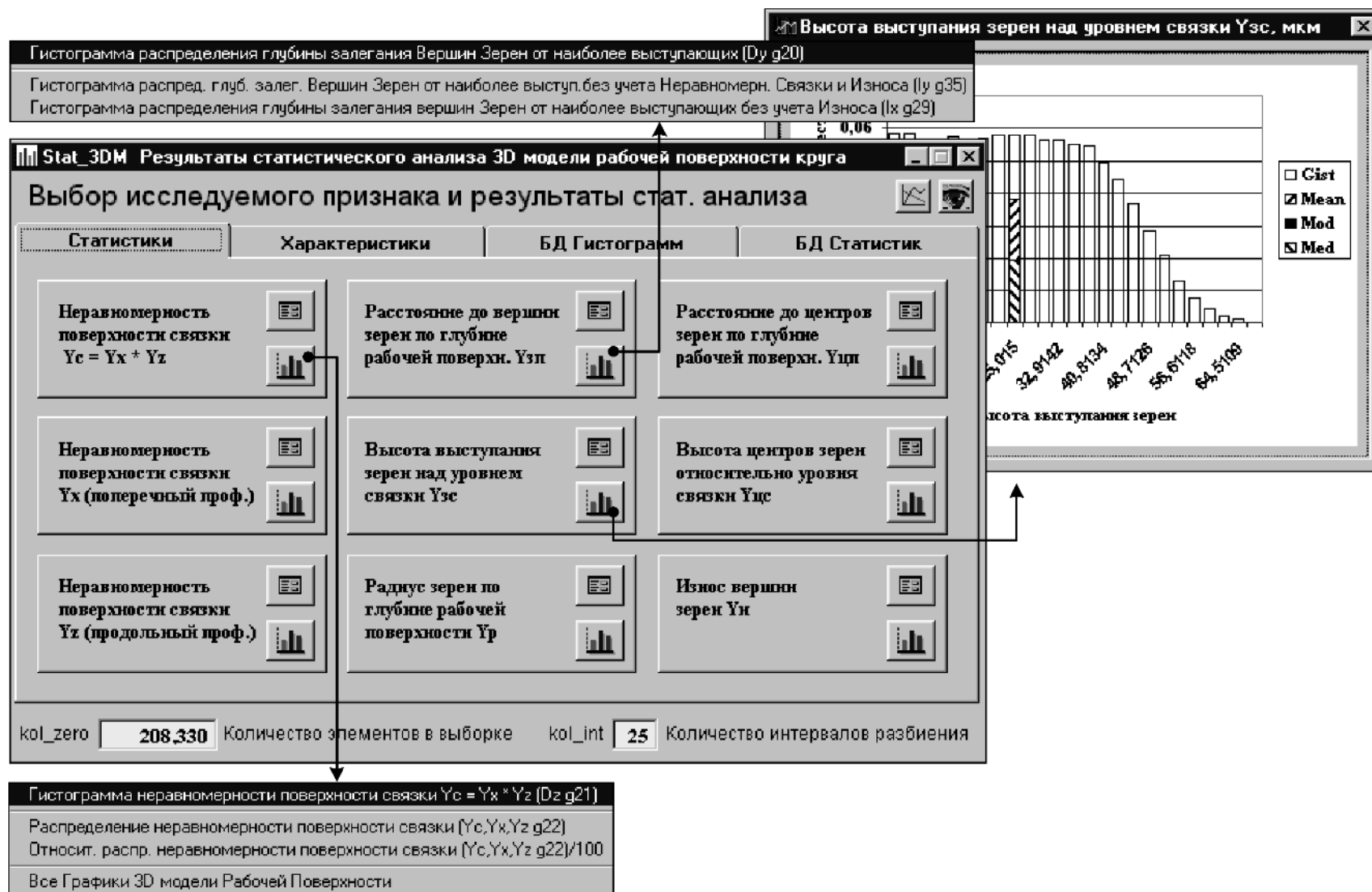
7 (Cx) – Yx () -
);

8 (Cy) – Yz () -
);

9 (Cz) – ;

10 (Ix) –	()	-
	();	
11 (Iy) –	(-
)	(-
);		
12 (Rm) –			-
		;	
13 (Zx) –	.		-
	.	.2.	-
	.	.3.	-
	.		
	–	12	-
		(. . . .1).	
.2.		,	
	.	.4	
	,		3D -
	:		
–			-
	;		
–		;	
–		()	.
	.	.5, .6	3D -
			(.
. .6).	3D		-
		. .7.	
.3.			
3D			
		3D	-
			-

. .8. (. . .8):
 – (Graph_a1 – Graph_a3);
 – (Graph_b1 – Graph_b7);
 –
 (Graph_d1 – Graph_d5);
 – (Graph_v1 –
 Graph_v5).
 (Graph_a1 – Graph_a3, Graph_b1 – Graph_b7) -
 () 3D .
 . .9 – .13. -
 ,
 .
 (Graph_b1 – Graph_b7, Graph_v1 –
 Graph_v5) " " .
 ,
 (.).
 « »
 . .14 – .20.
 .4. 3D -
 3D Web.
 (. .21). -



Stat_3DM Результаты статистического анализа 3D модели рабочей поверхности круга

Выбор исследуемого признака и результаты стат. анализа

Статистики

Неравномерность поверхности с $Y_x = Y_x * Y_z$

Неравномерность поверхности с Y_x (поперечная)

Неравномерность поверхности с Y_z (продольная)

kol_zero 208.3

Stat_3DM Результаты статистического анализа 3D модели рабочей поверхности круга

База данных Гистограмм

Stat_3DM Результаты статистического анализа 3D модели рабочей поверхности круга

База данных Статистик

Статистики | Характеристики | БД Гистограмм | БД Статистик

Stat_3DM Результаты статистического анализа 3D модели рабочей поверхности круга

Интегральные характеристики

Статистики | **Характеристики** | БД Гистограмм | БД Статистик

Размеры 3D модели рабочей поверхности

Длина мм Ширина мм

Площадь мм²

Количество зерен и лунок


Площадь зерен и лунок

Объем зерен и лунок

Максимальные элементы рельефа

Высота зерен мкм


Глубина лунок мкм

Рельеф  мкм

Номинальные объемы пространства

Область зерен мм³

Область лунок мм³

Рельеф  мм³

kol_zero Количество элементов в выборке kol_int Количество интервалов разбиения

Кoeffициенты корреляции для 3D модели рабочей поверхности

Dx	1.0000	0.2999	0.1160	0.6201	0.2466	0.8115	0.0007	0.1224	0.0000	0.2999	0.2039	0.8115	0.0000
Dy	0.2999	1.0000	0.2355	0.9205	0.9038	0.7437	0.0118	0.2569	0.0000	1.0000	0.9538	0.7437	0.0000
Dz	0.1160	0.2355	1.0000	0.0732	0.0108	0.0703	0.3852	0.8212	0.0000	0.2355	0.0432	0.0703	0.0000
Dv	0.6201	0.9205	0.0732	1.0000	0.8870	0.9458	0.0542	0.1112	0.0000	0.9205	0.8773	0.9458	0.0000
Dk	0.2466	0.9038	0.0108	0.8870	1.0000	0.7663	0.1368	0.0961	0.0000	0.9038	0.9507	0.7663	0.0000
Dm	0.8115	0.7437	0.0703	0.9458	0.7663	1.0000	0.0829	0.0231	0.0000	0.7437	0.7083	1.0000	0.0000
Cx	0.0007	0.0118	0.3852	0.0542	0.1368	0.0829	1.0000	0.2101	0.0000	0.0118	0.1016	0.0829	0.0000
Cy	0.1224	0.2569	0.8212	0.1112	0.0961	0.0231	0.2101	1.0000	0.0000	0.2569	0.1087	0.0231	0.0000
Cz	0.0000	0.0000	0.0000	0.0000	0.0000	0.0000	0.0000	0.0000	0.0000	0.0000	0.0000	0.0000	0.0000
Ix	0.2999	1.0000	0.2355	0.9205	0.9038	0.7437	0.0118	0.2569	0.0000	1.0000	0.9538	0.7437	0.0000
Iy	0.2039	0.9538	0.0432	0.8773	0.9507	0.7083	0.1016	0.1087	0.0000	0.9538	1.0000	0.7083	0.0000
Rm	0.8115	0.7437	0.0703	0.9458	0.7663	1.0000	0.0829	0.0231	0.0000	0.7437	0.7083	1.0000	0.0000
Zx	0.0000	0.0000	0.0000	0.0000	0.0000	0.0000	0.0000	0.0000	0.0000	0.0000	0.0000	0.0000	0.0000

Неравномерность поверхности связки
{ST3D_000.3 -> Dz} {Zero_Txt.DBF Row 427}

Критические значения для ко...

m	q=0.95	q=0.975	q=0.995	q=0.9995
600	0.0671	0.0799	0.1049	0.1338
700	0.0621	0.0740	0.0972	0.1239
800	0.0581	0.0692	0.0909	0.1160
900	0.0548	0.0653	0.0857	0.1094
1000	0.0520	0.0619	0.0813	0.1038

Alpha = 0.1 -> q = 0.95
Alpha = 0.05 -> q = 0.975
Alpha = 0.01 -> q = 0.995
Alpha = 0.001 -> q = 0.9995
Просмотр таблицы Критических значений

Уровень значимости

0.05	Уровень значимости
0.0019	Критическое значение коэффициента корреляции
1,025,506	Количество зерен в абразивном слое

Износ вершин зерен, микрорельеф поверхности зерен и связки

Закон Износа
 2 - Износ наиболее выступающих зерен

Только зерна

Вид износа вершин зерен

Записать Износ

Выход

Площадки износа

Параметры закона износа зерен

Износ 30.000 мкм

Максимальные элементы рельефа

Высота зерен 47.736 мкм

Глубина лунок 50.626 мкм

Рельеф

Микрорельеф зерен

Микрорельеф связки

Характеристический размер 100

Зерн. 100/80

Микрорельеф отсутствует

Микрорельеф отсутствует

2 - Износ наиболее выступающих зерен

Площадки износа

Трехосный эллипсоид

Затылки на поверхности зерна вариант 1

Затылки на поверхности зерна вариант 2

Затылки на поверхности зерна вариант 3

Затылки на поверхности зерна вариант 4

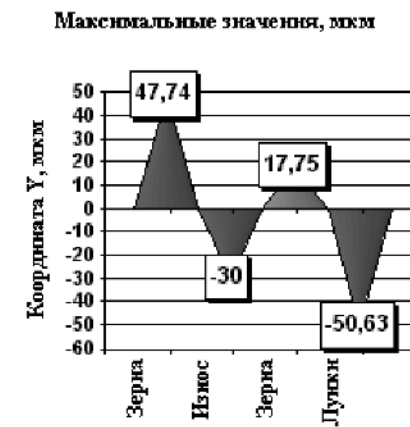
Вид износа вершин зерен

0.80 0.00

0.70 0.00

Затылки на поверхности зерна вариант 3

рамма максимальных элементов рельефа 3D модели



Микрорельеф отсутствует

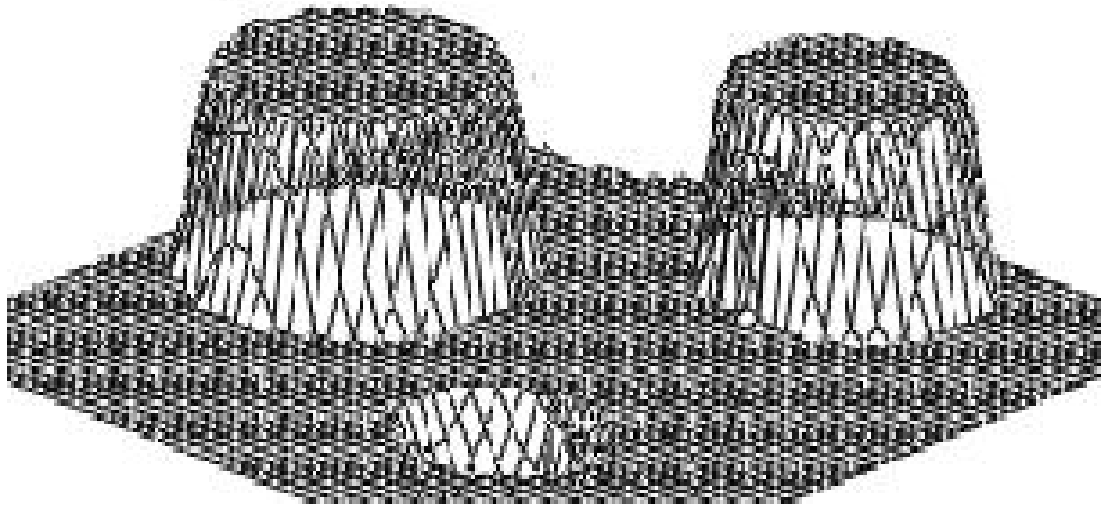
Равномерное распределение

Нормальное распределение

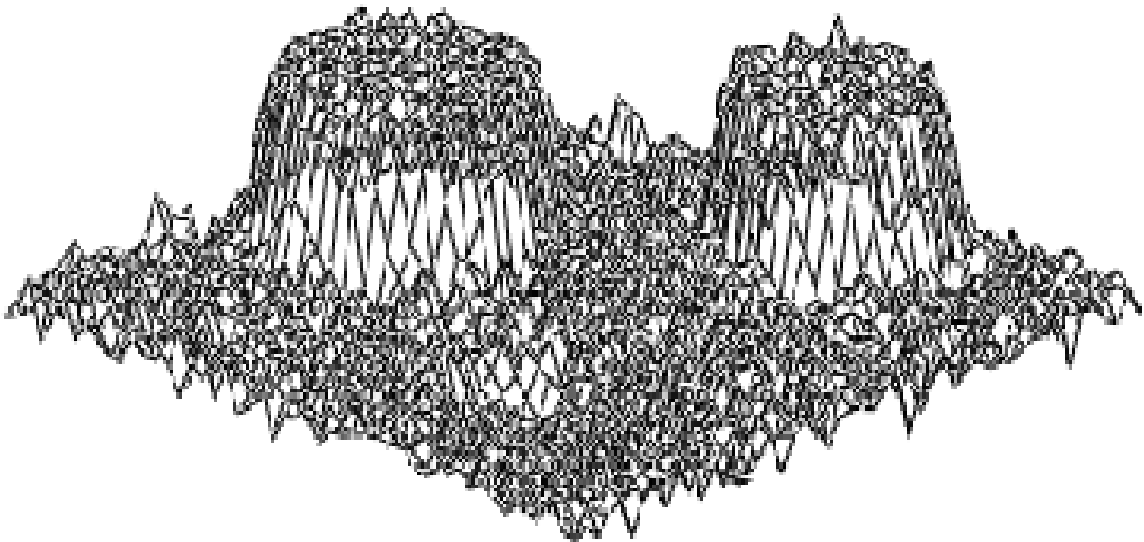
Микрорельеф отсутствует

Равномерное распределение

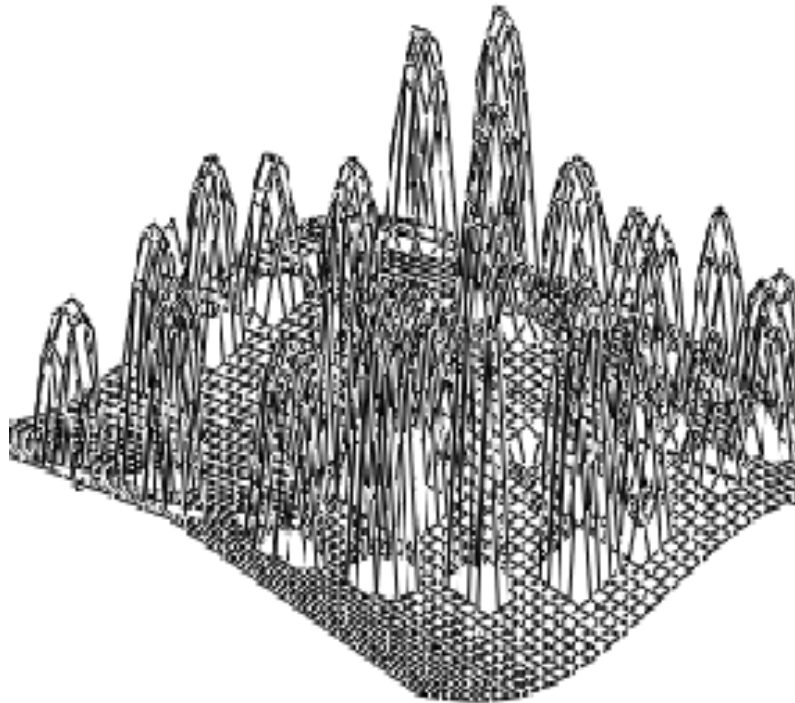
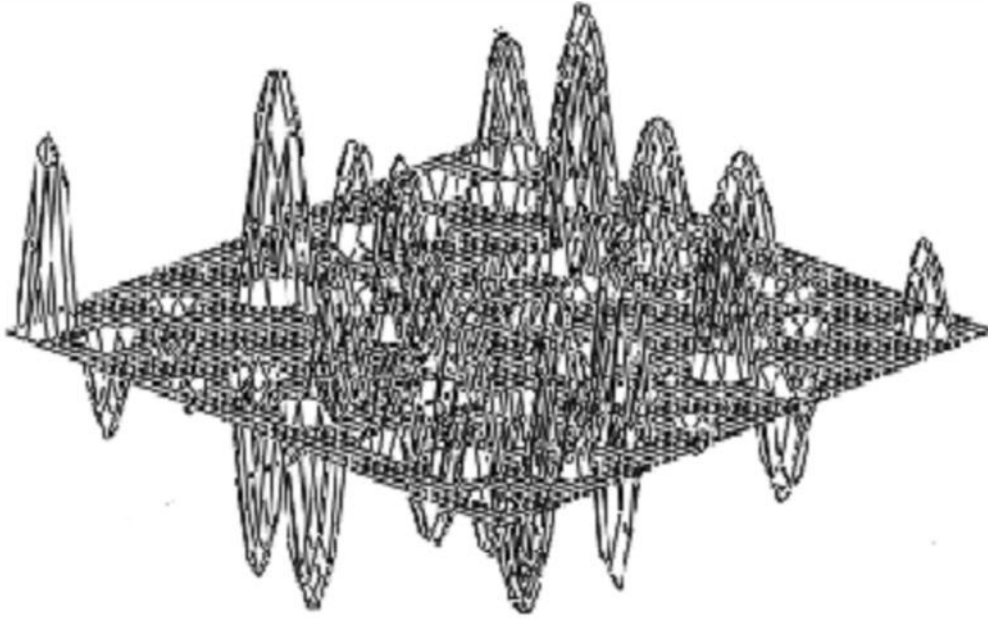
Нормальное распределение



.5 – 3D

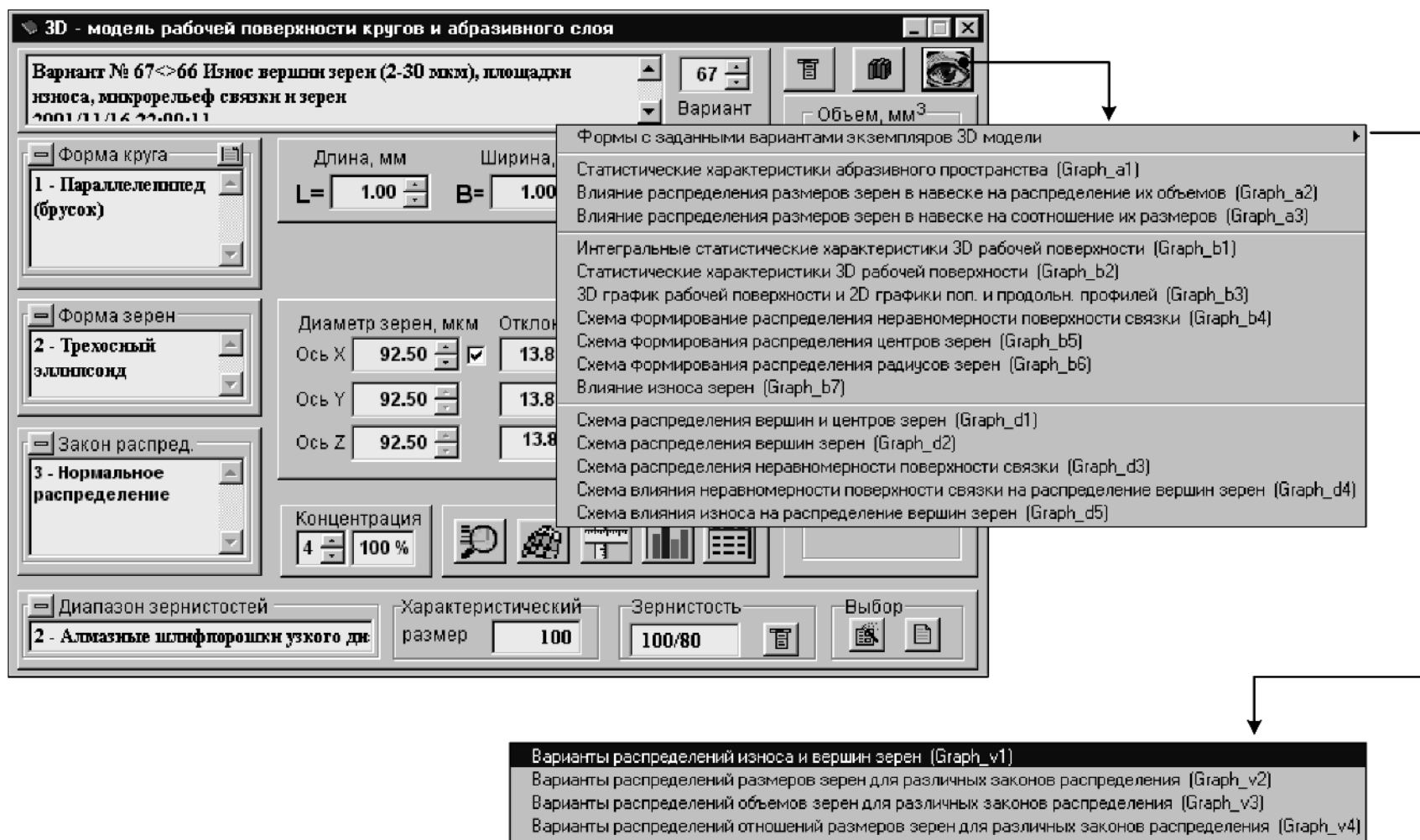


.6 – 3D

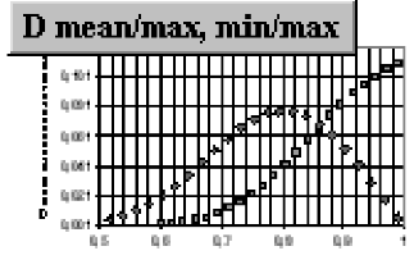
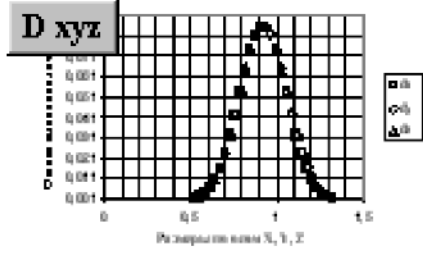
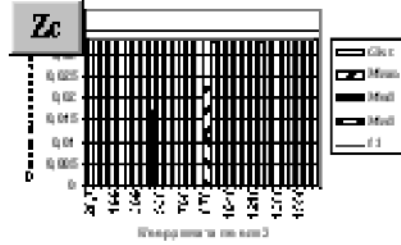
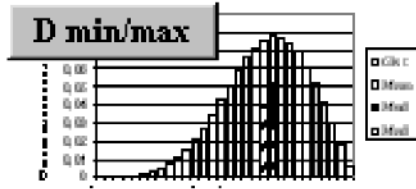
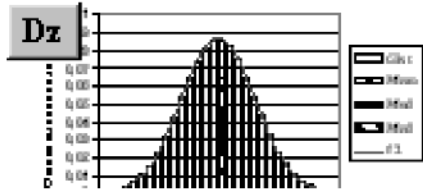
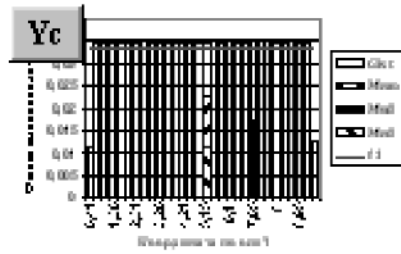
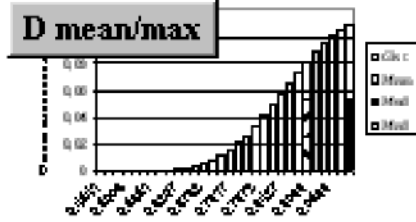
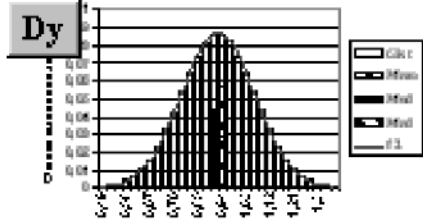
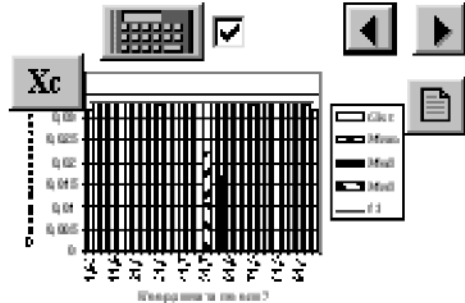
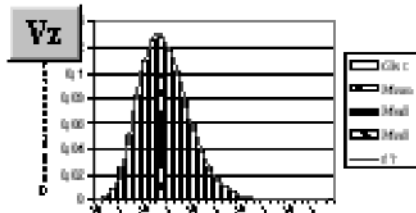
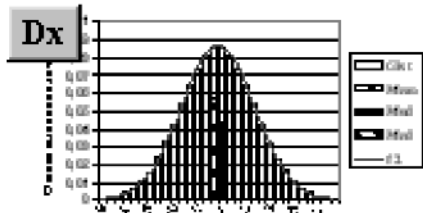


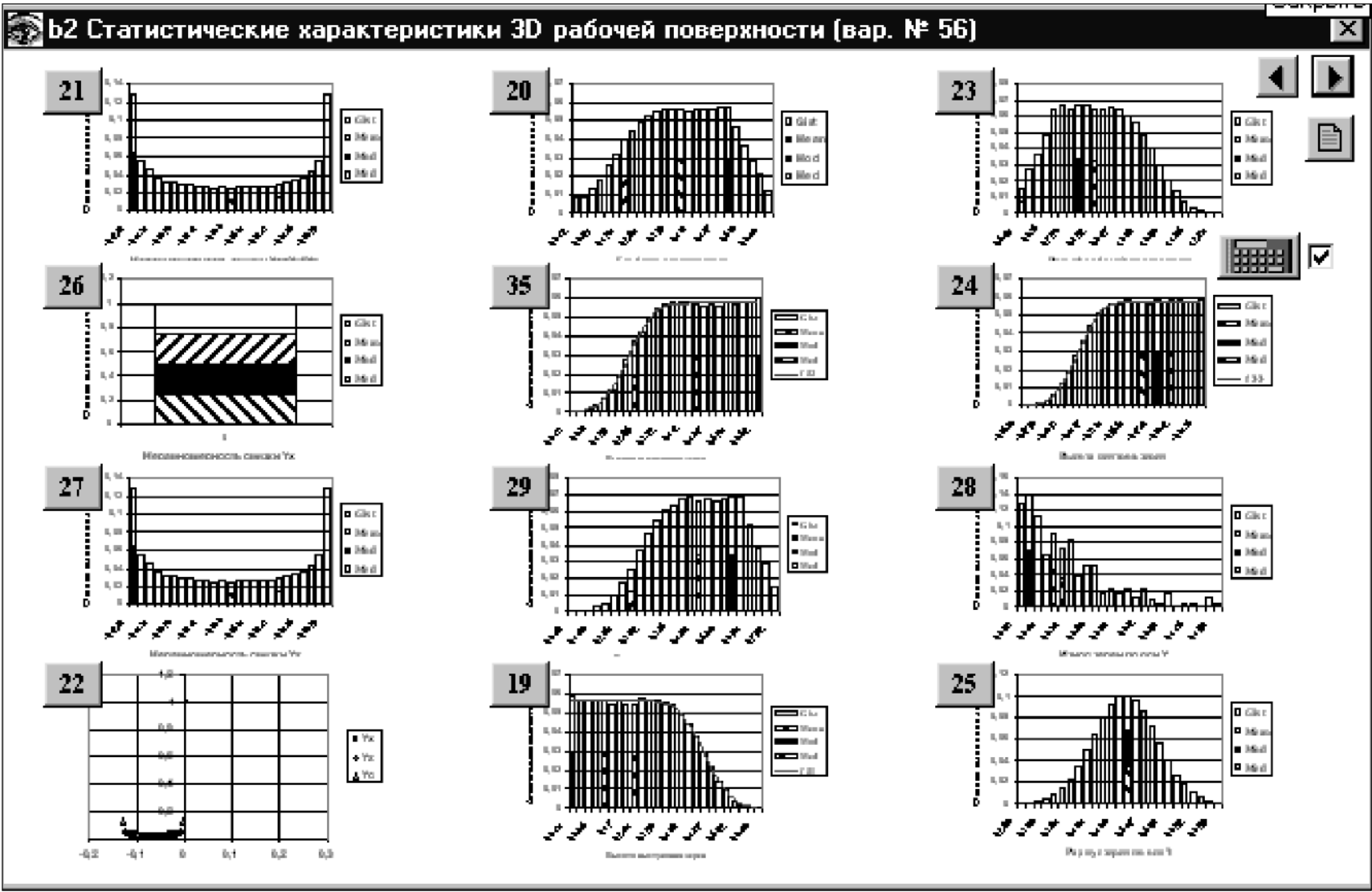
.7 – 3D ;

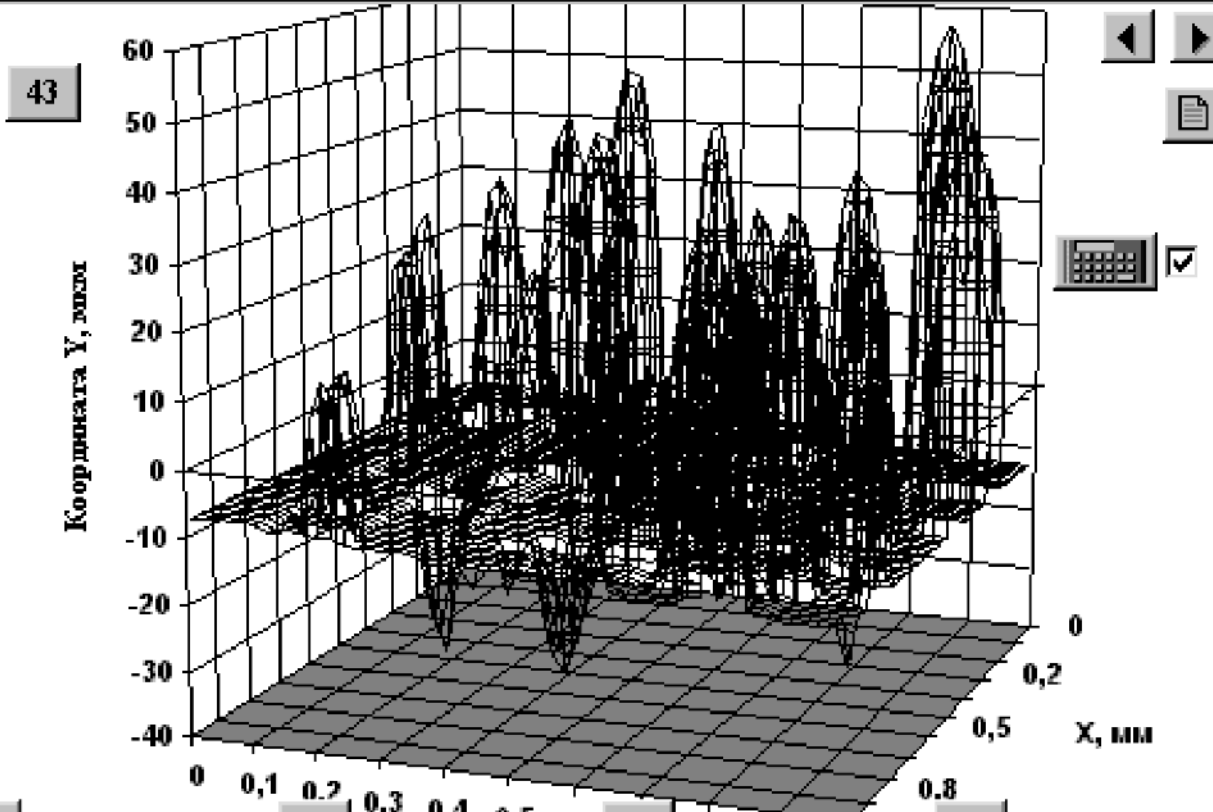
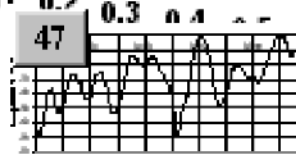
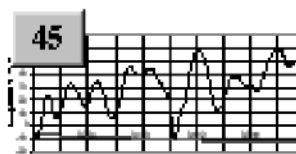
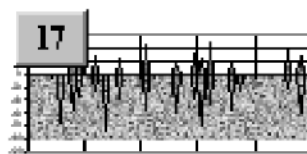
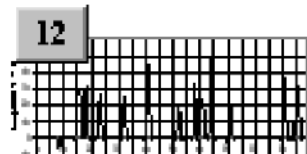
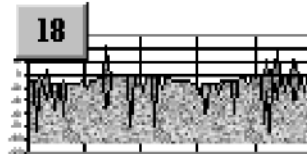
–

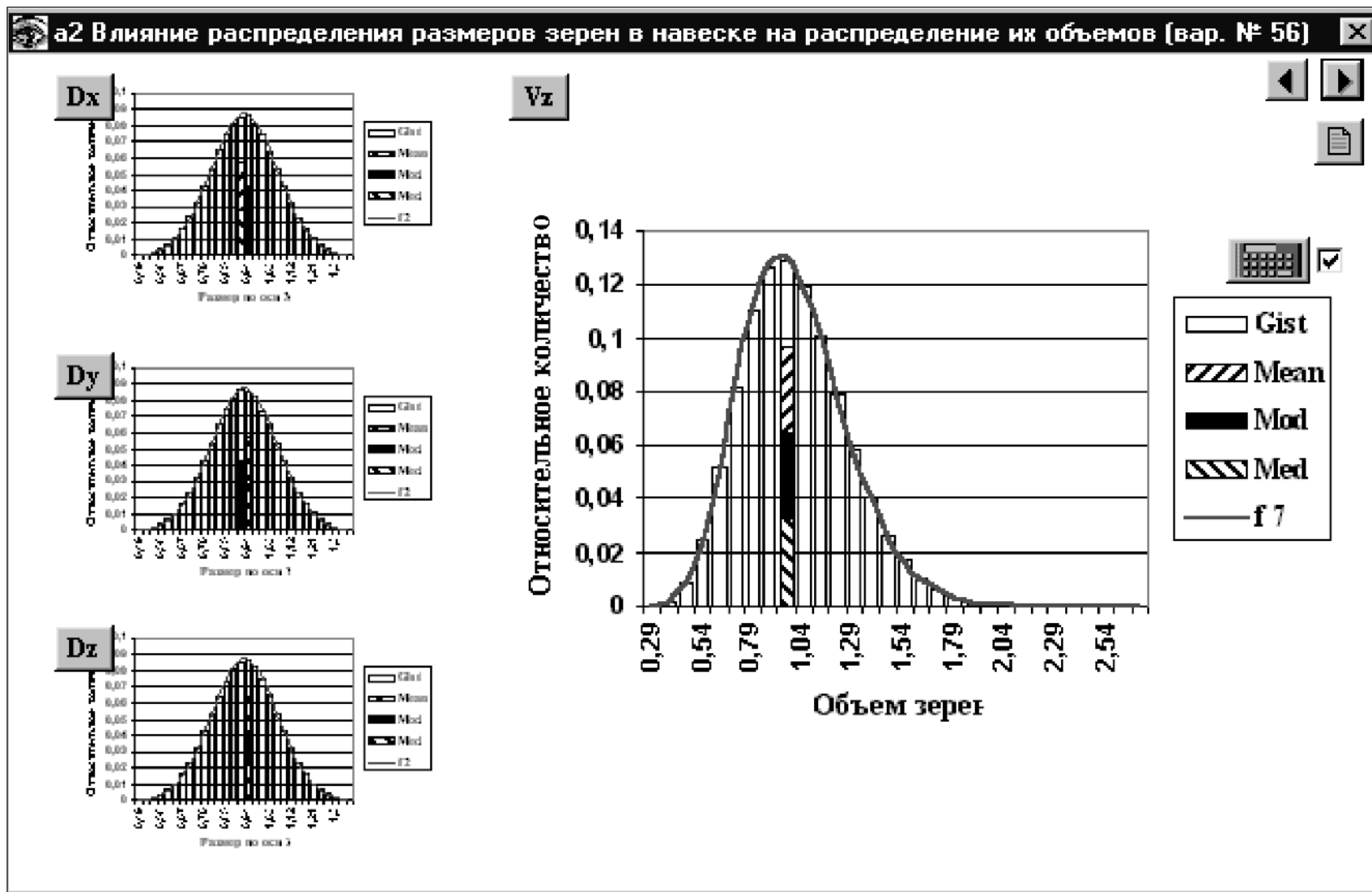


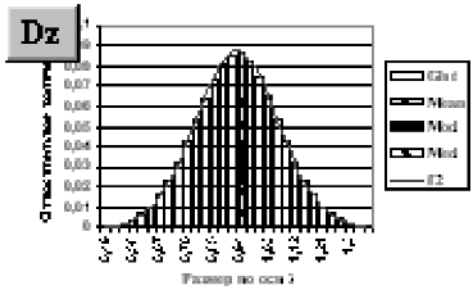
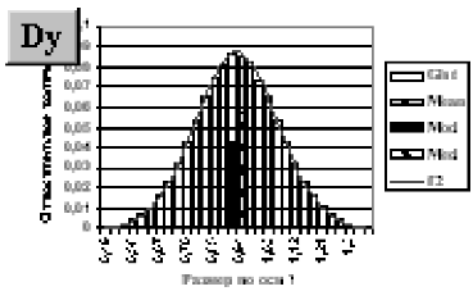
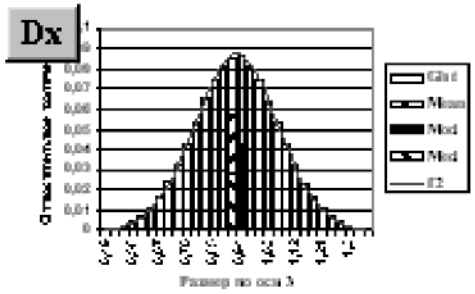
a1 Статистические характеристики абразивного пространства (вар. № 56)









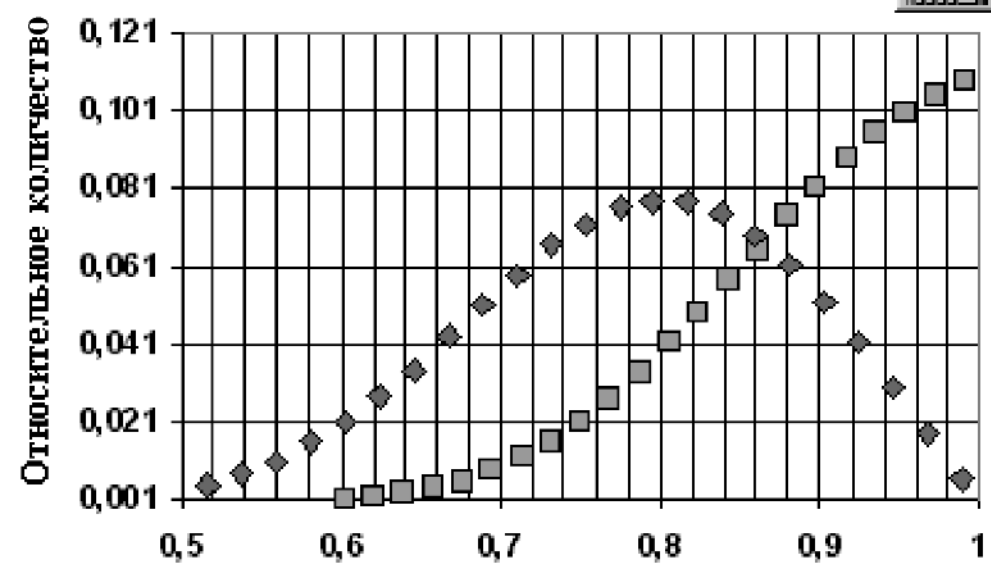


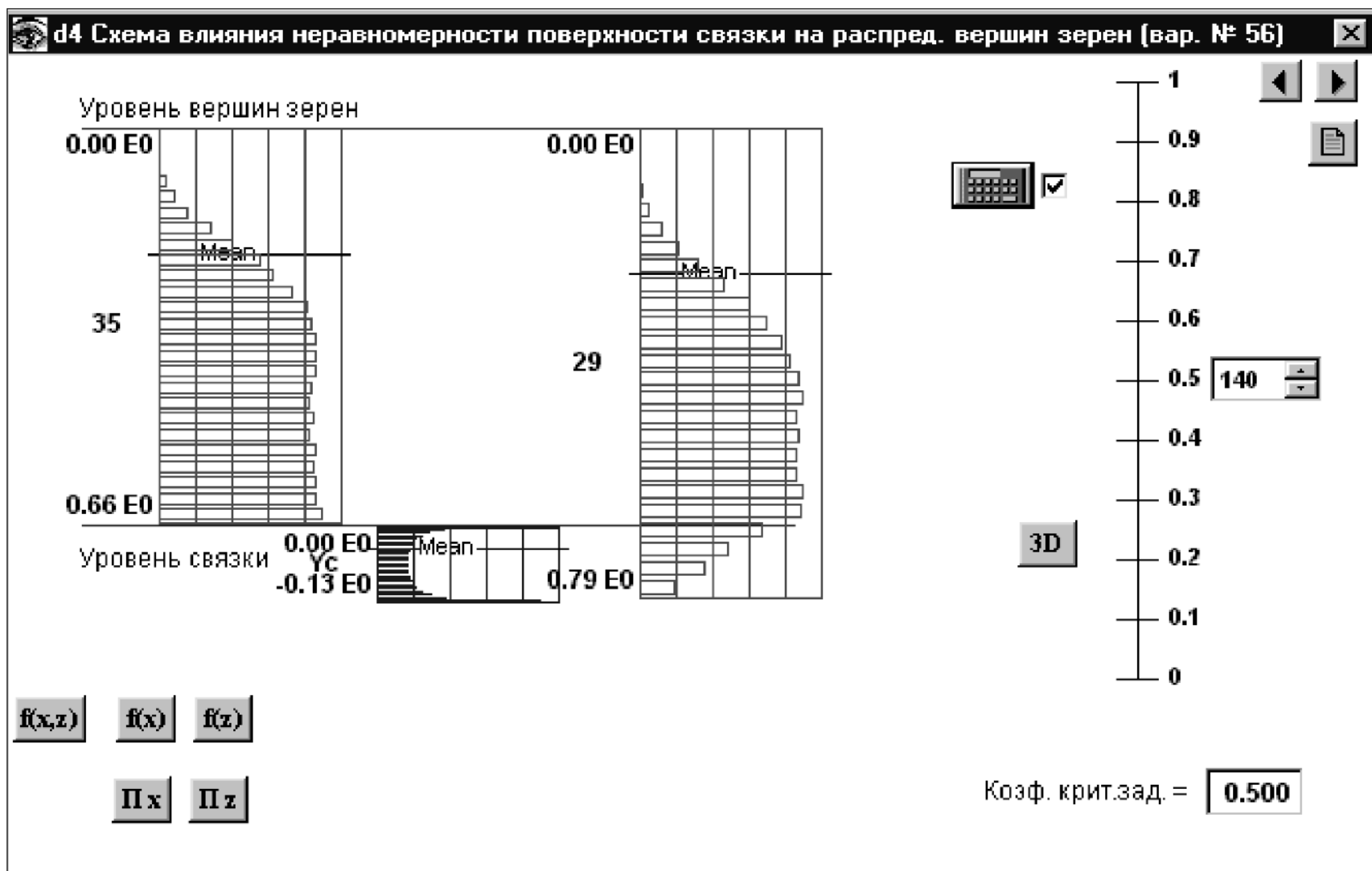
D mean/max, min/max

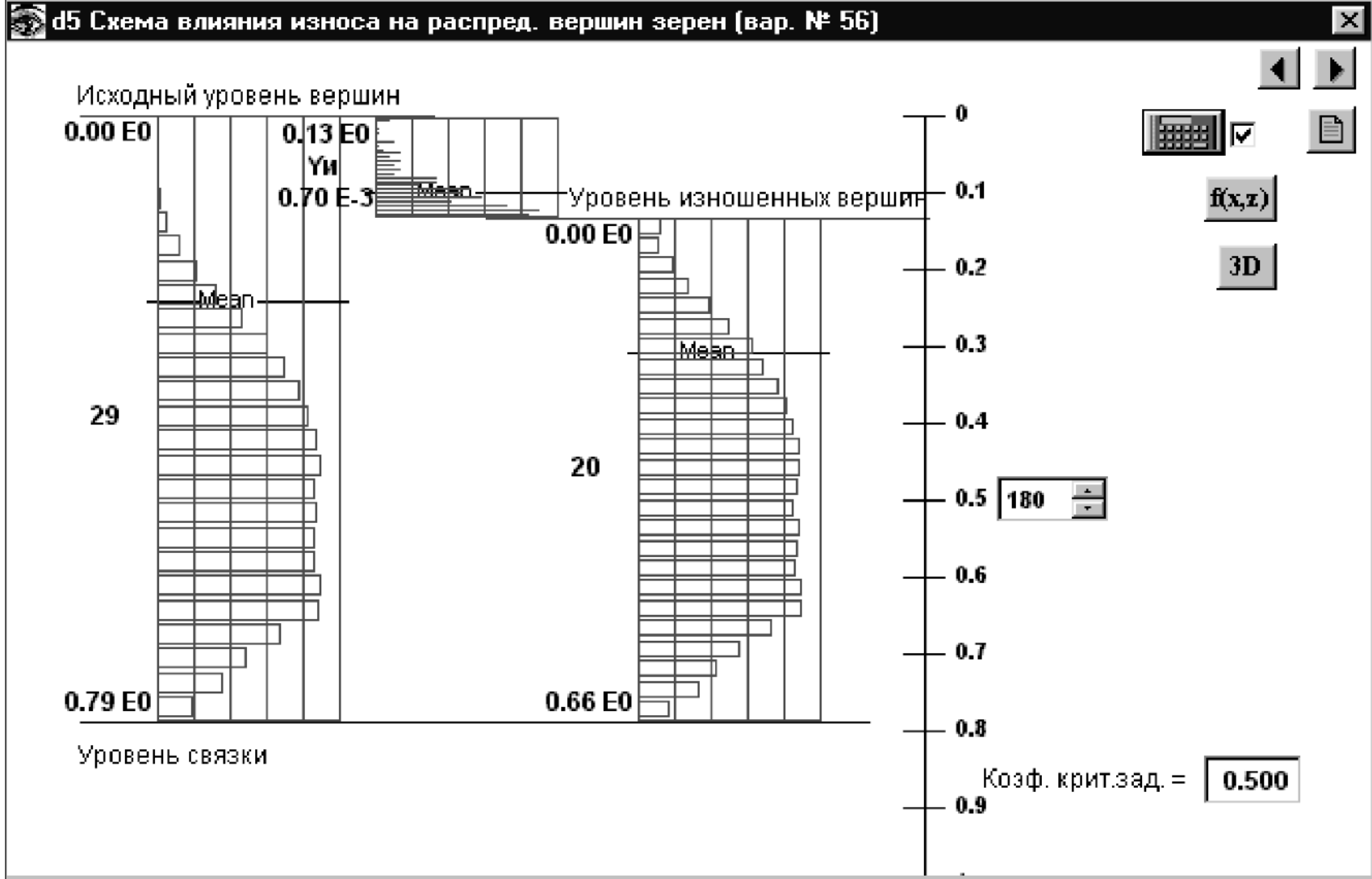
D mean/max

D min/max

■ dmean/dmax ◆ dmin/dmax

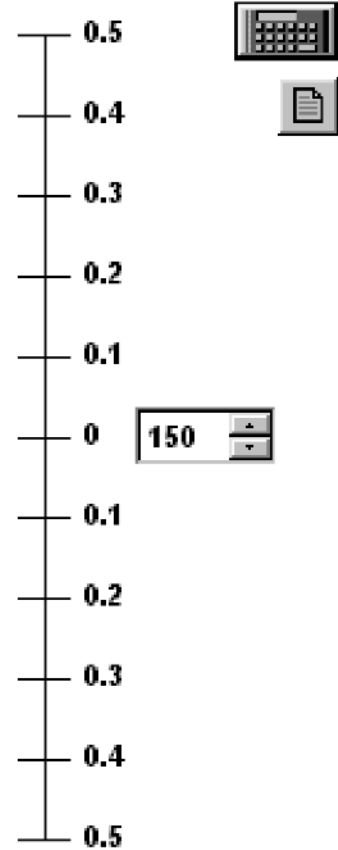
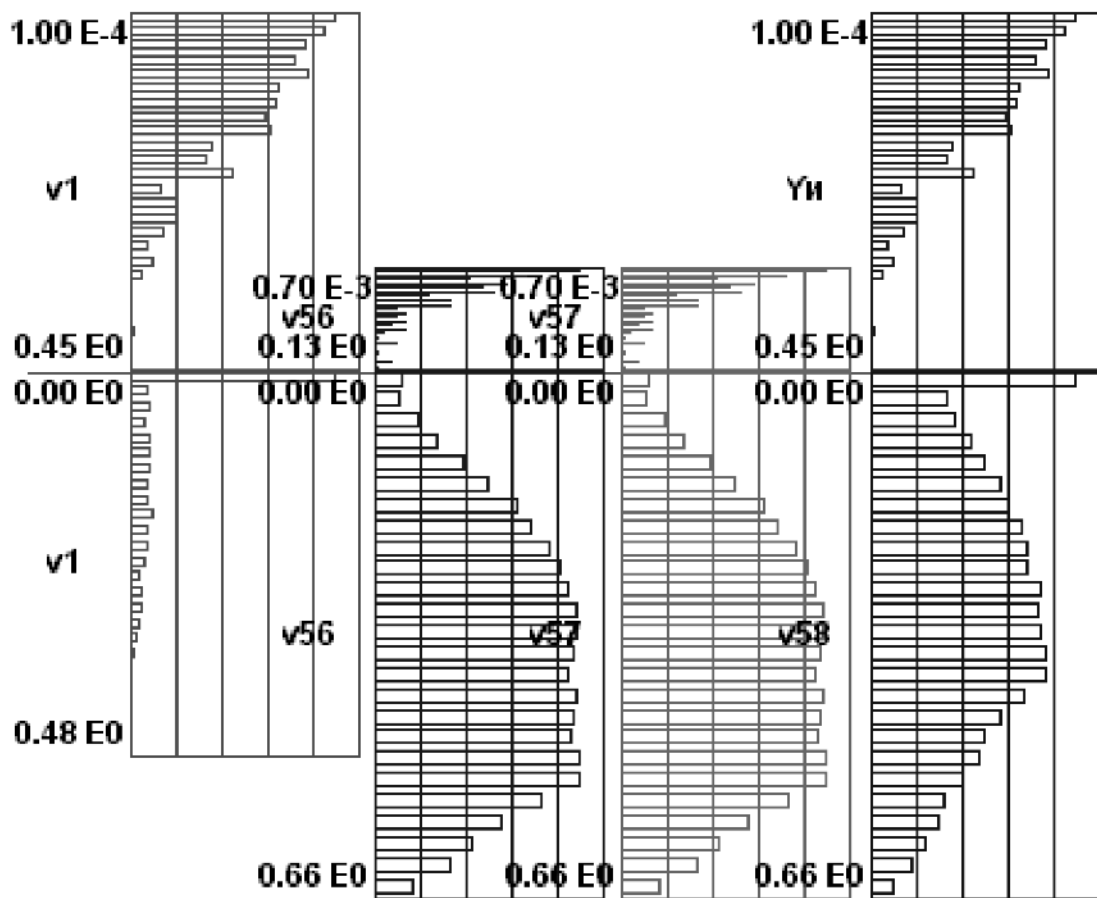


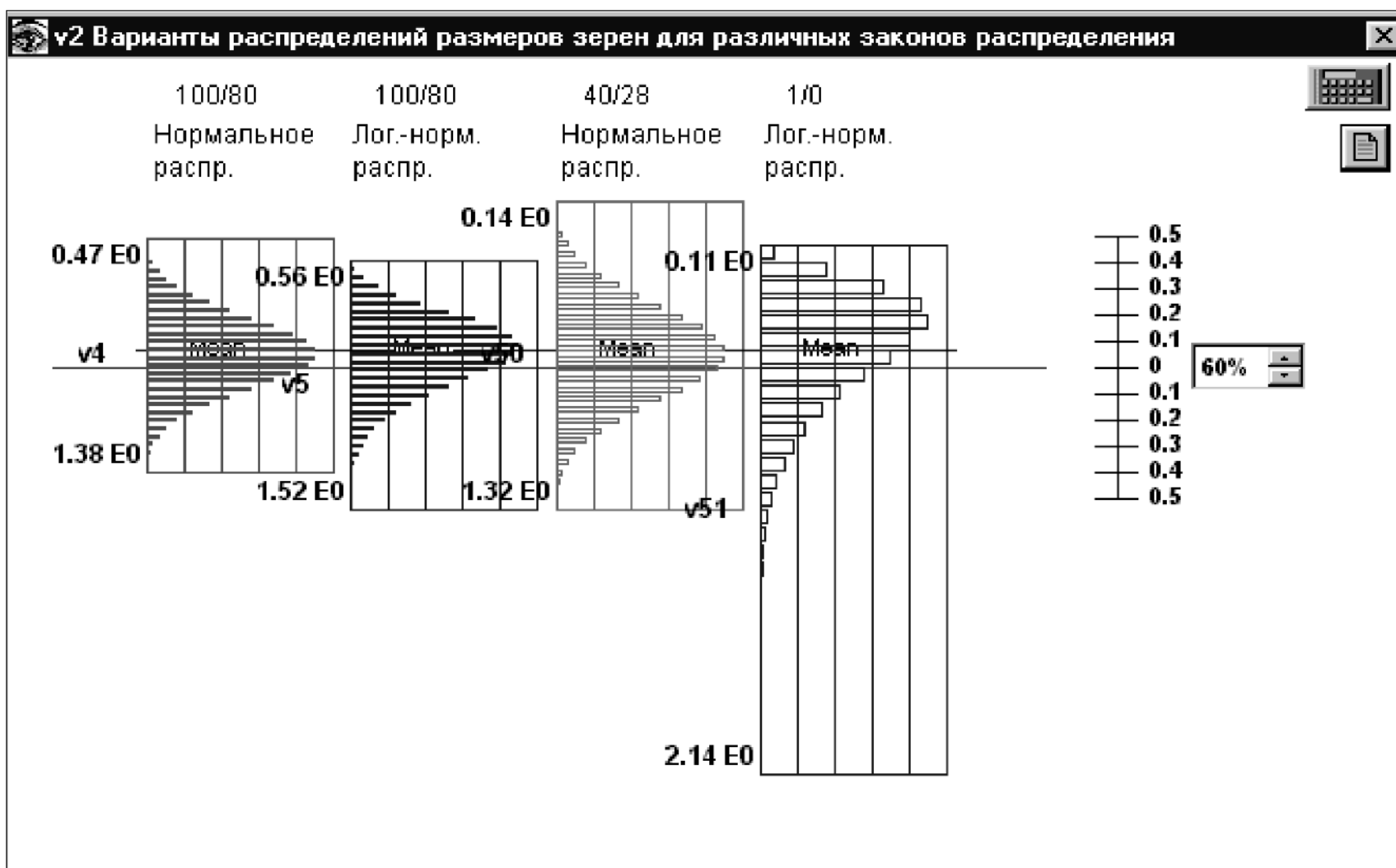


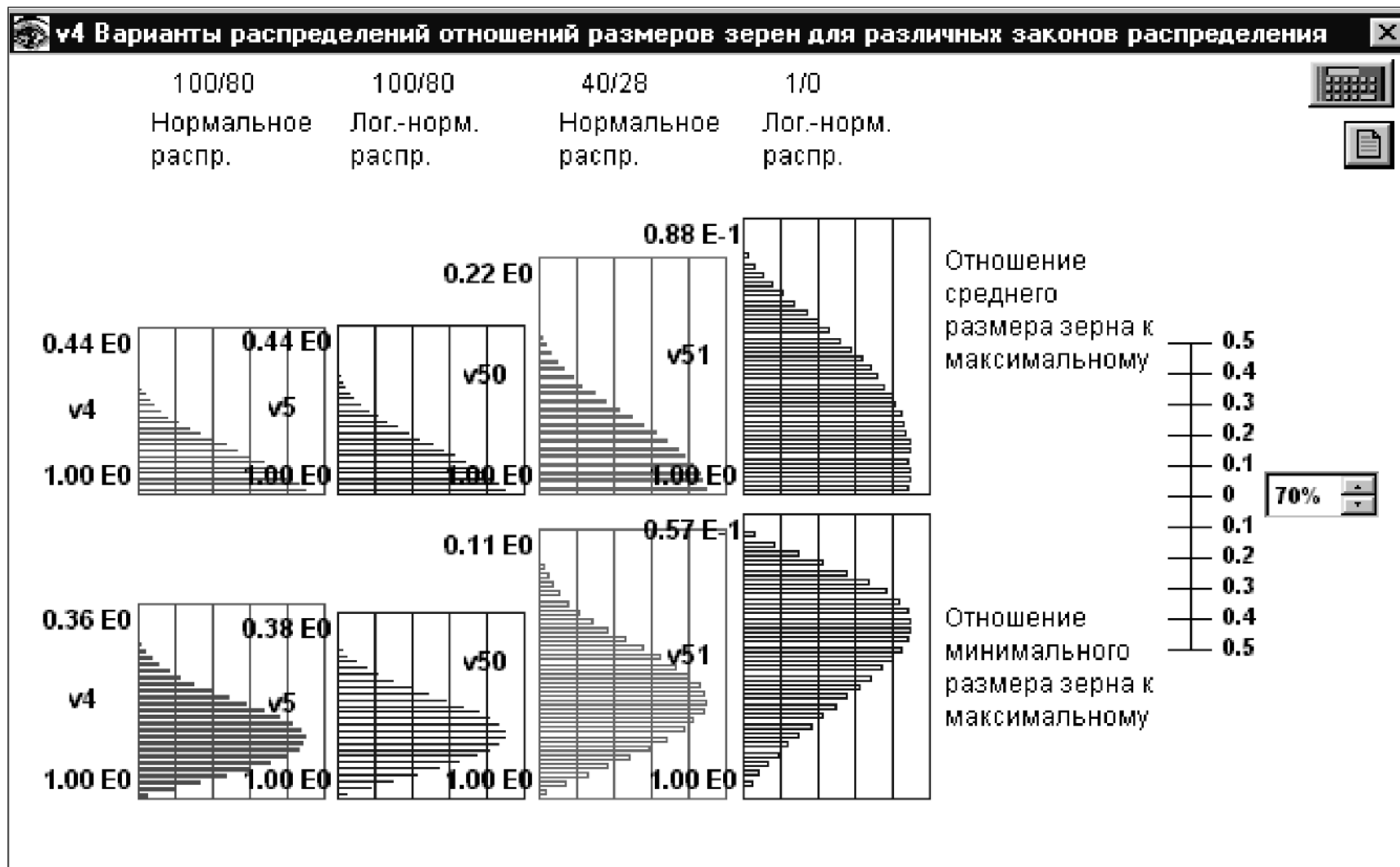


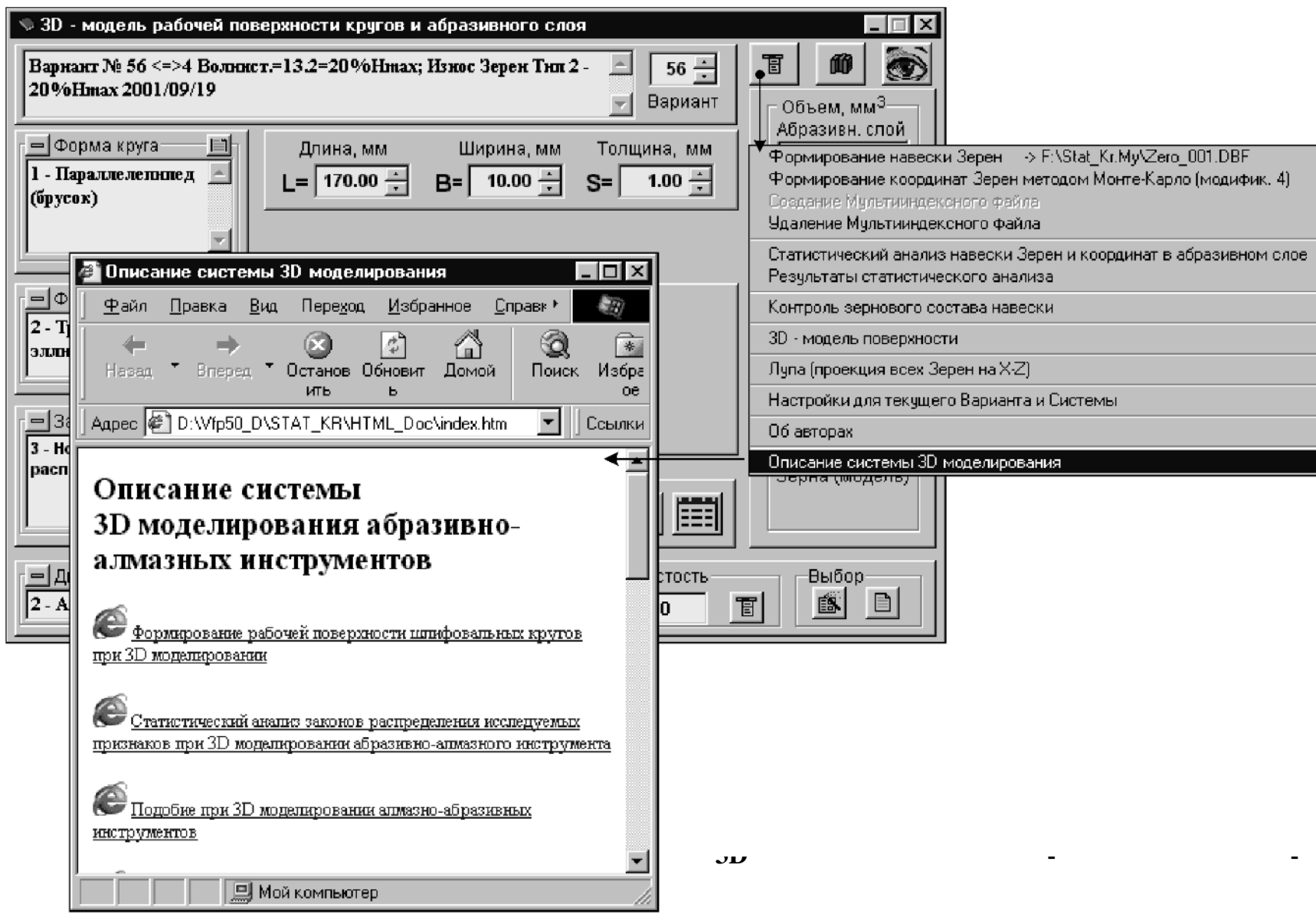


v1 Варианты распределений износа и вершин зерен









Зернистость (первое число – характеристический размер k_m) a_B/a_{1F} мкм	$\varphi_{\text{факт}} = a_B/a_H$	Закон распределения размеров зерен, моделируемых трехосным эллипсоидом	Усл. обозначение	Параметры закона распределения		Содержание фракций по массе шлифпорошка, %						
				Коэффициент смещения k_E	Коэффициент вариации k_V	Мелкая P_M	Дополнительная P_D	Основная P_O		Крупная P_K	Пределная P_{II}	
Шлифпорошки широкого диапазона зернистостей												
2500/1600	1,563	нормальный	НШ01	0,840	0,215	0,23	5,68	90,39	> 90	3,69	< 8	0,01
		лог.-нормальн.	ЛШ01	0,845	0,220	0,02	5,00	90,53	> 90	4,38	< 8	0,07
1600/1000	1,600	нормальный	НШ02	0,835	0,225	0,37	5,07	90,62	> 90	3,93	< 8	0,01
		лог.-нормальн.	ЛШ02	0,835	0,235	0,07	5,25	90,14	> 90	4,50	< 8	0,04
1000/630	1,587	нормальный	НШ03	0,835	0,225	0,37	5,56	90,13	> 90	3,93	< 8	0,01
		лог.-нормальн.	ЛШ03	0,840	0,230	0,05	5,03	90,27	> 90	4,62	< 8	0,03
630/400	1,575	нормальный	НШ04	0,810	0,295	1,75	11,09	80,46	> 80	6,67	< 10	0,03
		лог.-нормальн.	ЛШ04	0,810	0,280	0,72	13,05	80,98	> 80	5,18	< 10	0,07
400/250	1,600	нормальный	НШ05	0,800	0,310	2,23	10,76	80,32	> 80	6,65	< 10	0,04
		лог.-нормальн.	ЛШ05	0,795	0,285	1,07	13,49	81,06	> 80	4,29	< 10	0,09
250/160	1,563	нормальный	НШ06	0,810	0,290	1,66	11,75	80,32	> 80	6,24	< 10	0,03
		лог.-нормальн.	ЛШ06	0,810	0,275	0,66	13,72	80,65	> 80	4,90	< 10	0,07
160/100	1,600	нормальный	НШ07	0,820	0,315	1,91	9,14	79,13	> 75	9,74	< 12	0,08
		лог.-нормальн.	ЛШ07	0,775	0,300	1,93	17,29	76,84	> 75	3,85	< 12	0,09

Зернистость (первое число – характеристический размер k_m) a_B/a_F мкм	$\varphi_{\text{фракт}} = a_B/a_H$	Закон распределения размеров зерен, моделируемых трехосным эллипсоидом	Усл. обозначение	Параметры закона распределения		Содержание фракций по массе шлифпорошка, %						
				Коэффициент смещения k_L	Коэффициент вариации k_V	Мелкая P_M	Дополнительная P_D	Основная P_O		Крупная P_K	Предельная P_P	
Шлифпорошки широкого диапазона зернистостей (продолжение)												
100/63	1,587	нормальный	НШ08	0,820	0,315	1,91	9,78	78,49	> 75	9,74	< 13	0,08
		лог.-нормальн.	ЛШ08	0,775	0,300	1,93	18,49	75,64	> 75	3,85	< 13	0,09
63/40	1,575	нормальный	НШ09	0,800	0,345	—	15,74	75,24	> 75	8,96	< 15	0,06
		лог.-нормальн.	ЛШ09	0,785	0,300	—	19,51	75,95	> 75	4,45	< 15	0,09
Шлифпорошки узкого диапазона зернистостей												
2500/2000	1,250	нормальный	NY01	0,925	0,105	0,00	5,51	90,54	> 90	3,95	< 8	0,00
		лог.-нормальн.	LY01	0,930	0,110	0,00	4,82	90,02	> 90	5,16	< 8	0,00
2000/1600	1,250	нормальный	NY02	0,925	0,105	0,00	5,51	90,54	> 90	3,95	< 8	0,00
		лог.-нормальн.	LY02	0,930	0,110	0,00	4,82	90,02	> 90	5,16	< 8	0,00
1600/1250	1,280	нормальный	NY03	0,915	0,115	0,00	5,55	90,89	> 90	3,56	< 8	0,00
		лог.-нормальн.	LY03	0,920	0,120	0,00	4,78	90,58	> 90	4,64	< 8	0,00
1250/1000	1,250	нормальный	NY04	0,925	0,105	0,00	5,51	90,54	> 90	3,95	< 8	0,00
		лог.-нормальн.	LY04	0,930	0,110	0,00	4,82	90,02	> 90	5,16	< 8	0,00
1000/800	1,250	нормальный	NY05	0,925	0,105	0,00	5,51	90,54	> 90	3,95	< 8	0,00
		лог.-нормальн.	LY05	0,930	0,110	0,00	4,82	90,02	> 90	5,16	< 8	0,00
800/630	1,270	нормальный	NY06	0,920	0,145	0,06	11,16	80,66	> 80	8,12	< 10	0,00
		лог.-нормальн.	LY06	0,925	0,150	0,00	10,60	80,44	> 80	8,95	< 10	0,01

Зернистость (первое число – характеристический размер k_{m1}) a_B/a_H , мкм	$\varphi_{\text{факт}} = a_B/a_H$	Закон распределения размеров зерен, моделируемых трехосным эллипсоидом	Усл. обозначение	Параметры закона распределения		Содержание фракций по массе шлифпорошка, %						
				Коэффициент смещения k_E	Коэффициент вариации k_V	Мелкая P_M	Дополнительная P_D	Основная P_O		Крупная P_K	Предельная P_{II}	
Шлифпорошки узкого диапазона зернистостей (продолжение)												
630/500	1,260	нормальный	NY07	0,925	0,140	0,05	10,73	80,74	> 80	8,48	< 10	0,00
		лог.-нормальн.	LY07	0,930	0,145	0,00	10,14	80,47	> 80	9,38	< 10	0,01
500/400	1,250	нормальный	NY08	0,925	0,135	0,02	11,39	80,74	> 80	7,85	< 10	0,00
		лог.-нормальн.	LY08	0,930	0,140	0,00	10,77	80,41	> 80	8,82	< 10	0,00
400/315	1,270	нормальный	NY09	0,920	0,145	0,06	11,16	80,66	> 80	8,12	< 10	0,00
		лог.-нормальн.	LY09	0,925	0,150	0,00	10,60	80,44	> 80	8,95	< 10	0,01
315/250	1,260	нормальный	NY10	0,925	0,140	0,05	10,73	80,74	> 80	8,48	< 10	0,00
		лог.-нормальн.	LY10	0,930	0,145	0,00	10,10	80,47	> 80	9,42	< 10	0,01
250/200	1,250	нормальный	NY11	0,925	0,135	0,04	11,32	80,76	> 80	7,88	< 10	0,00
		лог.-нормальн.	LY11	0,930	0,140	0,00	10,77	80,41	> 80	8,82	< 10	0,00
200/160	1,250	нормальный	NY12	0,925	0,135	0,01	11,40	80,74	> 80	7,85	< 12	0,00
		лог.-нормальн.	LY12	0,930	0,140	0,00	10,76	80,41	> 80	8,82	< 12	0,00
160/125	1,280	нормальный	NY13	0,915	0,145	0,10	11,47	80,63	> 80	7,80	< 12	0,00
		лог.-нормальн.	LY13	0,925	0,155	0,01	9,98	80,49	> 80	9,51	> 12	0,01
125/100	1,250	нормальный	NY14	0,925	0,135	0,04	11,41	80,72	> 80	7,83	> 12	0,00
		лог.-нормальн.	LY14	0,935	0,140	0,00	9,61	80,52	> 80	9,87	> 12	0,00

Зернистость (первое число характеристического размер k_m) a_B/a_H мкм	$\varphi_{\text{факт}} = a_B/a_H$	Закон распределения размеров зерен, моделируемых трехосным эллипсоидом	Усл. обозначение	Параметры закона распределения		Содержание фракций по массе шлифпорошка, %						
				Коэффициент смещения k_E	Коэффициент вариации k_V	Мелкая P_M	Дополнительная P_D	Основная P_O	Крупная P_K	Предельная P_P		
Шлифпорошки узкого диапазона зернистостей (продолжение)												
100/80	1,250	нормальный	NY15	0,925	0,150	0,09	14,08	76,07	> 75	9,76	< 12	0,00
		лог.-нормальн.	LY15	0,935	0,155	0,01	12,55	75,81	> 75	11,62	< 12	0,01
80/63	1,270	нормальный	NY16	0,920	0,160	0,18	13,55	76,31	> 75	9,96	< 13	0,00
		лог.-нормальн.	LY16	0,935	0,165	0,02	11,10	76,22	> 75	12,64	< 13	0,02
63/50	1,260	нормальный	NY17	0,925	0,155	0,16	13,13	76,14	> 75	10,57	< 13	0,00
		лог.-нормальн.	LY17	0,930	0,160	0,02	12,84	76,03	> 75	11,10	< 13	0,01
50/40	1,250	нормальный	NY18	0,925	0,150	0,00	13,91	76,11	> 75	9,98	< 15	0,00
		лог.-нормальн.	LY18	0,935	0,155	0,00	12,27	75,92	> 75	11,80	< 15	0,01
Микропорошки												
60/40	1,500	нормальный	NM01	0,725	0,260	12,12	< 25	83,07	> 70	4,81	< 5	—
		лог.-нормальн.	LM01	0,685	0,255	24,46	< 25	72,44	> 70	3,10	< 5	—
40/28	1,429	нормальный	NM02	0,730	0,250	17,45	< 25	78,07	> 70	4,48	< 5	—
		лог.-нормальн.	LM02	0,720	0,240	23,57	< 25	71,61	> 70	4,82	< 5	—
28/20	1,400	нормальный	NM03	0,735	0,245	19,40	< 25	75,93	> 70	4,67	< 5	—
		лог.-нормальн.	LM03	0,730	0,225	24,85	< 25	70,82	> 70	4,33	< 5	—

Зернистость (первое число – характеристический размер k_{μ}) a_B/a_{Γ} мкм	$\Phi_{\text{факт}} = a_B/a_H$	Закон распределения размеров зерен, моделируемых трехосным эллипсоидом	Усл. обозначение	Параметры закона распределения		Содержание фракций по массе шлифпорошка, %						
				Коэффициент смещения k_E	Коэффициент вариации k_V	Мелкая P_M	Дополнительная P_D	Основная P_O	Крупная P_K	Предельная P_{II}		
Микропорошки (продолжение)												
20/14	1,429	нормальный	NM04	0,730	0,250	17,46	< 25	78,06	> 70	4,48	< 5	—
		лог.-нормальн.	LM04	0,720	0,240	23,59	< 25	71,56	> 70	4,85	< 5	—
14/10	1,400	нормальный	NM05	0,735	0,245	19,41	< 25	75,92	> 70	4,67	< 5	—
		лог.-нормальн.	LM05	0,730	0,225	24,86	< 25	70,81	> 70	4,33	< 5	—
10/7	1,429	нормальный	NM06	0,720	0,265	20,05	< 25	75,24	> 70	4,71	< 5	—
		лог.-нормальн.	LM06	0,715	0,240	23,55	< 25	71,73	> 70	4,72	< 5	—
7/5	1,400	нормальный	NM07	0,725	0,255	21,29	< 25	74,11	> 70	4,60	< 5	—
		лог.-нормальн.	LM07	0,725	0,225	24,80	< 25	71,05	> 70	4,15	< 5	—
5/3	1,667	нормальный	NM08	0,640	0,375	17,18	< 25	78,66	> 70	4,16	< 5	—
		лог.-нормальн.	LM08	0,640	0,305	20,24	< 25	76,62	> 70	3,14	< 5	—
3/2	1,500	нормальный	NM09	0,685	0,300	17,65	< 25	77,43	> 70	4,92	< 5	—
		лог.-нормальн.	LM09	0,685	0,250	20,70	< 25	74,53	> 70	4,77	< 5	—
2/1	2,000	нормальный	NM10	0,475	0,705	20,05	< 25	75,04	> 70	4,91	< 5	—
		лог.-нормальн.	LM10	0,550	0,400	20,40	< 25	77,37	> 70	2,23	< 5	—
1/0	?	нормальный	NM11	0,460	0,710	—	—	95,48	> 95	4,52	< 5	—
		лог.-нормальн.	LM11	0,500	0,560	—	—	95,44	> 95	4,56	< 5	—

1. «COSMOS»

–
.
:

- 1.
2. , .
3. .

:

1. .
 2. (
- «Open problem files».
3. « » (-
».
« »). (
 4. (

5. XOY («Geo Panel»), -
(GEOMETRY, GRID, PLANE) (GEOMETRY,
GRID, GRID ON).

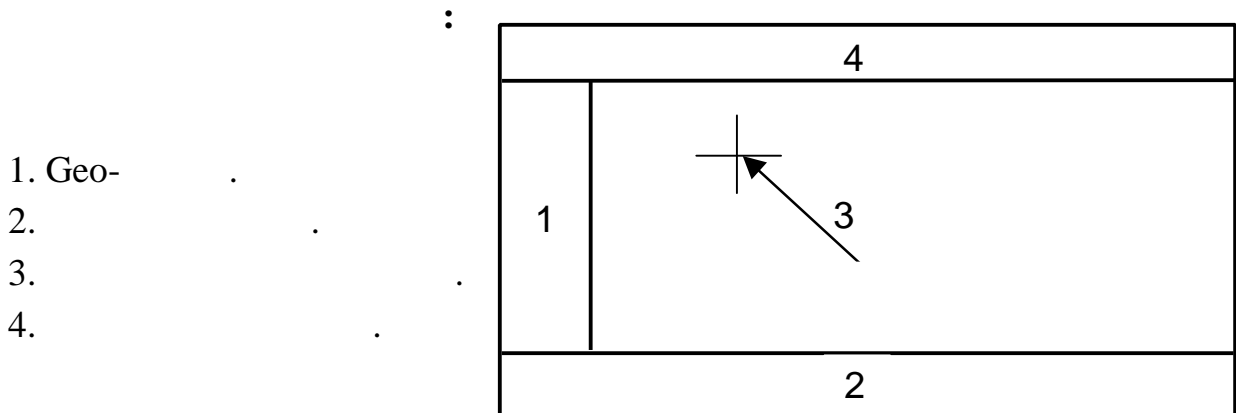
6. (GEOMETRY, GRID, GRID OFF), -
10 X Y, 20 X 30 – Y.
(

«Scale avto» «Geo Panel»). («Translate»
«Geo Panel»).

7. 1 10, 15, 25.

8. («Geo
Panel»).

9. 1 (GEOMETRY, POINTS, EDITING, DELATE).
10. XOY («Geo Panel»).
11. (GEOMETRY, POINTS, DEFINE): 1-0, 0, 0; 2 - 100, 40, 0; 3 - 100, 10, 0; 4 - 160, 10, 0; 5 - 160, 40, 0; 6 - 200, 40, 0; 7 - 200, 0, 0.
12. («Status 1» «Geo Panel»).
13. 1 - 7 (GEOMETRY, CURVES, Line with 2Pts).
14. (GEOMETRY, GRID, GRID OFF). («Status 1» «Geo Panel»).
15. Y (GEOMETRY, CURVES, GENERATION, SYMMETRY).
16. 90° (GEOMETRY, CURVES, GENERATION, GENERATE).
17. («Geo Panel»).
18. (GEOMETRY, POINTS, EDITING, PLOT), (GEOMETRY, CURVES, EDITING, PLOT).
19. («Scale auto» «Geo Panel»).
20. («Geo Panel»).
21. («Scale auto» «Geo Panel»).
22. Z, («Rotate» «Geo Panel»).
23. (FILES, EXIT)



Geo-

Active Win – ;

New Win – ;

Tile – ;

Cascade – ;

View – (« »);

Dview – 3D ;

Demo – ;

Config – ;

Zoom – ;

Translate – ;

Rotate – ;

Scale – (-

);

Console – ();

Set Post – ;

Status 1, 2, 3 – (

, ,).

8

,

:

,

,

;

;

;

;

;

.

.

-

.

.

.

.

,

-

(

):

2.

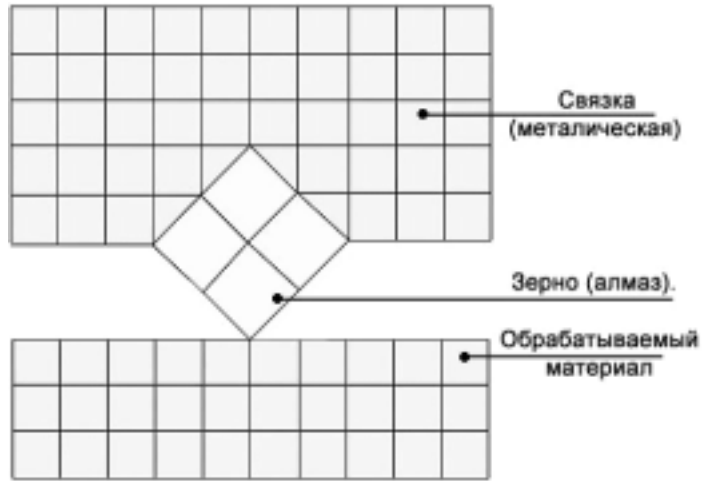
«Cosmos».

:

1.

. 1.

. 1.



.1 –

« – –
» «CosmosM»

:

Problem name;

Geometry, Grid, Plane, X – ;

Geometry, Grid, Grid on – ;

Geometry, Points, Define – ;

Geometry, Points, Generation, Generate – ;

Geometry, Surfaces, Define by 4 Pt – ;

Geometry, Surfaces, Generation, Symmetry –

3.

BEAM3D

—
 , , ,
 .
 :
 1. , . 1.
 2. ,
 .
 3. , .
 4. .
 :
 Propsets;
 Element Group – ;
 Propsets;
 Material Properties – ;
 Propsets;
 Real Constant – .
 :
 Meshing;
 Parametric Mesh;
 Curves – .
 :
 Meshing;
 Nodes;
 Merge;
 Compress.

:

Loads BC;
Structural;
Displacement;
Define by Nodes.

:

Loads BC;
Structural;
Force;
Define by Nodes.

:

Analysis;
Static;
Run Static Analysis.

:

Results;
Plot;
Deformed Shape;
Animate;
Beam Diagrams;
Results;
List.

4.

3D-

«COSMOSM»

1. .
2. (-
- «Open problem files».
3. « » (-
- ».
- « ».
4. (-
-).
5. XOY («Geo Panel»),
(GEOMETRY, GRID, PLANE)
(GEOMETRY, GRID, GRID ON).
6. (GEOMETRY, GRID, GRID OFF), -
- 10 X Y, 20 X 30 – Y.
- (
- «Scale avto» «Geo Panel»). («Translate»
- «Geo Panel»).
7. 1 0, 0, 0.
8. 2 0, 40, 0.
9. 3 100, 40, 0.
10. 4 100, 0, 0.
11. 5 0, 60, 0.
12. 6 0, 100, 0.
13. 7 100, 100, 0.
14. 8 100, 60, 0.
15. 9 50, 40, 0.
16. 10 30, 60, 0.
17. 11 50, 80, 0.
18. 12 70, 60, 0. (, -
- , 3D-).

: *Line with*

2Pts).

19. («Status 1» «Geo Panel»).

20. 1, 3, 2, 4

(GEOMETRY, CURVES, Line with 2Pts).

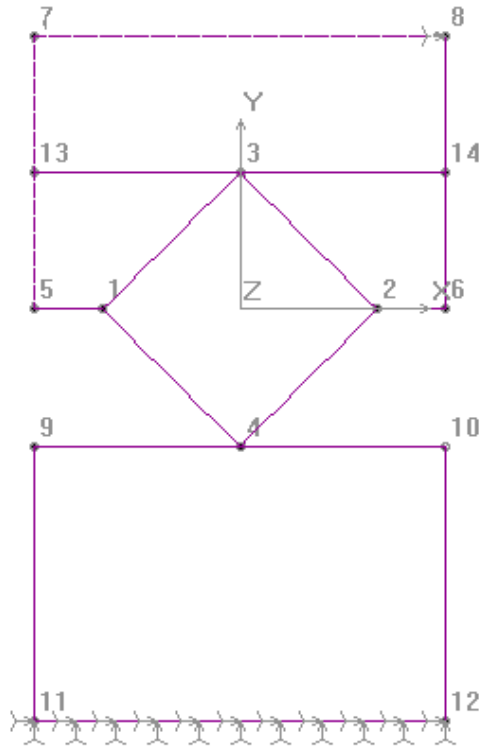
21. 1, 5, 13, 7, 8, 14, 6, 2 -

(GEOMETRY, CURVES, Line with 2Pts).

22. 9, 4, 10, 12, 11

(GEOMETRY, CURVES, Line with 2Pts).

. .2.



.2 -

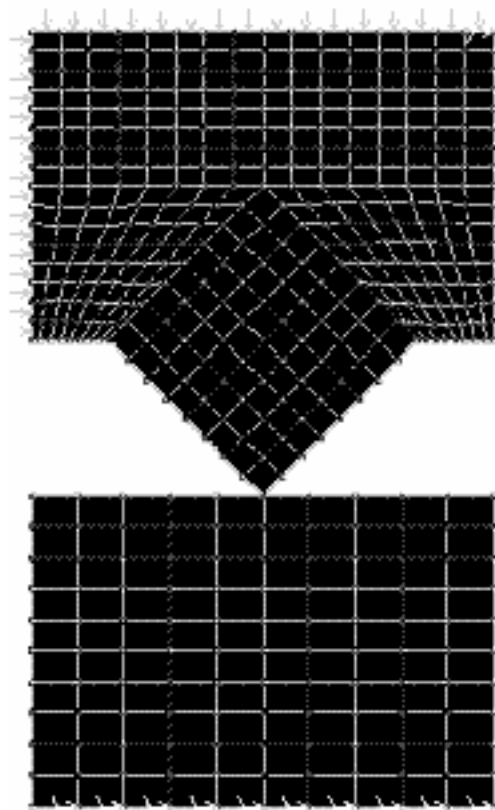
23. Geometry, Surfaces, Define by 3 Pt –
1, 2, 9.

1 -

24. Geometry, Surfaces, Define by 3 Pt –
1, 9, 4.

2 -

25. Geometry, Surfaces, Define by 3 Pt – 9, 3, 4.	3	-
26. Geometry, Surfaces, Define by 4 Pt – 5, 6, 11, 10.	4	-
27. Geometry, Surfaces, Define by 4 Pt – 11, 7, 8, 12.	5	
28. Geometry, Surfaces, Define by 4 Pt – 10, 11, 12, 9.	6	
.		
29. Propsets, Element Group – 1-6.		
30. Propsets, Material Properties – 1-6.		-
:		
31. Meshing, Parametric Mesh, Curves – 1-6;		-
32. Meshing, Nodes;		
33. Meshing, Merge, Compress;		
34. Loads BC, Structural;		
35. Loads BC, Force;		
36. Loads BC, Define by Nodes;		
37. Analysis, Static, Run Static Analysis		
:		
38. Results,Plot		
39. Results, Deformed Shape		
40. Results, Animate		
41. Results, Beam Diagrams		
42. Results, List		
43. File, save images		
44. (FILES, EXIT)		

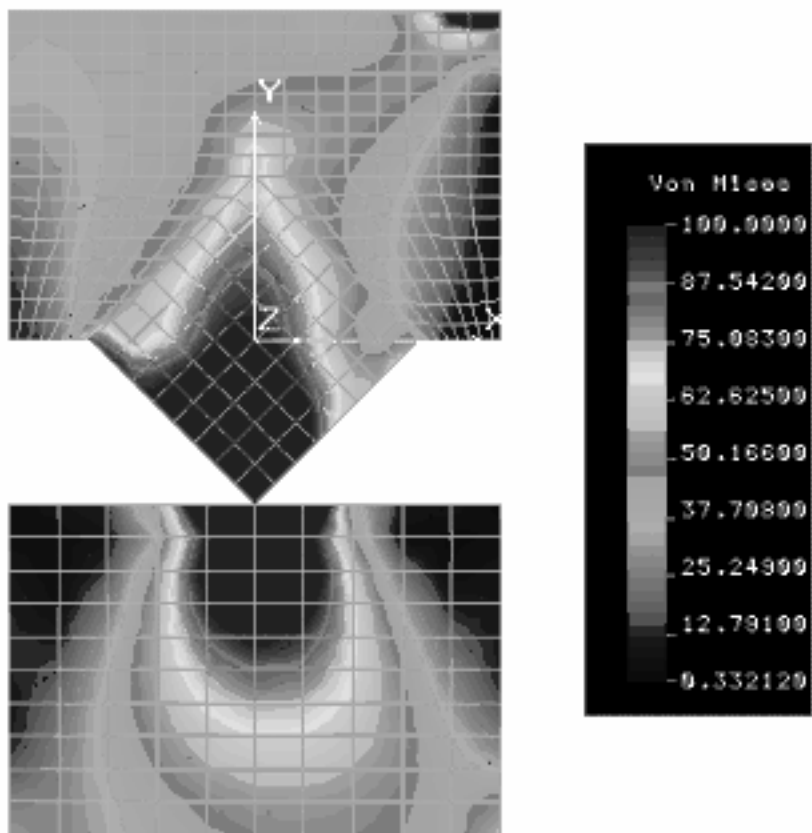


.3 –

(. . . .4),
(. . . .) 150 . 3D-
:
:

Analysis, Heat Transfer, Thermal Analysis Options (Transient);
Analysis, Heat Transfer, Run Thermal Analysis.

Result, Plot, Thermal.



.4 –

«CosmosM»

1. : / .
- - ∴ , 1977. – 391 .
2. . „ . „ . . :
. - ∴
, 1983. – 471 .
3. / . . , . . -
, . . , . . - ∴ , 1976. – 160 .
4. . . - ∴ -
, 1978. – 207 .
5. . . -
6. : : 05.03.01. – , 1996. – 468 .
- ∴ . „ . . -
, 1968. – 474 .
7. . - ∴ , 1980. –
368 .
8. 9206-80 . - ∴ -
, 1981. – 33 .
9. . . -
- ∴ :
. : 05.03.01. – , 1995. – 59 .
10. . . -
- ∴ : „, 1985. – 184 .
11. 3292-95. . -
- ∴ : - 1996. – 71 .
12. . . - ∴ -
, 1970. – 227 .
13. : . / . „ „ . „
. . - ∴ , 1985. – 296 .
14. . . -
: -
: 05.03.01 – , 2001. – 447 .

15. : /
 - : , 2002. – 528 .
16. - / -
 . „ . „ . „ . . - ∴ . ,
 1979. – 244 .
17. . „ . „ . . -
 . - ∴ i , 1988. – 136 .
18. . . -
 . - ∴ , 1976. – 200 .
19. . . . -
 ∴ , 1976. – 232 .
20. . „ . „ . . .
 . - ∴ , 1977. – 526 .
21. . . . - ∴ ,
 1974. – 320 .
22. . . . - ∴ -
 , 1982. – 192 .
23. „ „ . -
 : . . - ∴ , 1982. – 278 .
24. . . -
 . - ∴ . , 1984. – 264 .
25. . „ . „ . . .
 . - ∴ . ,
 1993. – 220 .
26. / . „ . „
 . „ . „ . . - ∴ , 1978. – 192 .
27. . . . - ∴
 - . - , 1981. – 144 .
28. . . -
 . - ∴ , 1971. – 544 .
29. . „ . „ . . -
 . - ∴ , 1977. – 263 .
30. : . -
 / - : , 1999. – 436 .
31. . . . - ∴ , 1969. –
 288 .

32. , 1982. – 168 .
33. , 1980. – 192 .
34. : 3- . . 2. / : . . (. .) . – : . , 1986. – 280 .
35. / – : , 1971. – 208 .
36. / . . . : . . – : , 1979. – 832 .
37. . . . – : , 1976. – 271 .
38. / – : , 1973. – 567 .
39. , : . 2- . . 2. / – : , 1979. – 358 .
40. / – : - , 1998. – 528 .
41. : : 05.03.01. – . , 2002. – 469 .
42. . . . : . . . – : , 1980. – 95 .
43. – : , 1974. – 160 .
44. – : , 1974. – 640 .
45. – : , 1982. – 112 .

46. Kaczmarek J.: Zastosowanie metody SCGC do oceny technologii prognozy użytkowania powierzchni obrabianych skawaniem. Prace Międzynarodowego Sympozjum nt.: "Zagrożenia Inżynierii Powierzchni w Obróbce Skawaniem". Wrocław – Szklarska Poreba, czerwiec 1999.

3D

-

2004, .90/144-04

. 17.10.2006 . 60×84 1/16. i . Riso- .
Times New Roman. . . 21,1. .- . 22,8.
300 . . 356. .

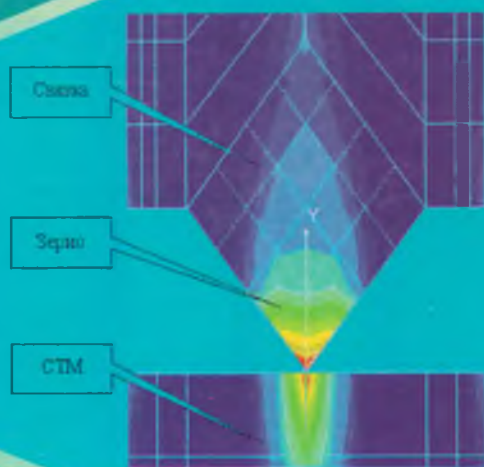
61002, , . « ».
116 10.07. 2000 .
, 21

« ». 61002, , . , 21

В учебном пособии излагаются основы 3D моделирования алмазно-абразивных инструментов и процессов шлифования.

Рассматриваются современные тенденции объектно-ориентированного статистического моделирования применительно к алмазно-абразивным инструментам, напряженно-деформированному состоянию зоны шлифования, а также вопросы практического применения результатов 3D моделирования.

Предназначено для студентов, магистров и аспирантов, преподавателей технических вузов, а также может быть полезным для специалистов-технологов.



ISBN 966-593-457-0



9 789665 1934578